

5

# БУЛЕТИНУЛ

АКАДЕМИЕЙ ДЕ ШТИИНЦЕ А РСС МОЛДОВЕНЕШТЬ

# ИЗВЕСТИЯ

АКАДЕМИИ НАУК МОЛДАВСКОЙ ССР



СЕРИЯ  
БИОЛОГИЧЕСКИХ  
И ХИМИЧЕСКИХ НАУК



ИЗДАТЕЛЬСТВО „ШТИИНЦА“ • КИШИНЕВ • 1974

# БУЛЕТИНУЛ АКАДЕМИЕЙ ДЕ ШТИИНЦЕ А РСС МОЛДОВЕНЕШТЬ

# ИЗВЕСТИЯ

АКАДЕМИИ НАУК МОЛДАВСКОЙ ССР



СЕРИЯ  
БИОЛОГИЧЕСКИХ  
И ХИМИЧЕСКИХ НАУК

5

1974

ИЗДАТЕЛЬСТВО «ШТИИНЦА» • КИШИНЕВ • 1974

Центральная научная  
библиотека АН МССР

## БОТАНИКА

УДК 635—65

Т. А. КУПОРИЦКАЯ

### ВОЗМОЖНОСТИ ИСПОЛЬЗОВАНИЯ В КУЛЬТУРЕ НЕКОТОРЫХ ДИКОРАСТУЩИХ ВИДОВ ЧИНЫ И ВИКИ

#### РЕДАКЦИОННАЯ КОЛЛЕГИЯ

Академики АН МССР А. А. Спасский (главный редактор), Ю. С. Ляликов (зам. главного редактора), А. Е. Коварский, М. Ф. Ярошенко, члены-корреспонденты АН МССР Т. С. Гейдеман (зам. главного редактора), В. В. Арасимович, кандидаты биологических наук Н. С. Балаур (ответственный секретарь), В. И. Сабельникова

Использование полезных дикорастущих травянистых растений в посевах имеет большое практическое значение. Однако исследования по их интродукции, в отличие от дендрологических объектов, еще недостаточны [1].

Дикорастущая флора Молдавии богата лекарственными, техническими, медоносными, декоративными, кормовыми и другими полезными растениями [1]. В семействе бобовых, одном из наиболее распространенных в местной флоре, около одной трети видов обладают полезными качествами. Среди них много кормовых растений — виды чины, вики, донника, лядвенца, клевера, астрагала, козлятника, пажитника, язвенника и др. [14]. Большой интерес представляют виды с многолетним циклом развития, так как они имеют ряд преимуществ перед однолетними. Вегетируя в течение всего теплого периода, многолетники полнее используют солнечную энергию, больше накапливают органических веществ, отличаются высокой продуктивностью и ускоренным созреванием зеленой массы. Кроме того, со второго года жизни они способны подавлять сорняки вследствие усиленного кущения и быстрого вегетативного роста, а также улучшать структуру почвы и обогащать ее азотом. При отсутствии же должного ухода они загущаются в посевах и урожай снижается; наличие зеленых побегов во время массового созревания семян затрудняет их уборку; растянутый период цветения и созревания при запаздывании с уборкой ведет к частичной потере урожая семян. Однако все трудности, связанные с этими отрицательными свойствами, при введении в культуру преодолимы.

Наблюдения, проведенные нами в течение ряда лет в природе и в условиях культуры, позволили из большого числа дикорастущих бобовых выделить четыре многолетних вида, перспективных для изучения с целью введения их в культуру.

#### Вика пестроцветная — *Vicia picta* F. et M.

Двулетник. В первый год вегетирует, во второй цветет и плодоносит. Общее распространение: юг и юго-восток европейской части СССР, юг Закавказья, Средняя Азия, Западная и Восточная Сибирь. Распространение в МССР: южные припрутские районы, Правобережье Днестра, Бельцкая степь.

Растет среди зарослей кустарников, на лесных опушках, реже под пологом леса, на травянистых склонах. Изучалась в Украинском научно-исследовательском институте социалистического земледелия, на Новосковской и Полтавской опытных станциях, а также в Воронежской и

© Издательство «Штиница», 1974 г.

ИЗВЕСТИЯ АКАДЕМИИ НАУК МОЛДАВСКОЙ ССР.

Серия биологических и химических наук, № 5, 1974 г.

Редактор И. И. Каракина  
Художественный редактор В. А. Чупин  
Технический редактор Л. А. Мокрицкая  
Корректор А. Л. Меламед

Сдано в набор 21/VIII 1974 г. Подписано к печати 29/X 1974 г. АБ08471. Формат 70×108<sup>1/16</sup>. Бумага тиш. № 1. Усл. печ. л. 8, 93 (6+3 вкл.). Уч.-изд. л. 8,17. Тираж 635. Цена 45 коп. Заказ 527.

Издательство «Штиница», Кишинев, 277028, ул. Академическая, 3.

Типография издательства «Штиница», Кишинев, 277004, ул. Берзарина, 10.

Московской областях как кормовое растение. Исследователи [4, 5, 15] считают ее перспективной для введения в культуру, так как она обладает комплексом ценных биологических и хозяйственных качеств.

### Вика тонколистная — *Vicia tenuifolia* Roth.

Многолетник. Общее распространение: европейская часть СССР, Кавказ, Западная и Восточная Сибирь, Средняя Азия, Южная Европа, Балканский п-ов, Малая Азия.

Распространение в МССР: повсеместно, кроме Бельцкой степи. Растет на лесных опушках и полянах, среди зарослей кустарников. Особенно часто встречается на опушках дубовых лесов. Иногда образует заросли. В культуре изучалась в Ставрополье [10] и в Крыму [13]. Это ценнейшее кормовое растение. В зеленой массе содержится: 25,8% протеина, 4,2% жира, 26,2% безазотистых экстрактивных веществ, 34,7% клетчатки. Охотно поедается сельскохозяйственными животными. Хороший медонос.

### Чина лесная — *Lathyrus sylvester* L.

Многолетник, продолжительность жизни 23—60 лет. Общее распространение: европейская часть СССР (кроме Крыма), Кавказ, Скандинавия, Средняя Европа, Балканский п-ов.

Распространение в МССР: северные районы по Пруту и Днестру, Кодры.

Растет на лесных опушках, среди кустарников и поросли древесных пород, на молодых вырубках. Изучение этого вида вместе с другими дикорастущими бобовыми проводилось в Ставрополье [10]. Рекомендуется для введения в культуру.

### Чина крупноцветковая — *Lathyrus meganthus* Steud.

Многолетник; продолжительность жизни 60—75 лет. Общее распространение: Крым, МССР, Средняя и Южная Европа, Балканский п-ов. Распространение в Молдавии: Кодры, южные припрутские районы.

Растет на лесных опушках и полянах среди кустарников. Также изучалась в условиях культуры в Ставрополье [9]. Зеленая масса богата питательными веществами. Ее охотно поедает крупный рогатый скот.

Серьезным препятствием при использовании в посевах дикорастущих бобовых является растянутость периода прорастания семян, обусловленная

Таблица 1  
Результаты определения степени твердосемянности

Вид	Через сколько дней началось прорастание	% семян, проросших за 10 дней	% семян, сгнивших за 10 дней	Семян, %		
		чины лесной	чины крупноцветковой	чины лесной	чины крупноцветковой	
Вика пестроцветная	2	2,7	0			
Вика тонколистная	3	5,7	1,7			
Чина лесная	7	12,2	0,5			
Чина крупноцветковая	8	5,0	0			

Таблица 2  
Состояние семян чины лесной и крупноцветковой на десятый день после воздействия термическим и химическим факторами

Вариант	проросших		сгнивших		непроросших	
	чины лесной	чины крупноцветковой	чины лесной	чины крупноцветковой	чины лесной	чины крупноцветковой
Контроль	11,5	1,0	3,5	0,5	85,0	98,5
Обработка семян холодом (непрерывно)	13,5	1,5	1,5	0,0	85,0	98,5
» (прерывисто)	17,5	0,5	0,5	1,0	82,0	98,5
» сухим теплом	26,5	3,0	3,0	0,5	70,5	96,5
» книятком	28,5	4,5	3,0	0,0	68,0	95,5
» $H_2SO_4$ (5 мин.)	58,5	67,0	8,0	1,5	33,5	31,6
» » (10 мин.)	54,5	65,0	8,5	1,0	37,0	34,0
» » (15 мин.)	52,5	68,5	11,5	0	36,0	31,5

ловленная твердосемянностью (наличие твердой газо- и водонепроницаемой оболочки [3, 8], которая выработалась у растений в процессе эволюции и закрепилась как биологически полезное свойство, позволяющее виду сохраняться в неблагоприятных условиях среды [3, 7, 13]. В культуре же оно нежелательно, так как препятствует получению дружных всходов. Эта особенность присуща многим представителям растительного мира, но более часто встречается в семействе бобовых (за исключением арахиса [17]). У отдельных семян оболочка настолько твердая, что они могут сохранять жизнеспособность десятки лет [16].

Для определения твердосемянности у изучаемых видов семена проращивали по общепринятой методике в чашках Петри на влажной фильтровальной бумаге по 100 штук, в четырех повторностях. Подсчет числа проросших и загнивших семян проводили ежедневно в течение десяти дней.

Установлено, что всем изучаемым видам свойственна твердосемянность, особенно сильно она выражена у вики пестроцветной и чины крупноцветковой. У этих же видов отмечена высокая жизнеспособность семян.

Таблица 3  
Состояние семян чины лесной и крупноцветковой через год после воздействия термического и химического факторов

Вариант	проросших		сгнивших		непроросших	
	чины лесной	чины крупноцветковой	чины лесной	чины крупноцветковой	чины лесной	чины крупноцветковой
Контроль	40,0	62,5	1,5	20,5	58,5	17,0
Обработка семян холодом (непрерывно)	53,6	85,0	5,4	10,0	41,0	5,0
Обработка семян холодом (прерывисто)	52,0	93,0	10,5	0	37,5	7,0
» сухим теплом	40,5	52,0	10,0	30,0	49,5	18,0
» книятком	95,0	65,5	2,0	34,0	3,0	0,5
» $H_2SO_4$ (5 мин.)	90,0	90,0	7,5	8,0	2,5	2,0
» » (10 мин.)	90,0	90,0	8,0	7,0	2,0	2,5
» » (15 мин.)	90,0	79,5	9,0	19,0	1,0	1,5

Для снижения твердосемянности нами испытывались различные приемы: воздействие на семена термического, химического факторов; влияние на прорастание продолжительности хранения семян и уборки их в разных фазах спелости.

#### *Изучение влияния термического и химического факторов.*

Варианты: 1 — обработка семян холодом ( $-4^{\circ}\text{C}$ ) в течение трех суток;

2 — обработка холодом ( $-4^{\circ}\text{C}$ ) в течение трех суток с ежесуточным 14-часовым перерывом;

3 — воздействие сухим теплом ( $60^{\circ}\text{C}$ ) в течение трех суток с ежесуточным 14-часовым перерывом;

4 — трехкратное ошпаривание крутым кипятком;

5, 6, 7 — обработка концентрированной серной кислотой в течение 5, 10, 15 минут с последующим промыванием водопроводной водой.

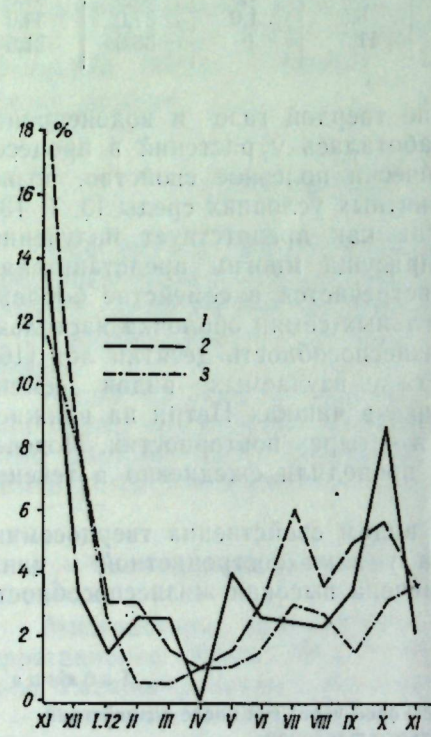


Рис. 1. Динамика прорастания семян чины лесной под влиянием холода:

1 — непрерывного действия; 2 — прерывистого действия и 3 — контрольные

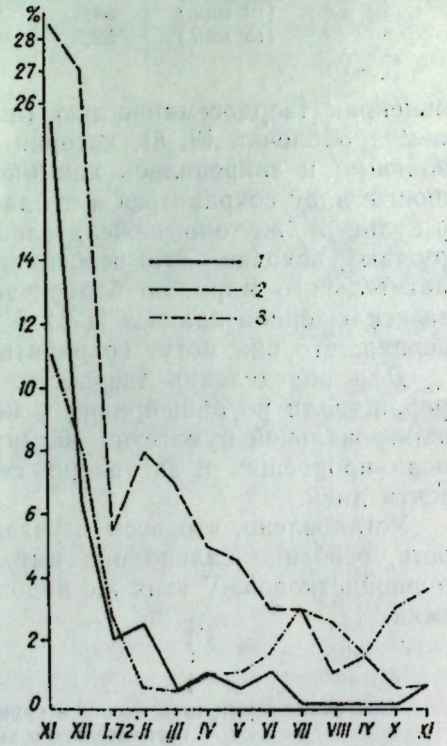


Рис. 2. Динамика прорастания семян чины лесной:

1 — под влиянием сухого тепла, 2 — ошпаривания и 3 — контрольные

Подсчет семян, проросших за десять дней, показал, что испытанные факторы оказали ускоряющее действие на прорастание. Но степень их действия у изучаемых видов была различной.

У чины лесной наибольший эффект был получен от применения серной кислоты. При этом отмечено почти одинаковое ускорение прорастания при всех экспозициях (5, 10, 15 минут). Значительное ускорение в прорастании было и от обработки семян теплом (табл. 2). У чины крупноцветковой наиболее интенсивно прорастание проходило также под влиянием серной кислоты, но в еще большей степени, чем у чины лесной.

С целью выяснения влияния испытанных факторов на темп и характер прорастания проращивание семян и учеты велись на протяжении года (с ноября 1971 г. по ноябрь 1972 г.). В результате было установлено, что у чины лесной в варианте с воздействием холода в течение всего периода наблюдалось проявление ускоряющего влияния этого приема (табл. 3).

Наиболее активно прорастание проходило в течение первых тридцати дней от начала опыта. В дальнейшем оно протекало медленно и неравномерно (рис. 1). Семена, обработанные сухим теплом, в течение года прорастали так же медленно, как и контрольные. В первые месяцы проросло наибольшее число семян, затем интенсивность процесса резко снизилась и постепенно снижалась до конца опыта (рис. 2). Значительно быстрее шло прорастание семян, ошпаренных кипятком, а также подвергнутых обработке серной кислотой. К концу года в этих вариантах проросло в два с лишним раза больше семян по сравнению с контролем.

Характер хода прорастания семян, подвергнутых воздействию кипятком, а также обработанных серной кислотой, имеет общие черты (рис. 2, 3). Наиболее активно прорастание проходило в начале периода — в течение первых тридцати—шестидесяти дней от начала проращивания, затем интенсивность его резко упала. В дальнейшем процесс постепенно замедлялся, но сопровождался значительными колебаниями по месяцам.

У чины крупноцветковой под воздействием холода, особенно прерывистого, прорастание шло очень интенсивно. К концу года в этих вариантах насчитывалось максимальное по сравнению со всеми остальными вариантами и с контролем число проросших семян (табл. 3). Процесс прорастания носил резко выраженный скачкообразный характер (рис. 4). Под воздействием тепла к концу года проросло семян почти столько же или еще меньше, чем в контроле. Обработка теплом ускорила прорастание в обоих вариантах в первые два-три месяца (рис. 5). Затем произошло резкое замедление процесса, которое продолжалось у ошпаренных семян до конца опыта. У семян, обработанных сухим теплом, в конце опыта наблюдалось резкое повышение интенсивности прорастания.

Под воздействием серной кислоты у чины крупноцветковой к концу года проросло большинство семян. Наиболее интенсивно прорастание происходило в первые два месяца (ноябрь-декабрь). Затем наблюдалось резкое падение активности прорастания, продолжавшееся до конца опыта (рис. 6).

Результаты проращивания семян в течение года показывают, что на протяжении всего этого периода химический и термический факто-

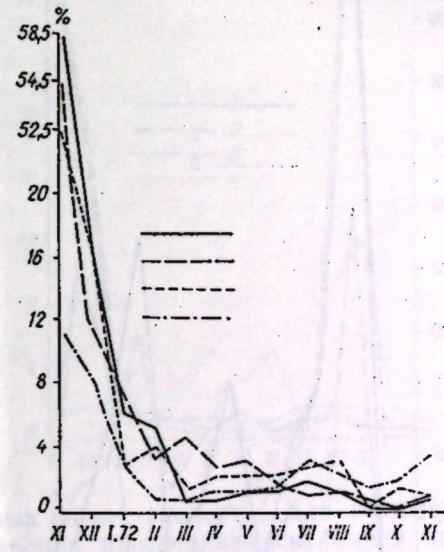


Рис. 3. Динамика прорастания семян чины лесной под влиянием обработки серной кислотой в течение 5, 10, 15 минут (кривые 1, 2, 3) и контрольные (4)

ры (за исключением варианта с сухим теплом) продолжали оказывать ускоряющее влияние.

Соотношение степени действия их на прорастание у чины лесной остается таким же, как и в первые десять дней, — наибольшее уско-

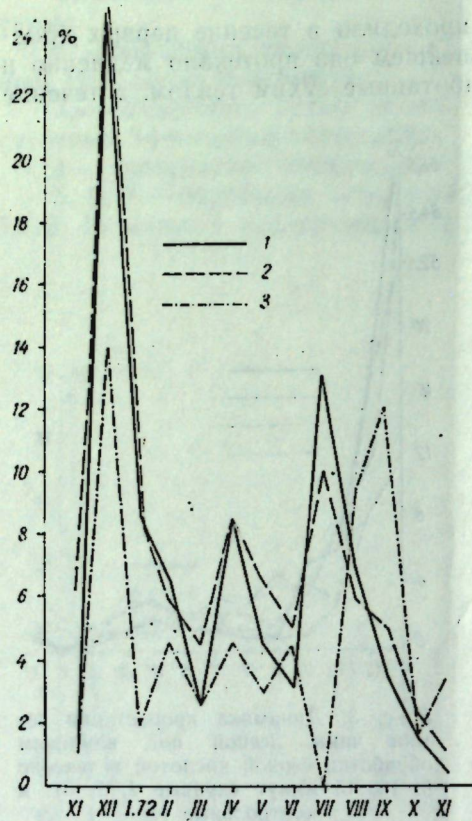


Рис. 4. Динамика прорастания семян чины крупноцветковой под влиянием холода:  
1 — непрерывного действия; 2 — прерывистого действия и 3 — контрольные

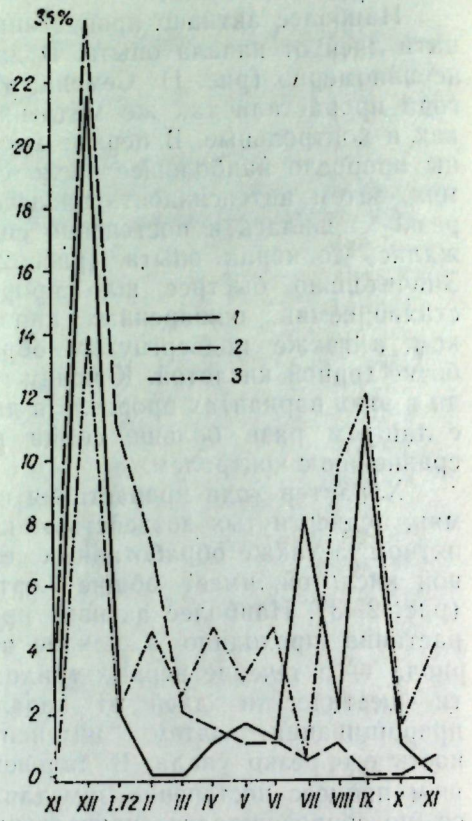


Рис. 5. Динамика прорастания семян чины крупноцветковой:  
1 — под влиянием сухого тепла, 2 — орошения и 3 — контрольные

рение происходит под влиянием химического, меньшее — под воздействием термического фактора.

У чины крупноцветковой такого соотношения не наблюдается. Максимальное число семян к концу периода проросло под воздействием

Таблица 4  
Влияние на прорастание срока хранения семян

Вид, год уборки семян	Семян, %		
	проросших	сгнивших	непроросших
Чина лесная, 1970 г.	17,2	6,9	75,9
» 1971 г.	12,4	0,2	87,4
Чина крупноцветковая, 1970 г.	21,0	0	79,0
Чина крупноцветковая, 1971 г.	5,0	0	95,0

гермического фактора. От применения химического фактора — серной кислоты (экспозиция 5, 10 мин.) — также было получено ускорение прорастания, но несколько меньшее (рис. 6).

Кроме термического и химического факторов, как отмечалось выше, нами испытывались и другие приемы воздействия на семена — хранение

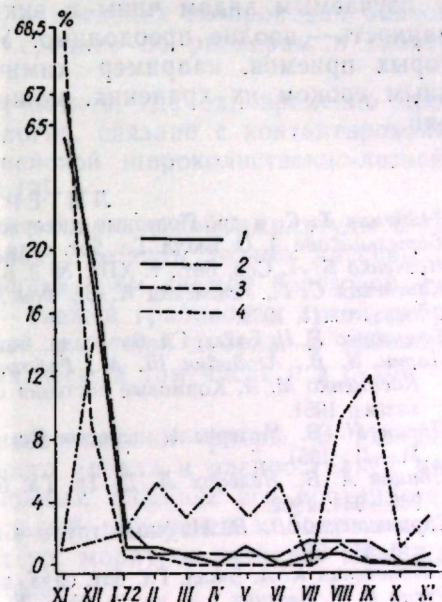


Рис. 6. Динамика прорастания семян чины крупноцветковой под влиянием обработки серной кислотой в течение 5, 10, 15 мин. (кривые 1, 2, 3) и контрольные (4)

их в течение года и уборка в разных фазах спелости. Для выяснения влияния на прорастание срока хранения проращивались семена чины лесной и чины крупноцветковой, свежеубранные (урожая 1971 г.) и хранившиеся в лаборатории в течение года (урожая 1970 г.). Наблюдения показали, что, так же как и у других дикорастущих бобовых [2, 12], у испытанных нами видов чины хранение семян ускорило прорастание (табл. 4). Так, на десятый день у чины лесной проросло семян урожая 1970 г. в полтора раза больше, чем урожая 1971 г. У чины крупноцветковой наблюдалось еще более интенсивное прорастание семян урожая 1970 г.

Влияние на прорастание фазы спелости семян изучалось на чине лесной, чине крупноцветковой и вике пестроцветной.

Таблица 5

Влияние на прорастание фазы спелости семян

Вид	Фаза развития	Семян, %		
		проросших	сгнивших	непроросших
Чина лесная	Молочно-восковая спелость	9,5	2,9	87,6
	Полная спелость	12,2	0,2	87,6
	Молочно-восковая спелость	4,0	0	96,0
Чина крупноцветковая	Полная спелость	5,0	0	95,0
	Молочно-восковая спелость	10,7	31,7	57,6
Вика пестроцветная	Полная спелость	2,7	0	97,3
	» »			

У обоих видов чины быстрее прорастали семена биологически спелые (табл. 5).

У вики пестроцветной наблюдалось наиболее интенсивное прорастание семян, убранных в молочно-восковой спелости. Но был большой процент нежизнеспособных семян.

Таким образом, проведенные исследования показали, что присущее изучаемым видам чины и вики отрицательное свойство — твердосемянность — вполне преодолимо. Установлено, что при сочетании некоторых приемов, например химической обработки семян с определенным сроком их хранения, можно ускорить процесс прорастания семян.

#### ЛИТЕРАТУРА

1. Гайдеман Т. С. и др. Полезные дикорастущие растения Молдавии. Кишинев, 1962.
2. Барыльникова А. О. Бюлл. Гл. бот. сада, вып. 8, 100—103, 1971.
3. Исаченко Б. Л. Сов. бот., т. XIII, № 3, 53—57, 1945.
4. Каневская С. Г., Успенский Н. В., Фон М. И. Тр. Бот. оп. ст. им. акад. Б. А. Келлера, т. III, 1939.
5. Комизерко Е. И. Бюлл. Гл. бот. сада, вып. 53, 77—80, 1964.
6. Ларин И. В., Агабабян Ш. М., Работнов Т. А., Любская А. Ф., Ларина В. К., Касименко М. А. Кормовые растения сенокосов и пастищ СССР, т. II. М., Сельхозгиз, 1951.
7. Ларин И. В. Материалы первого Вс. совещания ботаников и селекционеров. М.—Л., 1951.
8. Попцов А. В., Пельцих Л. Д. Тр. Гл. бот. сада, т. III, 1953. Агробиология, № 6, 932—934, 1962.
9. Скрипчинский В. В. Научные труды Ставропольского с.-х. ин-та, вып. IV, 1950, стр. 41—54.
10. Соболевская К. А. Бюлл. Гл. бот. сада, вып. 81, 54—59, 1971.
11. Уткин В. В. Вестник с.-х. науки, № 8, 70—73, 1963.
12. Уткин В. В., Нилю Г. И. Бюлл. Гл. бот. сада, вып. 66, 63—67, 1967.
13. Школьникова Т. А. Земледелие и животноводство Молдавии, № 11, 1957.
14. Яценко Я. Л. Віка пікта — нова кормова трава. Київ—Харків, 1937.
15. Ewart A. Proc. Roy. Soc. Victoria, v. 21, part. 1, 1908.
16. Harrington G. J. Agric. Res., v. 6, № 20, 1916.

УДК 581.845:582:47

Р. В. ЧЕРНЫХ, Г. И. РОТАРУ

#### ОСОБЕННОСТИ СТРОЕНИЯ ЛИСТЬЕВ РАЗНЫХ ВИДОВ ДУБА

Морфолого-анатомические особенности листа в значительной степени отражают приспособленность растений к условиям произрастания, поэтому при экологических исследованиях пользуются методом определения числа и размеров его структурных элементов [1, 2, 5]. Установлено, что менее устойчивы при изменении условий произрастания такие показатели, как толщина листа, кутикулы и мезофилла, коэффициент палисадности и наиболее консервативны устьичный аппарат и клетки эпидермиса.

В нашу задачу входило изучение анатомической структуры листа дикорастущих в Молдавии видов дуба: черешчатого — *Quercus robur* L., скального — *Quercus petraea* Liebl. и пушистого — *Quercus pubescens* Willd. и изменения ее в пределах кроны в условиях одного и того же типа леса — сухой кодринской дубравы.

Работа является частью исследования особенностей структуры и экологии сообществ различных типов дубовых лесов. Полученные данные должны послужить дополнительным критерием при определении ксероморфности названных видов в сухих местообитаниях.

Для характеристики фитоценотических условий была заложена и описана пробная площадь на территории Реденской лесной дачи (близ с. Рошканы) Страшенского лесхоза, в пределах которой для анатомического изучения листьев выбраны средние по размерам и габитусу экземпляры всех трех видов дуба.

Распространение в Молдавии участков, где одновременно произрастают три вида дуба разной экологии, связано с контактированием на ее территории сообществ Европейской широколиственной-лесной и Средиземноморской лесной областей [3].

Дуб черешчатый — вид широкой экологической амплитуды. В Молдавии распространен во всех районах, где есть лесные массивы. На севере республики он является эдификатором свежей бересовой и сухой черешневой дубрав, в Кодрах — свежей грабовой и сухой дубрав, в пойме Прута и Днестра — влажной и свежей дубрав. В небольшом обилии он встречается во всех типах леса, в том числе и в сухой гырнечевой дубраве [3].

Дуб скальный — элемент среднеевропейской флоры. В Молдавии он находится в восточной части своего ареала и распространен менее широко, чем дуб черешчатый. Основным районом его произрастания является округ Кодр, где дуб скальный приурочен к более высоким местоположениям (выше 200 м над ур. моря), и является эдификатором как свежих, так и сухих типов леса.

Дуб пушистый — субсредиземноморский вид. В Молдавии является эдификатором субаридной гырнечевой дубравы, приуроченной к наиболее сухим местообитаниям округа южномолдавских сухих гырнечевых дубрав и юго-западной части Кодр.

Участки, где совместно произрастают вышеназванные виды дуба, в Молдавии немногочисленны и занимают небольшие площади. Преобладают порослевые одноярусные древостои куртинно-полянного сложения, при этом чаще доминирует дуб пушистый. Именно такой участок выбран для пробной площади. Почва здесь темно-серая лесная тяжелосуглинистая. Состав древостоя: 6Дп 3Дч 1Дс. Деревья порослевого происхождения, расположены группами по 3—5 стволов, возраст их 30—35 лет, бонитет У. Наиболее крупные деревья дуба скального: высота 12 м при диаметре стволов 20—25 см. Наименьших размеров достигает дуб черешчатый: 10 м высоты при диаметре 12—15 см. Сомкнутость древесного полога в среднем 0,4, в куртинах — до 0,7. Хорошо выражен кустарниковый ярус. Преобладают боярышник согнуто-чашелистниковый — *Crataegus curvisepala* Lindm. и кизил — *Cornus mas* L., реже встречаются терновник — *Prunus spinosa* L., шиповник собачий — *Rosa canina* L., тордовника — *Viburnum lanitana* L., бересклет бородавчатый — *Euonymus verrucosa* Scop.

Проективное покрытие травами неравномерное. В куртинах — 5—7%, на полянах — 50—60%. Наиболее обильны осока соседняя — *Carex contigua* Hoppe., воробейник пурпурно-синий — *Lithospermum purpureo-coeruleum* L., на полянах — типчак — *Festuca valesiaca* Schleich.

Для анатомического изучения брали среднюю часть пластинки листьев из верхнего и нижнего ярусов кроны, с освещенной ее стороны. Определяли следующие анатомические показатели: толщину листовой

Таблица 1

Анатомические показатели листьев разных видов дуба ( $\mu\text{м}$ )

Вид	Толщина ткани				Размеры клеток эпидермиса				Толщина кутикулы				
	верхнего эпидермиса	нижнего эпидермиса	паренхимы	губчатой	коэффициент палисадности	верхнего	нижнего	длина	ширина	длина	ширина	верхней	нижней
<i>Quercus robur</i> L.	20	11	47,5	52,5	120	39	31,2	20	17,5	11	3,5	2,5	
	нижний лист	25	12,5	77,5	55	46	40	25	25	12,5	4,5	3	
<i>Quercus petraea</i> Liebl.	20	11,5	42,5	52,5	137	31	30,1	20	17,5	11,5	4	2	
	верхний лист	25	11,5	52,5	57,5	142	36	33,7	25	20	11,5	5	2,5
<i>Quercus pubescens</i> Willd.	20	12,5	62,5	57,5	137	45	33,3	20	17,5	12,5	4	2,5	
	нижний лист	32	12,5	77,5	77,5	217	35	30,6	32,5	25	12,5	5,5	3

пластиинки и слагающих ее тканей (кутикулы, эпидермиса, палисадной и губчатой паренхимы), величину клеток эпидермиса и мезофилла, число устьиц и их размеры. Пробы брали дважды: в конце мая и в августе — в период полной сформированности листвовой пластинки. Материал фиксировали в 70% спирте. Были изготовлены временные и постоянные препараты по общепринятой методике. Поперечные срезы рассматривали под микроскопом МБИ-3 при увеличении  $10\times 20$ . Рисунки выполняли с помощью рисовального аппарата РА-4. Из 60 измерений каждого параметра выводили средний показатель. При подсчете устьиц пользовались методом отпечатков, предложенным Г. Х. Молотковским. Количество устьиц и их размеры подсчитывали в поле зрения микроскопа МБР-1.

Таблица 2

Число и размеры устьиц в нижнем эпидермисе листа разных видов дуба ( $\mu\text{м}$ )

Вид	Нижняя часть кроны				Верхняя часть кроны			
	Число устьиц	размеры устьицных клеток		Число устьиц	размеры устьицных клеток			
		длина	ширина		длина	ширина		
<i>Quercus robur</i> L.	63	27,3	18	71	25,2	19,7		
<i>Quercus petraea</i> Liebl.	55	24,3	16,8	60	23,5	16,8		
<i>Quercus pubescens</i> Willd.	80	21,8	15,9	87	21,8	15,9		

Лист дуба характеризуется типичным для мезоморфных растений дорсовентральным типом строения. Однако он сверху и снизу покрыт хорошо выраженной кутикулой и эпидермисом из плотно сомкнутых клеток. Верхний эпидермис состоит из крупных клеток с толстой наружной оболочкой, нижний — более мелкоклеточный, с диффузно расположеными устьицами. У дуба пушистого устьица округлые, у дуба черешчатого и скального — овальные.

### Дуб черешчатый

Теневой лист из нижней части кроны (табл. 1, 2; рис. 1, а). Клетки верхнего эпидермиса овальные, длина их достигает  $31,2 \mu\text{м}$ , ширина —  $20 \mu\text{м}$ . Верхний эпидермис покрыт слоем кутикулы, толщиной  $3,5 \mu\text{м}$ . Клетки нижнего эпидермиса также овальные, но значительно меньших размеров (длина —  $17,5 \mu\text{м}$ , ширина —  $11 \mu\text{м}$ ). Толщина нижней кутикулы не превышает  $2,5 \mu\text{м}$ . Палисадный слой составляет менее половины всей толщины мезофилла ( $47,5 \mu\text{м}$ ). Он состоит из одного, реже двух, рядов клеток. Первый ряд представлен длинными, плотно прилегающими клетками, второй — короткими, расположенным более рыхло. Губчатая ткань рыхлая, состоит из 3—4 рядов клеток неправильной формы. Толщина ее —  $52,5 \mu\text{м}$ . Общая толщина листовой пластинки —  $120 \mu\text{м}$ . Число устьиц — 63, длина их  $27,3 \mu\text{м}$ , ширина —  $18 \mu\text{м}$ .

Световой лист из верхней части кроны (табл. 1, 2; рис. 1, б). Клетки верхнего эпидермиса значительно крупнее, чем у теневого листа. Эпидермальные клетки округло-овальные, длина их достигает  $40 \mu\text{м}$ , ширина  $25 \mu\text{м}$ . Толщина верхней кутикулы  $4,5 \mu\text{м}$ . Клетки нижнего эпидермиса продолговатые, размеры их значительно меньше (длина  $25 \mu\text{м}$ , ширина  $12,5 \mu\text{м}$ ). Менее выражен кутикулярный слой, толщина

его около 3 мк. В палисадной ткани хорошо развит второй ряд клеток, за счет чего увеличилась ее толщина (до 77,5 мк). Губчатая ткань состоит из трех рядов клеток неправильной формы, с довольно крупными межклетниками. Толщина ткани — 55 мк. Общая толщина листа

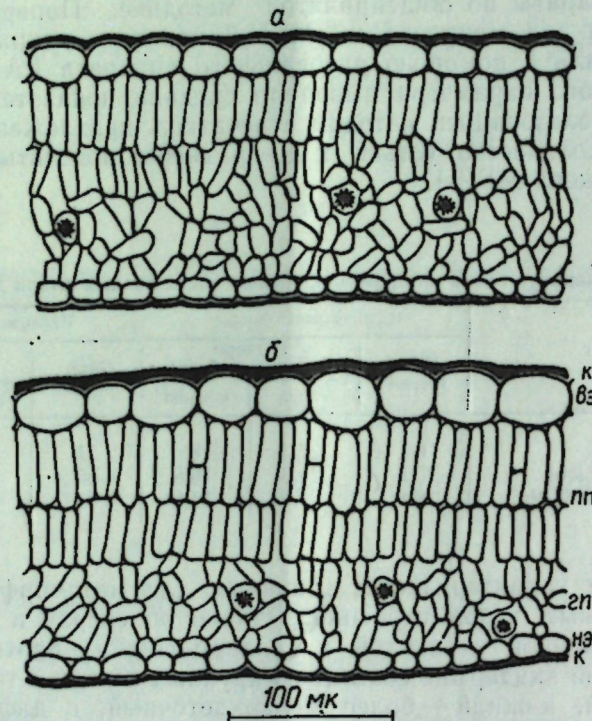


Рис. 1. Поперечные срезы листьев дуба чешуйчатого — *Quercus robur* L.:  
а — теневой лист из нижней части кроны; б — световой лист из верхней части кроны; к — кутикула; вэ — верхний эпидермис; пп — палисадная паренхима; гп — губчатая паренхима; нэ — нижний эпидермис; к — кутикула

вой пластинки — 167 мк. Число устьиц — 71, длина — 25,2 мк, ширина — 19,7 мк. В целом верхний световой лист значительно толще и по всем показателям проявляет черты большей ксероморфности по сравнению с нижним теневым листом, особенно по строению мезофилла.

### Дуб скальный

**Теневой лист из нижней части кроны** (табл. 1, 2; рис. 2, а). Клетки верхнего эпидермиса округлые, длина их не превышает 30 мк, ширина — 20 мк. Толщина кутикулы 4 мк. Клетки нижнего эпидермиса овальные, меньших размеров (длина 17,5 мк, ширина 11,5 мк), толщина кутикулы — 2 мк. Палисадная ткань образована одним слоем клеток, высота его — 42,5 мк. Губчатая паренхима состоит из 4—5 рядов рыхло расположенных клеток неправильной формы, толщина ее — 52,5 мк. Общая толщина листовой пластинки — 137 мк. Число устьиц — 55, длина их 24,3 мк, ширина — 16,8 мк.

**Световой лист из верхней части кроны** (табл. 1, 2; рис. 2, б). Эпидермальные клетки крупные, округло-овальные. Длина их достигает 33,7 мк, ширина — 25 мк, при толщине кутикулы около 5 мк. Клетки нижнего эпидермиса значительно мельче (длина 20 мк, ширина

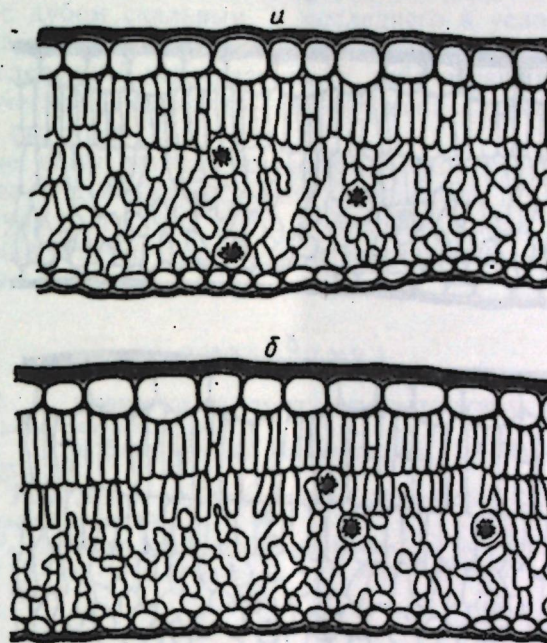


Рис. 2. Поперечные срезы листьев дуба скального — *Quercus petraea* Liebl.:  
а — теневой лист из нижней части кроны; б — световой лист из верхней части кроны. Обозначения те же, что на рис. 1

11,5 мк), толщина кутикулы — 2,5 мк. Палисадная ткань (55,2 мк) состоит из двух рядов клеток — первый из вытянутых плотно сомкнутых, второй ряд неполный, образованный короткими, рыхлорасположенными клетками. Губчатая ткань очень рыхлая, образована 3—4 рядами клеток, с хорошо выраженным межклетниками. Толщина палисадной ткани — 57,5 мк, листовой пластинки в целом — 142 мк. Число устьиц — 60, длина — 23,5 мк, ширина — 16,8 мк.

### Дуб пушистый

**Теневой лист из нижней части кроны** (табл. 1, 2; рис. 3, а). Клетки верхнего эпидермиса довольно крупные от округлых до овальных. Длина их — 33,3 мк, ширина — 20 мк, толщина кутикулы — 4 мк. Клетки нижнего эпидермиса овальные, меньших размеров (длина не превышает 17,5 мк, ширина — 12,5 мк), толщина кутикулы — 2,5 мк. Палисадный слой составляет большую часть мезофилла (62,5 мк). Он сложен двумя рядами сравнительно длинных клеток — более плотного первого ряда и рыхлого — второго. Губчатая ткань (57,5 мк) образована клетками неправильной формы. Общая толщина листа — 137 мк. Число устьиц — 80, длина их — 21,8 мк, ширина — 15,9 мк.

**Световой лист из верхней части кроны** (табл. 1, 2; рис. 3, б) значительно отличается от теневого плотностью, которая обусловлена утолщенным эпидермисом и хорошо выраженной кутикулой (до 5,5 мк).

Клетки верхнего эпидермиса большей частью округлые, длина их — 30,6 мк, ширина — 32,5 мк. Форма и размеры клеток нижнего эпидермиса варьируют от 20 до 30 мк, обычно же длина не превышает 25 мк, ширина 12,5 мк. Толщина нижней кутикулы — 3 мк. Толщина палисаднической ткани 77,5 мк, она образована двумя плотными рядами клеток, составляющими половину толщины всего мезофилла. Губчатая ткань — рыхлая, состоит из трех рядов клеток, толщина ее — 77,5 мк. Общая толщина листовой пластинки — 217 мк, то есть в 1,5 раза больше темнового листа. Число устьиц — 87, длина — 21,8 мк, ширина — 15,9 мк.

В результате сравнительно-анатомического исследования листьев трех видов дуба в условиях сухой кодринской дубравы выявлены довольно четкие различия в следующих показателях: толщина листа и кутикулы, размеры клеток эпидермальной ткани, коэффициент палисадности, число и размеры устьиц. Наиболее мезоморфными чертами в строении листовой пластинки отличается дуб скальный: невысокий коэффициент палисадности (31—36%), значительная толщина губчатой паренхимы (52,5—57,5 мк), хорошо развитые межклетники, незначительная толщина листовой пластинки (137—142 мк), довольно крупные клетки верхнего эпидермиса (30,1—33,7 мк), небольшое число устьиц (55—60), наименьшая толщина кутикулы.

Наиболее ксероморфные черты анатомической структуры листа в пределах кроны проявляются у дуба пушистого. К ним следует отнести довольно высокий коэффициент палисадности (35—45%), менее развитую систему межклетников, большую толщину листа (137—

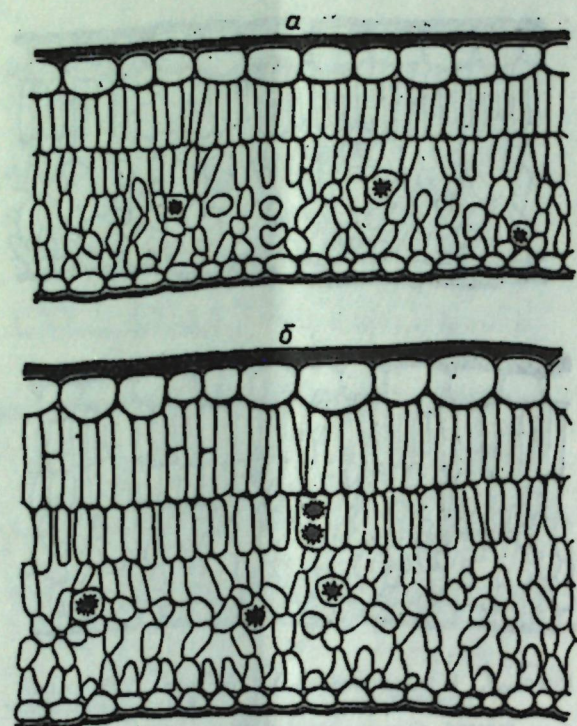


Рис. 3. Поперечные срезы листьев дуба пушистого — *Quercus pubescens* Willd.: а — темновой лист из нижней части кроны; б — световой лист из верхней части кроны. Обозначения те же, что на рис. 1

217 мк) и верхней кутикулы, несколько меньшие размеры клеток верхнего эпидермиса, значительное число устьиц (80—87) и меньшие их размеры.

У дуба черешчатого выявлены признаки большей ксероморфности по сравнению с дубом скальным. У последнего в условиях сухой кодринской дубравы сохранились черты мезоморфной структуры, то есть проявился определенный консерватизм. У дуба черешчатого — вида широкой экологической амплитуды — обнаружена большая лабильность анатомических структур.

Полученные нами данные по анатомической структуре нижних и верхних листьев подтверждают закон Заленского [4]. При этом наибольшие различия в строении листа в пределах кроны отмечены у ксероморфного вида — дуба пушистого и наименьшие — у мезоморфного дуба скального.

## ЛИТЕРАТУРА

1. Василевская В. К. Формирование листа засухоустойчивых растений. Ашхабад. Изд. АН Туркменской ССР, 1954.
2. Василевская В. К. Тр. Ботанического института, сер. III (Геоботаника), вып. 17, 1965, стр. 125—133.
3. Гайдеман Т. С. Типы леса и лесные ассоциации Молдавской ССР. Кишинев, изд-во «Карта Молдовеняскэ», 1964.
4. Заленский В. Р. Известия Киевского политехнического института, № 4, 1904.
5. Келлер Э. Ф. В сб.: Растение и среда. М. — Л., Изд. АН СССР, 1940.

## ФИЗИОЛОГИЯ И БИОХИМИЯ РАСТЕНИЙ

УДК 547.962

В. Г. КЛИМЕНКО, Л. И. АГЕЕВА

### ИССЛЕДОВАНИЕ ФРАКЦИЙ КРИВОЙ РАСТВОРИМОСТИ СУММАРНЫХ БЕЛКОВЫХ ЭКСТРАКТОВ СЕМЯДОЛЕЙ ЛЮПИНА ХРОМАТОГРАФИЕЙ НА ДЭАЭ-ЦЕЛЛЮЛОЗЕ

В предыдущих наших сообщениях было показано, что содержание общего азота семядолей и составляющих его форм, белкового азота и входящих в него фракций в определенной степени зависит от природы вида люпина [1, 4, 5]. Однако количественный признак содержания азотистого вещества не может использоваться для характеристики вида, так как он является весьма изменчивым от условий выращивания растений. Кроме того, содержание азотистых веществ определяется не только видовыми особенностями растения, но и методами их исследования. Так, применение для исследования комплекса белков семядолей видов люпина методов хроматографии и электрофореза позволяет обнаружить не только количественные, но и качественные различия, выражющиеся в отсутствии или присутствии в белках семядолей видов люпина соответствующего белкового компонента, обладающего только ему свойственным хроматографическим и электрофоретическим поведением [6, 8]. При этом необходимо принимать во внимание практически полное извлечение из обезжиренной муки семядолей люпина суммарных белков, представленных в основном глобулинами с незначительными количествами альбуминов.

В настоящей работе изложены аналитические данные, полученные при хроматографии на ДЭАЭ-целлюлозе отдельных белковых фракций, извлекаемых из суммарных белковых экстрактов семядолей видов люпина при градиентной экстракции на колонке различными концентрациями сернокислого аммония.

#### Материал и методы

Исследования проводили на белковых комплексах семядолей трех видов люпина: узколистного (*L. angustifolius* L.), представленного сортом 484, белого (*L. albus* L.) — сорт Киевский мутант и желтого (*L. luteus* L.) — сорт Быстрорастущий-4, содержащих минимальное количество алколоидов. Семена урожая 1971 г. были получены от Института земледелия Белорусской ССР (г. Жодин) и института Экспериментальной ботаники Академии наук Белорусской ССР. Семена тщательно освобождали от кожуры и осевой части зародыша, а полученные семядоли превращали в тончайшую муку, которую просеивали через мелкое капроновое сито. Оставшиеся на сите крупные частицы муки растирали в фарфоровой ступке и снова просеивали. Это повторяли до тех пор, пока на сите не оставалось не превращенных в тонкую муку частиц семядолей. Полученную муку обезжиривали этиловым эфиром при комнатной температуре и хранили при 4—5°C.

Из обезжиренной муки семядолей видов люпина количественно извлекали суммарные солерасторимые белковые экстракты, которые исследовали градиентной экстракцией на колонке [2, 7]. Эти же экстракты исследовали хроматографией на ДЭАЭ-целлюлозе [3]. Белки фракций кривой растворимости и хроматографических фракций концентрировали при полном насыщении сернокислым амmonием, а после их перерастворения исследовали электрофорезом на бумаге. Были также определены спектры поглощения фракций кривой растворимости и хроматографических фракций и рассчитаны отношения экстинкций  $E_{260}/E_{278}$  фракций, элюирующихся при соответствующих концентрациях сернокислого аммония и ионных силах буфера. После того как суммарный белковый экстракт при градиентной экстракции был разделен на фракции, были выделены белки отдельных фракций и исследованы хроматографией на ДЭАЭ-целлюлозе. Исходя из характера кривой растворимости суммарных белковых экстрактов, были выделены фракции, растворимые при 25% (фракция  $\alpha$  0—25), 25—40% (фракция  $\beta$  25—40), 40—68% (фракция  $\gamma$  40—68) и при 100% (фракция  $\delta$  68—100) насыщении сернокислым аммонием. Полученные фракции были изучены хроматографией на ДЭАЭ-целлюлозе. Белки хроматографических фракций подвергали электрофорезу на бумаге.

#### Результаты и их обсуждение

Кривые растворимости и хроматограммы суммарных солерасторимых белковых экстрактов и выделенных из них элюирующихся при различных концентрациях сернокислого аммония семядолей видов люпина представлены на рис. 1—3, из которых следует, что суммарные

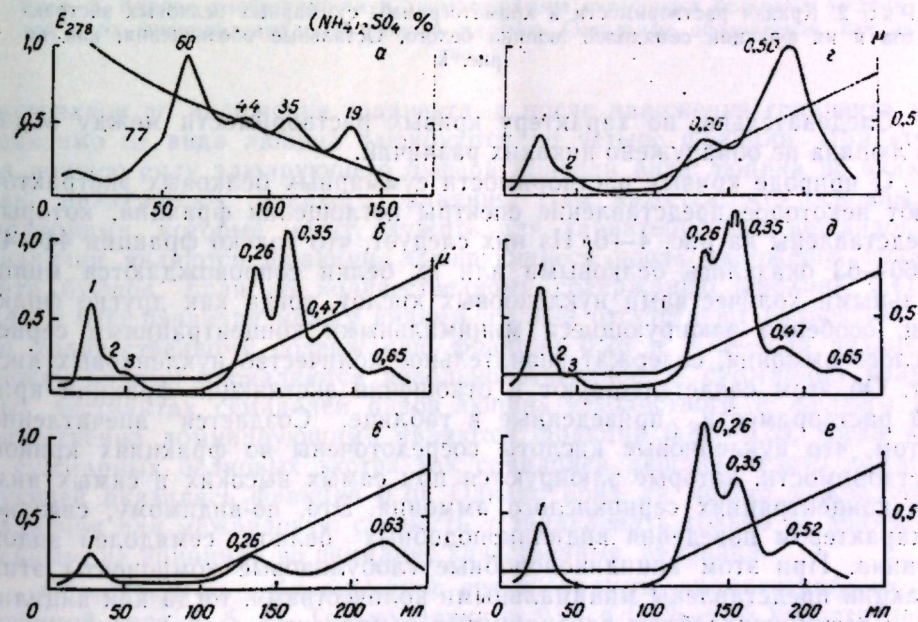


Рис. 1.  
а — кривая растворимости суммарного белкового экстракта семядолей люпина узколистного. Над вершинами пиков цифрами обозначена концентрация сернокислого аммония, при которой элюируется "фракция"; б — хроматограмма суммарного белкового экстракта семядолей люпина узколистного на ДЭАЭ-целлюлозе. На ординатах справа — ионная сила элюирующего буфера, pH 7,9; в — хроматограмма фракции 0—25%; г — хроматограмма фракции 25—40%; д — хроматограмма фракции 40—68%; е — хроматограмма фракции 68—100%.

солерасторимые белковые экстракты независимо от вида люпина разделились при градиентной экстракции на колонке на пять фракций. При этом выявлено, что природа вида люпина не оказывает практически никакого влияния на концентрацию сернокислого аммония, при которой элюируется фракция.

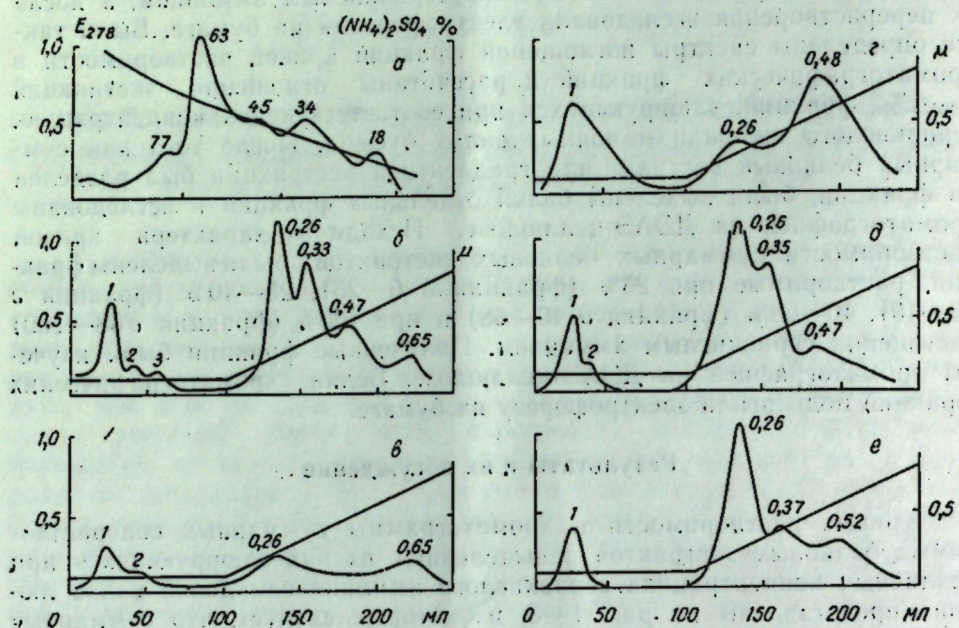


Рис. 2. Кривая растворимости и хроматограммы суммарных белковых экстрактов и их фракций семядолей люпина белого. Остальные обозначения, как на рис. 1

Следовательно, по характеру кривых растворимости между видами люпина не обнаружено никаких различий.

О природе кривых растворимости суммарных белковых экстрактов дают некоторое представление спектры поглощения фракций, которые представлены на рис. 4—6. Из них следует, что только фракции 44—45 и 60—63 оказались белковыми или их белки сопровождаются минимальными количествами нуклеиновых кислот, тогда как другие фракции, особенно элюирующиеся минимальными концентрациями сернокислого аммония, содержат значительное количество нуклеиновых кислот. Об этом свидетельствуют и отношения экстинкций фракций кривой растворимости, приведенные в таблице. Создается впечатление о том, что нуклеиновые кислоты сосредоточены во фракциях кривой растворимости, которые элюируются при самых высоких и самых низких концентрациях сернокислого аммония. Это, по-видимому, связано с характером поведения вицилиноподобных белков семядолей видов люпина. При этом вицилиноподобные глобулиновые компоненты этих фракций представлены минимальными количествами, тогда как вицилино- и легуминоподобные глобулиновые компоненты, сосредоточенные во фракциях 34—45 и 60—63 кривой растворимости, находятся в сравнительно больших количествах. Можно допустить, что белки, элюирующиеся высокими и низкими концентрациями, в количественном отношении являются не основными, а второстепенными, глобулиновыми компонентами.

При хроматографии суммарных белковых экстрактов семядолей видов люпина на ДЭАЭ-целлюлозе в зависимости от вида люпина они разделились на семь (узколистный и белый) и шесть (желтый) фракций. Если и есть различия между видами люпина, то они связаны только с фракциями, которые элюируются из суммарных белковых

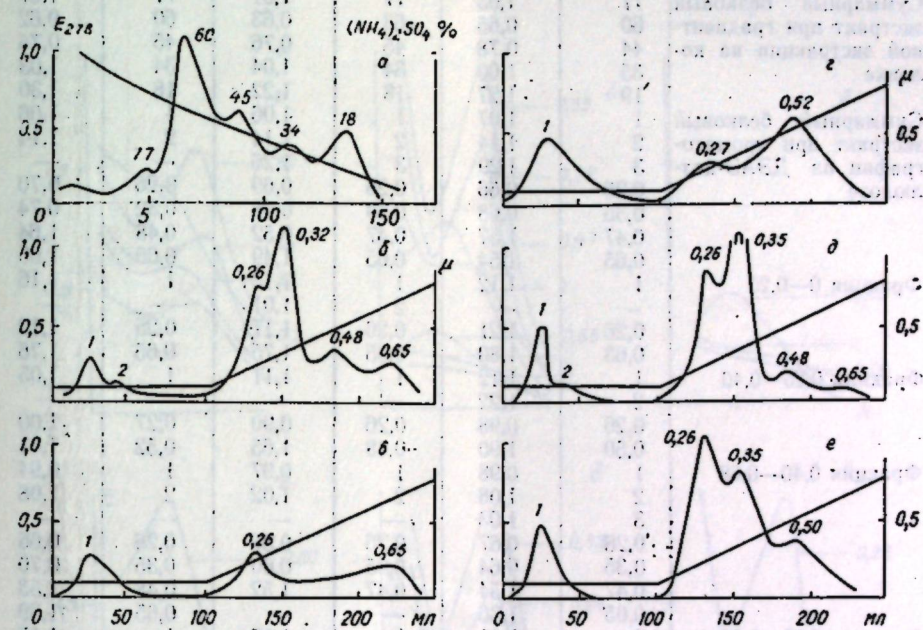


Рис. 3. Кривая растворимости и хроматограммы суммарных белковых экстрактов и их фракций семядолей люпина желтого. Остальные обозначения, как на рис. 1

экстрактов до наложения градиента, а после наложения градиента независимо от вида люпина элюируются по четыре фракции. При этом на ионную силу элюирующего буфера природа вида люпина не оказывает практически никакого влияния. Нам кажется, что основными фракциями, которые могут служить для характеристики межвидовых различий являются фракции, элюирующиеся после наложения градиента буфера. Если по количественному содержанию фракций 0,47—0,48 и 0,65 различия между видами люпина отсутствуют полностью, то по количественному содержанию фракций 0,26 и 0,32—0,35 различия между видами проявляются довольно отчетливо. В суммарных белковых экстрактах семядолей видов люпина узколистного и желтого, количественно доминирующими являются фракции 0,32—0,35, тогда как в суммарных белковых экстрактах семядолей люпина белого доминирующей оказалась фракция 0,26. Однако вряд ли можно межвидовые различия или межвидовую схожесть устанавливать только по количественным, не принимая во внимание качественные признаки.

Обращают на себя внимание спектрограммы хроматографических фракций (рис. 4, 5, 6). Только фракции 0,26 и 0,32—0,35 представлены в основном белками, сопровождаемыми минимальными количествами нуклеиновых кислот, тогда как фракции, элюирующиеся до наложения градиента и при самых высоких ионных силах буфера, являются безусловно смешанными, т. е. в них, кроме белков, отмечается значительное количество сопровождающих их нуклеиновых кислот. Это под-

Отношения экстинкций  $E_{260}/E_{278}$  фракций, элюирующихся при различных концентрациях сернокислого аммония и ионных силах буфера

Суммарные белковые экстракти и их фракции	Узколистный люпин		Белый люпин		Желтый люпин	
	Фракции	$E_{260}/E_{278}$	Фракции	$E_{260}/E_{278}$	Фракции	$E_{260}/E_{278}$
а Суммарный белковый экстракт при градиентной экстракции на колонке	77	1,03	77	1,01	77	1,07
	60	0,65	63	0,63	60	0,62
	44	0,78	45	0,76	45	0,75
	35	1,00	34	1,04	34	1,03
	19	1,27	18	1,22	18	1,30
б Суммарный белковый экстракт при хроматографии на ДЭАЭ-целлюзне	1	1,07	1	1,06	1	1,06
	2	1,14	2	1,14	2	1,14
	3	1,29	3	1,26	—	—
	0,26	0,66	0,26	0,69	0,26	0,70
	0,35	0,68	0,33	0,68	0,32	0,74
	0,47	1,57	0,47	0,52	0,48	1,64
	0,65	1,54	0,65	1,49	0,65	1,65
в Фракция 0—0,25	1	1,12	1	1,13	1	1,16
	—	—	2	1,01	—	—
	0,26	1,21	0,26	1,17	0,25	1,12
	0,63	1,80	0,65	1,75	0,65	1,76
	—	—	1	1,11	1	1,05
г Фракция 0,25—0,40	1	1,12	1	1,11	—	—
	2	1,22	—	—	—	—
	0,26	0,98	0,26	0,90	0,27	1,00
	0,50	1,90	0,48	1,65	0,52	1,81
	—	—	1	0,97	1	0,94
д Фракция 0,40—0,68	1	0,98	1	0,97	1	0,94
	2	1,08	2	1,02	2	1,08
	3	1,03	—	—	—	—
	0,26	0,67	0,26	0,56	0,26	0,66
	0,35	0,64	0,35	0,60	0,35	0,70
е Фракция 0,68—1,00	0,47	1,54	0,47	1,52	0,48	1,53
	0,65	1,36	—	—	0,65	1,39
	1	1,11	1	1,17	1	1,15
	0,26	0,70	0,26	0,74	0,26	0,79
	0,35	0,78	0,37	0,79	0,35	0,85
	0,52	1,64	0,52	1,71	0,50	1,68

тверждается и данными отношений экстинкций (табл. 1). Особенно обеднены белками и обогащены нуклеиновыми кислотами фракции 0,44—0,45 и 0,65. Последнее обстоятельство заслуживает особого внимания. Дело в том, что при хроматографии суммарных белковых экстрактов семядолей представителей трибы виковых и подтрибы фасоловых хроматографические фракции, элюирующиеся при самых высоких ионных силах, представлены только свободными от белков нуклеиновыми кислотами, тогда как аналогичные фракции семядолей видов люпина содержат, кроме нуклеиновых кислот, также и белки, обладающие определенный электрофоретическим и хроматографическим поведением.

Электрофорограммы хроматографических фракций суммарных белковых экстрактов семядолей люпина и фракций, извлекаемых различными концентрациями сернокислого аммония, приведены на рис. 7—9. Если белки хроматографических фракций 0,26 (фракция б), независимо от вида люпина, при электрофорезе разделились не менее, чем на три компонента, один из которых движется к аноду, то по электрофоретическому поведению белков фракций 0,32—0,35 обнаружены межвидовые различия и сходства. Так, белки этой фракции люпина узколистного и белого разделились на два компонента — анодный и катодный, тогда как белки люпина желтого дали один анодный и два катодных электрофоретических компонента. Белки фракций 0,47—0,48 и 0,65, независимо от вида люпина, разделились на анодный и катод-

ный компоненты. Во фракциях, элюирующихся до наложения градиента, белков оказалось так мало, что провести их электрофорез не представлялось возможным. Данные электрофореза белков хроматографических фракций суммарных солерасторимых белковых экстрактов семядолей люпина показали, что эти белки не являются однородными.

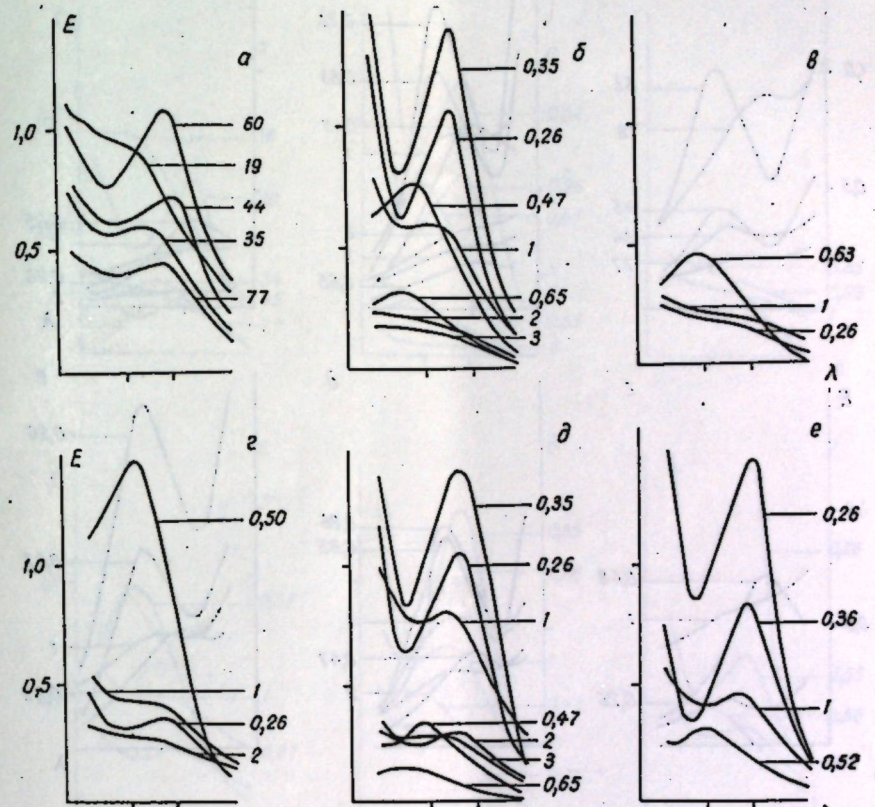


Рис. 4. Спектры поглощения фракций кривой растворимости и хроматографических фракций суммарных белковых экстрактов семядолей люпина узколистного:

а — фракции кривой растворимости суммарного белкового экстракта; б — хроматограмма суммарного белкового экстракта; в — фракция 0—0,25; г — фракция 0,25—0,40; д — фракция 0,40—0,68; е — фракция 0,68—1,00. На спектрограммах справа цифрами обозначены концентрации сернокислого аммония и ионные силы буфера, при которых элюируются фракции

При хроматографии фракции 0—0,25 (фракция в) в зависимости от вида люпина она разделилась на три-четыре фракции. Различия между видами относятся за счет фракций, элюирующихся исходным буфером, тогда как после наложения градиента получено по две фракции — 0,26 и 0,63—0,65. Во всех фракциях, кроме белков, отмечено наличие значительного количества нуклеиновых кислот, что хорошо подтверждается не только спектрами поглощения, но и отношениями экстинкций  $E_{260}/E_{278}$ . По электрофоретическому поведению белки фракций 0,26 и 0,63—0,65 являются однородными, при этом электрофоретический компонент во всех случаях остается по месту нанесения белка на электрофорограмму. Фракция 0,25—0,40 (г) при хроматографии разделилась на три хроматографических фракции, из которых две элюи-

руются после наложения градиента. Все фракции, независимо от вида люпина, носят четко выраженный смешанный характер. Это особенно хорошо заметно на фракциях 0,48—0,52. По электрофоретическому поведению белки этих фракций представлены двумя компонентами, движущимися к аноду и катоду.

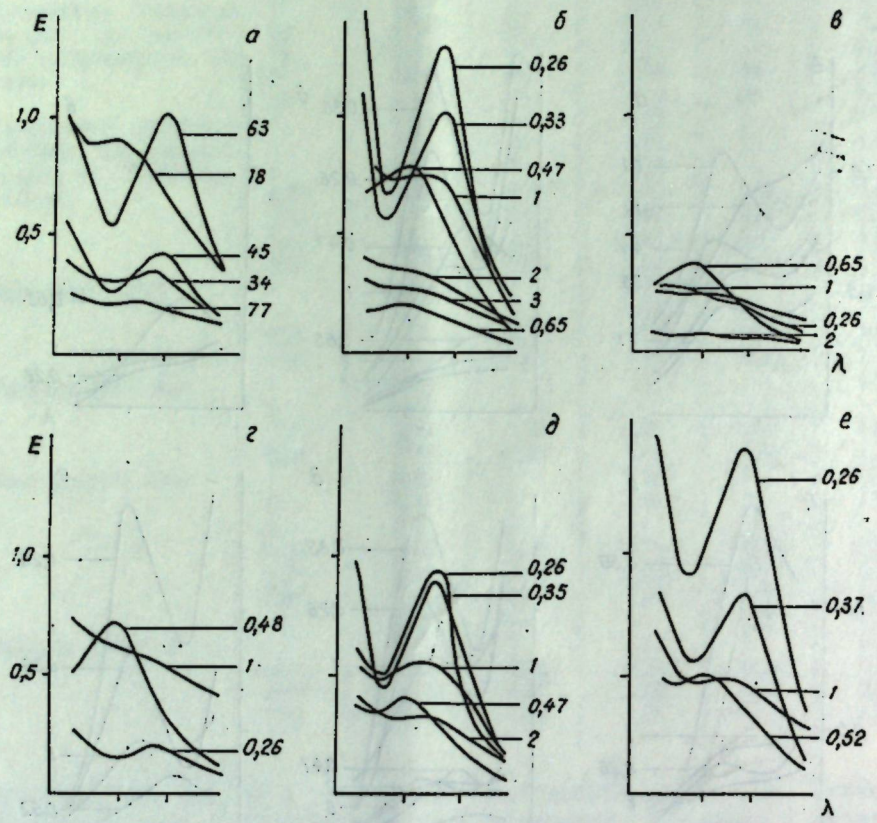


Рис. 5. Спектры поглощения фракций кривой растворимости и хроматографических фракций семядолей люпина, белого. Остальные обозначения, как на рис. 1, 4

При хроматографии фракции 0,40—0,68 (д) она оказалась достаточно сложной и напоминает хроматограмму суммарного белкового экстракта. Если по количеству фракций, элюирующихся после наложения градиента, люпин узколистный напоминает люпин желтый, но несколько отличается от люпина белого, у которого отсутствует фракция 0,65, то по количеству фракций, элюирующихся до наложения градиента, между видами люпина можно отметить, хотя и нечетко выраженные, различия. Хроматограмма люпина белого по фракциям, элюирующимся до наложения градиента, напоминает хроматограмму люпина желтого, но отличается от люпина узколистного тем, что на ней отсутствует фракция 0,65. Следовательно, по характеру хроматограмм фракций 0,40—0,68 между видами люпина, кроме их сходства, намечаются некоторые различия. Данные спектров поглощения фракций указывают на то, что хроматографические фракции 0,26 и 0,35 видов люпина содержат незначительное количество нуклеиновых кислот и представлены в основном белками, тогда как другие фракции, которые элюируются как до, так и после наложения градиента, носят

смешанный характер, т. е. они обогащены нуклеиновыми кислотами и обеднены белками. Последнее весьма убедительно подтверждается данными отношений экстинкций хроматографических фракций.

Электрофорограммы фракций 0,26, независимо от вида люпина, показывают, что белки в основном разделились на анодный и катодный

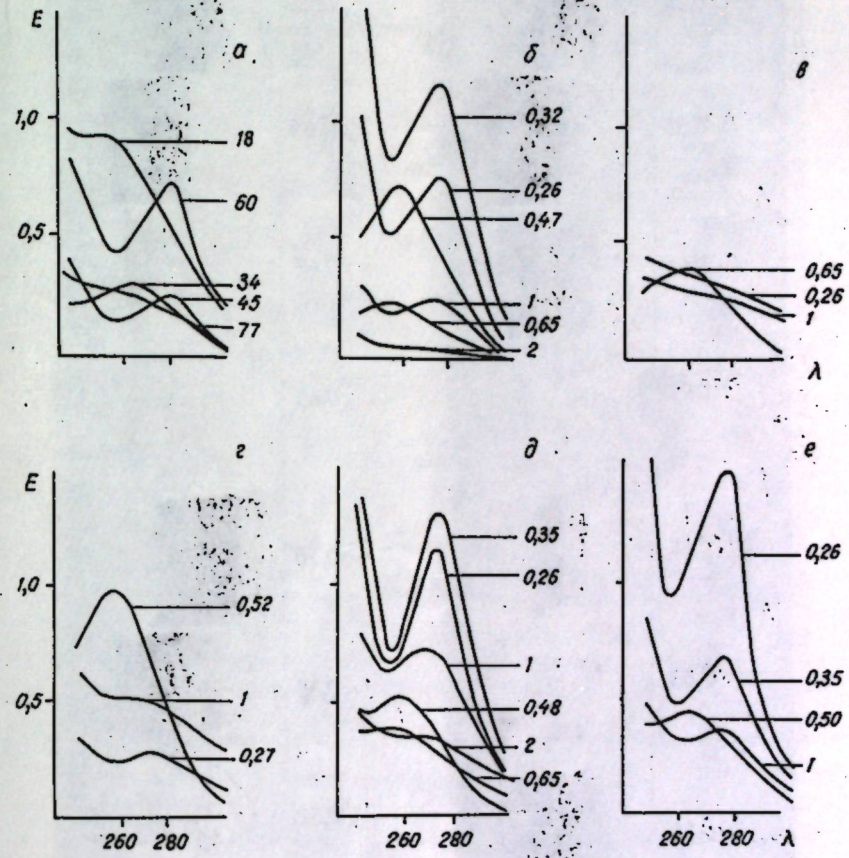


Рис. 6. Спектры поглощения фракций кривой растворимости и хроматографических фракций суммарного белкового экстракта и осажденных из него фракций семядолей люпина желтого

компоненты, но при этом количественно преобладающими оказались катодные компоненты, представляющие вицилиноподобные глобулины. Белки хроматографической фракции 0,35 также разделились на анодный и катодный компоненты, но в этой фракции количественно преобладают анодные компоненты, представляющие легуминоподобные глобулины. Белки фракций 0,47—0,48 и 0,65 при электрофорезе также разделились на два компонента. Следовательно, белки хроматографических фракций не являются однородными веществами, а представляют собой сложные системы.

Своебразные данные получены при хроматографии фракции 0,68—1,00 (фракция е), т. е. при полном насыщении исходного белкового экстракта; и после удаления из него предыдущих фракций сернокислым аммонием. При этом получены исключительно интересные данные, свидетельствующие о том, что независимо от вида люпина, на хромато-

граммме обнаружено четыре фракции, одинакового характера и элюирующиеся при одинаковых ионных силах буфера. Хроматограммы этих фракций подтверждают отсутствие не только количественных, но и качественных различий между видами люпина. Судя по спектрам по-

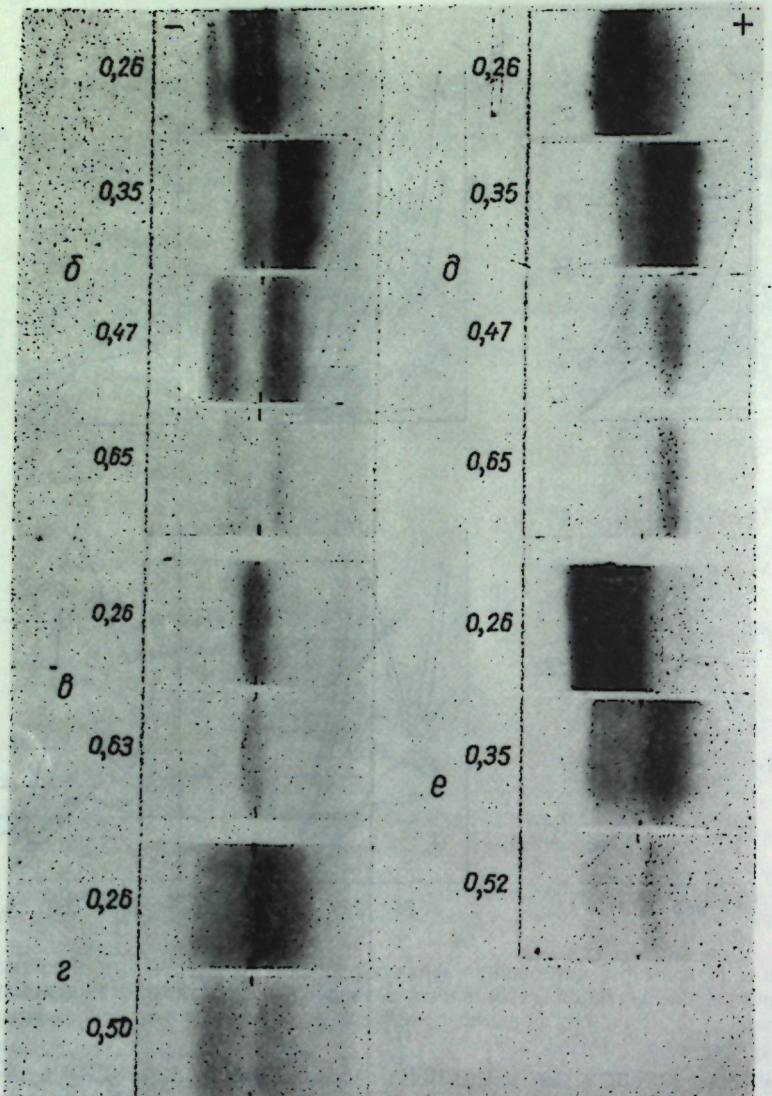


Рис. 7. Электрофореграммы хроматографических фракций суммарного белкового экстракта и фракций, осажденных из него различными концентрациями сернокислого аммония, семядолей люпина узколистного. Слева электрофореграммы цифрами обозначены ионные силы, при которых элюируются фракции. Остальные обозначения, как на рис. 1

глощения, с белками фракций 0,26 и 0,35—0,37 связано минимальное количество нуклеиновых кислот, о чем свидетельствуют и отношения экстинкций хроматографических фракций (табл. 1). Белки остальных хроматографических фракций обогащены значительным количеством нуклеиновых кислот.

По характеру электрофоретической подвижности и количественным соотношениям между анодными и катодными компонентами хроматографических фракций во фракции 0,26 вицилиноподобные глобулиновые компоненты количественно превалируют над легуминоподобными,

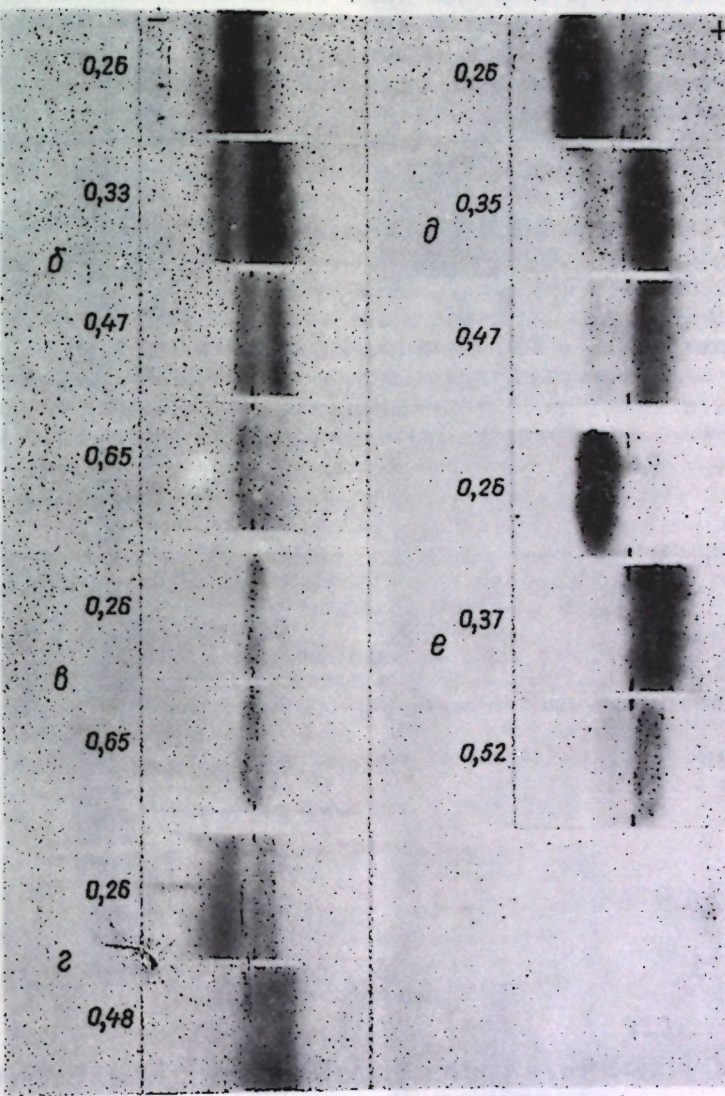


Рис. 8. Электрофореграммы хроматографических фракций суммарного белкового экстракта и фракций, осажденных из него различными концентрациями сернокислого аммония семядолей люпина белого. Остальные обозначения, как на рис. 1, 7

а во фракциях 0,35—0,37 легуминоподобные компоненты превалируют над вицилиноподобными. Белки фракции 0,52 люпина узколистного и белого разделились на анодный и катодный компоненты, а желтого — на анодный и два катодных компонента. Следовательно, белки хроматографических фракций, полученных при полном насыщении суммарного белкового экстракта, обладают также сложным электрофоретическим составом.

Вышеприведенные аналитические данные указывают на то, что между белковыми комплексами семядолей видов люпина по хромато-электрофоретическому поведению не только суммарных белковых экстрактов, но и выделенных из них фракций, растворимых в различных

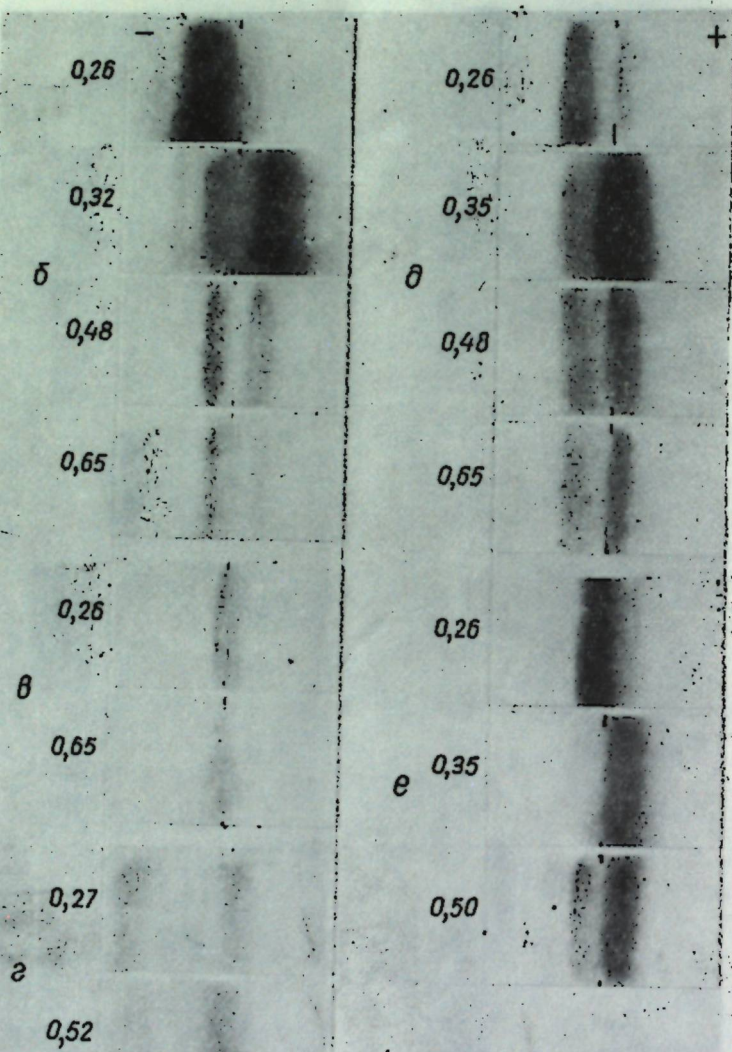


Рис. 9. Электрофорограммы белков хроматографических фракций суммарного белкового экстракта, и фракций, осажденных из него различными концентрациями сернокислого аммония, семядолей люпина желтого. Остальные обозначения, как на рис. 1, 7

концентрациях сернокислого аммония, существует большое сходство. Некоторые признаки различий между видами люпина можно обнаружить по хроматографическому поведению только некоторых фракций и электрофоретическому составу белков этих фракций. Полученные данные убедительно свидетельствуют о том, что между видами люпина обнаружено больше сходства, чем различий.

## Выводы

Из обезжиренной муки семядолей малоалкалоидных видов люпина (узколистного, белого и желтого) были получены суммарные солерастворимые белковые экстракты, которые исследованы градиентной экстракцией на колонке и хроматографией на ДЭАЭ-целлюлозе. Было также изучено хроматографическое поведение белков некоторых фракций кривой растворимости, элюирующихся различными концентрациями сернокислого аммония. Белки фракций кривой растворимости и хроматографических фракций изучены электрофорезом на бумаге.

Установлено, что при градиентной экстракции на колонке суммарных белковых экстрактов они, независимо от природы вида люпина, разделились на пять фракций, а при хроматографии на ДЭАЭ-целлюлозе, в зависимости от вида люпина, на шесть-семь фракций. Фракции 0—0,25 разделились на три, 0,25—0,40 — также на три, 0,40—0,68 в зависимости от вида люпина — на пять-семь, а 0,68—1,00 на четыре хроматографических фракции. По количеству хроматографических фракций и электрофоретическому поведению их белков между видами люпина, кроме большого сходства, выявлены и некоторые различия.

## ЛИТЕРАТУРА

1. Агеева Л. И., Клименко В. Г. В сб.: Растительные белки, вып. 9, 1970, стр. 72.
2. Алексеева М. В. Биохимия, т. 30, 60, 1965.
3. Вайнтруб И. А., Шутов А. Д., Биохимия, т. 29, 863, 1964.
4. Клименко В. Г. Доклады АН СССР, т. 71, 101, 1950.
5. Клименко В. Г., Агеева Л. И. Физиол. биохимия культ. раст., т. 3, 366, 1971.
6. Клименко В. Г., Агеева Л. И. Физиолого-биохимические особенности улучшения белкового комплекса и повышение продуктивности зернобобовых культур. Орел, ВНИИЗБК, 1973.
7. Саянова В. В., Высокос Т. Я. Тр. по химии природных соединений, вып. 8, 1969, стр. 3.
8. Саянова В. В. В сб.: Растительные белки, вып. 9, 1970, стр. 3.

УДК 581.132

Л. А. БАРАНОВ, Б. Л. ДОРОХОВ, Г. А. ШИРЯЕВА, В. С. СЛАКОВ

## ВЛИЯНИЕ НЕБЛАГОПРИЯТНЫХ ТЕМПЕРАТУРНЫХ УСЛОВИЙ НА ТОНКУЮ СТРУКТУРУ СПЕКТРА ПИГМЕНТ-ЛИПОПРОТЕИДНОГО КОМПЛЕКСА ЛИСТЬЕВ

Применение спектральных методов, обладающих высокой чувствительностью и разрешающей способностью, позволяет быстро получать сведения о конформационной перестройке структуры фотосинтетического аппарата и тем самым судить о тех изменениях его функциональной активности, которые происходят под влиянием неблагоприятных факторов среды. Повреждение фотохимических систем может сопровождаться спектральными изменениями в красноволновой области поглощения хлорофилла [10, 15, 18]. Свет высокой интенсивности и повышенная температура вызывают смещение главного красного макси-

мума поглощения хлорофилла с 680 нм в более коротковолновую область — 670 нм [16]. Одновременно с этим теряется способность хлоропластов выделять кислород. Исследованиями Красновского и др. [6] установлено наличие у красной водоросли фиофоры трех состояний агрегации хлорофилла, которые обладают специфическими максимумами поглощения. Из них хлорофилл с максимумом поглощения при 685—690 нм, соответствующий диоксановому типу упаковки молекул в агрегированных структурах, фотосинтетически неактивен. Хлорофилл или фикоэритрин в обычном агрегированном состоянии (675—676 нм) передают поглощенную ими энергию квантам хлорофиллу, находящемуся в мономерном состоянии (665—670 нм), который и осуществляет фотохимические реакции фотосинтеза.

В листьях растений в процессе их развития количество мономерной формы хлорофилла, принимающей непосредственное участие в фотосинтезе, непостоянно и уменьшается от 20—30% до 2—6% к концу вегетации [1, 4, 5].

Разные представители фотосинтезирующих организмов имеют неодинаковое содержание форм хлорофилла, различающихся положением красного максимума. Физиологическая устойчивость этих форм при воздействии на растения интенсивным светом, температурой, pH среды различна [11]. По данным Красновского [5], форма хлорофилла с максимумом поглощения при 670 нм (мономерным) характеризуется большей фотолабильностью, чем агрегированная. В опытах же Brown [13] быстрее всего выцветала длинноволновая форма хлорофилла, имеющая максимум поглощения при 695 нм. Возможно, что эти расхождения были связаны с различиями в состоянии хлорофилл-белково-липидного комплекса у растений разных видов [9, 14].

В задачу настоящих экспериментов входило выявление различий в состоянии пигмент-белково-липидного комплекса у различных растений с помощью метода второй производной абсорбции ( $D''$ ), а также воздействия повреждающих факторов на изменение тонкой структуры его спектра поглощения.

### Методика исследований

Исследования проводили с растениями томатов, произраставшими в ранневесенний период в теплице и в комнате под люминесцентными лампами, фасоли, озимой ржи, сосны, произраставшей в благоприятных условиях сухого леса (сосняка-брусничника) и на болоте. Для записей второй производной спектра абсорбции ( $D''$ ) использовали профильтрованные экстракты гомогенатов листьев указанных растений, приготовленные их тщательным растиранием в 0,1 М фосфатном буфере с pH 7,0. Спектр  $D''$  записывали на установке, созданной на базе спектрофотометра СФ-14, дифференцирующей приставки и потенциометра-самописца ЭПП-09 М1 [7, 8]. О воспроизводимости записи тонкой структуры спектра  $D''$  судили по трехкратной регистрации одной и той же пробы, которую составляли из нескольких листьев одного и того же образца.

### Результаты и их обсуждение

В отличие от обычного спектра поглощения световой энергии его вторая производная дает не количественную характеристику спектральной плотности объекта, а меру асимметрии его отдельных максимумов поглощения. Последняя может быть обусловлена количественным со-

отношением составляющих компонентов и их структурным состоянием. Так, хвоя сосны, произраставшей в неблагоприятных условиях болота, в отличие от произраставшей в благоприятных условиях сухого леса, имеет желто-зеленую окраску, что свидетельствует о нарушении у нее про-

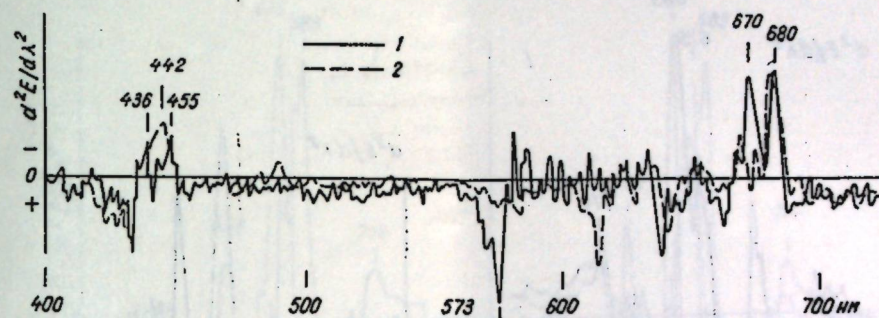


Рис. 1. Вторая производная спектра абсорбции ( $D''$ ) гомогенатов хвои сосны, произраставшей в сухом лесу (1) и на болоте (2)

цесса синтеза хлорофилла. В спектре  $D''$  это отличие проявилось в не столь четком пике мономерной формы хлорофилла (670 нм), как у хвои сосны сухого леса (рис. 1). Известно, что в метаболизме хлорофилла формы с максимумом при 670 нм предшествуют другим формам. Следовательно, дефицит этой формы может в определенной мере свидетельствовать о задержке образования других форм хлорофилла независимо от того, связан он с быстрым выцветанием или недостаточным новообразованием мономерной формы 670. Вероятно, неблагоприятные условия произрастания оказали влияние, прежде всего, на обновление именно мономерной формы. Возможными признаками от-

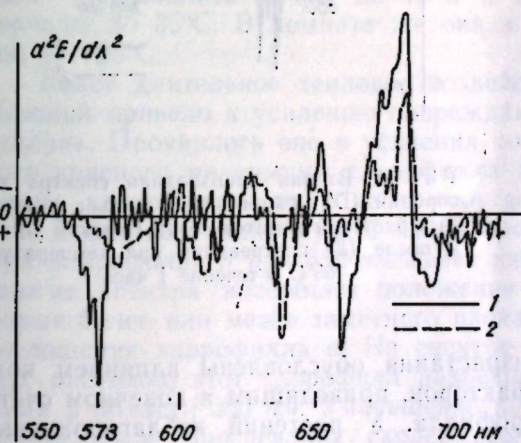


Рис. 2. Вторая производная спектра абсорбции ( $D''$ ) гомогенатов молодых (1) и старых (2) листьев озимой ржи Вятка 2. Хорошо видно проявление эффекта 570 нм (кривая 1)

клонения от нормы в результате произрастания растений в неблагоприятных условиях служило появление в синем участке отрицательной области спектра  $D''$  вместо двух пиков 436 и 455 нм одного — 442 нм, а в желто-зеленом участке положительной области слабого проявления полосы 573 нм. Последнее было получено и при сравнении спектров  $D''$  молодых и старых листьев озимой ржи, т. е. эта полоса четко проявлялась у молодых и была слабо выражена у старых листьев

(рис. 2). Старые листья озимой ржи имели заметно ослабленную полосу поглощения мономерной формы хлорофилла 670. Как в одном, так и в другом случаях описанные в определенной мере тождественные изменения в спектре D'' у старых листьев ржи и хвои сосны из

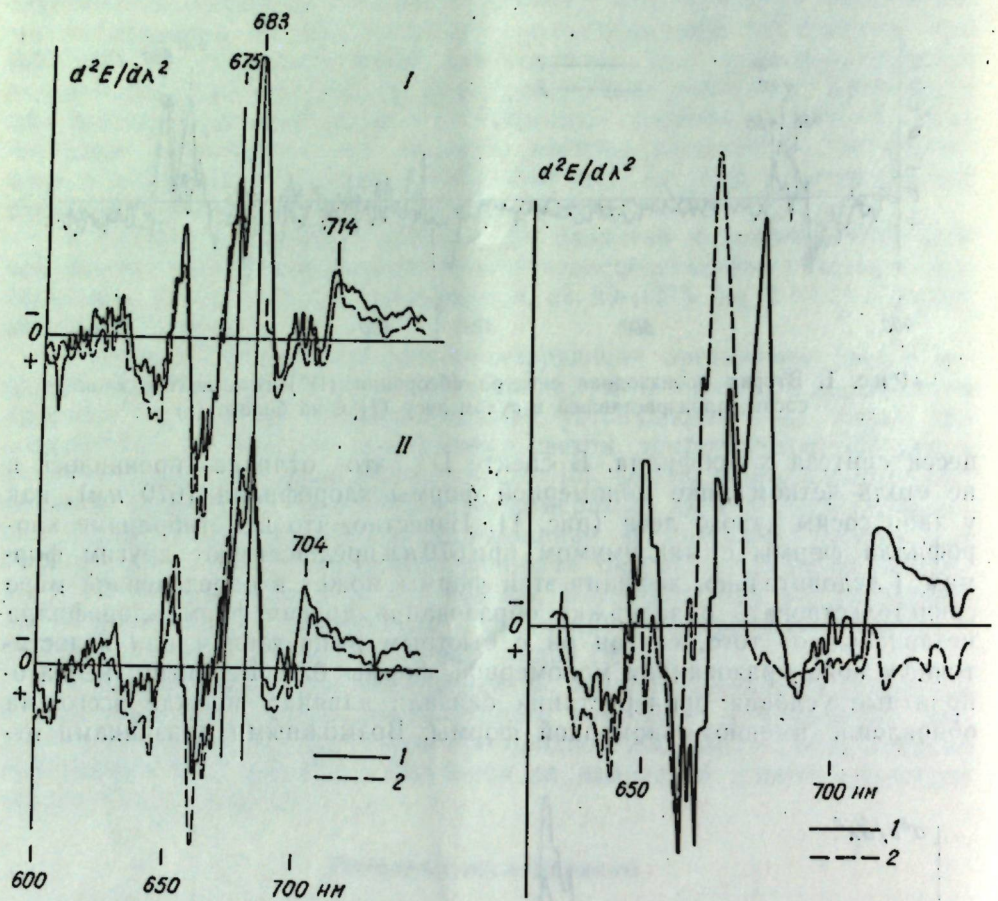


Рис. 3. Вторая производная спектра абсорбции (D'') гомогенатов тепличных (I) и комнатных растений (II) томатов сорта Янтарный до (1) и после (2) прогревания при температуре 65°C в течение 15 мин.

неблагоприятных условий произрастания обусловлены влиянием комплекса внутренних и внешних факторов, приводящим в конечном счете, к нарушению биосинтеза хлорофилла. У растений неблагоприятных условий произрастания могут быстрее проходить старение и связанные с ним метаболические и структурные изменения.

При неблагоприятных температурных условиях в листьях растений происходят изменения нативного состояния пигментной системы. Характер изменения структуры спектра D'' отражает особенности повреждающего действия высокой температуры и позволяет установить его зависимость от предшествующих условий произрастания. Так, кратковременное (15 мин.) воздействие повышенной температуры (65°C) на листья томатов сорта Янтарный приводило к заметным изменениям в

спектре D'' у комнатных растений и практически не изменяло его у тепличных растений (рис. 3). Проявилось это особенно заметно в том, что у первых, после резкого повышения температуры, преобладающим компонентом стала коротковолновая форма хлорофилла (675 нм).

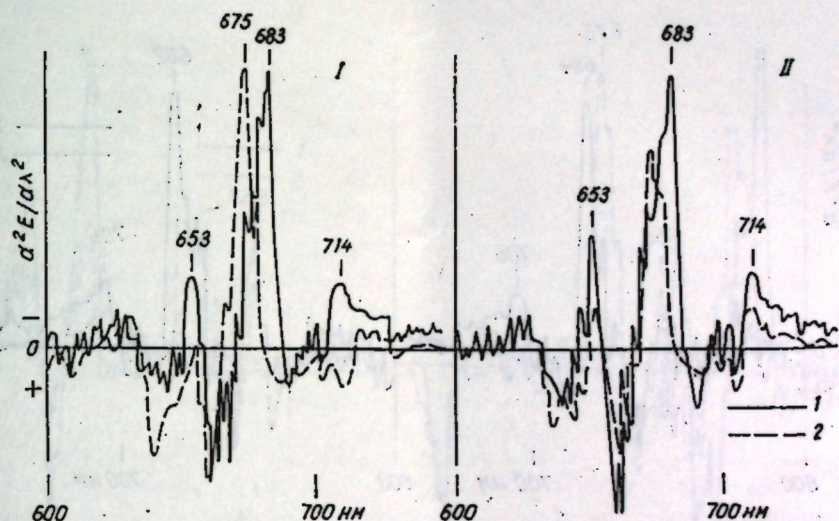


Рис. 4. Вторая производная спектра абсорбции (D'') гомогенатов листьев комнатных растений томатов сорта Невский до (1) и после (2) прогревания при температуре 65°C в течение 1 часа

Вероятно, большая устойчивость тепличных растений обусловлена более благоприятным освещением и температурной закалкой, поскольку температура воздуха в теплице в течение суток сильно колебалась — понижалась ночью до 10°C и повышалась днем в солнечные периоды до 35°C. В комнате же она в течение суток была равномерной 20—25°C.

Более длительное тепловое воздействие на листья томатов сорта Невский привело к усилению повреждающего действия температурного «удара». Проявилось оно в усилении коротковолнового смещения главного красного максимума хлорофилла (рис. 4). При этом мономерная форма хлорофилла стала не только доминирующей, но и единственной, а форма с максимумом 680 нм полностью разрушилась. Максимум хлорофилла *b* при 650 нм менее интенсивен. Известно, что на диаграмме спектра абсорбции положение хлорофилла *b* проявляется в форме более или менее заметного плеча на восходящей кривой полосы поглощения хлорофилла *a*. На спектре D'', как видно из представленных рисунков, этот хлорофилл разрешается в виде отдельного максимума в области 650 нм. Уменьшение интенсивности последнего в гомогенате после прогревания скорее всего обусловлено не изменением количества этого пигмента, а изменением либо структурного состояния белковой молекулы хлорофилл-белково-липоидного комплекса при ее денатурации, либо изменением агрегатного состояния пигмента. Если допустить уменьшение количества хлорофилла *b*, то в этом случае нужно признать, что резкое и значительное повышение температуры нарушило его синтез из хлорофилла *a* в процессе обновления пигментов [12]. В экспериментах с листьями некоторых сортов томатов было зарегистрировано исчезновение полосы поглощения 714 нм после про-

гревания (рис. 4, 5, 7). У других сортов заметных изменений в этой области поглощения не происходило. После часового прогревания листьев фасоли и томатов сорта Янтарный положение главного максимума хлорофилла *a* смешалось с 683 нм к 675 нм, уменьшалась

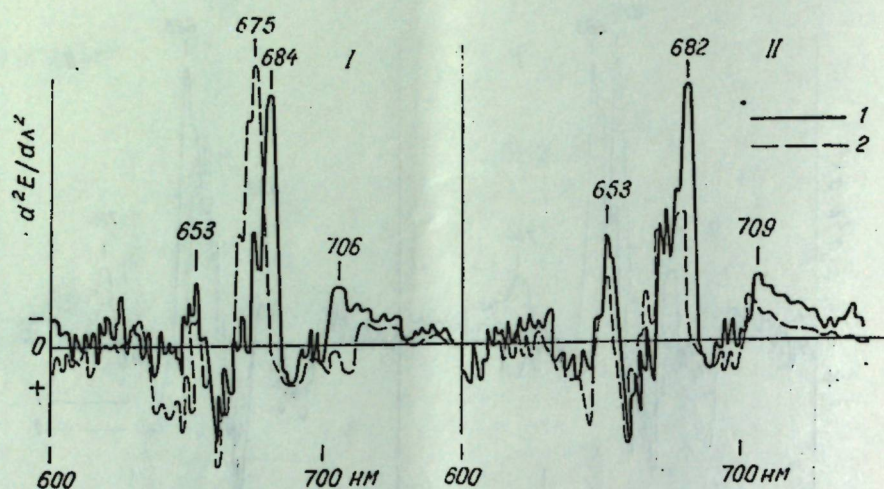


Рис. 6. Вторая производная спектра абсорбции ( $D''$ ) гомогенатов листьев тепличных (I) и комнатных (II) растений томатов гибрида Невский  $\times$  Белый налив до (1) и после (2) прогревания при температуре 65°C в течение 1 часа

также интенсивность полосы хлорофилла *b*, но поглощение в длинноволновой области за 710 нм оставалось заметно выраженным. В листьях томатов гибридного происхождения эта реакция длинноволновой формы на тепловое воздействие проявилась у тепличных растений (рис. 6). Характерным признаком повреждения фотосинтетического аппарата может служить и изменение структуры спектра  $D''$  в синей области спектра. Так, после теплового воздействия в спектре  $D''$  листьев томатов сорта Янтарный отсутствует максимум при 480 нм, обусловленный, вероятно, каротиноидами (рис. 7). Ранее проведенные наблюдения за нарушением обмена веществ при преждевременном летнем усыхании листьев томатов в условиях МССР также показали, что в естественных условиях обитания и при пребывании в камерах с повышенной температурой резкий перепад температуры в сторону увеличения приводит к сильному разрушению хлорофилла и, вероятно, к уменьшению его новообразования [3]. Сопоставление результатов этих наблюдений с излагаемыми здесь исследованиями позволяет полнее понять природу изменения хлорофилл-белково-липоидного комплекса при температурном перепаде и вызываемой им гибели листьев.

При исследовании листьев разных сортов томатов, выращенных в одинаковых условиях, были замечены различия между отдельными сортами в тонкой структуре спектра  $D''$  красной полосы поглощения хлорофилла *b*. Они обусловлены колебаниями количества форм хлорофилла *b*, относительным содержанием каждой из них, отношением содержания хлорофилла *b* к *a* (см. таблицу). Даже при одинаковом количестве дополнительных максимумов, проявляющихся в полосе поглощения хлорофилла *b*, их положение может быть неодинаковым. Это видно из сравнения данных, полученных для сорта Невский и гибрида

№ 11  $\times$  Грутовый Грибовский. Кроме того, разные сорта могут различаться по величине полуширинны полосы поглощения ( $h/2$ ). В ацетоне и диоксане значения  $h/2$  хлорофилла *b* оказались равными 22,0 и 18,0 нм, т. е. существенно большими, чем для спектра гомогенатов хло-

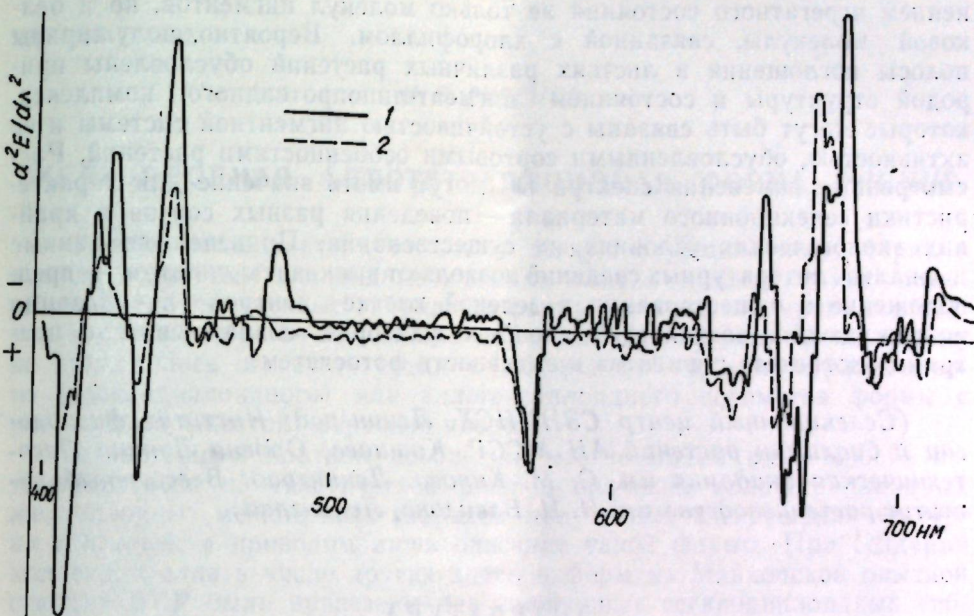


Рис. 7. Вторая производная спектра абсорбции ( $D''$ ) гомогенатов листьев тепличных растений томатов сорта Янтарный до (1) и после (2) прогревания при температуре 65°C в течение 1 часа

ропластов. Гуляев и Литвин [2] впервые заметили, что полуширинны отдельных полос поглощения больше для пигмента, растворенного в октане и петролейном эфире, чем находящегося в структуре хлоропласта. Они объясняют это неполярностью среды, окружающей молекулы

#### Структура красной полосы поглощения хлорофилла *b* листьев разных сортов и гибридов томатов (по спектру $D''$ )

Сорт, гибрид	% хлорофилла <i>b</i> от <i>a</i>	Положение отдельных максимумов, нм		Главный максимум поглощения, нм	Полуширины полосы $h/2$
		Степень их проявления, %			
Невский	39	644 20	647 20	651	12,5
Янтарный	32	635 26    644 23	647 19    650 16	653	13,0
№ 11 $\times$ Грутовый Грибовский	41	640 8	649 24	653	13,0
№ 171 $\times$ Таллалихинский	35	640 16	648 9	653	11,0
Белый налив $\times$ № 171	27			652	11,5

хлорофилла в фотосинтезирующих тканях, а также агрегацией молекул пигментов, и, как следствие, пигмент-пигментным взаимодействием, которое, по их мнению, и оказывает влияние на сужение полосы поглощения хлорофилла. Virgin и French [17] объясняют причину спектральных изменений в красной области поглощения хлорофиллов, наблюдающихся при накоплении пигментов в процессе зеленения, изменением агрегатного состояния не только молекул пигментов, но и белковой молекулы, связанной с хлорофиллом. Вероятно, полуширины полосы поглощения в листьях различных растений обусловлены природой структуры и состоянием пигмент-липопротеидного комплекса, которые могут быть связаны с устойчивостью пигментной системы и ее активностью, обусловленными сортовыми особенностями растений. Рассмотренные изменения спектра D" могут иметь значение для характеристики селекционного материала — поведения разных сортов в крайних экологических условиях их существования. Приведенные данные и анализ литературных сведений позволяют высказать гипотезу — предположение о существовании в зеленой клетке центров локализации повреждающих воздействий внешних факторов, совпадающих с центрами биосинтеза пигментов и активности фотосистем.

(Селекционный центр СЗНИИСХ, Ленинград; Институт физиологии и биохимии растений АН МССР, Кишинев; Ордена Ленина Лесотехническая академия им. С. М. Кирова, Ленинград; Всесоюзный институт растениеводства им. Н. И. Вавилова, Ленинград).

#### ЛИТЕРАТУРА

1. Воробьева Л. М., Красновский А. А. Биохимия, т. 23, 5, 760 1958.
2. Гуляев Б. А., Литвин Ф. Ф. Биофизика, т. 15, 670, 1970.
3. Дорохов Б. Л. Тр. Молд. НИИ орошаемого земледелия и овощеводства, т. 3, Кишинев, 1961, стр. 258.
4. Красновский А. А., Воробьева Л. М., Панинина Е. В. Физиология растений, т. 4, 2, 124, 1957.
5. Красновский А. А., Кособуцкая Л. М. Докл. АН СССР, т. 104, 3, 440, 1955.
6. Красновский А. А., Несторовская Е. А., Гольденберг А. Б. Биофизика, т. 1, 4, 328, 1956.
7. Марьенко В. А., Сааков В. С., Дорохов Б. Л., Шпотаковский В. С. Известия АН МССР, сер. биол. и хим. наук, № 4, 30, 1972.
8. Марьенко В. А., Сааков В. С. Физиология раст., т. 20, 3, 650, 1973.
9. Маслова Т. Г. Бот. журн., т. 44, 389, 1959.
10. Осипова О. П., Ашур Н. И. Физиология раст., т. 11, 3, 1964.
11. Тарцевский И. А. Фотосинтез и засуха. Казань, Изд-во Казанского Госуниверситета, 1964.
12. Шлык А. А. Сб.: «Теоретические основы фотосинтетической продуктивности». М., изд-во «Наука», 1972, стр. 34.
13. Brown J. S. Photochem. Photobiol., v. 2, 159, 1963.
14. French C. S. Carnegie Inst. of Wash. YBK, v. 68, 578, 1970.
15. Meister A., Maslava T. G. Photosynthetica, v. 3, 63, 1969.
16. Thomas J. B. Biochim. Biophys. Acta, v. 75, 3, 1963.
17. Virgin H. J., French C. S. Carnegie Inst. of Wash. YBK, v. 71, 187, 1972.
18. Wessels J. S. C. Currents in Photosynthesis, 129, 1965.

## ГЕНЕТИКА РАСТЕНИЙ

УДК 575.4:634.22

И. С. РУДЕНКО

### ЖЕЛТОПЛОДНАЯ АЛЛОТETРАПЛОИДНАЯ ФОРМА *PRUNUS*

Многие исследователи отмечают легкую скрещиваемость терна с алычей и другими диплоидными видами слив и описывают как экспериментально полученные гибридные формы разного геномного состава, так и спонтанные [1—9]. Однако до настоящего времени пока никому не приходилось встречать среди аллотриплоидного, аллотетраплоидного (сесквидиплоидного) или аллогексаплоидного потомства формы с рецессивной (желтой) окраской плодов.

В настоящем кратком сообщении мы не имеем возможности останавливаться на генетической роли и значении аллотетраплоидных желтоплодных межвидовых гибридов, полученных в скрещиваниях терна с алычей, а приводим лишь описание такой формы. При создании коллекции слив в числе других видов и форм из Майкопской опытной станции ВИР были привезены два спонтанных сесквидиплоидных гибрида терна с алычей, отобранные В. А. Рыбиным (1951 г.) в лесу (под названиями гибриды Щукина и Костомарова). Эти растения размножили вегетативно, а когда саженцы вступили в плодоношение, то высеяли семена гибрида Костомарова (рис. 1, а) от свободного опыления. Среди полученных сеянцев обнаружено два растения, которые по всем морфологическим признакам оказались промежуточными между терном и алычей, но с желтыми плодами и косточкой алычевого типа.

Деревья растут в густой заросли, поэтому крона небольшая, но высота достигает 6 м. Многолетние побеги коричневые, покрыты довольно крупными светло-коричневыми овальными чечевичками. Однолетние побеги темно-серые, гладкие, сравнительно тонкие. По всему побегу в междоузлиях имеются острые, короткие, иглообразные побеги, рядом с которыми вырастают однолетние побеги. Почки темно-коричневые, располагаются по две в узле: более крупная цветочная, а ростовая остроконечная, заметно меньше, темнее и прижата к побегу.

Листья почти все правильной овально-удлиненной формы с чуть оттянутой тупо заостренной верхушкой, темно-зеленые. Для крупных листьев характерна овальная форма пластинки с едва заметной обратной яйцевидностью. Край пластинки двоякоравномерно-пильчатый. Размеры листовой пластинки 4,5—6×2,5—3 см. Верхняя сторона листа слабоблестящая, без опушения, а снизу густые волоски располагаются по центральной жилке, в местах разветвлений и по мелким жилкам. Лист по своему строению очень близок к алычевому. Черешок листа длиной 1—1,5 см, опущен по верхнему желобку, сверху светло-малиновый.

Цветки формируются в почках по одному в каждой, иногда по два (рис. 1, в). Диаметр цветков 25—28 мм, лепестки удлиненно-ovalные, белые, без коготка, довольно далеко отстоят друг от друга. Чашечка

бокаловидная, светло-зеленая с четкими светлыми полосками; чашелистики отогнуты книзу. Цветоножка светло-зеленая 15—17 мм длиной. Пестик хорошо развит, пыльники расположены на одном уровне с рыльцами. Тычинок 18—20, пыльца на 75—80% нормальная, тетраэдрической формы, равномерная, но для 20% пыльцы характерны мелкие размеры и округлая форма.

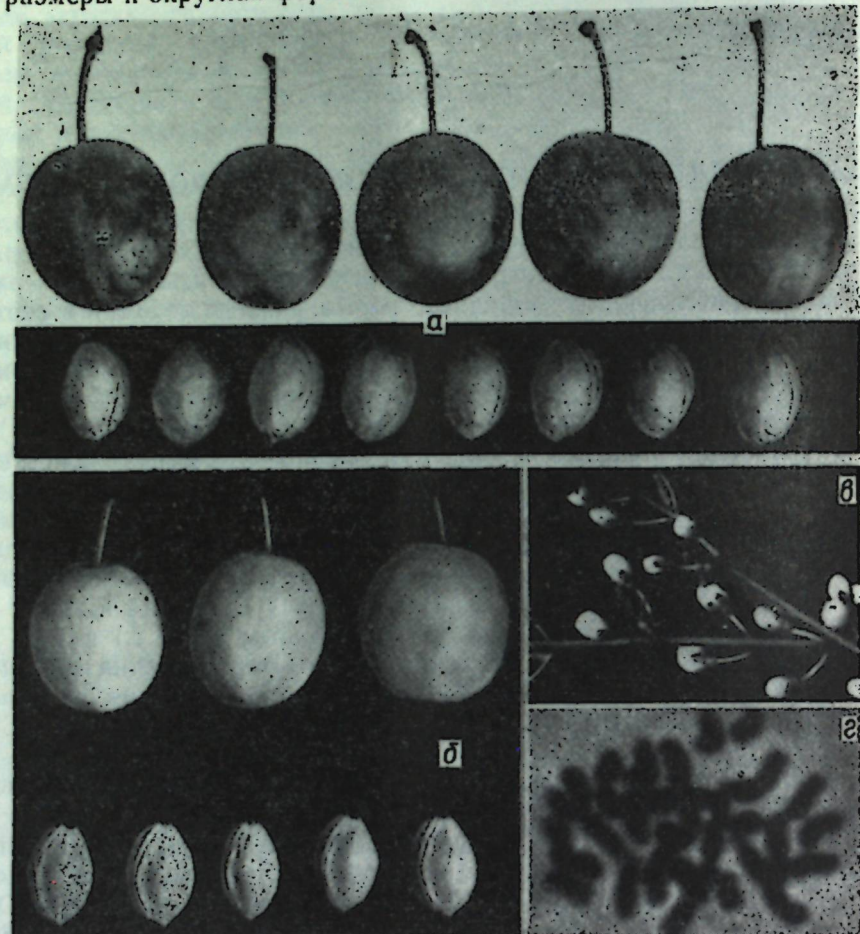


Рис. 1. Исходная форма и гибрид:  
а — плоды и косточки гибрида Костомарова (сентябрь 1970 г.); б — плоды, косточки (13.X 1971 г.); в — цветки (20.IV 1970 г.); г — хромосомы (28.I 1970 г.,  $\times 2300$ ) желто-плодного сеянца

Плоды (рис. 1, б) округло-овальные, желтые или грязно-желтые со слабо заметным фиолетовым оттенком в период полной зрелости, которая наступает во второй половине сентября, а в начале октября они начинают осыпаться. Средний вес одного плода — от 4 до 5 г. Плодоножка тонкая, желто-коричневая, без утолщения в небольшом углублении — месте прикрепления к плоду. На верхушке плода имеется темная, округлая, чуть выступающая точка — остаток пестика. Окраска кожицы некоторых плодов грязно-желто-зеленая, сходная с окраской плодов Ренклода зеленого. Мякоть желтая, сочная с терновым ароматом, кисло-сладкая, приятного вкуса со слабо ощущимой терпкостью около косточки, от которой хорошо отделяется. У недозрелых плодов терпкость ощущается сильнее и мякоть темно-зеленая. Плодоношение гибрида нормальное,

Косточка (рис. 1, б) типично алычевого строения — равномерно-ovalная с заостренной верхушкой и «срезанным» с выемкой основанием. Бока косточки вздутые ближе к спинному шву. Поверхность почти ровная с едва заметной бугристостью. Спинной шов неглубокий; брюшной состоит из двух неглубоких бороздок.

В верхушечных точках роста побегов было определено число хромосом (рис. 1, г), которое оказалось равным  $4x$ , т. е.  $2n=32$ .

Таким образом, данные растения являются достоверными аллотетрапloidными гибридами между терном и алычей с желтой окраской плодов, у которых сочетаются признаки исходных форм.

Нами были изучены еще три сеянца этой же семьи, плоды которых имели темно-фиолетовую окраску, а листья обратояйцевидную форму, хотя косточки их также напоминали алычу.

По-видимому, Рыбин [6] описал такой же желтоплодный сеянец с промежуточными признаками, но не установил число хромосом. Поэтому на основании его сведений нельзя категорически утверждать, что по генотипу растение было аллотетрапloidным.

## ЛИТЕРАТУРА

- Еникеев Х. К. В кн.: «Доклады советских ученых к XVI Международному конгрессу». М., 1962, стр. 81—87.
- Еремин Г. В. Научные труды Краснодарского Госпединститута, вып. 82, 1967, стр. 58—81.
- Ковалев Н. В. Цитология и генетика, т. III, № 2, 168—172, 1969.
- Рыбин В. А. Труды по прикладной ботанике, генетике и селекции. Серия II, № 10, Генетика, селекция и цитология растений. М.—Л., 1936, стр. 6—43.
- Рыбин В. А. В сб.: Президенту АН СССР академику В. Л. Комарову к 70-летию научной деятельности. Л., 1939, стр. 687—695.
- Рыбин В. А. Труды Крымского филиала АН СССР, т. I. Симферополь, 1951, стр. 45—61.
- Endlich J. und Murawski N. Züchter, 32, N. 3, 121—133, 1962.
- Olden E. J. Interspecific plum crosses. Balsgard. 1—58, 1965.
- Salesse G. Ann. Amelior. Plants, 17, 4, 397—408, 1967.

УДК 633.11

П. И. БЮЮКЛИ, Н. А. ГЕОРГИЕВ

## СИНТЕЗ НОВЫХ ФОРМ ОЗИМОЙ ТВЕРДОЙ ПШЕНИЦЫ ПРИ МЕЖВИДОВОЙ ГИБРИДИЗАЦИИ

Озимая твердая пшеница — новая продовольственная культура. Она является незаменимым сырьем для макаронно-кондитерской промышленности. Из ее муки изготавливаются лучшие сорта макарон, вермишели, спагетти и т. д.

Весьма актуальным является создание зимостойких сортов этой культуры интенсивного направления. Вместе с тем ее генофонд сравнительно беден. Для обогащения исходного материала этой культуры перспективным является скрещивание ее с озимой мягкой пшеницей, среди которой созданы исключительно высокопродуктивные, неполегающие сорта: Безостая 1, Аврора, Кавказ, Одесская 51.

Начало работы по синтезу озимой твердой пшеницы методом межвидовой гибридизации в нашей стране было положено Кобальтовой

[3]. Формы озимой твердой пшеницы, полученные ею при скрещивании яровой твердой пшеницы с озимой, оказались слабозимостойкими и низкопродуктивными. Аналогичные работы позднее были выполнены Лукьяненко, Шулыдиным [4, 9]. Проведенными исследованиями был решен ряд теоретических и методических вопросов, хотя в конечном итоге они не получили выхода в практику.

Особенно эффективными были работы по созданию сортов озимой твердой пшеницы в нашей стране за последнее двадцатилетие [5, 6, 8, 10]. Так, академик Ф. Г. Кириченко впервые в селекционной практике создал для степи Украины ряд сортов пшеницы (Мичуринка, Новомичуринка, Одесская, Юбилейная и др.). По продуктивности они находятся на уровне сортов озимой мягкой пшеницы степного экологического типа: Одесская 3, Бельцкая 32.

Однако этот уровень сейчас заметно повышен за счет новых сортов пшеницы: Безостая 1, Одесская 51, Кавказ и других.

В настоящей работе, выполненной под научным руководством академика А. Е. Коварского, приводится экспериментальный материал по получению новых неполегаемых форм озимой твердой пшеницы в условиях Молдавии.

### Исходный материал и методика

В качестве исходного материала для гибридизации были использованы наиболее перспективные сорта озимой твердой пшеницы нашей селекции (Кишиневская черноколосая, Кишиневская ранняя, Мелянопус 311, Эритромелан 36 и др.) и озимой мягкой (Безостая 1, Кавказ).

Посев гибридов первых поколений производили по общепринятой методике. Зимостойкость и выживаемость растений определяли методом подсчета.

Цитологию гибридов  $F_1$ — $F_2$  изучали методом давленных тканей. Гетерозис гибридов  $F_1$ — $F_2$  определяли в процентах по отношению к показателям лучшего родителя. Показатели продуктивности линий, выделенных из старших поколений гибридов, обработаны методом дисперсионного анализа.

### ЭКСПЕРИМЕНТАЛЬНАЯ ЧАСТЬ

**Завязываемость семян — в год скрещивания.** По трехлетним данным, процент завязываемости у гибридов был выше в том случае, когда материнской формой служила озимая твердая пшеница; в обратных скрещиваниях завязываемость была несколько ниже.

По литературным данным [3, 7], при скрещивании яровой твердой пшеницы с озимой мягкой эти различия были более значительными. Этот факт мы объясняем тем, что для гибридизации нами были использованы озимые формы обоих видов пшеницы.

По форме зерна гибридные семена в год скрещивания характеризовались значительными изменениями. В том случае, когда материнской формой служила озимая твердая пшеница, семена гибридов были крупные (по длине они почти равнялись длине семян материнского сорта), но плохо выполненные, морщинистые. В обратных комбинациях они были меньше деформированы, лучше выполнены, но отличались меньшими размерами.

При скрещивании краснозерных форм с желтозерными гибриды сохраняли, в основном, окраску зерна материнского сорта. В обратных комбинациях окраска семян имела промежуточный характер.

Влияние вида материнского растения сказалось и на весе 1000 семян. По трехлетним данным этот показатель был на 14—17 г меньше веса семян материнской формы, когда в качестве ее использовали озимую твердую пшеницу. На материнских растениях мягкой пшеницы гибридные зерновки были легче на 15—25 г.

Таким образом, структура гибридных семян, их окраска и абсолютный вес при скрещивании озимых форм твердой и мягкой пшеницы различны, в зависимости от вида материнского растения.

### Изучение гибридов первого поколения

**Всхожесть и выживаемость.** У гибридов первого поколения реципрокных скрещиваний эти показатели были различными. Более высокая полевая всхожесть семян была у гибридов в том случае, когда в качестве материнской формы использовали озимую твердую пшеницу (71,8—82,2%). Обратные комбинации имели заниженную всхожесть (64,0—67,7%).

Неравнозначные гибриды по выживаемости растений в осенний период. В данном случае более высоким процентом выживаемости характеризовались гибриды, у которых материнской формой служила озимая мягкая пшеница.

Заниженный процент выживаемости растений межвидовых гибридов  $F_1$  можно объяснить значительной летальностью их, которая наиболее сильно выражена в стадии 1—3 настоящих листочков и сохраняется вплоть до выхода растений в трубку.

Межвидовые гибриды  $F_1$  имели более высокую зимостойкость в тех комбинациях, где в качестве материнской формы был взят сорт озимой мягкой пшеницы Безостая 1.

Гибрид  $F_1$  Безостая 1  $\times$  Кишиневская черноколосая, по двухлетним данным, перезимовал в среднем на 82,7%, а обратная комбинация (Кишиневская черноколосая  $\times$  Безостая 1) — только на 67,4%. Аналогичные результаты и по другим комбинациям.

У гибридов первого поколения полное доминирование имеет место по безостости и опушеннности колосковых чешуй. Окраска колоса и зерна наследуются по промежуточному типу.

Растения  $F_1$ , как правило, имели фенотип промежуточный между родительскими видами. Вместе с тем известны случаи, когда в  $F_1$  доминировали признаки материнской формы [1].

Гибридные первого поколения развиваются мощными, но превосходят исходные формы только по вегетативным признакам.

По высоте растений все гибриды превзошли лучшего родителя. В зависимости от комбинации скрещивания степень гетерозиса по этому признаку колеблется от 3,7% (45319  $\times$  Мелянопус 311) до 23,7% (Кавказ  $\times$  Кишиневская черноколосая).

Четкий гетерозис отмечен по числу колосков в главном колосе. Он варьировал в пределах 9,5—12,0% (1970 г.) и 7,0—16,0% (1971 г.). Гибридные комбинации Кишиневская черноколосая  $\times$  Безостая 1, Безостая  $\times$  Кишиневская ранняя за 1970—1971 гг. превысили лучшего родителя соответственно на 9,5—13,1 и 10,0—12,7%.

По репродуктивным признакам гетерозис отсутствовал. Из-за нарушений в прохождении мейоза у них формируется низкая fertильность (по нашим данным 40—48%), что связано с гибридизацией разнокромосомных видов пшеницы.

### Изучение гибридов второго поколения

Гибриды второго поколения характеризовались сглаживанием различий не только по всхожести семян и выживаемости растений в осенний период, но также и по зимостойкости. Так, если исходные родительские формы перезимовали на 88,9—96,5%, то гибриды, полученные на их основе, имели процент перезимовки 84,5—93,9.

При расщеплении гибридов  $F_2$  имело место широкое формообразование. При этом происходило расщепление на исходные виды пшеницы и растения промежуточного типа. Согласно нашим данным (табл. 1), соотношение видов пшеницы, полученных при расщеплении межвидовых гибридов, по морфологическому габитусу растений близко 1:1.

Таблица 1  
Соотношение видов пшеницы при расщеплении межвидовых гибридов второго поколения 1971 г.

Гибридные комбинации	Тип твердой пшеницы, %	Тип мягкой пшеницы, %	Промежуточный тип, %
Безостая 1 Эритромелан 36	39,0	44,4	16,6
Безостая 1 × Кишиневская ранняя	40,9	43,0	16,1
Кишиневская ранняя × Безостая 1	41,1	41,5	17,4
Безостая 1 × Кишиневская черноколосая	38,5	41,4	20,1
Кишиневская черноколосая × Безостая 1	39,0	41,3	19,7
Безостая 1 × Мелянопус 311	43,0	45,0	12,0
Мелянопус 311 × Безостая 1	41,8	43,5	14,7

В более суровые годы по перезимовке (1972) это соотношение меняется в пользу растений типа мягкой пшеницы.

Как показали наши цитологические исследования (табл. 2), реципрокные скрещивания влияют на формирование в  $F_2$  растений того или иного ботанического вида пшениц.

В пределах каждого вида пшеницы выщепилась большая гамма новых форм, по комплексу морфологических признаков условно отнес-

Таблица 2  
Распределение числа хромосом у гибрида второго поколения  
Кишиневская ранняя × Безостая 1  
(в среднем на 1 клетку)

Комбинация	Проанализировано растений, шт./%	Из них с числом хромосом						
		28	29–31	32–34	35	36–38	39–41	42
Кишиневская ранняя × Безостая 1	62	27	6	1	3	5	3	17
Безостая 1 × Кишиневская ранняя	100	43,5	9,7	1,6	4,9	8,0	4,9	27,5
	39	10	2	2	4	3	5	13
	100	25,6	5,1	5,1	10,2	7,9	12,8	33,3

сенных к тем или иным разновидностям. Выщепенцы твердого ряда наиболее широко представлены разновидностями албо-обскурум, мелянопус, леукокурум, гордеиморфе, аффине, мутико-аффине, мурциензе и др. К наиболее часто встречающимся разновидностям мягкой пшеницы относятся эритроспермум, лютесценс, мильтурум, ингри-аристатум и другие.

Фертильность форм пшеницы твердого и мягкого рядов в  $F_2$  заметно повышалась, хотя в целом они на 9—13% уступали исходным видам. У растений промежуточного типа фертильность составляла 40—48%, что почти в два раза меньше, чем у выщепенцев обоих видов пшеницы.

### Изучение гибридов третьего поколения

Формы пшеницы твердого и мягкого рядов в  $F_3$  осенью значительно различались по всхожести, выживаемости, форме куста, кустистости и т. д. Большинство линий мягкой пшеницы имели более высокую всхожесть, выживаемость растений и кустистость, чем у твердой. Форма куста у них была развалистая (стелющаяся) и полустоячая. Растения типа твердой пшеницы имели в основном полустоячую и развалистую форму куста.

Гибриды  $F_3$  характеризовались дальнейшим бурным формообразовательным процессом. Формы пшеницы, выделенные в  $F_2$  по комплексу рецессивных морфологических признаков колоса (остистость, белые ости, отсутствие опушения, желтое зерно), в  $F_3$  морфологически были константными, но расщеплялись по таким биологическим свойствам, как длина вегетативного периода, устойчивость к фитозаболеваниям и др. Что же касается форм пшеницы, имеющих по морфологии колоса различное число доминантных признаков, то в зависимости от них расщепление в  $F_3$  шло как по морфологическим признакам, так и по биологическим свойствам. Наиболее интенсивное расщепление наблюдалось при реципрокном скрещивании сортов Безостая 1 и Мелянопус 311. Из этой комбинации выделено максимальное количество разновидностей пшеницы. В  $F_2$ — $F_3$  из комбинации Безостая 1 × Мелянопус 311, Безостая 1 × Кишиневская черноколосая выделены трансгрессивные формы по высоте растений (58—80 см), представляющие значительный интерес для селекции. Характерной особенностью этих форм является высокая устойчивость к полеганию, среднеспелость, устойчивость к бурой ржавчине, мучнистой росе и др. Лучшие линии изучаются в различных звеньях селекционного процесса.

Одновременно с созданием нового исходного материала при селекции озимой твердой пшеницы методом межвидовой гибридизации в заключительных звеньях селекционного процесса в 1971—1973 гг. изучалось большое количество линий, выделенных П. И. Буюкли из различных комбинаций скрещивания.

Урожай зерна лучших из них (табл. 3) в среднем за 3 года составил 38,3—43,7 ц/га, что на 2,9—8,3 ц/га больше сорта Рубеж (35,4 ц/га).

Наиболее перспективными являются линии 74/68, 26/67. Отличительной особенностью приведенных форм пшеницы является хорошая зимостойкость (по этому показателю они находятся на уровне районированного на Украине сорта Рубеж), средняя устойчивость к полеганию во влажные годы. По созреванию они относятся к среднеспелой

Таблица 3

Урожай зерна озимой твердой пшеницы за 1971—1973 гг.

№ отбора	Комбинация скрещивания	Урожай зерна, ц/га по годам			Средний урожай, ц/га за 3 года	$\pm$ к стандарту, ц/га
		1971	1972	1973		
26/67	Рубеж (станд.) (Кавказская черная × Безостая 1) × × Мелянопус 256	34,2 40,0	34,1 41,0	37,8 50,2	35,4 43,7	— +8,3
74/68	(Мелянопус 256 × Кавказская черная) × Безостая 1	36,0	38,0	53,7	42,8	+7,4
152/69	(Новомичуринка × Церулесценс) × × Безостая 1	37,5	34,9	46,1	39,5	+4,1
151/67	(Мелянопус 256 × Мелянопус 44) × × Безостая 1	34,6	33,5	46,7	38,3	+2,9
НСР <sub>ос</sub> (ц/га)		2,5	2,1	3,2		
Р (%)		1,85	2,70	2,10		

группе (созревают одновременно с сортом Рубеж, или на 1—3 дня раньше его).

Технологические (макаронные) качества у них высокие: общая оценка макарон — 4—5 баллов (по 5-балльной шкале) при 2 баллах — у мягкой пшеницы (Безостая 1).

### Выводы

1. Растения F<sub>1</sub> по фенотипу занимали промежуточное положение. Их выживаемость в осенний период, а также зимостойкость были выше, при использовании в качестве материнской формы озимой мягкой пшеницы.

2. В F<sub>1</sub> гетерозис получен только по вегетативным признакам, так как мейоз протекает с большими нарушениями, в результате чего формируется заниженная fertilitъность.

3. Гибриды пшеницы F<sub>2</sub> расщепляются на исходные виды в соотношении, близком 1:1, и промежуточные формы (типы F<sub>1</sub>). Среди растений F<sub>2</sub>—F<sub>3</sub> выделены в незначительном количестве константные формы с прочной соломиной и улучшенной архитектоникой колоса.

4. Формы озимой твердой пшеницы, полученные нами, являются более продуктивными, чем сорт Рубеж.

### ЛИТЕРАТУРА

- Батыгин Н. Ф. Вестник ЛГУ, № 1, вып. 1, 1955.
- Кириченко Ф. Г., Максименко Я. К. Сборник научных трудов ВСГИ, вып. 8. Одесса, 1968, стр. 38—51.
- Кобальтова Е. А. Тр. Всесоюзного съезда по генетике, селекции, семеноводству и плем. жив.-в. 10—16 января 1929 г., том 4. Ленинград, 1930.
- Лукьяненко П. П. Бюллетень ВАСХНИЛ, № 8, 1936.
- Лукьяненко П. П. Доклады ВАСХНИЛ, № 8, 2—6, 1966.
- Малюта Д. И. «Селекция и семеноводство», № 1, 45—48, 1963.
- Мейстер Г. К. «Опытная агрономия Юго-Востока», т. 1, № 1, 1922.
- Шелепов В. В. В кн.: Селекция и сортовая агротехника озимой пшеницы, 1971, стр. 226—230.
- Шульдин А. Ф. «Селекция и семеноводство», № 9, 1940.
- Шульдин А. Ф. В кн.: Селекция и сортовая агротехника озимой пшеницы. М., 1971, стр. 115—125.

## МИКОЛОГИЯ И ВИРУСОЛОГИЯ

УДК 632.3.938:531.174

К. Н. ДАШКЕЕВА

### СУЩЕСТВУЕТ ЛИ МИКОПЛАЗМА У РАСТЕНИЙ?

В последние годы вирусологи поставили под сомнение вирусную этиологию заболеваний типа желтухи, мотивируя тем, что в пораженных клетках обнаружены тельца, которые по разнообразию формы и величины не могут быть причислены к вирусам. Первые работы в этом направлении проведены в 1965 г. Ploaie [17], который при очистке вируса столбура, применяя метод ультрацентрифугирования, выделил из больных тканей махорки мельчайшие полиморфные структуры. По мнению вирусологов Magatogach (США) и Valenta (Чехословакия), эти частицы являются причиной заболевания и принадлежат, по-видимому, к тельцам типа микоплазмы (цит. по [17]). Это привело к появлению большого числа исследований по выявлению взаимосвязи вирусных заболеваний типа желтух с микоплазменными тельцами.

Утверждение, что возбудителями заболеваний типа желтух являются микоплазмоподобные микроорганизмы, основано на морфологических данных, свидетельствующих о сходстве этих микроорганизмов с микоплазмами человека и животных. Magatogach с сотрудниками (цит. по [2]) отмечают, что митохондрии на некоторой стадии развития или дегенерации весьма сходны с микоплазмоподобными тельцами, описанными при заболеваниях типа желтух. Но внутренняя структура микоплазмоподобных тел отличается от митохондрий тем, что она не содержит кристы.

Нами при изучении морфологических изменений в ультраструктуре растительной клетки, пораженной различными патогенами, отмечены подобные образования в клетках тканей больных растений. По величине и форме они очень разнообразны, их диаметр варьирует в широких пределах — от 0,05 до 3 мк, по форме они сферические, овальные, удлиненные, почкиющиеся, гантелевидные и др. Анализируя работы вирусологов, сторонников гипотезы существования микоплазмы у растений, сопоставляя микрофотоснимки пораженных вирусом израстания клевера сосудов флоэмы растений *Vinca rosea* L. [15] и клеток растений табака, искусственно зараженных вирусом табачной мозаики [3], мы отметили поразительное сходство образовавшихся телец внутри пораженных клеток (рис. 1, а, б).

Анализ электронных микрофотографий работ многих исследователей позволил выявить в клетках растительных и животных организмов подобные образования. Они описаны Curgy [6] как митохондрии (рис. 1, в), Badenhuizen [5] как бесцветные пластиды (рис. 1, г), Hünbert [13] интерпретирует их как митохондрии и липидные гранулы (рис. 1, д), а Durzan и др. [7] описывают их как плеоморфные тельца, предшествующие образованию хлоропластов (рис. 1, ж). Такие же внутриклеточные частицы можно видеть на электронных микрофото-

графиях клеток растений, зараженных вирусами, обусловливающими заболевания типа желтух, названные некоторыми вирусологами [15] микроплазмоподобными тельцами (рис. 1, е). Hess и Strobel [10], изучая ультраструктуру клеток картофеля, пораженных *Corynebacterium sepedonicum* (Speick), отметили наличие этих бактерий внутри определенных клеточных образований, именуемых авторами «ламеллами», которые по разнообразию формы и величины весьма сходны с тельцами, названными «микроплазмами» (рис. 1, з).

Giannotti и др. [8] наблюдали в клетках больных растений необычный тип внутриклеточных микроорганизмов удлиненной и глохондной формы, которые напоминают удлиненные внутриклеточные образования в клетках *Vinca rosea*, отнесенные вирусологами Ploaie и Magamorach [16] к микроплазмоподобным тельцам (рис. 1, и, к).

Интересные образования были обнаружены нами в пораженных ВТМ клетках семядолей табака. Внутри этих образований отмечены мелкие пузырьки, этиология которых мало известна. Badenhuizen [5], исследуя под электронным микроскопом семядоли фасоли, подобные структуры интерпретировал как «образование пузырьков» путем почкования их от мембранных фрагментов (рис. 2, а). В опубликованном атласе ультраструктуры растительных клеток [1], в табл. 89, подобные образования объяснены как разрушенные митохондрии (рис. 2, б). Kwiatkowska [14] описывает их как элайопласти (рис. 2, в), а вирусологи, сторонники гипотезы о «микроплазме» [16, 17], считают, что сферические образования с грануляры содержимым относятся к микроплазменным тельцам (рис. 2, г, д).

Вышеприведенный краткий литературный обзор по цитологической характеристике различных субклеточных органелл свидетельствует о поразительном их морфологическом сходстве и в то же время показывает существенные различия в интерпретации вопроса их этиологии. По-видимому, необходимо, прежде всего, выяснить характеристику данных субклеточных телец, являются ли они патогенами или же это естественно образовавшиеся частицы в пораженной клетке, несущие функции внутриклеточной защитной реакции на внедрение вируса.

В обширном потоке исследований по «микроплазме» сформировалось три главных экспериментальных направления, рассматривающих возможности и причины взаимосвязи вирусных заболеваний типа желтух с наличием внутриклеточных микроплазмоподобных образований: 1) выявление тельц типа микроплазмы в растениях, пораженных вирусами типа желтух, и в насекомых-переносчиках; 2) выращивание тельца типа микроплазмы *in vitro* и выполнение постулата Коха; 3) ограничение заболевания и уменьшение количества микроплазмоподобных тельц в клетках пораженных растений при их обработке тетрациклином.

Наши эксперименты проводились в этих же направлениях с той разницей, что растения заражались вирусом табачной мозаики, а внутриклеточные частицы выделялись не только из больных, но и из совершенно здоровых растений.

#### Выявление тельц в растениях, пораженных вирусами, и в насекомых-переносчиках

Электронно-микроскопические исследования вирусологов, сторонников гипотезы о микроплазмоподобных тельцах как возбудителях заболеваний типа желтух, показали, что выявленные ими внутриклеточные тельца развиваются в сосудах флоэмы, где имеются оптимальные ус-

ловия для их размножения. В последние годы эти тельца были обнаружены во всех органах больных растений. Описано несколько типов тельц типа микроплазмы [17]: а) «элементарные частицы» — сферической формы с диаметром 50—100 мкм, компактные; б) удлиненные частицы 1—2 мк длины и 0,8—0,3 мк шириной; в) плеоморфные частицы 100—300 мкм, богатые рибосомами; г) большие частицы — более 2 мкм в диаметре.

Исследователи, сторонники микроплазменной гипотезы, предполагают, что эти морфологически полиморфные образования представляют собой различные фазы цикла развития указанного патогена. В подтверждение и оправдание гипотезы о наличии тельц типа микроплазмы в клетках тканей растений, больных вирусами типа желтух, приводится факт наличия такого же типа организмов и в теле насекомых-переносчиков [17].

**Наши эксперименты.** Материалы и методы исследования описаны нами ранее [3].

До заражения проводили наблюдения только под световым микроскопом, без регистрирующей аппаратуры. В цитоплазме клеток без патогена отмечено небольшое количество включений. Движение их слабое, равномерное. В зараженных клетках отмечено обилие внутриклеточных частиц, характеризующихся полиморфизмом и особой активностью. Большинство из них окружены одноконтурной оболочкой и заполнены плотным содержимым. Внутри некоторых видны неправильной формы полости. В отдельных случаях выявленные частицы имеют тонкозернистую структуру.

Размер и форма этих частиц очень разнообразны. Они вошли в большую и гетерогенную группу структур, получившую общее название «цитоплазматические частицы». Отсутствие сведений об их тонком строении и функциях явилось причиной того, что им присваиваются самые разнообразные наименования. Hruban and Rechcigl [12] приводят более 13 терминов, которыми эти тельца обозначались ранее. Нередко одним и тем же структурам присваивают различные наименования, не установив как следует их функции и происхождения.

Детальные исследования цитоплазматических частиц провели Trumper и Ericson, а также Maunsbach (цит. по [12]). Согласно Maunsbach, цитоплазматические тельца, в зависимости от их морфологических особенностей и пограничного слоя, подразделяются на 4 типа, из них тельца I типа, окруженные одинарной мембраной толщиной 6,5 нм, соответствуют микротельцам (пероксисомам); тельца II типа, окруженные одинарной мембраной, толщиной 9 нм, включающие лизосомы, мультивезикулярные тельца и один из видов автофагирующих вакуолей, III и IV типа — тельца, соответствующие автофагирующими вакуолям, окруженные двумя мембранами, толщина которых для тельц IV типа — 6,5 нм каждая.

Особую группу цитоплазматических тельц, ограниченных одинарной мембраной, Hruban и Rechcigl [12] относят к микротельцам, хотя многие исследователи считают, что микротельца идентичны или близкородственны лизосомам. Некоторые исследователи смешивают микротельца растений со сферосомами, тонкая структура которых остается до сих пор спорной. В микротельцах из клеток растений часто развиваются внутренние структуры и в зависимости от вида растения, органа или ткани образуется сердцевина различного типа. Микротельца растительных клеток содержат гидролазы, пероксидазу и специфические растительные оксидазы. Микротельца, содержащие гидролитические ферменты, могут функционировать как лизосомы (цит. по [12]).

Известно, что лизосомы сильно различаются по размерам и плотности. Гетерогенность лизосом связана с динамическими изменениями, которые претерпевают они на протяжении их жизненного цикла. Кроме того, в зависимости от фиксаторов, используемых для электронной микроскопии в процессе изготовления препаратов, отмечается изменение их размера и формы. Иногда они представляются удлиненными, приобретают форму цилиндрических или продолговатых структур.

Имеются предположения о том, что микротельца являются источником некоторых переваривающих ферментов лизосом и что были отмечены переходные формы между микротельцами и лизосомами при болезни Уилсона (цит. по [12]).

На поверхности микротельца в отдельных случаях наблюдаются короткие выступы, пузыревидные или пальцевидные вытягивания, которые интерпретируются как проростки микоплазменных телец.

Mollenhauer и др. (цит. по [12]) отмечают морфологическое сходство этих телец с микротельцами, встречающимися в клетках животных.

Относительно наличия внутриклеточных телец у насекомых, ничего не имеющих общего с переносом вирусов, нами было отмечено их обилие в клетках тканей гусеницы плодожорки, американской белой бабочки, личинок колорадского жука, шмелей, пчел и других насекомых, особенно в клетках тканей с признаками повреждения.

#### Выращивание телец типа микоплазмы *in vitro* и выполнение постулата Коха

Для доказательства, что организмы типа микоплазмы в действительности можно считать причиной вирусных заболеваний типа желтухи (согласно трактовке сторонников гипотезы о «микоплазме»), необходимо было выделить патоген, вырастить его *in vitro* и воспроизвести искусственно исходное заболевание. В этом направлении были проведены многочисленные попытки, но только некоторые из них первоначально дали положительные результаты [17].

Успешно выращивают «микоплазму» *in vitro* исследователи-вирусологи ГДР. Вначале инкубируют центрифугат микоплазмоподобных телец, выделенных из больных растений, на жидкой среде в течение 7 дней (из сообщения доктора Шпаара на VI Всесоюзном Совещании по вирусным болезням растений), затем переносят на агаризованную среду и получают «микоплазму» (рис. 3, а), способную воспроизвести болезнь. Но ни в одном случае сторонники гипотезы о «микоплазме» у растений не пытались тем же методом выделить внутриклеточные тельца из здоровых растений и вырастить их *in vitro* (а они существуют в любом организме и способны к самовоспроизведению *in vivo* и *in vitro* [3]).

Работами Балша (цит. по [3]) установлено, что субмикроскопические клеточные образования способны к саморепродукции. Особый интерес в последние годы привлекают работы по культивированию внутриклеточных компонентов *in vitro*.

Методом ультрацентрифугирования и ультрафильтрации, разработанным Ф. Д. Костиком (Отдел микробиологии АН МССР), из бесклеточного экстракта нормальных тканей здоровых корешков подсолнечника, пшеницы, кукурузы и других растений выделены мельчайшие внутриклеточные частицы, которые, по нашему мнению, морфологически соответствуют «микоплазменным» тельцам [3]. На агаризованной

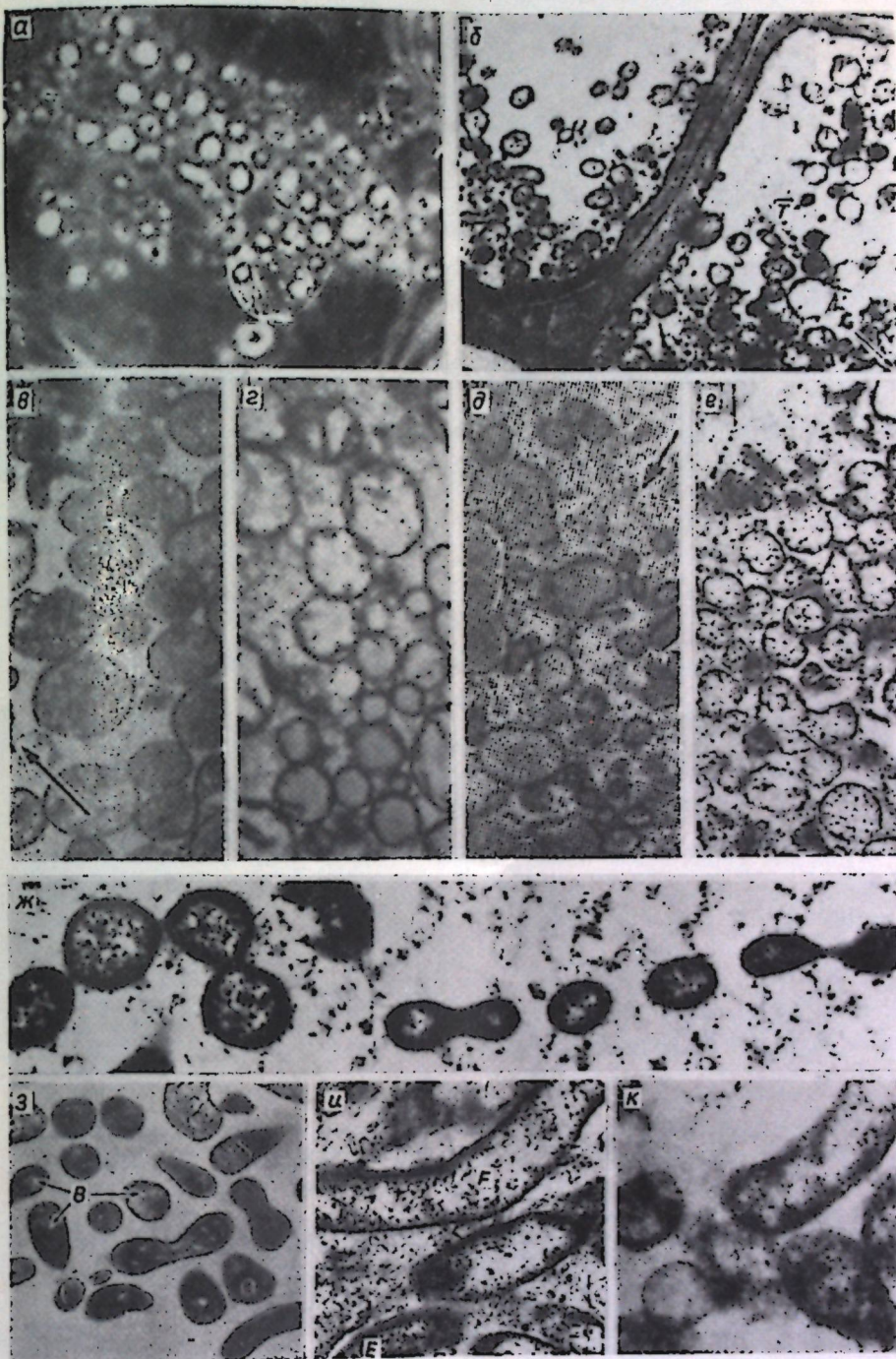


Рис. 1. Внутриклеточные тельца в пораженных и здоровых клетках (в интерпретации различных исследователей):

а — в клетке растения табака, пораженного вирусом табачной мозаики (кадр из микрофильма). $\times 6100$  по Дашиевой и др. [3]; б — в сосудах флоэмы цветочного черешка *Vicia rosea* L., пораженного вирусом израстания клевера.  $\times 10600$  (по Maillet и др. [15]); в — митохондрии.  $\times 9030$  (по Curgy [6]); г — пластиды проростков картофеля.  $\times 7500$  (по Baden-huisen [5]); д — липидные гранулы и митохондрии в цитоплазме гоноцита *Lacerta vivipara* Jacquin.  $\times 5600$  (по Hubert [13]); е — частицы в цитоплазме клетки *Tephritis conurae* douglasii.  $\times 12000$  (по Maillet и др. [15]); ж — плеоморфные тельца, предшествующие образованию хлоропластов в клетках гипокотиля сосны.  $\times 26900$  (по Durzan и др. [7]); з — в клетке черешка, пораженного *Corynebacterium sedeponicum*. Бактерии (В) внутри ламелл.  $\times 17600$  (по Hess и др. [10]); и — в пораженной клетке повилики: элементы глюбидных бактерий (Е) и формы очень удлиненные (F).  $\times 37500$  (по Gianotti и др. [8]); к — в клетках флоэмы *Vicia rosea*, пораженной желтухой, характерные тельца сферические, овальные и удлиненные.  $\times 100000$  (по Ploaie и Magamogach [17]).

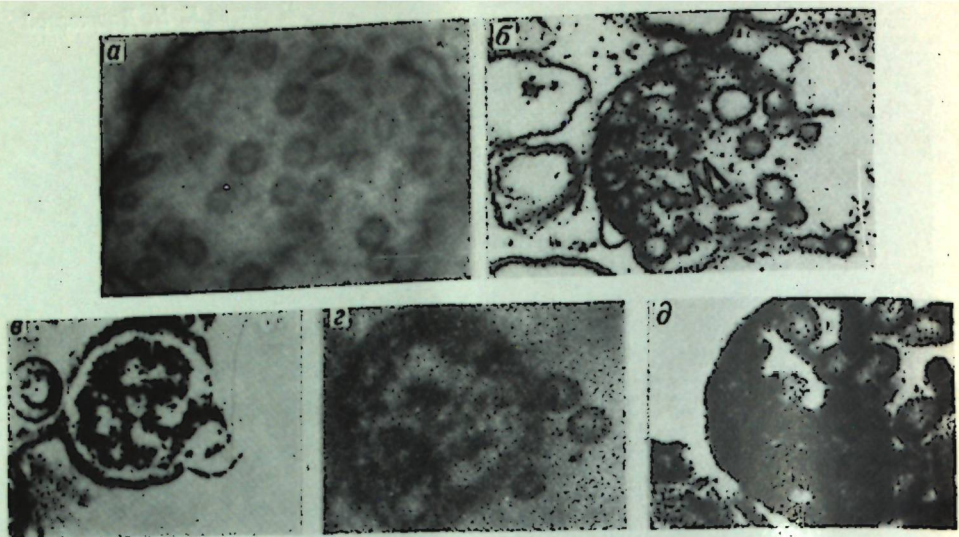


Рис. 2. Сферические внутриклеточные тельца с гранулярным содержимым (в интерпретации различных исследователей):

*a* — образование «пузырьков» путем почкования от мембранных фрагментов,  $\times 60000$  (Vandenhuisen [5]); *b* — разрушенная митохондрия в клетке пектарника огурца,  $\times 37000$  [1]; *c* — элайопласта завязи *Ornithogalum umbellatum* L.,  $\times 1500$  (Kwiatkowska [14]); *d* — большое увеличение микоплазмоподобных тельц в тонких гранулярных содержимым,  $\times 83000$  (Ploaie и Maramorach [16]); *e* — электронно-проницаемые маленькие пузырьки, окруженные мембраной, выходящие из маленького сферического тельца, содержащего электронно-непроницаемую гранулярную цитоплазму,  $\times 75000$  (Hirumi and Maramorach [11])

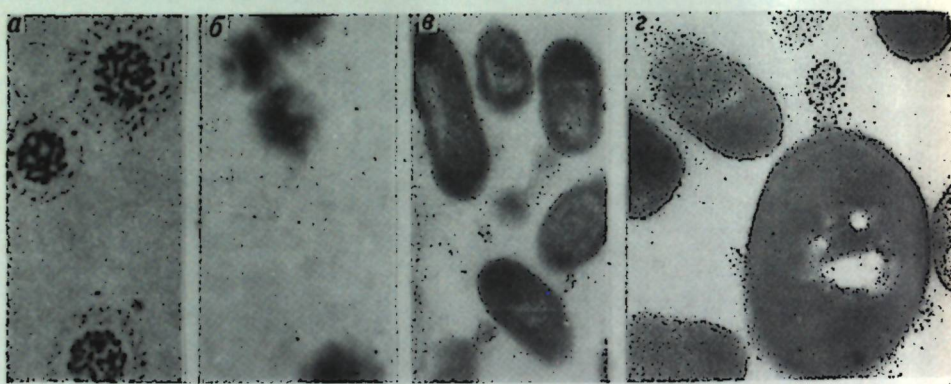


Рис. 3. Опыты *in vitro*:

*a* — колонии микоплазмидных тельц на агаровой среде,  $\times 120$  (Abd El-Shafy и др. [1]).  
*b*, *c*, *d* — внутриклеточные тельца здоровых корешков подсолнечника (*a* — колонии тельц в чашках Петри  $\times 100$ ; *b* — их электронно-микроскопическое изображение; *c* — одноконтурная трехслойная оболочка тельц).

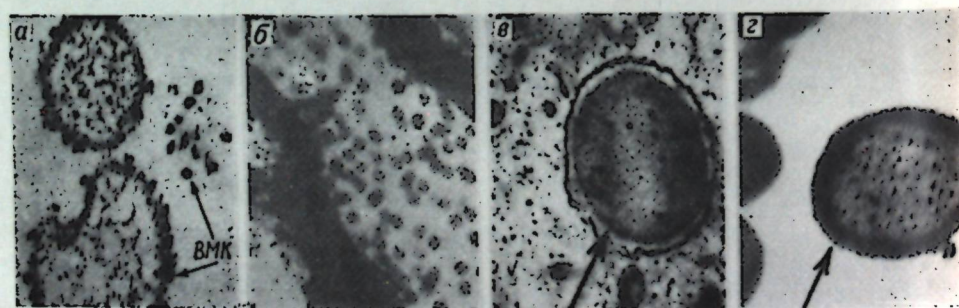


Рис. 4. Внутриклеточный фагоцитоз:

*a* — частицы вируса мозаики костра (ВМК) в средней кишке *Rhopalosiphum padi*. Отмечен момент агрегации вирусных частиц на поверхности сферических гранул (Takahashi and Orlow, [18]). (Момент приближения и адсорбции вируса внутриклеточными тельцами); *b* — вирусы, обуславливающие заболевание брусками, встречающиеся в маленьких частицах,  $\times 80000$  (Hartmann и др. [19]). (Погружение вируса внутри тельц, обуславливающих внутриклеточный фагоцитоз); *c* — тельца, фагоцитирующие пыль коллоидного золота — опыт Gordon *in vivo*; *d* — тельца, содержащие пыль золота, после фагоцитоза *in vitro* (опыты автора)

среде они образуют мелкие колонии (рис. 3, *b*), внешне напоминающие колонии бактерий, актиномицетов. Начало их роста на искусственной среде отмечается на 5—6-й день после посева на агар, а через 2—3 недели они полностью покрывают поверхность субстрата.

Электронно-микроскопическое изображение выращенных *in vitro* внутриклеточных тельц здоровых корешков подсолнечника представлено на рис. 3, *a* и 3, *c*, где ясно просматривается одноконтурная трехслойная мембрана, что в интерпретации микоплазмеников является основной отличительной особенностью тельц типа микоплазмы от других внутриклеточных включений.

Отмечена способность этих тельц к саморепродукции и на искусственной среде. Размножаются они делением и почкованием [3].

Серия опытов выращивания тельц *in vitro* проведена и с внутриклеточными частицами, выделенными из клеток растений табака, пораженными вирусом табачной мозаики. Выращенные *in vitro* тельца клеток растений, больных вирусом табачной мозаики, способны вызывать заболевание табака при их нанесении на здоровые растения. Однако тельца, выделенные от здоровых растений и выращенные *in vitro*, при заражении ими здоровых растений болезни не обусловливают [3].

Проблема существования внутриклеточных тельц тесно связана с явлениями внутриклеточного фагоцитоза. Выявленные внутриклеточные полиморфные тельца, размеры которых могут варьировать от субмикроскопического до микроскопического, подчиняются известным законам фагоцитарного процесса, когда происходит приближение сопротивляющихся тельц к вирусу, затем адсорбция вируса на их поверхности (рис. 4, *a*) и поглощение (рис. 4, *b*), ингибиование вируса или перенос его через поры клеточной мембраны с помощью мелких внутриклеточных тельц:

При извлечении этих тельц в период адсорбции или поглощения они обусловливают инфекционный процесс. Интересный факт отметил Ploaie [16] в своих экспериментах: он выявил особый морфологический тип микоплазмоподобных тельц в зараженных клетках флоэмы *Vinca rosea* L. Палочковидный вирус находился в свободном состоянии между тельцами «микоплазмы» или же на их поверхности, напоминая поражения бактерий бактериофагами. Он уточняет, что до настоящего времени неизвестны случаи, чтобы тельца типа микоплазмы были когда-либо поражены вирусами, как это отмечено исследователями при поражении бактерий [17]. Вероятно, Ploaie наблюдал процесс внутриклеточного фагоцитоза. Он выявил именно момент приближения вируса к тельцам сопротивления (их свободное размещение между тельцами) и момент адсорбции вируса на поверхности этих тельц. Но каждый исследователь дает свою трактовку, а для выявления истины необходим эксперимент.

**Наши эксперименты.** Из клеток каллюсоподобных тканей табака, зараженных вирусом табачной мозаики, были извлечены внутриклеточные тельца и ими были заражены листья индикаторного дикого вида табака *Nicotiana glauca* L. Образовавшиеся через 4 дня некрозы на зараженных листьях индикатора были доказательством того, что эти бесцветные внутриклеточные гранулы, извлеченные из зараженной ткани, являются носителями вируса-патогена. Контрольные тельца, выделенные из каллюсоподобных незараженных ВТМ тканей, нанесенные на контрольные половинки листьев индикатора, некрозов не проявили.

Полагая, что проведенный нами эксперимент не для всех будет убедительным доказательством внутриклеточного фагоцитарного процесса адсорбции и поглощения вируса этими внутриклеточными тельцами.

цами, мы обратились к опытам Гордона (цит. по [3]), который, используя пыль коллоидного золота, доказал внутриклеточный фагоцитоз *in vivo* (рис. 4, б). Нами был проведен эксперимент, аналогичный его опыту, но пыль золота внесли не в живую ткань, а в чашки Петри с колониями внутриклеточных компонентов, полученных Ф. Д. Костиным методом ультрацентрифугирования и ультрафильтрации из бесклеточного экстракта здоровых проростков подсолнечника. Через 3 недели испытуемые колонии из чашек Петри были зафиксированы. Электронная микроскопия ультратонких срезов позволила отметить, что большинство частиц фагоцитируют *in vitro* пыль золота (рис. 4, г). Эти полиморфные тельца, по всей вероятности, принадлежат к группе гранул, осуществляющих внутриклеточный фагоцитоз.

Таким образом, настало время установить единый термин для изучаемой группы микротелец, сходных по анатомическим и морфологическим признакам, функционально связанных в единую иммунологическую систему на ультраструктурном уровне.

#### ЛИТЕРАТУРА

1. Атлас ультраструктуры растительных клеток. Петрозаводск, 1972 (табл. 89 В).
2. Гольдин М. И., Федотова В. Л. Тезисы докладов VI Всесоюзного Совещания по вирусам растений. Киев, 1971.
3. Дашиева К. Н., Попушой И. С. Известия АН МССР, № 3, Серия биологических и химических наук. Кишинев, изд-во «Штиница», 1974.
4. Abd El-Shafy, A. Fudl-Allah, Calayan E. C., Igwegbe E. C. Phytopathology, 62, 7, 729—731.
5. Badenhuizen N. Canad. J. Botan., 40, № 6, 1962.
6. Curgy J. J. Exp. Cell. Research, 62, 359—367, 1970.
7. Durzan D. J., Mia A. J., Wang B. S. P. Canad. J. Botan., v. 49, 12, 1971.
8. Giannotti J., Vago C., Marchoux G., Devauchelle G., Duthort J. L. C. R. Acad. Sci. Paris, t. 271, S. D, 2118—2119, 1970.
9. Hartmann J. X., Bath J. E., Hooper G. R. Phytopathology, v. 63, № 3, 1973.
10. Hess W. M., Strobel G. A. Phytopathology, v. 60, 10, 1428—1431, 1970.
11. Hirumi H., Maramorach K. Phytopathology, Z. 75, 9—26, 1972.
12. Hruban Z., Reichcigl M. Microbodies and Related Particles. Ac. Pr. London, 1969.
13. Hubert J. C. R. Acad. Sci. Paris, Série D, 24, 2273—76, 1968.
14. Kwiatkowska M. Acta Societatis Botanicorum Poloniae, v. XXXV, № 1, 7—18, 1966.
15. Maillet L., Gourret J. P., Hamon C. C. R. Acad. Sci. Paris, t. 266, Ser. D, № 24, 2309—2311, 1968.
16. Ploaie P. G. and Maramorach K. Phytopathology, v. 59, № 5, 536—544, 1969.
17. Ploaie P. G. Studii și cercetări de biologie, seria Botanică, 23, № 1, 87—96, 1971.
18. Takahashi J. and Orlob G. B. Phytopathology, v. 62, № 4, 429—434, 1972.

УДК 582.282(478)

И. С. ПОПУШОЙ, Ж. Г. ПРОСТАКОВА, Л. А. МАРЖИНА,  
Э. Ф. ХРИПУНОВА, Э. Д. КОГАН

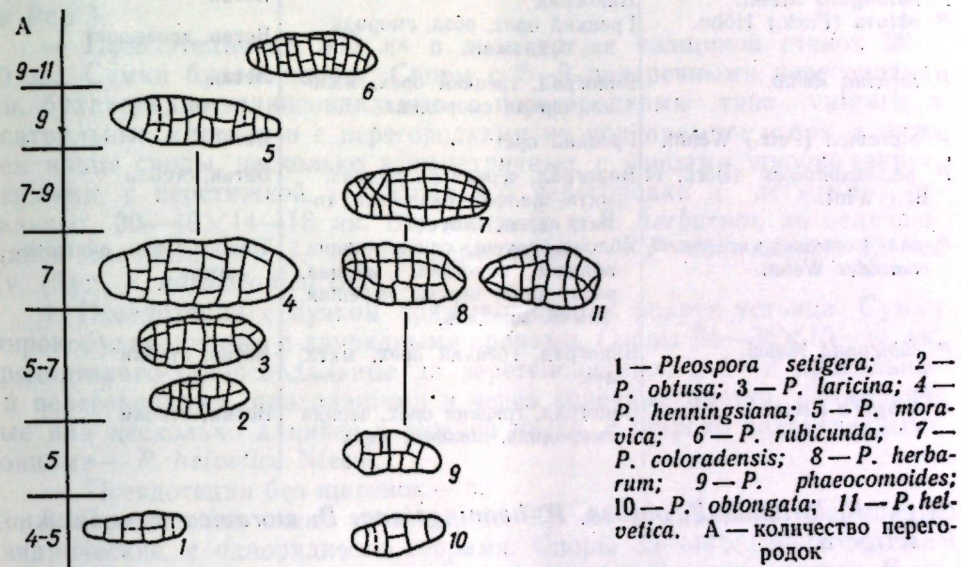
#### ВИДЫ *PLEOSPORA* И *TEICHOSPORA*, ВЫЯВЛЕННЫЕ В МОЛДАВИИ

Род *Pleospora* Rabenh.—один из самых крупных и широко распространенных в природе. Представители его поселяются на отмерших частях, главным образом, травянистых растений. Для них характерна значительная морфологическая изменчивость в строении как спор, так и плодовых тел, обусловленная влиянием широкого круга

растений-хозяев и воздействием географической зоны обитания. Это послужило причиной многократных описаний одних и тех же видов, а широкая их специализация, способность поражать большой круг растений отдаленных семейств привела к еще большему увеличению числа описанных видов. В результате 50 видов рода *Pleospora* известны сейчас под 450 названиями [7]. Описания их при этом обычно схематичны, часто без выявления характерных признаков вида.

В последнее время рядом авторов [6, 8, 9] проводился пересмотр состава рода или отдельных видов *Pleospora*. Еще в 1961 г. Wehmeyer [10] в результате ревизии рода *Pleospora* установил состав видов, объем и границы изменчивости каждого из них. Однако не все авторы придерживаются принятой им классификации [2].

Выявленные в процессе изучения микрофлоры культурных растений Молдавии представители рода *Pleospora* мы относим к 12 видам и одной разновидности, придерживаясь разграничений видов по комплексу морфологических признаков, предложенному Wehmeyer (табл. 1).



1 — *Pleospora setigera*; 2 — *P. obtusa*; 3 — *P. laricina*; 4 — *P. henningsiana*; 5 — *P. moravica*; 6 — *P. rubicunda*; 7 — *P. coloradensis*; 8 — *P. herbarum*; 9 — *P. phaeocomoides*; 10 — *P. oblongata*; 11 — *P. helvetica*. А — количество перегородок

Большинство видов рода *Pleospora* развивается на самых различных в систематическом отношении как травянистых, так и древесных растениях. Видов, специализированных на каком-нибудь одном растении, не выявлено. Но для многих видов можно отметить предпочтение определенного типа субстрата. Учитывая это, а также тщательный анализ морфологических признаков, все виды можно подразделить на 2 подрода. Виды подрода *Pleospora* Wehm.—с плодовыми телами средних размеров, с парафизондами, с сумками толстостенными, булавовидными, со спорами, расположенным двурядно. Развиваются, главным образом, на стеблях травянистых растений. Сюда относятся: *P. coloradensis*, *P. dichromatica*, *P. helvetica*, *P. herbarum*, *P. oblongata*, *P. phaeocomoides*, *P. rubicunda*. Но такие виды как *P. coloradensis* и *P. helvetica* обнаружены нами на деревянистых субстратах: первый — на грецком орехе и винограде, второй — на грецком орехе.

Виды подрода *Teichosporoides* Wehm.—с псевдодетиями крупными, обычно с толстой оболочкой, с многочисленными парафизондами, с длинными цилиндрическими сумками, со спорами, расположенными в них однорядно. Развиваются на деревянистых субстратах. Сюда отно-

Видовой состав рода *Pleospora*

Таблица 1

Вид	Питающее растение	Субстрат
<i>P. coloradensis</i> Ell. et Ev.	Грецкий орех, виноград	Ветви
<i>P. dichromatica</i> (Speg.) Wehm.	Шалфей, мята	Стебли
<i>P. helvetica</i> Niessl.	Грецкий орех, мята	Тонкие ветви, стебли
<i>P. henningsiana</i> Rhul., Jahn. et Paul	Грецкий орех, виноград	Ветви
<i>P. herbarum</i> (Fr.) Rabenh.	Яблоня, груша, айва, слива, вишня, абрикос, виноград, грецкий орех, малина, черная смородина, роза, мята, шалфей, капуста, баклажан, томат, лук	Ветви, стебли, черешки листьев
<i>P. oblongata</i> Niessl.	Виноград	Ветви
<i>P. obtusa</i> (Fuck.) Höhn.	Грецкий орех, роза, смородина, баклажан	Ветви, древесина
<i>P. laricina</i> Rehm.	Виноград, грецкий орех, малина, черная смородина	Ветви
<i>P. moravica</i> (Petr.) Wehm.	Грецкий орех	Ветви
<i>P. phaeocomoides</i> (Berk. et Br.) Wint.	Виноград, черная смородина, мята, шалфей, баклажан, томат, перец, капуста	Ветви, стебли
<i>P. phaeocomoides</i> var. <i>phaeocomoides</i> Wehm.	Яблоня, груша, слива, вишня, абрикос, виноград, малина, роза, айва, персик, черешня, алыча, миндаль	Тонкие ветви, опавшие листья
<i>P. rubicunda</i> Niessl.	Виноград, грецкий орех, мята, лук	Ветви, стебли
<i>P. setigera</i> Niessl.	Виноград, грецкий орех, черная смородина, шалфей, мята	Ветви, стебли

сятся: *P. laricina*, *P. obtusa*, *P. henningsiana*, *P. moravica* и, возможно, *P. setigera*.

В каждом подроде можно проследить линию по тенденции увеличения числа перегородок в спорах (см. рисунок 1). У *P. setigera* и *P. oblongata* поперечных перегородок в спорах лишь 4—5 и продольные в одной, реже в двух клетках.

У *P. phaeocomoides* продольная перегородка проходит через две соседние клетки; и продольная и поперечная перегородки образуют в результате пересечения угол, который может быть различным (перегородки типа *vulgaris*, см. рисунок, 9).

Дальнейшее усложнение строения от спор с перегородками типа *vulgaris* происходит за счет увеличения числа поперечных перегородок и появления продольных или У-образных перегородок в конечных клетках (споры типа *herbarum*, см. рисунок, 8). В крупных спорах образуются 2—3 продольные перегородки, обычно все равно проходящие через пары клеток (см. рисунок, 7, 6).

#### Ключи для определения выявленных видов *Pleospora*

- Споры с числом перегородок больше 7 — 2.  
Споры с 7 перегородками — 4.  
Споры с 5—7 поперечными перегородками — 6.

Споры с 5 поперечными перегородками — 8.

Споры с 3—5 поперечными перегородками — 9.

2. Споры с 10—12 поперечными и 1—2 продольными перегородками, не проходящими через конечные клетки, которые несколько суженные и закругленные на концах, с перегородками типа *vulgaris* в центральных клетках, 30—42(50)×8—13 мк. Споры асимметрично септированные, очень неравнобокие и изогнутые. Субстрат и устьице псевдотеция часто окрашиваются в интенсивно розовый цвет — *P. rubicunda* Niessl.

— Споры с меньшим числом перегородок — 3.

3. Псевдотеции крупные, до 800 мк в диаметре, с оболочкой до 30—120 мк толщиной. Сумки цилиндрические, с многочисленными парафизами. Споры с 9(11) поперечными перегородками, веретеновидно-эллиптические, слегка изогнутые, с перегородками типа *vulgaris* в 2—4 центральных клетках, с продольной перегородкой, не проходящей через конечные клетки, с перетяжкой только в середине, 23—40×8—10 мк — *P. moravica* (Petr.) Wehm. (Syn. *Pyrenophora moravica* Petr.).

— Псевдотеции до 500 мк в диаметре, с толщиной стенок 20—50 мк. Сумки булавовидные. Споры с 7—9 поперечными перегородками, булавовидно-эллипсоидальные, с перегородками типа *vulgaris* в центральных клетках и с перегородками не под прямым углом в нижнем конце споры, несколько асимметричные, с концами широко закругленными, с перетяжкой у центральной перегородки и легкими у остальных, 30—40×14—16 мк. Вид близкий к *P. herbarum*, но отличающийся большим, чем 7, числом перегородок — *P. coloradensis* Ell. et Ev. (Syn. *P. kurdistanica* Bub.).

4. Псевдотеции с пучком прямых щетинок вокруг устьиц. Сумки широкобулавовидные с двурядными спорами. Споры 24—36×10—14 мк, продолговато-эллипсоидальные до веретеновидных, с 1—2 продольными перегородками, проходящими и через конечные клетки, симметричные или несколько длиннее в нижней части, с широко закругленными концами — *P. helvetica* Niessl.

— Псевдотеции без щетинок — 5.

5. Псевдотеции очень крупные, до 900 мк в диаметре. Сумки цилиндрические, с однорядными спорами. Споры 39—44×12—14 мк, цилиндрическо-эллипсоидальные, в основном симметричные или слегка короче и шире вверху, с перетяжками у всех перегородок, с 1—3 не равномерно расположенными продольными перегородками, иногда с желатинозной оболочкой — *P. henningsiana* Rhul., Jahn et Paul.

— Псевдотеции 100—500 мк в диаметре. Сумки булавовидные, обычно двурядные. Споры 26—40×14—16 мк, чаще асимметричные, с нижней половиной длиннее и толще, чем верхняя, с более сильной перетяжкой у центральной перегородки и с легкими — у остальных, с концами широко закругленными или постепенно суживающимися и заостренными — *P. herbarum* (Fr.) Rabenh. (Syn. *Sphaeria herbarum* Fr., *Pleospora grossulariae* (Fr.) Fuck., *P. moricola* Pass., *P. petiolorum* Fuck., *Pyrenophora petiolorum* (Fuck.) Sacc.).

6. Типично древесинно-обитающие виды — 7.

— Предпочитает травянистые субстраты. Сумки булавовидные, с двурядными спорами. Споры 24—27×10—11 мк, эллипсоидальные или продолговато-яйцевидные — *P. dichromatica* (Speg.) Wehm.

7. Псевдотеции крупные, до 900 мк в диаметре. Сумки цилиндрические с однорядными спорами. Споры 21—28×8—12,5 мк, веретеновидные до эллипсоидальных, в основном с 7 перегородками, с пере-

тяжкой посредине, с концами внезапно суженными или широко закругленными, с 1—2 продольными перегородками, проходящими через конечные клетки не под прямыми углами — *P. laricina* Rehm.

— Псевдотеции мельче, часто с войлоком у основания. Сумки цилиндрическо-булавовидные. Споры двурядные, 18—24×9—10 мк, веретеновидные до эллипсоидальных, с 5(7) поперечными перегородками и 1(2) продольной в центральных клетках и с продольной или У-образной в конечных клетках, с закругленными концами и перетяжкой, посредине — *P. obtusa* (Fuck.) Höhn. (Syn. *Teichospora obtusa* Fuck., *Strickeria obtusa* (Fuck.) Wint.).

8. Псевдотеции с многочисленными щетинками по всей поверхности. Сумки булавовидные с двурядными спорами. Споры 16—24×8—9(11) мк, удлиненно-эллипсоидальные с концами широко закругленными, с 1 продольной перегородкой в центральных клетках, никогда не проходящей через конечные клетки — *P. phaeocomoides* (Berk. et Br.) Wint. (Syn. *Sphaeria phaeocomes* Berk. et Br., *Pleospora phaeocomes* (Berk. et Br.) Berk., *P. phaeocomes* (Berk. et Br.) Niessl, *Pyrenophora phaeocomoides* (Berk. et Br.) Sacc.).

— Псевдотеции без щетинок. Сумки булавовидные с двурядными спорами. Споры 14—21×8—11 мк, эллипсоидальные, с 1 продольной перегородкой в центральных клетках — *P. phaeocomoides* (Berk. et Br.) Wint. var. *phaeocomoides* Wehm. (Syn. *P. vulgaris* Niessl).

9. Псевдотеции с плотным войлоком в основании и с щетинками на верхней поверхности. Сумки булавовидные. Споры двурядные 22—32×7—9 мк, булавовидно-веретеновидные, асимметричные, утончающиеся к обоим концам, с легкими перетяжками у перегородок, со второй или третьей клеткой несколько расширенной и с продольными перегородками в них — *P. setigera* Niessl (Syn. *Pyrenophora setigera* (Niessl) Sacc.).

— Псевдотеции гладкие. Сумки булавовидные. Споры двурядные, 15—18,9×5—7 мк, эллипсоидальные, цилиндрические, с продольной перегородкой в третьей, слегка расширенной клетке, с концами широко закругленными, без перетяжек — *P. oblongata* Niessl.

Подавляющее большинство видов рода *Pleospora* — сaproфиты. Но в литературе имеются сведения о некоторых патогенных формах из этого рода. Так, *P. herbarum* указывается как возбудитель гнили, черной плесени плодов моркови, томата, финиковой пальмы и цитрусовых [5]; *Pleospora* sp. — как возбудитель пятнистости арахиса. Слабое поражение семян ясения и клена [1] вызывают *P. herbarum* и *P. vulgaris*.

Как правило, более патогенной у сумчатых грибов является их конидиальная стадия. Сумчатая появляется как завершающая в цикле развития и служит для перезимовки патогена. Например, конидиальные стадии *Pleospora herbarum* вызывают черную плесень листьев и стеблей репы; цветоносов лука, *P. betae* Newod. поражает всходы и вызывает черную ножку и фомоз стеблей свеклы, *P. putrefaciens* Frank вызывает пятнистость листьев свеклы [4]. Такие виды, как *P. theae* Speschnev. и *P. ulmicola* (Riv.) Восп., являются возбудителями пятнистостей листьев чая и вяза, соответственно [5].

Очень близко к роду *Pleospora*, и особенно к подроду *Teichosporoides*, стоит род *Teichospora* Fuck. (*Strickeria* Körber). Сюда относятся 80 широко распространенных видов, обитающих на древесине и ветвях, с довольно крупными псевдотециями, с типично цилиндрическими сумками, с обильными парафизоидами; споры муравьиные, окрашенные,

Таблица 2

Видовой состав рода *Teichospora*

Вид	Питающее растение	Субстрат
<i>Teichospora cerasi</i> (Feltg.) Sacc. et Syd.	Вишня, черешня, слива	Ветви
<i>T. cruentula</i> Sacc.	Яблоня, груша	Древесина
<i>T. heleneae</i> Ell. et Ev.	Слива, вишня	Древесина
<i>T. macrosperma</i> Fuck.	Груша	Живая кора
<i>T. mutabilis</i> (Quel.) Munk.	Виноград, греческий орех, черная смородина, роза	Ветви
<i>T. obducens</i> (Fr.) Fuck.	Виноград, греческий орех, яблоня, груша, абрикос, миндаль, роза	Ветви, кора
<i>T. pezizoides</i> Sacc.	Грецкий орех, виноград, роза, яблоня	Ветви, древесина
<i>T. seminuda</i> (de Not.) Sacc.	Грецкий орех, виноград, малина, лаванда, роза, шалфей, мята, баклажан, капуста, перец, лук, томат	Ветви, стебли
<i>T. subcorticalis</i> (Feltg.) Sacc.	Виноград, греческий орех	Ветви, древесина
<i>T. trabicola</i> Fuck.	Грецкий орех	Ветви

различной формы. Род является гетерогенным, такие виды, как *T. obducens* близки к *Cucurbitaria* [9]. Другие виды очень близки к видам *Pleospora*. Некоторые авторы считают возможным объединить эти два рода. Так, Черепанова [6] рассматривает виды рода *Strickeria* «...как экологические формы рода *Pleospora*, приспособленные к древесному субстрату».

Нами обнаружено 10 видов этого рода (табл. 2). Подавляющее большинство видов ограничены кругом древесных растений. Лишь *T. seminuda* многократно отмечен также на травянистых субстратах (шалфей, мята, лук, томат, баклажан, капуста, перец). Как видно из табл. 2, виды *Teichospora* способны развиваться на растениях из различных семейств, не проявляя специализации к одному или группе родственных растений. Подобная закономерность проявляется и у других родов сем. *Pleosporaceae* [3]. Исключением является лишь *Teichospora macrosperma*, поражающая живую кору груши.

Ключ для определения видов *Teichospora*

1. Псевдотеции покрыты пурпурно-коричневым войлоком из разветвленных гиф. Споры 18—25×6—9 мк, эллипсоидальные, с закругленными концами, вначале с 3, затем с 5 поперечными и 1 неполной продольной перегородками — *T. mutabilis* (Quel.) Munk.

— Псевдотеции без войлока — 2.

2. Споры очень крупные, 54—59×16—22 мк, с 8—13 поперечными и 2—3 продольными перегородками, эллипсоидальные — *T. macrosperma* Fuck.

— Споры мельче — 3.

3. Споры с 7—9 поперечными перегородками — 4.

— Споры с меньшим количеством перегородок — 5.

4. Псевдотеции мягкие, со стенкой периция около 15 мк толщиной. Споры 22—30×6—9 мк с 1—2 продольными перегородками, которые никогда не проходят через суженные и заостренные конечные клетки, веретеновидные, более или менее изогнутые — *T. seminuda* (de Not.) Sacc.

— Псевдотеции твердые, толстостенные. Споры 21—25×8—10,5 мк, с 1 продольной перегородкой, эллипсоидальные или яйцевидно-удлиненные, с перетяжкой посередине — *T. heleneae* Ell. et Ev.

5. Споры 16—25×8—11 мк, обычно с 6 (редко с 7) поперечными (2 в верхней части и 3 — в нижней) и 1(2) неполными продольными перегородками, с сильной перетяжкой посередине, широко закругленные вверху и более узкие внизу — *T. obducens* (Fr.) Fuck.

— Споры с меньшим количеством перегородок — 6.

6. Споры с 5—6 поперечными перегородками — 7.

— Споры с 3—4 поперечными перегородками — 8.

7. Споры 16,5—19×8—9 мк, эллипсоидальные, с одной продольной перегородкой, с перетяжкой посередине — *T. cerasi* (Feltg.) Sacc. et Syd.

— Споры более узкие, 19—24×5,5—8,5 мк, удлиненно-эллипсоидальные, слегка неравнобокие, с 5 поперечными и одной неполной продольной перегородками — *T. cruentula* Sacc.

8. Псевдотеции сильно спадающиеся, до чашковидных. Споры 18—21,5×8 мк, веретеновидные, с продольной перегородкой в одной-двух центральных клетках, с очень слабыми перетяжками — *T. perizoides* Sacc.

— Псевдотеции не спадающиеся, толстостенные, с сосочковидным или коническим устьицем. Споры другой формы — 9.

9. Споры 18—22×7—9,5 мк, яйцевидно-эллипсоидальные, с широко закругленными концами с 1 продольной перегородкой, проходящей через все клетки или через 2—3, с перетяжкой посередине — *T. trabicola* Fuck.

— Споры 16—18×8—9 мк, примерно такой же формы, но относительно более широкие, с продольной перегородкой, проходящей через одну (редко 2) клетки, со слабыми перетяжками — *T. subcorticalis* (Feltg.) Sacc. et D. Sacc.

Представители родов *Pleospora* и *Teichospora* чрезвычайно широко распространены на территории Молдавии. По нашим многочисленным наблюдениям, большинство видов этих родов развивается в течение всего вегетационного периода. Лишь *P. herbarum*, *P. phaeocomoides*, *P. oblongata*, *P. henningsiana* и *P. mutabilis* являются типичными представителями весенней микофлоры.

Следующие виды выявлены в Молдавии впервые: *P. coloradensis*, *P. dichromatica*, *P. helvetica*, *P. henningsiana*, *P. oblongata*, *P. obtusa*, *P. laricina*, *P. moravica*, *P. rubicunda*, *P. setigera*, *Teichospora mutabilis*, *T. seminuda*, *T. subcorticalis*, *T. trabicola*.

Таким образом, приведенный список и анализ видов *Pleospora* и *Teichospora* дополняет сведения об их систематике, специализации и распространении.

#### ЛИТЕРАТУРА

- Брежнев И. Е., Ибрагимов Г. Р., Потгайчук В. И. Определитель грибов на плодах и семенах древесных и кустарниковых пород. М., Изд-во сельскохозяйственной литературы, 1962.
- Гуцевич С. А. Новости систематики низших растений, т. 8. Ленинград, изд-во «Наука», стр. 111—118.

- Коган Э. Д., Маржина Л. А., Простакова Ж. Г., Хрипунова Э. Ф. В сб.: Тезисы докладов IV Закавказского совещания по споровым растениям. Ереван, 1972, стр. 188—190.
- Хохряков М. К., Доброзракова Т. Л., Степанов К. М., Летова М. Ф. Определитель болезней растений. Л., изд-во «Колос», 1966.
- Черемисинов Н. А., Негруцкий С. Ф., Лешковцева И. И. Грибы и грибные болезни деревьев и кустарников. М., изд-во «Лесная промышленность», 1970.
- Черепанова Н. П. Диагностическое значение морфологических структур и биологических свойств у микромицетов в связи с их таксономией. Автореф. докт. дисс. Л., 1972.
- Ainsworth G. C.; Bisby G. R. Dictionary of the fungi. Kew, 1961.
- Müller E. Sydowia, 5, 260—308, 1951.
- Munk A. Danish Pyrenomyces. A Preliminary Flora. Copenhagen, 1957.
- Wehmeyer L. E. A world monograph of the genus *Pleospora* and its segregates. Univ. Michigan Press, 1961.

## МИКРОБИОЛОГИЯ

УДК 633.15:581.2:615.77.9

А. Ф. СЕРЕДИНСКАЯ, В. И. САБЕЛЬНИКОВА

### ВЛИЯНИЕ БИОПРЕПАРАТОВ НА ИНТЕНСИВНОСТЬ ДЫХАНИЯ ПЕРЦА И ТОМАТОВ, ПОРАЖЕННЫХ *VERTICILLIUM* *DAHLIAE* KLEB.

Известно, что заболевание растений, вызванное фитопатогенными микроорганизмами, сопровождается резкими изменениями в метаболизме растений. Показательным физиолого-биохимическим признаком заболевания растений является изменение их дыхательного газообмена. Это проявляется в повышении интенсивности дыхания в начальный период инфицирования и резком снижении ее в период сильного поражения растений [1, 3, 7, 11].

В литературе все чаще появляются данные о применении антибиотиков и биопрепаратов, полученных на основе микробов-антагонистов, с целью снижения степени поражения растений различными бактериальными, грибными и вирусными заболеваниями [5, 6, 8, 11].

Перспективность использования антибиотиков обусловлена специфичностью их действия, способностью быстро проникать в ткани растений и изменять обмен веществ в них, повышать тем самым устойчивость к заболеванию. Кроме того, они стимулируют рост и развитие растений, способствуют увеличению урожая [2, 4].

Задачей наших исследований было изучить действие антибиотика фитобактериомицина и активного антагониста *Vac. mesentericus* шт. № 8, используемых в борьбе с вертициллезным увяданием перца и томатов, на интенсивность дыхания.

#### Материал и методы исследования

Исследования проводились на растениях томатов — сорт Молдавский ранний и перца — сорт Молдавский белый, выращенных в полевых опытах на экспериментальной базе АН МССР в 1971—1973 гг. Делянки двухрядные: для томатов  $(70+40) \times 30$  и для перцев  $(70+40) \times 20$ . Площадь — 8 м<sup>2</sup>, повторность четырехкратная. Опыты проводили на инфицированном и естественном фоне. Инфекционный фон создавали внесением в почву овса, зараженного *Verticillium dahliae* Kleb. Растения томатов и перца высаживали на делянки в фазе 4—5 листьев. Перед высадкой в грунт корневую систему обрабатывали в зависимости от варианта раствором антибиотика фитобактериомицина — концентрация 1 : 10000 и супензией бактерий *Vac. mesentericus* — титр 4—6  $\times 10^7$  в мл. в течение 30 мин. Фитобактериомицин — антибиотик актиномицетного происхождения, получен из ВНИИ микробиологических средств защиты растений и бактериальных препаратов. Антагонист *Vac. mesentericus* выделен и испытан сотрудниками лаборатории микробных метаболитов Отдела микробиологии АН МССР [9]. В фазе бутонизации дополнительно инфицировали растения ме-

том внесения мицелия гриба в корневую шейку, а затем с интервалом в три дня проводили дважды внекорневую обработку раствором фитобактериомицина. Супензию клеток *Vac. mesentericus* вносили методом полива корневой системы.

Интенсивность дыхания и участие групп ферментов в процессе дыхания определяли с помощью ингибиторов а, а'-дипиридилла, фторида азода натрия. Ингибиторы вводили в листья методом вакууминфилтрации и определяли остаточное дыхание. В контрольные пробы инфильтрировали воду. Все анализы проводили на аппарате Варбурга при температуре 25—30°C.

#### Результаты исследований

Использование биопрепаратов как оздоровляющего фактора в целях борьбы с вертициллезом овощных показало, что антибиотик фитобактериомицин и антагонист *Vac. mesentericus* не только снижали процент заболевания растений [16] и повышали урожай, но и оказывали существенное влияние на физиолого-биохимические процессы растений.

Таблица 1  
Действие биопрепаратов на урожай перца и томатов (ц/га). Опыт 1972 г.

Вариант опыта	Томаты		Перец	
	естественный фон	инфекционный фон	естественный фон	инфекционный фон
Контроль	448,0	416,5	142,8	126,0
Фитобактериомицин	499,0	455,0	164,0	158,4
<i>Vac. mesentericus</i>	489,5	480,0	162,0	157,1

Урожай перца и томатов, выращенных на естественном и инфекционном фоне, был выше на вариантах с применением биопрепаратов (табл. 1). У томатов урожай повышался на естественном фоне на 9,3—11,4% и на инфекционном на 9,2—15,2%, а у перца соответственно на 13,5—15,0% и на 24,7—26,0%. В опыте 1971 г., проведенном на инфекционном фоне при обработке антибиотиком фитобактериомицином и антагонистом *Vac. mesentericus*, интенсивность дыхания листьев перцев и томатов, по сравнению с контролем, во все сроки определений была выше. Особенно большие различия наблюдались в период плодообразования растений (табл. 2). В последующих исследованиях (опыты 1972 и 1973 гг.) выявлено, что интенсивность дыхания повышалась не только у «оздоровленных» растений по сравнению с больными, но и у растений, выращенных на естественном фоне при обработке их биопрепаратами. Только у растений томатов сорта Волгоградский, выращенных на инфекционном фоне, в период цветения этого не наблюдалось.

Во все сроки у больных растений интенсивность дыхания была ниже, чем у «оздоровленных» с помощью биопрепарата (табл. 2, 3).

Применение специфических ингибиторов показало, что дыхание растений перца, обработанных фитобактериомицином и *Vac. mesentericus*, более чувствительно к фториду натрия, подавляющему ферменты пентозофосфатного пути дыхания. Интенсивность дыхания контрольных растений значительно снижалась под влиянием а, а'-дипиридилла, подавляющего гликолитический путь (табл. 2).

Таблица 2

Интенсивность дыхания и участие групп ферментов в дыхательном газообмене листьев перца и томатов. Опыт 1971 г.

Вариант опыта	в естественном материале	Интенсивность дыхания $\text{мкг О}_2$ за час на 12 сырого веса						
		Горячий воздух			При инфильтрации ингибитором			
		при инфильтрации воды	NaF $2 \cdot 10^{-2}$	$\alpha, \alpha'$ -дипиридиум $1 \cdot 10^{-3}$	Na Na <sub>2</sub> $2 \cdot 10^{-2}$	Na F	% к контролю	
<i>Перец — сорт Молдавский белый</i>								
Бутонизация								
Контроль	600,2	460,3	348,4	258,7	319,3	24,1	43,6	
Фитобактериомицин	633,3	427,6	305,6	364,0	317,8	28,6	38,2	
<i>Bac. mesentericus</i>	690,6	482,3	236,8	316,9	351,6	30,2	34,3	
Контроль	628,7	501,2	311,8	290,4	351,3	37,8	42,1	
Фитобактериомицин	766,3	538,6	320,5	336,6	355,4	40,5	37,5	
<i>Bac. mesentericus</i>	790,1	561,2	323,3	339,0	357,5	42,4	39,6	
Контроль	540,8	460,6	310,0	228,5	347,3	32,7	50,4	
Фитобактериомицин	793,4	510,4	416,5	284,8	346,6	38,0	44,2	
<i>Bac. mesentericus</i>	762,8	538,1	341,2	279,5	332,0	36,6	48,1	
<i>Томаты — сорт Молдавский ранний</i>								
Цветение								
Контроль	473,0	378,0	168,3	195,8	268,1	55,5	48,2	
Фитобактериомицин	604,3	431,3	221,2	210,9	248,6	48,5	51,1	
<i>Bac. mesentericus</i>	595,3	421,7	186,7	240,9	224,3	55,8	42,1	
Контроль	502,0	422,3	218,3	243,2	332,8	48,3	42,4	
Фитобактериомицин	756,3	465,3	283,6	197,8	336,9	41,2	57,5	
<i>Bac. mesentericus</i>	748,0	448,1	240,9	210,4	302,6	46,3	53,1	
Плодообразование								
Контроль	502,0	422,3	218,3	243,2	332,8	48,3	42,4	
Фитобактериомицин	756,3	465,3	283,6	197,8	336,9	41,2	57,5	
<i>Bac. mesentericus</i>	748,0	448,1	240,9	210,4	302,6	46,3	53,1	

Таблица 3  
Действие биопрепаратов на интенсивность дыхания листьев перца и томатов.  
Опыт 1972 г.

Вариант опыта	Интенсивность дыхания, $\text{мкг О}_2$ за час на 1 г сырого веса		
	бутонизация	цветение	плодообразование
<i>Перец — сорт Молдавский белый</i>			
Здоровый фон			
Контроль	647,5	702,0	676,0
Фитобактериомицин	682,0	786,5	769,5
<i>Bac. mesentericus</i>	666,1	792,0	741,5
Инфекционный фон			
Контроль	540,2	460,4	362,0
Фитобактериомицин	645,5	720,8	668,0
<i>Bac. mesentericus</i>	634,0	698,2	628,3
<i>Томаты — сорт Молдавский ранний</i>			
Здоровый фон			
Контроль	675,0	771,2	701,2
Фитобактериомицин	698,2	868,8	761,3
<i>Bac. mesentericus</i>	682,5	841,2	730,6
Инфекционный фон			
Контроль	629,5	564,2	380,4
Фитобактериомицин	664,0	711,0	620,5
<i>Bac. mesentericus</i>	675,7	727,2	648,7

У томатов в период цветения не выявлено преобладания того или иного пути дыхания как у опытных, так и контрольных растений. В период плодообразования опытные растения были более чувствительными к  $\alpha, \alpha'$ -дипиридиуму, а контрольные — к фториду натрия. С помощью ингибитора азота натрия выявлено, что в период цветения у растений перцев медь- и железосодержащие оксидазы принимают большую долю участия в процессе дыхания.

В период цветения и плодообразования повышение активности меди- и железосодержащих оксидаз отмечено у растений, обработанных биопрепаратами: у перца от 4,5 до 13,7%, а у томатов от 6,4 до 16,4%.

Таким образом, применение биопрепаратов — антибиотика фитобактериомицина и антагониста *Bac. mesentericus* — при вертициллезе перцев и томатов оказывало оздоровляющее влияние на растения, увеличивало их урожай, при этом наблюдалось повышение интенсивности дыхания, изменение активности отдельных групп ферментов дыхательного газообмена.

## ЛИТЕРАТУРА

- Дубинина Л. А. В сб. «Вопросы генетики, селекции и семеноводства», вып. 7. Киев, изд-во «Урожай», стр. 148—151.
- Красильников Н. А. В кн.: Применение антибиотиков в растениеводстве. Ереван, Изд-во АН АрмССР, 1961, стр. 7—19.
- Павильонов А. А. В сб.: Физиология иммунитета растений. М., изд-во «Наука», 1968, стр. 40—46.
- Петрухина М. Т. В кн.: «Биологическая защита плодовых и овощных культур». Кишинев, 1971, стр. 230—231.

5. Попушой И. С., Буймистру Л. Д. «Материалы научной конференции профессорско-преподавательского состава Кишиневского Госуниверситета им. Ленина по итогам научно-исследовательской работы за 1970 г.» Секция естественных и экспериментальных наук. Кишинев, 1970, стр. 161.
6. Сабельникова В. И., Якимова М. Ф. Изв. АН МССР, серия биол. и хим. наук, № 3, 38—43, 1972.
7. Тинчева Цопка. «Бълг. тютюн», т. 15, № 12, 22—28, 1970.
8. Труненков И. П., Пискунов М. Д. Физиология растений, т. 19, № 2, 408—411, 1972.
9. Якимова М. Ф. Микроорганизмы, разлагающие растительные остатки озимой пшеницы в некоторых почвах Молдавии. Автореф. канд. дисс. Кишинев, 1972.
10. Libby I. L., Chapman R. K. J. Invertebr. Pathol., v. 18, № 1, 114—116, 1971.
11. Sempio C., Barbieri G. Phytopathology, v. 50, № 3, 270—282, 1964.

УДК 576.780

Е. А. МЕХТИЕВА, Ф. Д. КОСТИК, О. Б. БЕДРИКОВСКАЯ, С. И. БАШТОВАЯ

## ВЛИЯНИЕ ЯБЛОЧНЫХ ПЕКТИНОВЫХ ВЕЩЕСТВ НА БАКТЕРИИ РОДА *PSEUDOMONAS* И *XANTHOMONAS* В ЗАВИСИМОСТИ ОТ УСЛОВИЙ СРЕДЫ

Действие антибактериальных веществ высших растений на фитопатогенные бактерии изучалось многими исследователями [1, 2, 3]. Так, исследованиями Горленко и др. [3] установлено, что патогенные свойства *Pseudomonas tumefaciens* во многом зависят от реакции среды. Бургвиц, [2] показал, в каких пределах pH сохраняется жизнеспособность этой же культуры.

Ранее нами было установлено антибактериальное действие яблочного и свекловичного пектина на ряд фитопатогенных бактерий [4, 5].

Целью настоящей работы было изучение действия двух форм яблочных пектиновых веществ на некоторые фитопатогенные бактерии в зависимости от температуры, экспозиции и pH.

### Методика и результаты исследований

Объектом исследования служили бактерии рода *Pseudomonas* (*P. tumefaciens* 171) и рода *Xanthomonas* (*X. cariae* 612) и *X. malvacearum* 622), которые контактировали с 1%-ным ПВ<sub>я</sub> и ПВ<sub>о</sub> (ПВ<sub>я</sub>-пектиновые вещества яблочные, ПВ<sub>о</sub>-пектиновые яблочные вещества очищенные) при температуре 28 и 36°C, экспозиции 15, 30 и 60 мин, при значении pH 2,5; 5; 6; 7.

Чувствительность вышеуказанных микроорганизмов к пектиновым веществам определялась по описанной ранее методике [5]. Повторность опытов трехкратная. Очистка заводского яблочного пектина проводилась в Институте химии АН МССР.

Пектин заливали дистиллированной водой (pH 2) до набухания на 24 часа, затем промывали его несколько раз 50%-ным ацетоном (pH 2), а также чистым ацетоном. Очищенный таким образом пектин высушивали и затем использовали. В опытах также учитывали влияние температуры стерилизации на качество пектина, которое определяли по потере им вязкости и стерильности.

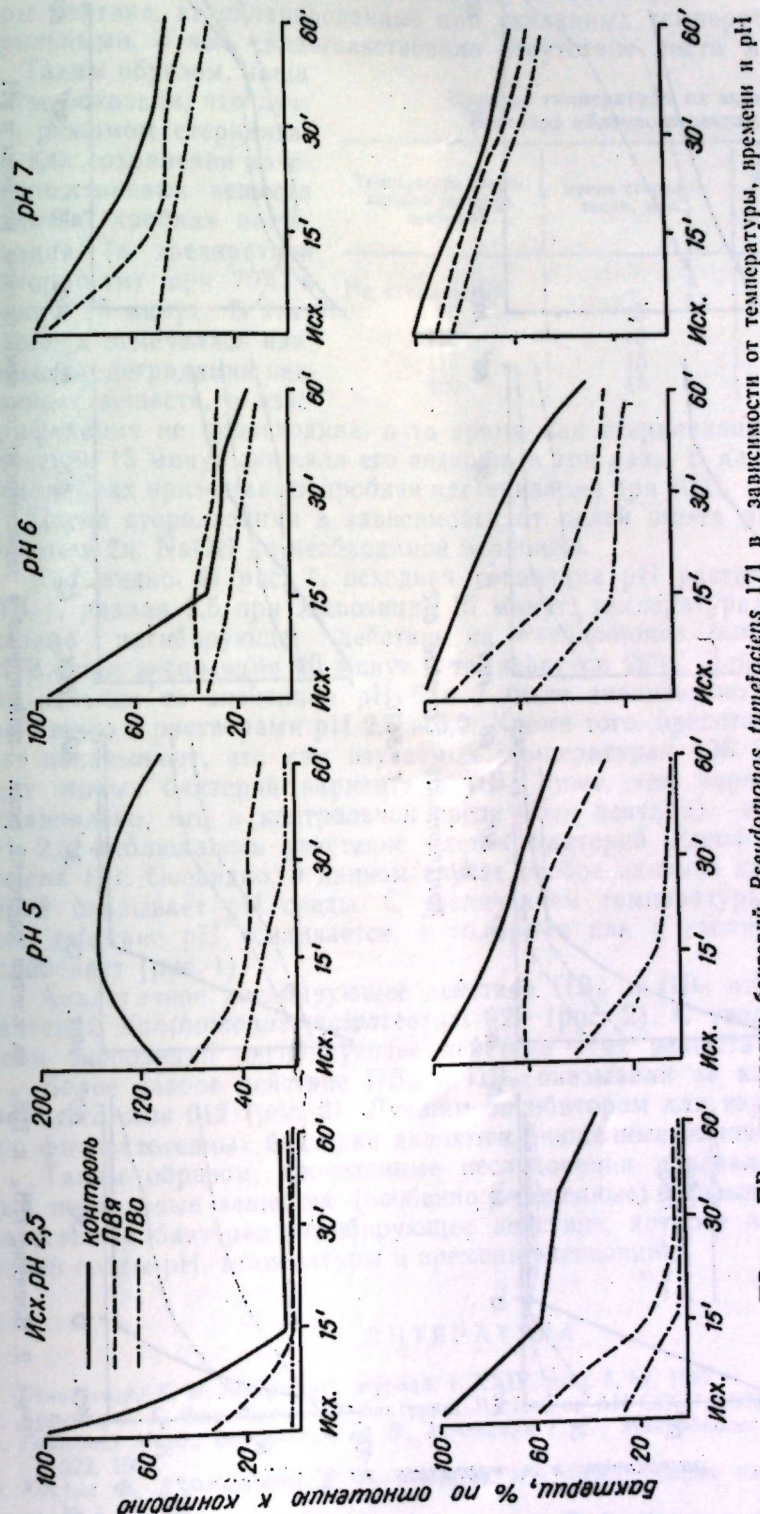
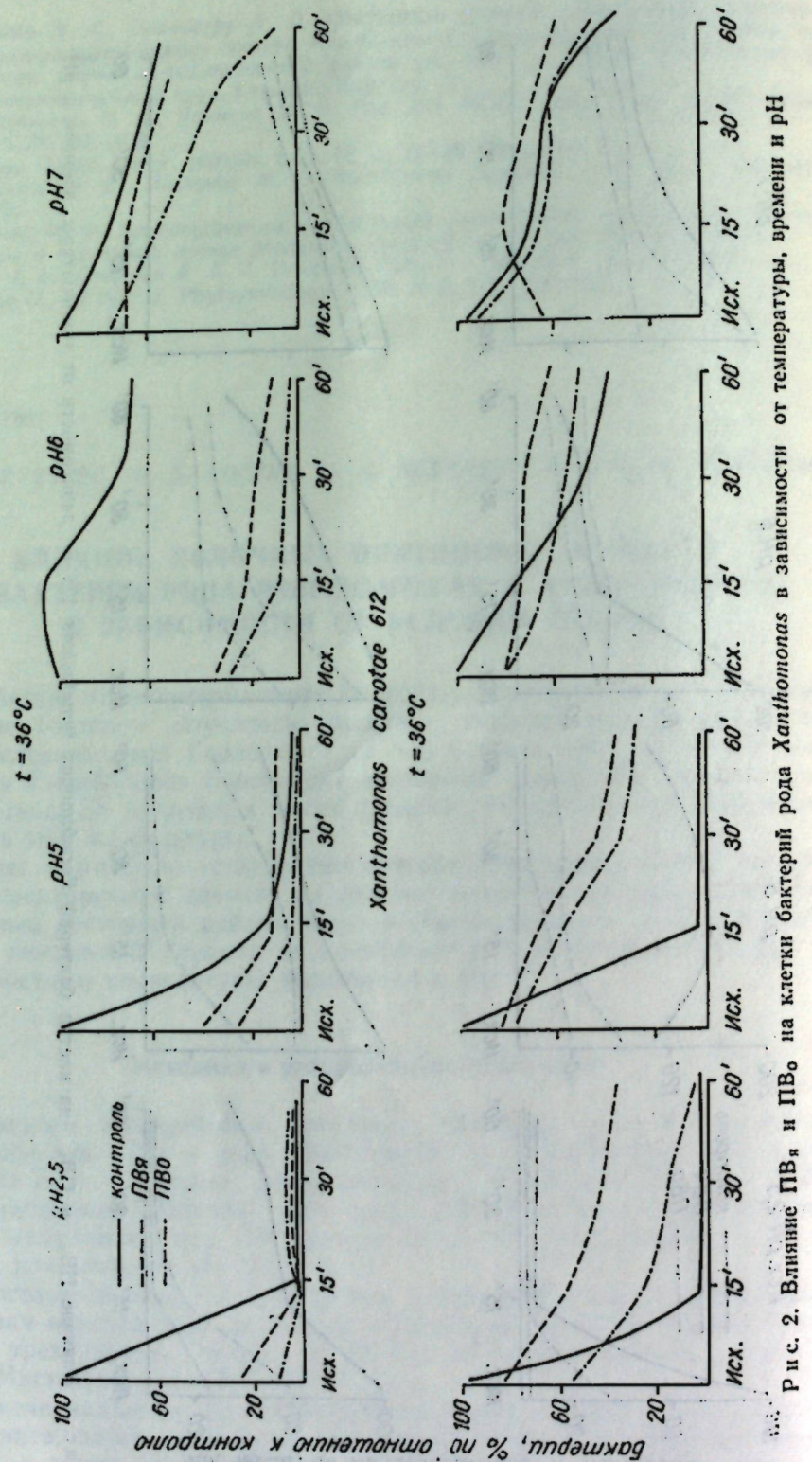


Рис. 1. Влияние ПВ<sub>я</sub> и ПВ<sub>о</sub> на клетки бактерий *Pseudomonas tumefaciens* 171 в зависимости от температуры, времени и pH

Рис. 2. Влияние ПВ<sub>я</sub> и ПВ<sub>о</sub> на клетки бактерий рода *Xanthomonas* в зависимости от температуры, времени и рН

Стерилизация раствора пектина при 70°C (дробная), 110°C, 115°C и 120°C в течение 15 минут изменяла его вязкость (см. таблицу). Растворы пектина, автоклавированные при указанных температурах, были стерильными, о чем свидетельствовало отсутствие роста микрофлоры.

Таким образом, наши опыты показали, что лучшим режимом стерилизации для сохранения качества пектиновых веществ является дробная пастеризация (в трехкратной повторности) при 70°C в течение 15 минут. В этих условиях отмечалась наименьшая деградация пектиновых веществ, а дезтерификация не происходила, в то время как стерилизация при 120°C в течение 15 минут снижала его вязкость в три раза. В дальнейших исследованиях применялась дробная пастеризация при 70°C.

После стерилизации в зависимости от целей опыта pH растворов доводили 2н. NaOH до необходимой величины.

Как видно из рис. 1, исходная величина pH раствора пектина (ПВ<sub>о</sub>), равная 2,5 при экспозиции 15 минут, температурах 36° и 28°C, оказала ингибирующее действие на *Pseudomonas tumefaciens* 171, а ПВ<sub>я</sub> при экспозиции 30 минут и температуре 28°C. Действие растворов пектина со значением pH 6 и 7 было значительно меньшим по сравнению с растворами pH 2,5 и 5,0. Кроме того, представленные данные показывают, что при изучаемых температурах (36 и 28°C) процент живых бактерий варианта с ПВ<sub>о</sub> ниже, чем варианта с ПВ<sub>я</sub>. Установлено, что в контрольной среде (без пектина) со значением pH 2,5 наблюдалось угнетение клеток бактерий *Pseudomonas tumefaciens* 171. Очевидно, в данном случае особое влияние на клетки бактерий оказывает pH среды. С увеличением температуры ингибирующее действие pH усиливается, в то время как с увеличением pH — ослабевает (рис. 1).

Аналогичное ингибирующее действие ПВ<sub>я</sub> и ПВ<sub>о</sub> отмечено и для бактерий *Xanthomonas malvacearum* 622 (рис. 2). С увеличением времени экспозиции ингибирующее действие этих веществ усиливается.

Более слабое действие ПВ<sub>я</sub> и ПВ<sub>о</sub> оказывали на клетки *Xanthomonas carotae* 612 (рис. 2). Лучшим ингибитором для изучаемых культур фитопатогенных бактерий являются очищенные яблочные вещества.

Таким образом, проведенные исследования показали, что яблочные пектиновые вещества (особенно очищенные) оказывают на фитопатогенные бактерии ингибирующее действие, которое зависит от условий среды pH, температуры и времени экспозиции.

## ЛИТЕРАТУРА

1. Бельюкова К. И. Микробиол. журнал, т. XXIV, вып. 5, 62, 1962.
2. Бургвиц Г. К. Фитопатогенные бактерии. М., Изд-во АН СССР, 1935.
3. Горленко М. В., Воронкевич И. В., Успенская Г. Д. Микробиология, т. 23, вып. 3, 322, 1954.
4. Костик Ф. Д., Мехтиева Е. А. Известия АН МССР, Серия биол. и хим. наук, № 1, 79, 1972.
5. Мехтиева Е. А., Костик Ф. Д., Бедриковская О. В. Известия АН МССР, Серия биол. и хим. наук, № 3, 84, 1972.

## ФИЗИОЛОГИЯ И БИОХИМИЯ ЧЕЛОВЕКА И ЖИВОТНЫХ

УДК 577.153+595.773.4—773.363

А. И. ХАРСУН

### ИЗОФЕРМЕНТЫ ЭСТЕРАЗ МИТОХОНДРИЙ *MUSCA DOMESTICA* L.

При электрофоретическом изучении у насекомых эстеразной мишины воздействия фосфороганических инсектицидов (ФОИ) было обнаружено, что воздействию ФОИ подвергаются многие изоферменты эстераз [7, 14, 15]. Были выявлены компоненты эстеразного комплекса, подверженные наибольшему воздействию: ацетилхолинэстераза (АХЭ), холинэстераза (ХЭ), карбоксилэстераза (КЭ) и арилэстераза (АрЭ). Однако оказалось, что различные констелляции эстераз бывают неодинаково «уязвимыми» ФОИ [4, 5, 6].

Различная устойчивость эстераз насекомых к ФОИ объясняется, по-видимому, с одной стороны, физико-химическими особенностями стереохимической структуры инсектицида, с другой — специфичностью констелляции энзимов в той или иной субклеточной структуре — «мишины» воздействия ФОИ.

Что касается АХЭ, то существуют три точки зрения относительно локализации ее в нервной клетке насекомых. По данным ряда исследователей [17, 20], АХЭ связана с мембранными синаптического аппарата нервных клеток, где она участвует в процессах передачи холинergicеского возбуждения. Другие авторы [2, 8] нашли АХЭ в микросомальной и митохондриальной фракциях и связывают ее с функцией обмена веществ. Существует и третья точка зрения [16, 21], согласно которой АХЭ в центральной нервной системе (ЦНС) находится в виде гомогенного белка и лишь функционально частично связана с органеллами клетки.

Сведений о связи КЭ с компонентами нервных клеток насекомых значительно меньше. Так, известно, что КЭ обнаруживается в митохондриях [13] и микросомах [4]. КЭ, связанная с микросомами, была выделена из некоторых тканей позвоночных [11].

Что касается АрЭ (КФ 3.1.1.2) — фермента, который очень активен в гомогенатах тканей [15], в том числе и в ЦНС насекомых [6], то данных о связи его со структурными элементами клеток нет. Не изучена также физиологическая роль АрЭ в организме насекомых, хотя, по нашим предположениям, АрЭ дублирует функции АХЭ, не выявленной на ранних стадиях онтогенеза.

В настоящем сообщении приводятся результаты микроэлектрофоретического разделения изоферментов эстераз митохондрий головок мух, а также данные исследований устойчивости отдельных изоферментов эстераз к ФОИ.

### Методы исследования

Для выделения митохондрий [3] брали навеску специально обработанных головок мух [12], гомогенизировали ее при 0°C 10—12 мин. в гомогенизаторе Поттера с 0,25 M раствором сахарозы, центрифугировали 10 мин. при 800 g (для удаления ядер и неразрушенных клеток). Супернатант фильтровали, затем фильтрат центрифугировали при 12000 g 15 мин. Осадок митохондрий несколько раз ресусцинировали, опять центрифугировали при 12000 g. Чистота осадка митохондрий контролировалась под световым микроскопом и под электронным УМБ-100. Осадок митохондрий переносили в гомогенизатор, где в присутствии 2,5%-ного раствора трилон X-100 (20 мин при 0°C) эстеразы экстрагировались. Разделение эстераз проводили микроэлектрофорезом в поликарбамидном геле [5, 6] при силе тока 0,25 mA/гель. Идентификацию КЭ и АрЭ осуществляли по методу Salkeld [15], а АХЭ и ХЭ — прямым методом Карновского [6]. Для определения молекулярных весов эстераз строилась кривая [10, 18] в некоторой модификации [6], на оси абсцисс откладывали Rf наиболее интенсивной зоны белка с известным молекулярным весом. Электрофорез стандартных белков проводили по методу, описанному выше. Зимограммы денситографировали на отечественном микрофотометре МФ-4.

### Результаты и их обсуждение

Микроэлектрофорезом в поликарбамидном геле в митохондриях головок мух (детергент трилон X-100) было выявлено девять зон общеэстеразной активности (субстрат α-нафтилацетат и краситель прочный синий RR) (рис. 1, I). Зоны активности эстераз отличались как по подвижности, так и по интенсивности окраски (зоны с Rf 0,55 и 0,50 появлялись через 5—7 мин. после перенесения в инкубационную смесь, а другие позже). Идентификация отдельных эстераз показала среди них зоны с Rf 0,07; 0,11 и 0,55, которые определены как АХЭ. С применением субстрата бутирилтиохолинбромида обнаружено, что зоны с Rf 0,15, 0,23, 0,33, 0,42 и 0,50 представлены изоферментами ХЭ. Эстеразу с Rf 0,28 не удалось идентифицировать, так как она не давала специфических реакций и угнеталась всеми применяемыми ингибиторами. Некоторые зоны, обнаруженные на денситограммах, встречаются редко и поэтому при анализе результатов мы их не учитывали.

Использование избирательных ингибиторов показало, что большинство изоферментов эстераз митохондрий в течение 15 мин полностью угнетается E-600 ( $1 \cdot 10^{-5}$  M), чидцадем ( $1 \cdot 10^{-6}$  M) и демуфосом ( $1 \cdot 10^{-5}$  M). Однако после двухчасовой инкубации (в среде субстрат + краситель + ингибитор в фосфатном буфере pH 6,8) происходит неизначительная реактивация ингибиционных эстераз: большинство зон становится менее окрашенными (светло-желтыми), а зона с Rf 0,55 — темно-коричневой. Сходная картина наблюдалась и на зимограммах эстераз митохондрий из головок мух, подвергшихся обработке E-600 *in vivo*.

Значительная часть эстеразной активности (кроме митохондрий) выявлялась и в надосадочной жидкости. По-видимому, эти эстеразы связаны с микросомами [1, 8, 13], а также находятся в свободном состоянии [16, 21]. На зимограммах супернатанта (безмитохондриальная фракция) (рис. 1) было обнаружено семь основных эстеразных

зон. Среди них одна идентифицирована как АХЭ ( $R_f$  0,50) и две — как КЭ ( $R_f$  соответственно 0,19 и 0,40), остальные зоны не идентифицированы. Все эстеразы супернатанта оказались менее устойчивыми к ингибиторам (рис. 2) и после частичного ингибирования не реактивизировались.

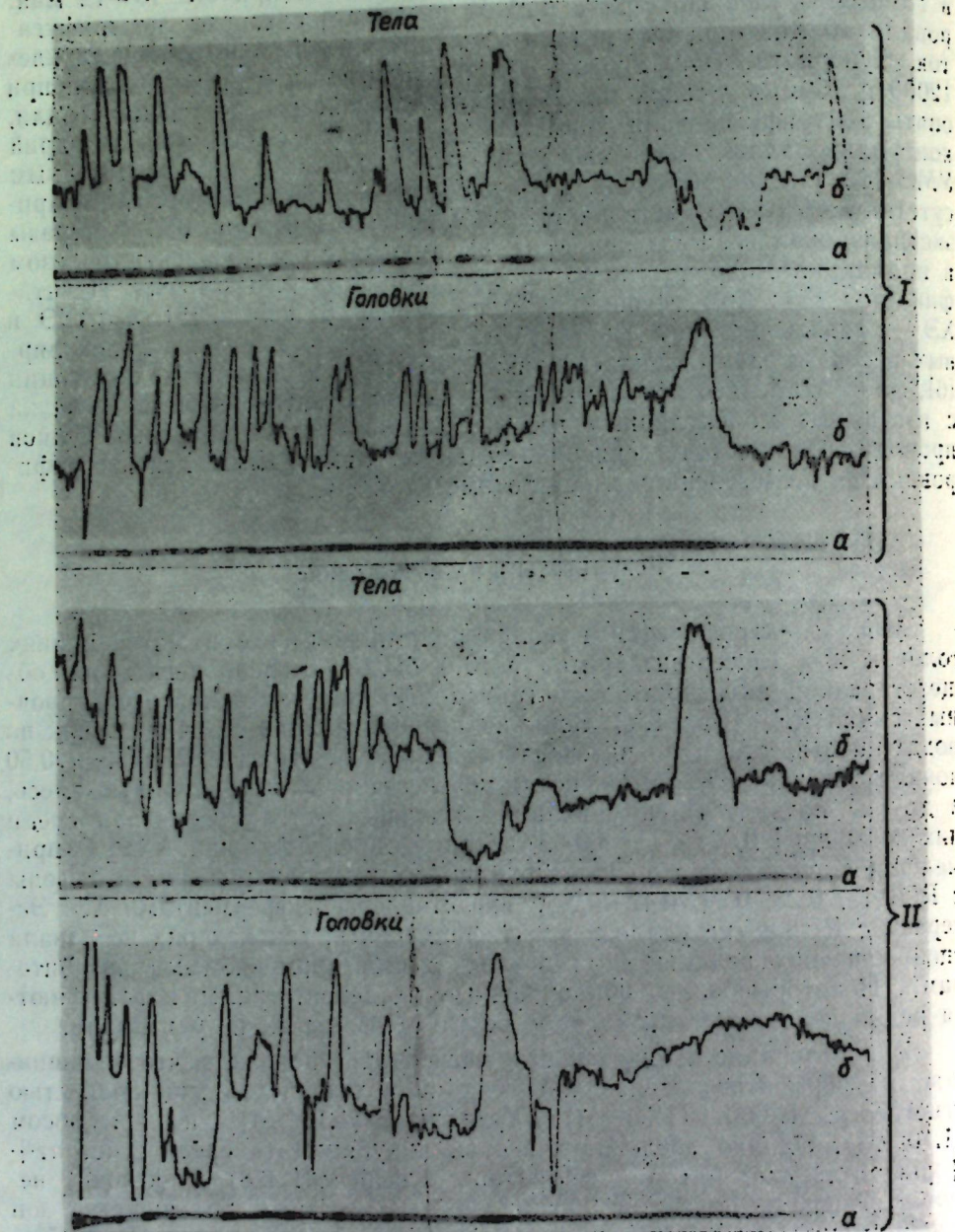


Рис. 1. Зимограммы (а) и денситограммы (б) изоферментов эстераз в митохондриях (I) и безмитохондриальной фракции (II) тел и головок имаго мух

результатов. Аналогичная картина была свойственна изоферментам эстераз супернатанта головок мух, отравленных Е-600.

На основе кривой, откалиброванной на белках с известными молекулярными весами [5], нами была предпринята попытка вычислить относительные молекулярные веса изоферментов эстераз. Аналогичные

данные значения молекулярных весов для отдельных эстераз были получены иными методами и другими авторами [9, 13]. Из выявленных в митохондриях трех АХЭ, две медленноподвижные ( $R_f$  0,07 и 0,10) с мол. весом  $\sim 1$  млн., а быстроподвижная ( $R_f$  0,55)  $\sim 80$  тыс. Изоферменты КЭ оказались более разнообразными по молекулярным весам; так, у пяти изозимов они соответствовали:  $\sim 500$  тыс.,  $\sim 480$  тыс.,  $\sim 180$  тыс.,  $\sim 150$  тыс. и  $\sim 100$  тыс. Применение ингибиторов показало, что менее устойчивы к ФОИ эстеразы, с большими молекулярными весами (рис. 2).

В супернатанте также были обнаружены очень чувствительные к ФОИ высокомолекулярные эстеразы, но большинство из них не идентифицированы, за исключением быстроподвижной АХЭ ( $R_f$  0,50) с мол. весом  $\sim 100$  тыс. и двух КЭ ( $R_f$  0,15 и 0,40) с мол. весами  $\sim 500$  тыс. и  $\sim 150$  тыс. соответственно.

Наиболее интенсивные зоны изоферментов эстераз митохондрий головок мух количественно, по  $R_f$  и интенсивности соответствовали восьми зонам эстеразной активности, обнаруженным в ЦНС личинок мух [6].

Испытание ФОИ как на изоферментах эстераз митохондрий имаго, так и на ЦНС личинок мух [5, 6] показало, что действие ФОИ не узко-специфично, а влияет на весь комплекс эстераз. Это, вероятно, является основной причиной того, что большинство применяемых в практике борьбы с насекомыми ФОИ токсичны для человека и животных. Исходя из этого, необходимо более полно изучать специфику действия ФОИ на отдельные компоненты эстеразных конstellаций насекомых, используя как токсические методы при изучении «уязвимости» отдельных изоферментов к различным ФОИ, так и более детально расшифровывать изоферментный спектр эстераз — «мишеней» воздействия ФОИ отдельных органов и систем организма насекомых. Знание структуры белковой цепи изофермента и конформации его активного центра позволит вести целенаправленный синтез селективных инсектицидов из группы ФОИ в отношении лишь отдельных видов вредных насекомых.

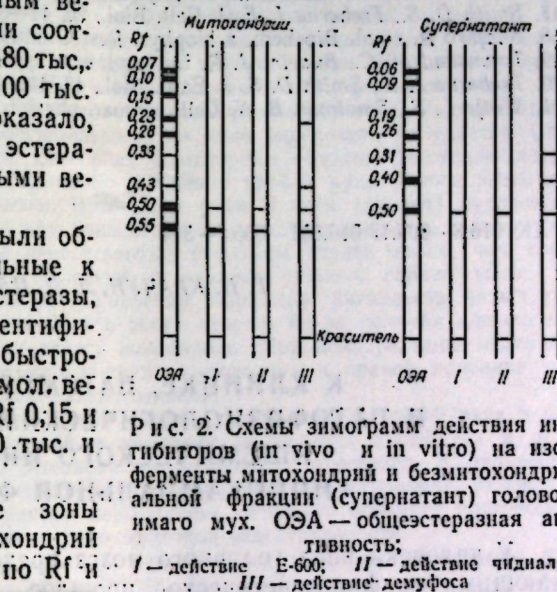


Рис. 2. Схемы зимограмм действия ингибиторов (*in vivo* и *in vitro*) на изоферменты митохондрий и безмитохондриальной фракции (супернатант) головок имаго мух. ОЭА — общееэстеразная активность;  
I — действие Е-600; II — действие цидиали;  
III — действие демуфоса

## ЛИТЕРАТУРА

1. Венков Л. «Гребиначан мък в норма и эксперимент». София, Бълт. АН, 93, 1969.
2. Нахмансон Д. Молекулярная биология. Проблемы и перспективы. М., изд-во «Наука», 1964.
3. Уголова Н. А. и сотр. Вопросы вирусологии, 1, 31, 1966.
4. Уилкинсон Д. Изоферменты. М., изд-во «Мир», 1968.
5. Харсун А. И. Действие фосфорорганических инсектицидов на изоферменты эстераз насекомых отр. Двукрылых. Канд. дисс. Киев, 1971.
6. Харсун А. И., Липтуга Н. И. Физиологически активные вещества, вып. 4. Киев, изд-во «Наукова думка», 1972.
7. Asperen van K., Oppenoorith F. Ent. exp. Appl., 3, 68, 1960.
8. Chaudary K. et al. Arch. Internat. physiol. et biochem., 74, 416, 1966.
9. Dauterman V. et al. J. Insect. Physiol., 108, 8, 1962.

10. Evans M. J., Kingsbury D. W. Virology, 37, 597, 1969.
11. Franz W., Krysan E. H.—S.—L.—Physiol. chem. 342, 575, 1968.
12. Krysan J. L., Cadwick L. J. Insect. Physiol., 116, 75, 1970.
13. Matsumura F., Brown A. W. J. Econ. Ent., 56, 381, 1963.
14. Menzel D. et al. J. Insect. Physiol., 9, 479, 1963.
15. Salkeld E. H. Canad. J. Zool., 45, 595, 1965.
16. Smalman B. N. J. Cell. compar. physiol., 48, 198, 1956.
17. Smith D. S., Treherne J. E. J. Cell. Biol., 26, 44—57, 1965.
18. Shapiro A. et al. Biochem. a biophys. Res. Commun., 28, 815, 1967.
19. Townsend M. C., Busvine J. R. Entomol. exp. appl., 12, 242, 1969.
20. Treherne J. E., Smith D. S. J. Expl. Biol., 43, 441, 1965.
21. Wolfe L. S., Smalman B. N. Cell. compar. physiol. 48, 213, 1956.

УДК 616.8—009.12:616.831—005.5—314

Г. П. КРАЧУН, Л. Д. ПЛЕШКО

## К КЛИНИКЕ, ПАТОМОРФОЛОГИИ И ПАТОФИЗИОЛОГИЧЕСКИМ МЕХАНИЗМАМ ИШЕМИЧЕСКОГО ИНФАРКТА ГИППОКАМПАЛЬНОЙ ФОРМАЦИИ

У человека кора головного мозга представлена структурами, отражающими ее филогенетическое прошлое. Наиболее древний отдел коры мозга — палеокортекс — самый элементарный по своей архитектонике. В онтогенезе млекопитающих он появляется в первую очередь и включает следующие структуры: обонятельный бугорок, перегородку, периамигдалярную и препириформную кору. Затем развивается архикортекс — старая кора, в состав которой входят: Аммонов рог (морской конек, гиппокамп), зубчатая фасция и основание или подставка. На всем своем протяжении старая кора отделяется от неопаллиума периархикортексом — филогенетически более молодыми по сравнению с архикортексом переходными (межуточными) формациями: — энторинальная область и крючок гиппокампальной извилины, предосновная область. В литературе [16] гиппокамп, зубчатую фасцию и подставку относят к гиппокампальной формации, учитывая их близкое анатомическое расположение и существование между ними прямых анатомических связей.

Архикортекс и периархикортекс являются центральными корковыми формациями лимбической системы мозга, которой принадлежит существенная роль в механизмах центральной регуляции пищевого и полового рефлексов, уровня сна и бодрствования, вегетативного баланса, памяти, эмоционального аккомпанемента поведения [5, 7].

Однако к настоящему времени экспериментальные исследования и обзорные работы не позволяют однозначно ответить на вопрос: какова специфическая функцияperi- и архикортекса в механизмах этих «глобальных» проявлений организма [3]. Остаются открытыми вопросы клиники, патоморфологии и патогенеза поражений гиппокампальной формации и периархикортекса.

В настоящем исследовании приводятся данные клиники и патологической анатомии ишемического инфаркта, ограниченного центральными корковыми формациями лимбической системы (peri- и архикортекс) у больного, страдавшего алкоголизмом.

Больной Ф. (ист. болезни № 1758), 48 лет, доставлен скорой помощью в неврологическое отделение Республиканской психиатрической больницы № 1 в бессознательном состоянии.

К характерным особенностям клиники относятся следующие признаки. За месяц до госпитализации ежедневно имели место приступы пароксизмов со стороны желудочно-кишечного тракта в виде *pausea et vomitus*.

За четыре дня до госпитализации пароксизмы приобрели многократный характер, развелся астенический синдром. В правых конечностях возник трепор. В день госпитализации появились эпилептиформные припадки, выражавшиеся тоническими судорогами в правой половине тела с поворотом головы вправо. При этом сознание затемняло до степени спутанности. Речь в межприступном периоде — невнятная.

При обследовании в отделении состояние сознания — сопорозное. Реакция зрачка на свет вялая, пистагма нет. Чувствительность на лице определить не удается. Сглажена правая носогубная складка. Сенсорная и моторная афазия. Пассивные движения рук и ног в полном объеме. Активные движения правой руки и ноги резко снижены. Тонус мышц справа повышен. В мышцах руки и ноги (справа) судорожные подергивания. В промежутках между эпилептиформными припадками — трепор пальцев рук и ног. Сухожильные и периостальные рефлексы справа выше, чем слева. Брюшные рефлексы отсутствуют. Коленный и ахиллов рефлекс справа выше, чем слева. Патологических рефлексов нет. Умеренно выражена ригидность затылочных мышц. Симптом Кернига положительный с обеих сторон. Из-за наличия афазии проверить чувствительность не представлялось возможным. При осмотре имел место эпилептиформный припадок с тонико-клоническими судорогами в правой половине тела, с поворотом головы вправо и выключением сознания.

В процессе лечения увеличился объем активных движений в правой руке и ноге. Речь больного оставалась нарушенной, с наличием вербальных паразий и персвераций («словесная окрошка»). Эмоционально напряжен, агрессивен. В дальнейшем к выявленной правосторонней пневмонии присоединилась левосторонняя нижнедолевая пневмония. Несмотря на принятые меры, общее состояние больного прогрессивно ухудшалось. Больной скончался от легочно-сердечной недостаточности.

**Клинический диагноз:** острое нарушение мозгового кровообращения по тромбо-геморрагическому типу в системе левой средней мозговой артерии у больного с хроническим алкоголизмом. Абсцесс мозга? Коронаро-кардиосклероз. Атеросклеротический. Двусторонняя нижнедолевая пневмония. Пролежень в области крестца.

**Патологический диагноз:** атеросклероз с преимущественным поражением сосудов головного мозга и сердца. Фиброз мягких мозговых оболочек. Парасагиттальные кисты мягкой мозговой оболочки в теменной области. Обширный очаг размягчения в левом Аммоновом роге. Двусторонняя хроническая бронхо-пневмония. Отек легких. Полнокровие внутренних органов. Белковая дистрофия печени, почек, миокарда. Пролежни в области крестца.

**Аутопсия:** мышца сердца дряблкая, тусклая на разрезе, с пролежнями белесоватой фиброзной ткани. Интима аорты и коронарных сосудов содержит липоидные пятна. Коронарные сосуды проходимы. Легкие в нижних отделах уплотнены. Участки уплотнения темно-красного цвета на разрезе. С поверхности разреза стекает кровянистая жидкость.

Твердая мозговая оболочка местами спаяна с крышей черепа, фиброзно утолщена. Мягкая мозговая оболочка молочно-белого цвета, утолщена, кистозно изменена в теменной области. Мозг правильной формы с несколько уплощенными извилинами. Сосуды основания мозга склерозированы. Вещество мозга на разрезе отечно. Ликвороносные пути расширены. Ткань мозга на различных уровнях содержит множественные очаги мелкоточечных диапедезных кровоизлияний. Обнаружен очаг размягчения в области тела левого Аммонова рога, распространяющийся на близлежащий крючок.

**Патогистологическое исследование:** микроскопическое исследование peri- и архикортекса показало, что очаг размягчения начинался в предосновании гиппокампальной извилины, далее распространялся в зону основания и области  $H_1$ ,  $H_2$  и  $H_3$ . Аммонова рога

(рис. 1). Инфаркт достигал наибольших размеров в зоне основания и области  $H_1$  и  $H_2$  Аммонова рога. Как видно из приведенных микротографий, в Аммоновом роге некрозом были захвачены str. radiatum и str. lacunosum-molec., с внедрением «языков» размягчения в слой пирамидных нейронов. Зубчатая фасция осталась интактной. В области крючка (рис. 2, а) размягчение располагалось между листками зубчатой фасции. По краям инфаркта, особенно в зоне  $H_2$  Аммонова рога, выявлялись амилоидные тела и зернистые шары в умеренном количестве (рис. 2, б). Паренхима мозга разряжена и отечна, образуя различной формы и величины пустоты («некротическая спонгиозность»). Особенно выражены эти явления в участках мозга, прилежащих к очагу размягчения. Отмечается гиперплазия и пролиферация глиальных элементов (астроциты и олигодендроглия). Резко увеличены периваскулярные пространства сосудов (рис. 2, в). В просвете артерий — конглютинация эритроцитов, образующих «бесфибринные» тромбы. Стенка сосудов разволокнена; эндотелий в состоянии десквамации. Обнаруживаются явления сосудистой дистонии. Некоторые сосуды представляются запустевшими (рис. 3, а), с инфильтрированными стенками лимфоидными элементами. Артерии, васкуляризирующие гиппокампальную формацию (рис. 3, б, в), содержат «бесфибринные» тромбы, полностью облитерировавшие просвет. Интима утолщена и разволокнена за счет аргирофильных волокон. Адвентиция в состоянии пролиферации (рисунки см. на вкл., стр. 80—81).

Общее количество нейронов в пери- и архикортексе уменьшено. Имеются большие участки полного запустевания, особенно в областях  $H_{1-3}$  гиппокампа, в воротах зубчатой фасции. Чрезвычайно выражен перицеллюлярный отек и пролиферация глии. Нервные клетки находятся на различных стадиях дистрофии, некробиоза и нейронофагии (рис. 4).

Выявляются следующие характерные этапы патологического изменения нервных клеток. Процесс начинается с распада ядрышка на гранулы, totally заполняющие территорию ядра. При этом ядро увеличено в размерах, гиперхроматозно и смешено к периферии клетки. Цитоплазма таких нейронов бледна, содержит участки расплавления в виде вакуолей (из-за липофусциновой инфильтрации). Аксоны большинства таких нейронов утолщены и прослеживаются на большом расстоянии (рис. 4, д). В дальнейшем контуры ядра исчезают, сливаюсь с гомогенно и гиперхромно окраивающейся цитоплазмой (рис. 4, а). На конечных стадиях некробиоза первая клетка сморщивается и подвергается распаду. Остатки распада отдельных нейронов выявляются в виде глыбок (рис. 4, в). Ядра гранулярных нейронов зубчатой фасции содержат светлые участки образовавшихся вакуолей; объем ядра увеличен и у отдельных нейронов занимает почти всю цитоплазму (рис. 4, г). Ядрышко находится в состоянии распада на мелкие гранулы. В зоне зубчатой фасции значительно реже встречаются безъядерные и гиперхромные «клетки-тени». В этой области архикортекса пролиферация глии выражена в меньшей степени.

Таким образом, у больного Ф. за месяц до поступления в больницу появились пароксизмы в виде *nausea et vomitus*. Болезнь прогрессировала, и по истечении месяца они стали многократными, появился астенический синдром, за которым последовали явления острого нарушения мозгового кровообращения, выражавшиеся расстройствами речи, эпилептиформным синдромом, нарушением сознания, правосторонним гемипарезом. Больной скончался при симптомах легочно-сердечной недостаточности. Патологоанатомическое исследование обнаружило

атеросклероз сосудов головного мозга и сердца, тромбоз ветвей задней мозговой и хороидальной артерий, ишемический инфаркт в пери- и архикортексе. Наличие при патогистологическом исследовании грубых органических изменений сосудов и нейронов мозга свидетельствует о том, что в целом причиной заболевания явилась хроническая алкогольная интоксикация. Она была «почвой», на которой появилась и расцвела указанная выше неврологическая симптоматика.

Как видно из приведенных клинических данных, начало заболевания характеризовалось висцеральными пароксизмами — ежедневным появлением тошноты и рвоты. В патогенезе этой симптоматики имели значение дисциркуляторные явления в пери- и архикортексе. В дальнейшем, в связи с закупоркой просвета сосудов, питающих пери- и архикортекс, в клинической картине начали преобладать симптомы инсульта. В течении инсульта можно было отметить промежутки кратковременного улучшения общего состояния у больного, однако в целом заболевание имело прогрессирующий характер.

В доступной литературе мы не нашли данных по клинике и патоморфологии ишемического инфаркта, ограниченного только формациями пери- и архикортекса.

Согласно клинико-анатомическим материалам Боголепова [1] при левосторонней закупорке задней мозговой артерии развивается очаг размягчения в области внутреннего и нижнего отдела височно-затылочной доли, клиновидной извилины, нижненаружного отдела зрительного бугра, подбуторной области, ножки мозга и нижней части утолщения мозолистого тела. При этом возникают нарушение сознания, расстройство чувствительности, гемипарез в конечностях, противоположных очагу (с таламическими явлениями), контралатеральная гомонимная гемианопсия с сохранением макулярного зрения и зрительная агнозия. При левосторонней локализации очага могут присоединяться сенсорная и амнестическая афазия, алексия.

По данным Пенфильда и Робертса [6], органическое поражение гиппокампа, крючка, первой височной извилины и серого вещества прилегающего к островку (больная И. Мк., перенесшая корь), приводит к появлению двигательных автоматизмов, сопровождающихся повышенным слюноотделением и позывами на мочеиспускание. После припадка отмечались затруднения речи — больная произносила только бессмысленные слова.

Тонконогий [8] приводит наблюдение (больной Г. Н.), согласно которому умеренно выраженные явления амнестико-сенсорной афазии наблюдались при остром расстройстве мозгового кровообращения в территории поверхностных ветвей задней мозговой артерии с образованием размягчения в Аммоновом роге, гиппокамповой, веретенообразной и язычковой извилинах. Кроме того, у больного были выявлены множественные мелкие очаги размягчения в зрительном бугре, ретроболикулярном отделе внутренней сумки, в левой половине Варолиева моста. Наличие в клинической картине пареза в правой руке и ноге, правосторонней гемигипестезии и полной гемианопсии на той же стороне связывается автором с наличием инфаркта в левой половине Варолиева моста.

Особенностью нашего наблюдения является то, что манифестация инсульта проявилась нарушением сознания и эпилептиформным синдромом, с последующим развитием в межпароксимальном периоде речевых расстройств, патологических явлений в эмоциональной (немотивированная злоба, агрессивность) и двигательной (контралатеральный гемипарез) сферах.

Клинические наблюдения и экспериментальные исследования [2, 4] свидетельствуют о том, что глубокие структуры височной доли ответственны за появление судорожных припадков. В генерации эпилептического гиперсинхронного разряда Аммонов рог обладает наиболее низким порогом. Очевидно, в нашем наблюдении локальный ишемический инфаркт вperi- и архикортексе сформировал очаг эпилептической активности, что явилось определяющим фактором в последующем нарушении нейродинамики интактных областей переднего мозга и ствола.

В настоящее время чрезвычайно сложным и далеко иерархизированным является вопрос о патофизиологических механизмах, лежащих в основе клиники пароксизмальных явлений при поражении медиобазальных отделов височной доли, и в частности Аммонова рога.

Нам представляется, что существенная роль в этих механизмах принадлежит процессам активного межцентрального взаимодействия интактных структур мозга с гиперсинхронной импульсацией, поступающей из эпилептогенного очага. Результатирующая этого взаимодействия обуславливает переход интегративных систем мозга на новые (порой патологические) режимы функционирования. По мнению Хасабова [9], с появлением первичного фокуса судорожной активности в интактных системах мозга происходит функциональная перестройка, направленная на ограничение распространения судорожных разрядов. Генерализация судорожного разряда свидетельствует об ослаблении «ограничивающих» механизмов.

Каковы патогенетические механизмы нарушения сознания и двигательной сферы, обусловленные инсультом в peri- и архикортексе?

Согласно экспериментально-морфологическим данным [14], эfferентные пути гиппокампа, исходящие из пирамидных нейронов, через систему свода оканчиваются в ядрах перегородки, гипоталамусе (преоптическая, латеральная и дорсальная области, медиальное мамиллярное тело), таламусе (передние и интрапирамидные ядра), ростральных отделах среднего мозга (центральное серое вещество Сильвиева водопровода, область Тцая). Следовательно, есть основание допустить, что архикортекс контролирует уровень импульсации, поступающей в передний мозг по ретикуло-таламо-неокортикальной и ретикуло-гипоталамо-неокортикальной системам интеграции.

В нашем наблюдении манифестиация ишемического инсульта сопровождалась сопорозным состоянием сознания, что свидетельствует о тормозном влиянии Аммонова рога на активирующую импульсацию, восходящую из среднего мозга в диэнцефalon и передний мозг. Это заключение находит подтверждение и в экспериментальных нейрофизиологических исследованиях, согласно которым [13] высокочастотная стимуляция архикортекса тормозит разряды единичных нейронов в «неспецифических» ядрах таламуса и центральном сером веществе среднего мозга. Центральное серое вещество, окружающее Сильвиев водопровод, является компонентом восходящей активирующей системы мозга, а также принимает участие в механизмах регуляции активных двигательных реакций [11]. Согласно гипотезе Klemm [12], Аммонов рог оказывает влияние на сегментарные реакции спинного мозга путем изменения возбудимости ростральных отделов среднего мозга, находящихся, в свою очередь, в реципрокных отношениях с ретикуло-спинальной системой продолговатого мозга. Интенсивность поступающего из архикортекса импульсного потока и его продолжительность, существенным образом сказываются на степени высвобождения ретикуло-спинальной системы продолговатого мозга от исходящих мезенцефали-

ческих влияний. По-видимому, соответственно характеру этих межцентральных отношений градуально меняется моторная активность: от начального повышения мышечного тонуса экстензоров и исчезновения активных движений до возникновения тонических или тонико-клонических судорог.

Характерной особенностью в клинике межпароксизмального периода явилось наличие расстройств речи, на что обращают внимание и другие исследователи [6, 8]. Эти данные свидетельствуют о том, что образования peri- и архикортекса входят у человека в состав сложно интегрированной речевой зоны мозга. Нам представляется, что в патогенетических механизмах речевых расстройств в нашем наблюдении немаловажная роль принадлежит процессам дезинтеграции на уровне peri- и архикортекса афферентного потока импульсов, поступающих из высших областей мозга: поясной извилины (на территории последней — впереди от роландовой борозды, расположена верхняя речевая зона) — через систему поясного пучка [10] и орбито-фронтальной коры — через тракт Левандовского. Следует отметить, что из этих формаций коры только периархикортекс получает прямые афферентные пути. Поступление импульсного потока в гиппокампальную формацию от указанных областей неокортекса обеспечивается через реле в гиппокампальной извилине по системе перфоративного тракта, волокна которого входят в лакунозно-молекулярный слой Аммонова рога и оканчиваются на апикальных дендритах пирамидных нейронов и базальных дендритах гранулярных нейронов зубчатой фасции [15]. Таким образом, в нашем случае оказалось невозможным межцентральное структурно-функциональное взаимодействие высших неокортикальных отделов мозга с центральными корковыми формациями лимбической системы, что, по-видимому, и обусловило расстройство речевой функции.

В заключение, следует подчеркнуть полифункциональную организацию peri- и архикортекса. Важным итогом эволюции мозга явилось участие этих структур у человека в высших функциях, одной из которых является речь.

Особенности эfferентных и афферентных функциональных связей гиппокампальной формации, нейрофизиологические и клинические данные дают основание предположить, что функциональное значение Аммонова рога состоит, прежде всего, в контроле и модуляции реверберирующих импульсных потоков, с одной стороны, между неокортикальными отделами мозга (префронтальная и орбитальная кора, поясная извилина) и с другой — гипоталамусом, «неспецифическими» ядрами таламуса и ростральными отделами среднего мозга.

В общебиологическом плане следует считать, что peri- и архикортекс являются важнейшими звенями системы адаптации организма к условиям внешней среды.

## ЛИТЕРАТУРА

- Боголепов Ю. К. В кн.: Б. И. Шарапов. (Отв. ред.) Вопросы сосудистой патологии головного и спинного мозга. Кишинев, изд-во «Карта Молдовеняскэ», 1964, стр. 15—24.
- Вайн А., Соловьев А. Ежегодник БМЭ, 2, 547—551, 1969.
- Гамбарян Л. С., Коваль И. Н. Успехи физиол. наук, 3, 21—51, 1972.
- Данилов И. В., Иванова А. М., Кудрявцева Н. Н., Ткаченко Е. И. Патофизиология гиперкинезов (экспериментальные модели у высших животных). Л., изд-во «Медицина», 1972.
- Латаш Л. П. В кн.: Н. П. Бехтерева. (Отв. ред.). Клиническая нейрофизиология. Л., изд-во «Наука», 1972, стр. 116—144.

6. Пенфильд В., Робертс Л. Речь и мозговые механизмы. Л., изд-во «Медицина», 1964.
7. Серков Ф. Н. В кн.: В. Н. Черниговский. (Отв. ред.). Общая и частная физиология нервной системы. Л., изд-во «Наука», 1969, стр. 423—454.
8. Тонконогий И. М. Инсульт и афазия. Л., изд-во «Медицина», 1968.
9. Хасабов Г. А. В кн.: А. А. Портнов. (Отв. ред.). Эпилепсия (клиника, патогенез, лечение). М., 1972, стр. 308—311.
10. Doty R. W. In: A. M. Freedman et al. (Ed-s). Comprehensive textbook of psychiatry. Baltimore, Williams — Wilkins, 1967, p. 89—142.
11. Flynn J. P., Vanegas H., Foote W., Edwaras S. In: R. E. Whalen et al. (Ed-s). The neural control of behavior. New York—London, Academic Press, 1970, p. 135—174.
12. Klemm W. R. Commun. Behav. Biol., 5, 147—151, 1970.
13. McKenzie J. S., Gilbert D. M., Rogers D. K. Brain Res., 27, 382—385, 1971.
14. Nauta W. J. H., Haymaker W. In: W. Haymaker et al. (Ed-s). The Hypothalamus. Springfield, C. C. Thomas, 1969, p. 136—209.
15. Raisman G. et al. Brain., 88, 5, 963—996, 1965.
16. Votaw Ch. L. J. Comp. Neurol., 112, 353—382, 1959.

## ХИМИЯ

УДК 541.183

Л. П. ПОНОМАРЕВА, П. К. МИГАЛЬ

АДСОРБЦИОННОЕ ИССЛЕДОВАНИЕ  
ДЕБИТУМИНИРОВАННОЙ МИНЕРАЛЬНОЙ ЧАСТИ ПОРОД  
ПАЛЕОЗОЙСКИХ ОТЛОЖЕНИЙ МОЛДАВСКОЙ ССР

Изучение адсорбционных свойств минеральной части пород, освобожденных от битумоидов экстракцией в аппарате Сокслетта хлороформом и смесью этанола с бензолом, преследовало цель выяснить сорбционную емкость их в связи с накоплением в них углеводородов, а также применимость метода адсорбции при изучении вопросов миграции углеводородов в различных отложениях.

Объектами для исследования послужили дебитуминизированные образцы пород следующих отложений: 1 — аргиллиты нижнего карбона Арцизской площади (обр. 1—6); 2 — алевролиты верхнего силура — нижнего девона (обр. 7—9) Вишневской пл.; 3 — аргиллиты сред-

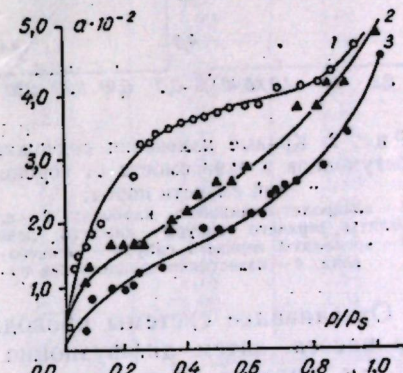


Рис. 1. Изотермы адсорбции известьяков (1), аргиллитов (2), алевролитов (3)

ней юры Арцизской пл. (обр. 8); 4 — аргиллиты верхнего силура — нижнего девона Вишневской пл. (обр. 12, 13); 5 — известняки среднего девона Арцизской пл. (обр. 14).

Изучение адсорбционных свойств минеральной части (дебитуминированной) проведено на вакуумно-адсорбционной установке. В качестве адсорбатов использованы метanol и бензол. Адсорбат после тщательной очистки [2] помещался в дозатор, при помощи которого в систему вводился пар небольшими порциями. Адсорбент находился в стеклянной чашечке, подвешенной к вольфрамовой пружине. Давление пара в системе определяли при помощи ртутного манометра с диаметром поперечного сечения 12,5 мм. К системе был присоединен буфер, дающий возможность исключить резкое изменение давления пара в системе в результате адсорбции. Опыты проводили при температуре 25°C. Для терmostатирования вся система находилась в воздушном

термостате, в котором температура поддерживалась постоянной с точностью до  $\pm 0,1$ . При определении количества адсорбированного вещества и давления пара в системе отсчеты на весах и манометре брали при помощи микрокатетометра КМ-8, точность которого равна 0,005 мм.

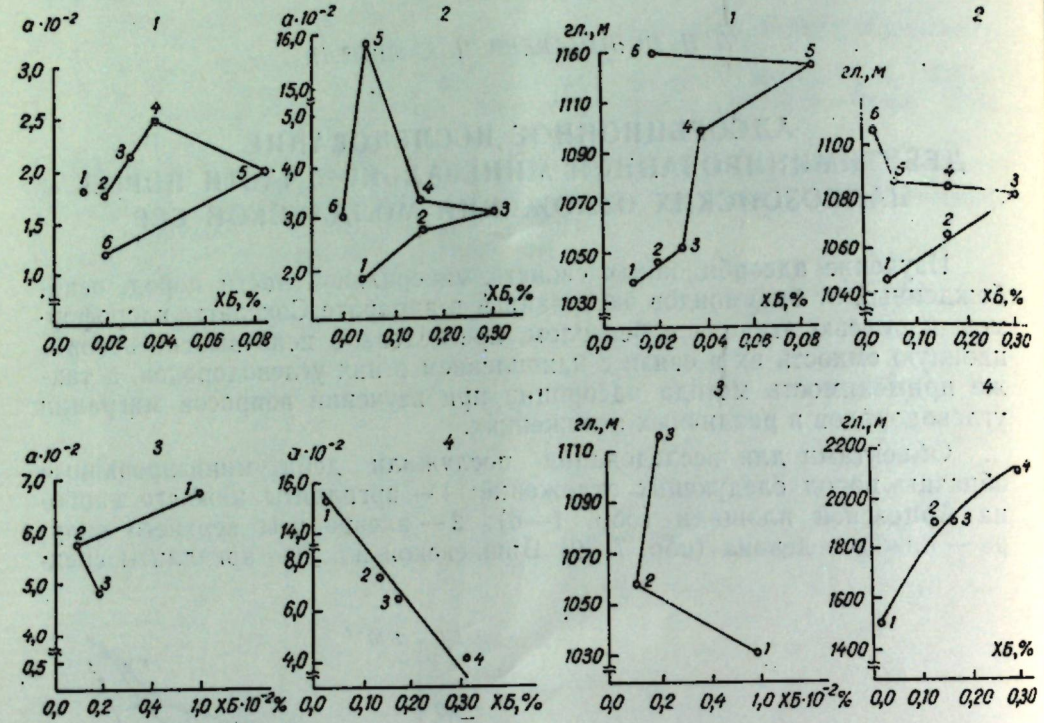


Рис. 2. Кривые изменения содержания битумоидов в зависимости от сорбционной емкости пород:

1 — алевролиты нижнего карбона; 2 — алевролиты верхнего силура — нижнего девона;  
3 — аргиллиты верхнего силура — нижнего девона; 4 — известняки среднего девона

Рис. 3. Кривые изменения содержания углеводородов в зависимости от глубины залегания отложений (кривые 1—4 соответствуют тем же объектам на рис. 2)

Откачивание системы проводили вначале при помощи форвакуумного насоса, затем диффузионно масляным насосом до давления  $10^{-5}$  мм, которое контролировалось в системе при помощи вакуумметра ВМ-2. Перед зарядкой образцы сушили при температуре  $120^{\circ}\text{C}$  в течение 10—12 часов, после чего брали навески в пределах 0,09—0,12 г.

Перед началом опыта систему откачивали в течение 10—12 часов при температуре опыта, затем постепенно вводили малыми порциями пар. [1].

Данные о количестве адсорбированного вещества в изученных образцах приведены в таблице.

Согласно опытным данным, по количеству адсорбированного вещества и значению относительного давления  $P/P_s$  построены изотермы адсорбции для изученных образцов, форма некоторых кривых для различных объектов показана на рис. 1.

На основании предельных величин адсорбции (по изотермам) и данных о количестве хлороформенных битумоидов в изученных образцах построены кривые изменения их содержания в разрезе отложений в зависимости от сорбционной емкости и глубины залегания пород и представлены на рис. 2, 3 (кривые 1—4).

### Адсорбция метанола из вакуума

№ пп.	P/P <sub>s</sub>	Количество адсорбированного вещества, $a \cdot 10^{-2} \text{ мг/г}$				
		обр. 1	обр. 2	обр. 3	обр. 4	
1	2	3	4	5	6	
1		0,099	0,42	0,01	0,70	0,81
2		0,145	0,66	0,17	0,92	0,85
3		0,195	0,91	0,23	0,92	1,18
4		0,225	0,91	0,50	1,02	1,18
5		0,260	1,08	0,60	1,05	1,32
6		0,302	1,17	0,68	1,13	1,55
7		0,332	1,29	0,77	1,27	1,55
8		0,369	1,27	0,77	1,59	1,92
9		0,486	1,42	0,94	1,59	1,99
10		0,578	1,42	1,40	1,83	2,19
11		0,670	1,75	1,41	1,91	2,36
12		0,724	1,88	1,41	1,91	2,36
13		0,754	1,88	1,41	2,05	2,46
14		0,800	1,88	1,41	2,12	2,46
15		0,821	1,88	1,77	2,12	2,46
16		0,880	2,04	1,82	2,22	2,46

№ пп.	P/P <sub>s</sub>	обр. 5	обр. 6	обр. 7	обр. 8
1		0,171	0,88	0,52	0,81
2		0,211	1,20	0,67	1,80
3		0,241	1,46	0,63	1,00
4		0,282	1,46	0,63	1,00
5		0,320	1,46	0,71	1,00
6		0,320	1,58	0,78	1,24
7		0,397	1,58	0,78	1,24
8		0,486	1,65	0,93	1,31
9		0,568	1,65	0,93	1,31
10		0,640	1,71	1,01	1,43
11		0,694	1,71	1,01	1,39
12		0,747	1,77	1,01	1,47
13		0,789	1,90	1,01	1,70
14		0,829	1,96	1,23	1,70
15		0,866	2,03	1,23	1,78
16		0,908	2,03	1,23	1,90

Продолжение таблицы

№ пп.	P/P <sub>s</sub>	$a \cdot 10^{-2} \text{ мг/г}$			№ пп.	P/P <sub>s</sub>	$a \cdot 10^{-2} \text{ мг/г}$			
		обр. 9	обр. 10	обр. 11			6	7	8	
1	2	3	4	5	6	7	8	9	10	
1	0,078	0,24	0,27	1,15	1		0,025	0,10	0,41	0,56
2	0,079	0,49	0,81	1,29	2		0,034	0,78	1,36	1,70
3	0,164	0,97	0,99	1,43	3		0,047	0,53	1,50	2,27
4	0,203	1,38	0,99	1,43	4		0,075	0,59	1,63	2,83
5	0,229	1,38	1,00	1,43	5		0,098	0,69	1,92	3,96
6	0,252	1,71	1,18	1,43	6		0,132	0,78	2,04	5,85
7	0,343	1,71	1,18	1,86	7		0,175	0,78	2,04	5,85
8	0,361	1,71	1,18	2,01	8		0,198	0,88	2,04	5,85
9	0,409	1,99	1,27	2,15	9		0,225	0,88	2,72	5,85
10	0,455	1,99	1,90	2,44	10		0,260	1,08	3,27	6,61
11	0,511	1,99	1,90	2,58	11		0,291	1,37	3,27	7,37
12	0,557	1,99	1,90	2,58	12		0,310	1,37	3,41	7,74
13	0,604	2,28	2,08	2,87	13		0,349	1,47	3,47	8,12

## Продолжение таблицы

1	2	3	4	5	6	7	8	9	10
14	0,636	2,52	2,08	3,59	14	0,394	1,47	3,54	9,25
15	0,666	2,60	2,45	3,73	15	0,425	1,47	3,61	9,25
16	0,694	2,60	2,54	3,73	16	0,462	1,47	3,68	9,25
17	0,752	2,60	2,54	3,73	17	0,505	1,57	3,75	9,63
18	0,820	2,60	2,54	3,73	18	0,522	1,62	3,81	9,82
19	0,843	2,77	2,81	4,16	19	0,596	1,77	3,88	10,01
20	0,894	2,85	3,35	4,16	20	0,643	1,81	3,88	10,01
21	1,00	2,93	4,50	4,88	21	0,695	1,86	4,14	10,20
					22	0,774	1,91	4,22	10,39
					23	0,831	1,96	4,29	10,59
					24	0,870	2,35	4,49	10,59
					25	0,907	2,75	4,56	10,77
					26	0,962	5,74	4,85	12,59

Кривая 1 показывает, что в алевролитах нижнего карбона в интервале от 1030 до 1100 м проходило накапливание углеводородов согласно их сорбционной емкости; в интервале 1100—1150 м этот процесс сопровождался независимо от нее, а когда количество углеводородов в интервале 1150—1160 м превышало то минимальное, которое могло удерживаться породами в сорбированном состоянии, происходил процесс десорбции их с поверхности минералов. Те же процессы наглядно подтверждаются в алевролитах силура-девона (кривая 2).

Кривая 3 показывает прямую зависимость между количеством углеводородов в породах и их сорбционной емкостью. Это не противоречит теоретическим представлениям об образовании углеводородов в глинистых отложениях и, при наличии благоприятных геологических условий, отдаче их в пористо-проницаемые слои [3].

В известняках девона (кривая 4) наблюдается обратная зависимость, что свидетельствует о присутствии в них миграционных компонентов. По данным группового анализа, содержание в них углеводородов составляет 46,88%.

Таким образом, проведенные исследования показали, что процессы десорбции и первичной миграции углеводородов из нефтематеринских пород происходили в том случае, когда их абсолютное количество превышало то минимальное, которое удерживалось сорбционными силами породы.

Данные проведенного адсорбционного исследования подтверждают ранее высказанные нами предположения о процессах нефтеотдачи в этих отложениях по данным спектроскопического исследования. Следовательно, адсорбционные методы могут успешно использоваться при изучении и выяснении вопросов миграции углеводородов в природных условиях.

На основании адсорбционных свойств дебитуминизированной части пород высказано предположение о том, что в алевролитах и аргиллитах палеозойских отложений происходили процессы накопления углеводородов и десорбции их в другие слои. В известняках девона отмечено присутствие миграционных компонентов.

## ЛИТЕРАТУРА

- Брунауэр С. Адсорбция газов и паров. М., изд-во ИЛ, 1958.
- Вайсбергер А., Прокшайэр Э., Риддик Д. Ж. Органические растворители. М., изд-во ИЛ, 1958.
- Соколов В. А. Сб.: Генезис нефти и газа, М., изд-во «Наука», 1968.

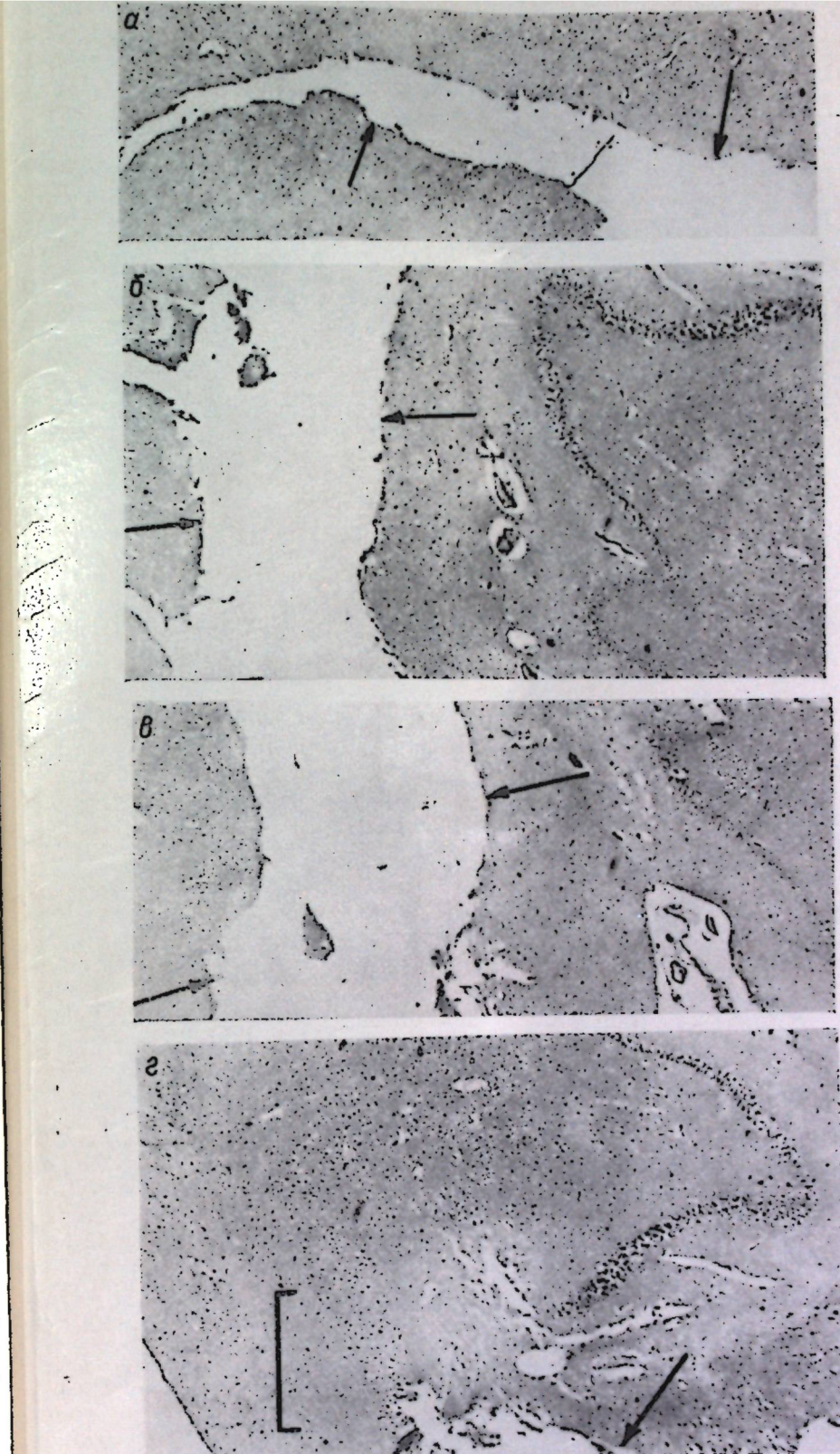


Рис. 1. Ишемический инфаркт в образованиях архи- и периархика (стрелками обозначены границы размягчения): а — предкортикальный и вентромедиальный отдел гиппокамповой извины; б — область  $H_2$  и частично  $H_3$  Аммонова рога; в — область  $H_1$  Аммонова рога и часть зоны основания; г — оконечная часть области  $H_3$  Аммонова рога. Масштаб — 1 мм (ок. 5; об. 3,5). Окраска — гематоксилин-эозином

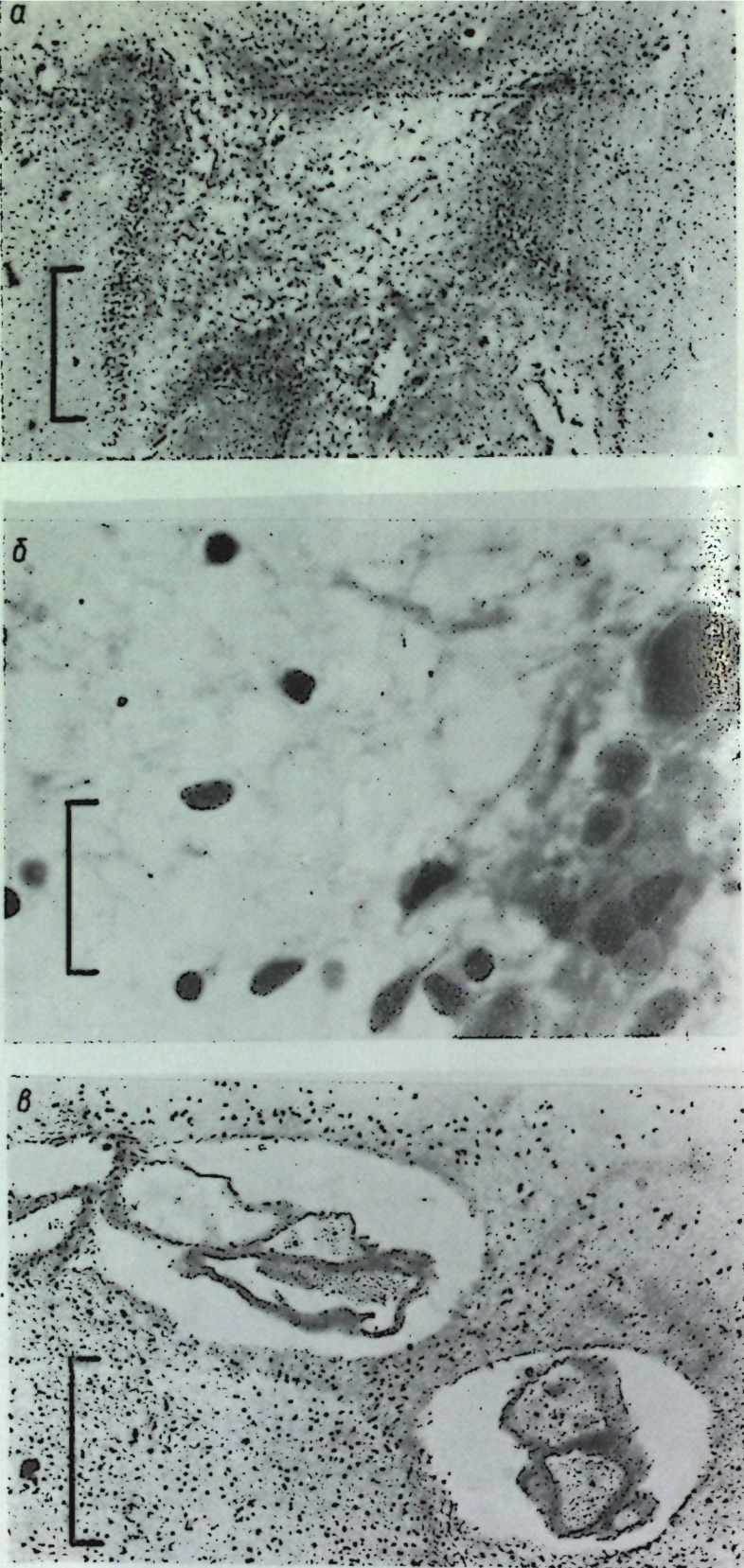


Рис. 2. а — очаг размягчения в области крючка. Масштаб — 1 мм (ок. 5; об. 3,5); б — амилоидные тела у края некроза области Н<sub>2</sub> Аммонова рога; Отек паренхимы мозга. Масштаб — 20 мк (ок. 10; об. 90). Масляная иммерсия; в — сосуды области Н<sub>3</sub> Аммонова рога. Масштаб — 250 мк (ок. 10; об. 10). Окраска гематоксилин-эозином

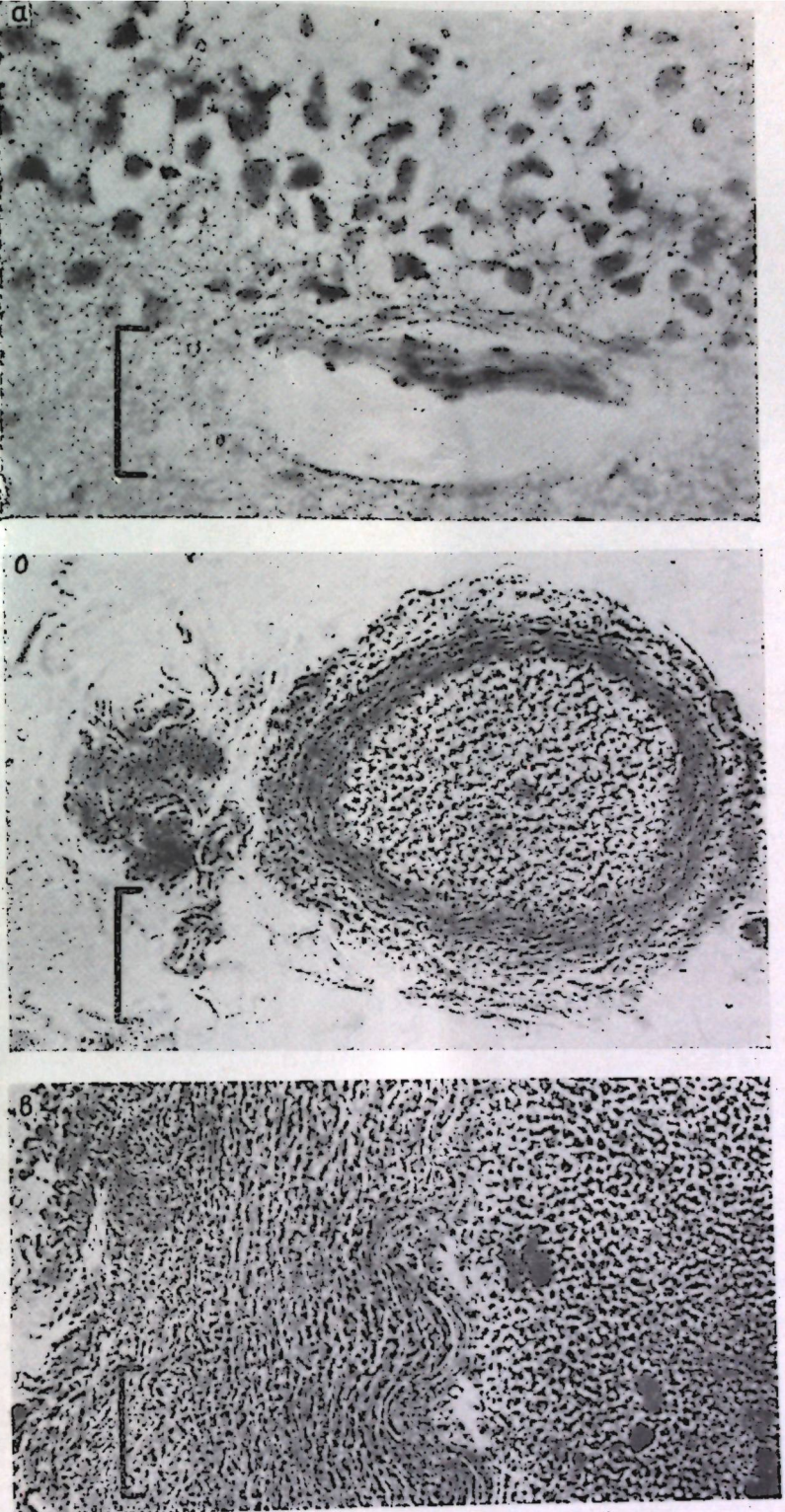


Рис. 3. а — лимфоидная инфильтрация запустевшего сосуда в зоне Н<sub>1</sub> Аммонова рога. Сверху — гранулярные нейроны зубчатой фасции. Масштаб — 200 мк (ок. 10; об. 10). Окраска гематоксилин-эозином; б — сосуд из системы задней хорOIDальной артерии бокового желудочка. Масштаб — 50 мк (ок. 7; об. 40). Окраска по методу Маллори в модификации Эндеша; в — стена сосуда из системы задней мозговой артерии. Масштаб — 50 мк (ок. 7; об. 40). Окраска — метод Маллори в модификации Эндеша

## КРАТКИЕ СООБЩЕНИЯ

УДК 577.158:547.918

Э. Д. ПЕРЕПЕЛИЦА, П. Н. РАЗУМОВСКИЙ

### МИКРОБИОЛОГИЧЕСКОЕ РАСЩЕПЛЕНИЕ СТЕРОИДНЫХ САПОНИНОВ ИЗ *TRIBULUS TERRESTRIS* L.

Цель работы — выявить свойства микроорганизмов разных систематических групп осуществлять реакцию частичного гидролиза стероидных сапонинов *Tribulus terrestris* (якорцы стелющиеся). Применяемый обычно в химии метод частичного гидролиза этих соединений с помощью кислот не всегда дает желаемый результат, так как сопровождается сильной деструкцией. В связи с этим были испытаны разные микроорганизмы для более мягкого и специфичного расщепления сапонинов. Судя по литературе [1, 3], такого рода реакции лучше всего осуществляются грибами.

#### Материалы и методы исследования

Для проведения реакции частичного гидролиза стероидных сапонинов было испытано 10 штаммов грибов рода *Aspergillus*, *Penicillium* и *Alternaria*. В качестве субстрата использовались выделенные нами гликозиды из *Tribulus terrestris* [2]. Культуры грибов выращивались на подобранный нами жидкой синтетической среде следующего состава: аспарагин — 1%, аммоний сернокислый — 0,5%, мочевина — 0,4%, оксалат аммония — 0,5%, калий фосфорнокислый однозамещенный — 0,2%, сульфат магния — 0,5%, железо сернокислое — следы. Вода кипяченая, водопроводная; pH среды 5,5—6,0; стерилизация при 0,5 атм. в течение 30 минут. Культивирование осуществляли при 25—26°C в течение 8 суток в конических колбах объемом 250 мл, содержащих 100 мл жидкой среды, глубинным методом (на бактериологических качалках при 220 об/мин).

Сапонины растворяли в 50%-ном этаноле и вносили в среду в концентрации, равной 5 мг%. Субстрат для трансформации вносили в среду непосредственно в момент засева гриба, а также в разные стадии его роста. Опыты проводили в четырех повторностях, в динамике. Стерильные пробы отбирали через каждые 6 часов и экспонтировали *n*-бутанолом. Контроль за ходом реакции частичного гидролиза осуществляли с помощью хроматографии в тонком закрепленном слое. Приготовление пластинок осуществлялось обычным способом, в качестве адсорбента использовался силикагель марки КСК. Система — бутанол : этанол : вода (10 : 2 : 5). Для проявления пластинок применяли концентрированную серную кислоту.

С целью ускорения реакции была сделана попытка выделить из наиболее перспективного штамма комплексный ферментный препарат. Для этого гриб выращивали на питательной среде, приготовленной на основе пивного сусла и свекловичного жома. Осаджение ферментного комплекса осуществляли 5-кратным количеством этилового спирта в присутствии ионов  $\text{Ca}^{++}$ . Для сравнительной характеристики изучали действие пектолитических ферментных препаратов из *Asp. awamori* (пектаваморин) и *Rhizopus arrhizus* (пектоаризин), полученных сотрудниками Отдела.

Для выделения продуктов частичного гидролиза использовалась препартивная тонкослойная хроматография. На пластинку (17×22 см) наносился слой адсорбента, содержащий 14 г силикагеля, 20 мл воды и 5—10 мг гипса. Дальнейшая обработка пластинок производилась по общепринятой методике. На одну пластинку наносили полосой не более 100 мг вещества. После разгонки пластинка просушивалась и опрыскивалась дистиллированной водой. При этом продукты частичного гидролиза (прогенины) проявлялись в виде несмачивающихся полос.

#### Результаты исследования

Из 10 опробованных штаммов наиболее интересными оказались грибы рода *Aspergillus*. Грибы рода *Penicillium* не расщепляли сапонины из *Tribulus terrestris* L., а грибы рода *Alternaria* расщепляли их до углекислого газа и воды.

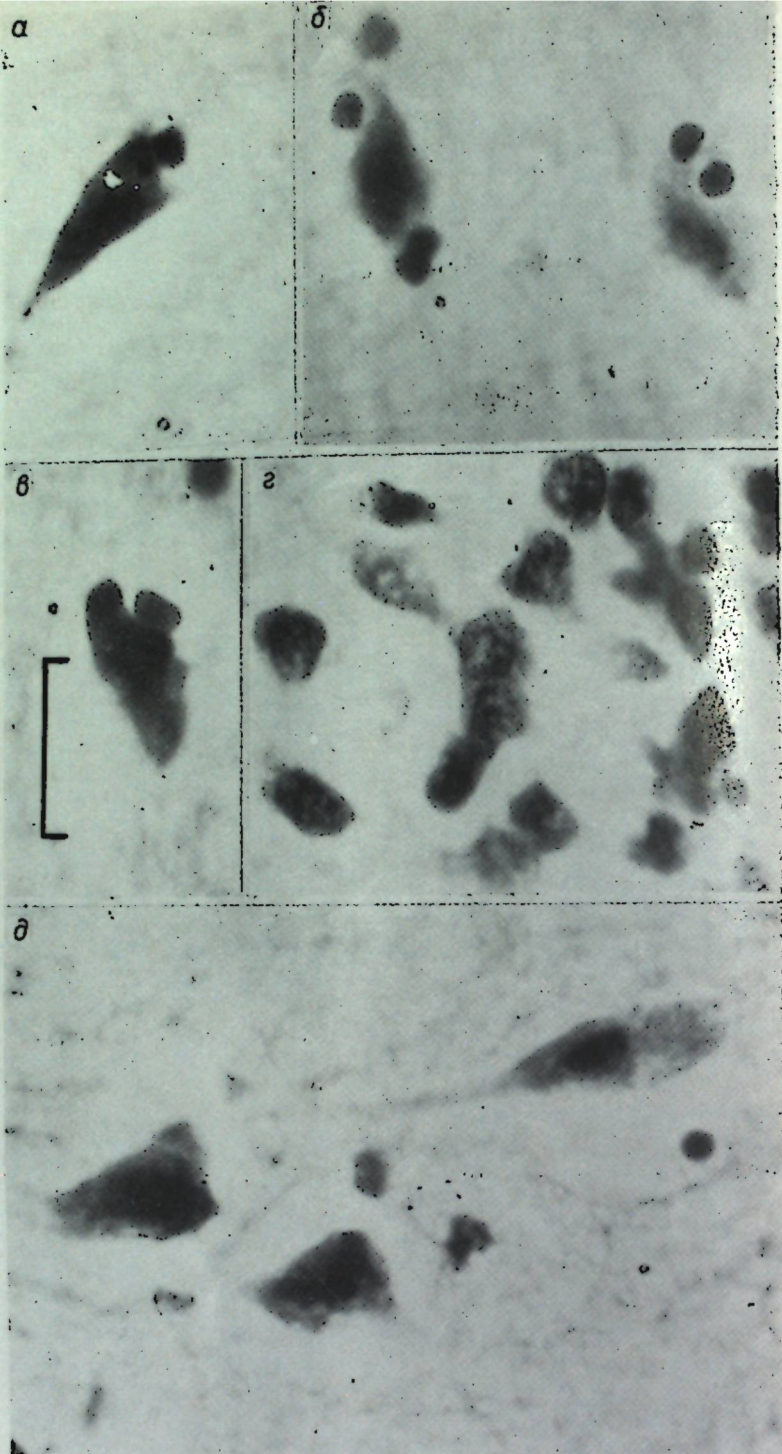


Рис. 4. Нервные клетки гиппокампальной формации: а, б, в — Аммонов рог, г — зубчатая фасция, д — крючок. Масштаб 20 мк. (ок. 10, об. 90). Окраска гематоксилином-эозином. Масляная иммерсия

Из грибов *Aspergillus* наиболее активными оказались виды *Asp. awamori*, *Asp. ustřictus* и *Asp. niger* (рис. 1). Они расщепляли сапонин D [2] до монозида и триозида.

Время ферментации — 8 суток.

Ферментный препарат, выделенный из *Asp. niger* вышеописанным способом, проводил аналогичную реакцию за четверо суток.

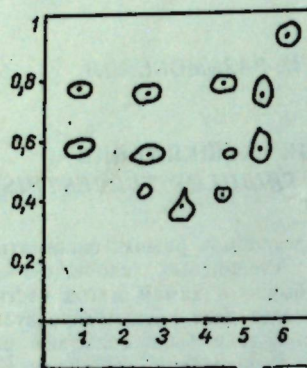


Рис. 1. Тонкослойная хроматография продуктов расщепления сапонина D:  
1 — продукты частичного гидролиза сапонина D при ферментации с *Asp. niger*; 2 — продукты частичного гидролиза сапонина D при ферментации с *Asp. awamori*; 3 — сапонин D; 4 — продукты частичного гидролиза сапонина D при ферментации с *Asp. ustřictus*; 5 — свидетели монозид и триозид, полученные при проведении частичного гидролиза сапонина D химическим методом; 6 — свидетель агликон (диосгенин).

Наиболее оптимальными условиями реакции оказались следующие: субстрат растворялся в дистиллированной воде,  $pH=5,6$ ,  $t=25^{\circ}\text{C}$ , ферментный препарат вносился из расчета 0,6% от веса субстрата. В качестве субстрата бралась хроматографически очищенная сумма сапонинов C и D. Результаты исследования представлены на рис. 2.



Рис. 2. Хроматография продуктов ферментативного гидролиза:

1 — хроматографически неочищенная сумма стероидных сапонинов С и D; 2 — сумма стероидных сапонинов С и D после обработки ферментным препаратом из *Asp. niger*; 3 — то же после обработки ферментным препаратом пектаваморином; 4 — то же после обработки ферментным препаратом пектоаризином; 5 — хроматографически очищенная сумма сапонинов С и D; 6 — препаративно выделенный на ми проген I после 8-дневной ферментации субстрата *Asp. niger*; 7 — тот же проген I после 8-дневной ферментации субстрата *Asp. awamori*; 8 — проген II после 8-дневной ферментации *Asp. niger*; 9 — проген II после ферментации *Asp. awamori*.

Таким образом показана возможность микробиологического расщепления стероидных сапонинов. Выявлены активные штаммы гриба *Aspergillus*, которые могут быть использованы при избирательной фрагментации стероидных сапонинов, обладающих, как правило, высокой физиологической активностью. Получен комплексный ферментный препарат из культуры *Asp. niger*, который позволяет провести химическую затрудненную реакцию частичного гидролиза стероидных сапонинов *Tribulus terrestris* в течение четырех суток. Этот препарат оказался более активным, чем пектаваморин и пектоаризин.

## ЛИТЕРАТУРА

1. Носиро Нагаи, Масанобу Саваи, Дзиютиро Курасава. J. Agr. Chem. Soc. Jap., 44, № 1, 15—20, 1970.
2. Кинта П. К., Перепелица Э. Д., Чирва В. Я., Крецу Л. Г. Химия природных соединений, № 4, 475—477, 1972.
3. Уоллен Л., Стодоле Ф., Джексон Р. Типовые реакции ферментативной химии. М., 1962.

УДК 576.809,32

В. В. СОРОКИН, А. В. НИКОЛАЕВА,  
К. Н. МИНАЕВА, Д. В. ДУБРОВСКАЯ

## САЛЬМОНЕЛЛА В ОРГАНИЗМЕ ЦЫПЛЯТ-ГНОТОБИОНТОВ

Сальмонеллезы — условное этиологическое обозначение различных патологических процессов у птиц, животных и человека, возбудителями которых являются бактерии из рода сальмонелл. Сальмонеллезы регистрируются во всех странах мира в виде эпизоотических вспышек и спорадических заболеваний как людей, так и животных и птиц. Паратифозные заболевания наносят значительный экономический ущерб хозяйствам, особенно при выращивании молодняка.

В обычных условиях течение инфекционного процесса осложняется факторами внешней среды, а также наличием вторичных инфекционных заболеваний, что затрудняет изучение их этиологии.

Нами изучалось приживление двух видов сальмонелл в организме безмикробных цыплят.

а) *Salmonella typhimurium*. Паратиф (сальмонеллез) — остро, подостро и хронически протекающее заболевание молодняка домашних и диких птиц, животных и человека, вызываемое различными видами возбудителя из группы сальмонелл. Наиболее часто встречается *S. typhimurium*. Паратиф птиц имеет эпидемиологическое значение. У человека после употребления в пищу яиц, мяса от птиц, инфицированных паратифом, возникает отравление паратифозными токсинами. Человек заражается при уходе за больной птицей. Наибольшая восприимчивость к паратифу зарегистрирована у молодняка, у взрослой птицы инфекция чаще протекает бессимптомно. Естественное заражение птицы паратифом происходит чаще через рот после приема инфицированного корма и воды.

В своих исследованиях мы использовали безмикробных цыплят [2], которым в суточном возрасте была орально введена *S. typhimurium*. Через сутки после заражения культура обнаруживалась в пробах фекес в количестве  $15 \cdot 10^7$  микробных клеток на 1 г. Цыплята остро переносили заболевание: это выражалось в потере аппетита, слабости, малоподвижности, расстройстве кишечника. Через 4 дня после введения культуры один цыпленок пал, а у двух оставшихся с большим трудом удалось взять пробы для анализа. Количество сальмонеллы было на уровне  $5 \cdot 10^7$  микробных клеток на 1 г (см. таблицу).

У цыплят затрудненное дыхание, острое течение инфекции сопровождается периодическими нервными симптомами: цыплята падают на бок. При вскрытии погибших цыплят были обнаружены многочисленные кровоизлияния в различных внутренних органах. Слизистые оболочки кишечника катарально воспалены. Печень перерождена и увеличена в объеме вследствие скопления крови.

Таким образом, в опыте на цыплятах-гнотобионтах было экспериментально воспроизведено остро протекающее заболевание, вызванное *S. typhimurium*.

б) *S. pullorum*. Возбудителя пуллороза *S. pullorum* удается выделить от различных видов птиц и животных, однако патогенность возбудителя установлена лишь для цыплят, индошат, фазанят, канареек, воробьев, голубей. Патогенное действие обусловливается формированием у возбудителя эндотоксинов.

Приживление штаммов сальмонеллы в организме гнотобиотических цыплят (Десятичные логарифмы количества бактерий в грамме фекес)

Возраст цыплят, в днях	<i>S. typhimurium</i> (a)	Возраст цыплят, в днях	<i>S. pullorum</i> (o)
2	8,2	2	9,1
6	7,7	6	8,8

Цыплята, как правило, имеют определенную физиологическую восприимчивость к данной инфекции в зависимости от периода роста. Чаще инфекция появляется в возрасте 5—7 дней после 1—5-дневного инкубационного периода.

В наших исследованиях безмикробным цыплятам суточного возраста была орально введена *S. pullorum*. Как видно из данных таблицы, через сутки после инфицирования количество сальмонелл достигает уровня  $12 \cdot 10^8$  микробных клеток на грамм в среднем. В шестидневном возрасте количество сальмонелл было на уровне  $7 \cdot 10^8$  микробных клеток на грамм. При этом у цыплят не обнаруживали внешних признаков заболевания (сопливости, скленвания пушка вокруг анального отверстия). Аппетит у цыплят хороший, они подвижны.

Бессарабов [1] отмечает, что пероральное заражение обычных цыплят культурой *S. pullorum* не всегда удается, если нет факторов, снижающих резистентность молодняка. Для возникновения заболевания необходимы определенные факторы, снижающие резистентность цыплят (неполноценнное и несвоевременное кормление, скученность, пере-грев, переохлаждение). Следовательно, изучение динамики приживления *S. pullorum* у цыплят-гнотобионтов показало отсутствие клинических признаков заболевания.

## ЛИТЕРАТУРА

1. Бессарабов Б. Ф. Болезни сельскохозяйственной птицы. М., изд-во «Колос», 1970.
2. Сорокин В. В., Николаева А. В. Безмикробные животные. Кишинев, изд-во «Штиница», 1973.

УДК 582—282(478)

Ж. Г. ПРОСТАКОВА, Л. А. МАРЖИНА, Э. Ф. ХРИПУНОВА

## РЕДКИЕ ВИДЫ ГИФОМИЦЕТОВ В МОЛДАВИИ

В нашей республике ежегодно при изучении микрофлоры выявляется немало новых видов, некоторые из них являются редкими для флоры Советского Союза. 5 видов редких гифомицетов приводятся ниже.

Род *Helicomyces* Link, насчитывает 5 видов. Кроме *H. candidus* Sacc., *H. roseus* Link ex Fr. и *H. sphaeropsidis* Poteb., известных в Советском Союзе (последние 2 обнаружены нами также в Молдавии), выявлены еще два вида. Так, *H. tenuis* Speg. отличается от *H. roseus* в 2—3 раза более тонкой конидиальной нитью, а *H. ambiguus* (Morgan) Linder — с конидиальной нитью в 2 раза толще, чем у *H. roseus*.

*H. tenuis* Speg. [2].

Образует белый рыхлый налет на субстрате. Конидии скручены очень плотной спиралью в 3—4 оборота, 12—15 мк в диаметре, 1,5 мк толщиной. Конидиеносцы до 20 мк длиной, 3—4 мк толщиной. Обнаружен на древесине грецкого ореха и винограда, встречается часто.

*H. ambiguus* (Morgan) Linder [3].

Образует рыхлый бледно-розовый налет на субстрате. Конидии скручены в рыхлую, обычно не в одной плоскости спираль, в 2—3 оборота, 35—50 мк в диаметре, 5—7 мк толщиной, с многочисленными перегородками и легкими перетяжками у перегородок. Встречен один раз на коре грецкого ореха.

*Lituaria stigmataea* Riess. — является типичным видом рода, который некоторые авторы относят к роду *Helicoma* Corda. Характеризуется бесцветными, подковообразно изогнутыми конидиями, 8—8,5 мк в диаметре, с одним концом — закругленным, другим — слегка оттянутым, с перегородкой посередине. Конидиеносцы 5—8 мк длиной. Развивается обычно на пикниках *Diplodia*, *Sphaeropsis*, *Dendrophoma*, на побегах винограда, грецкого ореха, черной смородины и розы. Встречается сравнительно часто. Упоминаний о нахождении в СССР нет.

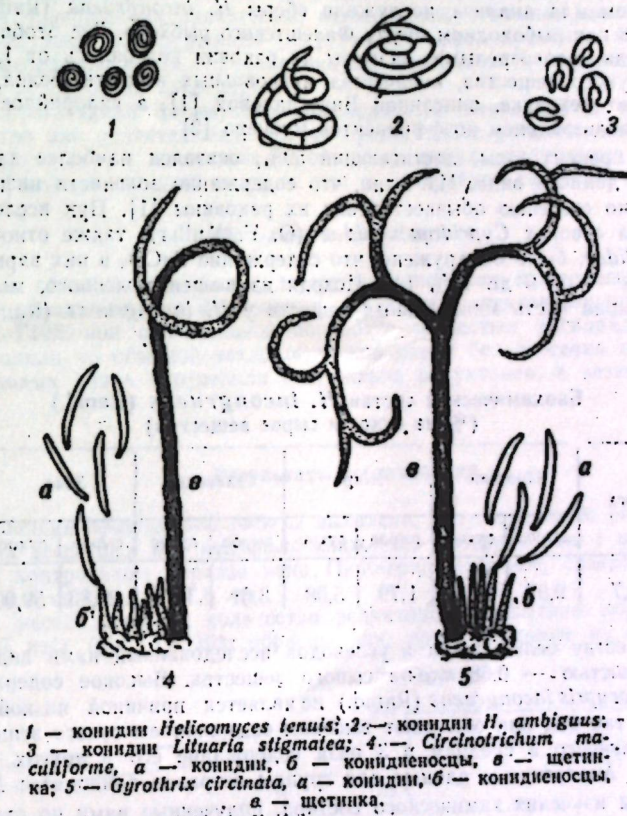
Род *Circinotrichum* Nees включает 3 вида, распространенных в Западной Европе и Северной Америке. В СССР виды данного рода не выявлены.

*C. maculiforme* Nees ex Pers. [1].

Образует оливковые, бархатистые дерновинки, с просвечивающим белым базальным слоем; до 1 см в диаметре. Щетинки прямостоящие, 90—180×3—5 мк, с верхней частью кольцевидно изогнутой в 1—1,5 оборота, с 4—8 перегородками, бородавчатые, суживающиеся и светлеющие к концам. Конидии ладьевидные, (10,5) 12—15 (18)×1—1,5 мк, бесцветные, прямые или слегка изогнутые. Конидиеносцы простые, цилиндрические, почти бесцветные, расположены плотным слоем, 8—12 мк длиной. Обнаружен на гниющей древесине грецкого ореха, винограда, черной смородины, розы, стеблях малины и мяты. Встречается часто.

*Gyrothrix circinala* (Berk. et Curt.) Hughes является представителем рода, к которому сейчас относят 12 видов [1]. Распространен в Африке, Индонезии, Северной Америке. В СССР не отмечен. По строению близок к предыдущему.

Образует оливковые бархатистые дерновинки, с белым базальным слоем. Щетинки 80—140×3,5—4,5 мк, прямостоящие, вверху трижды дихотомически разветвленные, с



1 — конидии *Helicomyces tenuis*; 2 — конидии *H. ambiguus*; 3 — конидии *Lituaria stigmataea*; 4 — *Circinotrichum maculiforme*, а — конидии, б — конидиеносцы; 5 — *Gyrothrix circinala*, а — конидии, б — конидиеносцы, в — щетинка.

конечными разветвлениями кольцевидно изогнутыми, бородавчатые, коричневые, светлеющие и утончающиеся к концам. Конидии ладьевидные, 12—18×1,5—2 мк, прямые и слегка изогнутые. Конидиеносцы 6—14 мк длиной, расположенные плотным слоем, бесцветные. Обнаружен на гниющей древесине грецкого ореха, винограда и черной смородины.

## ЛИТЕРАТУРА

1. Ellis M. B. Dematiaceous hyphomycetes. Kew, Surrey, England, 1971.
2. Saccardo P. A. Sylloge Fungorum, 4, 1886; 22, 1913.
3. Tubaki K. Journ. Hattori Bot. Labor., № 20, 142—238, 1958.

УДК 595.33

А. Л. КОВАЛЕНКО, Г. М. СТЕПАНОВА

ХИМИЧЕСКИЙ СОСТАВ *HETEROCYPRIS INCONGRUENS* (RAMD.)  
(*OSTRACODA, CRUSTACEA*)

Ракушковые ракообразные (*Ostracoda*) составляют значительную часть макро- и мезобентоса различных водоемов и играют определенную роль в трансформации органического вещества. Часто встречаются остракоды и в пище многих промысловых рыб, поэтому выяснение их пищевой ценности представляет несомненный интерес. Однако до настоящего времени сведения о биохимическом составе этих организмов единичны и относятся к группе остракод в целом [3]. Между тем определение биохимического состава отдельных, наиболее массовых, видов имеет не меньшее значение. С этой целью нами проведен биохимический анализ одного из самых распространенных видов семейства *Cyprididae* — *H. incongruens* (Ramd.). По своей экологии ракок является обитателем прибрежных участков водоемов, где нередко достигает массового развития.

Материалом для анализа послужили сборы *H. incongruens* (Ramd.), сделанные в сентябре 1968 г. в рыбоводном пруду Фалештского рыбхоза. Все отобранные для анализа ракки были половозрелыми, размеры их раковин колебались от 1,40 до 1,50 мм. Определение сухого вещества, количества минеральных веществ, белка, жира и углеводов велось по методике, описанной Виноградовой [1], а калорийность — расчетным способом, с использованием коэффициентов Рубnera [2].

Высокий процент золы, достигающий 59%, оказался наиболее характерным показателем для данного вида. Известно, что содержание зольности низших ракообразных обусловлено степенью обезврекления их раковины [1]. При исследовании химического состава створок *Cypridopsis vidua* (O. F. Muller), также относящегося к семейству *Cyprididae*, было обнаружено, что содержание  $\text{CaCO}_3$  в них варьирует от 76 до 89%, а  $\text{MgCO}_3$  — от 6 до 10% [4]. Исходя из вышеизложенного, можно предположить, что большая часть минеральных веществ у *H. incongruens* (Ramd.) состоит из карбонатов.

Биохимический состав *H. incongruens* (Ramd.)  
(% на сухое и сырое вещество)

Сухое вещество	Влага	Протеин		Жир		Углеводы		Зола		Калорийность, ккал	
		сырое	сухое	сырое	сухое	сырое	сухое	сырое	сухое		
35,3	64,7	9,07	25,69	1,79	5,08	3,61	10,23	20,83	59,00	0,68	1,94

По количеству белка, жира и углеводов исследованный нами вид обладает высокой калорийностью — 0,68 ккал/г сырого вещества. Высокое содержание зольных веществ у *Heterocypris incongruens* (Ramd.) не является причиной низкой калорийности живых раков, так как они обладают высоким содержанием сухого вещества (см. таблицу), превышающего в среднем в 3 раза содержание его у других представителей низших раков. Аналогичные данные для группы остракод приводятся Маликовой [3].

Результаты изучения химического состава, полученные нами по отдельному представителю ракушковых ракообразных и Е. М. Маликовой по этой группе в целом, позволяют рассматривать их не только как ценный компонент пищи рыб, но и как важный источник поступления минеральных веществ.

## ЛИТЕРАТУРА

1. Виноградов А. П. Химический элементарный состав моря, т. VI, ч. II. Одесса, 1947.
2. Виноградова З. А. Наукові зап. Одес. біол. станц., вип. 2, 1960.
3. Маликова Е. М. Сб. работ кафедры ихтиологии и рыбов. и научно-исследоват. лаборатории рыбного хозяйства, вып. I. М., 1971, стр. 34.
4. Reymont H. A. J. „Nature”, б. 197, п. 4866, р. 512, 1963.

УДК 663.25:577.15

Н. П. ТИХОНОВА,  
Н. М. ТРОФИМЕНКО, В. А. ПЛАЦЫНДАИЗМЕНЕНИЕ СОДЕРЖАНИЯ РЕДУКТОНОВ  
СТОЛОВЫХ И ДЕСЕРТНЫХ ВИН  
ПОД ДЕЙСТИЕМ ФЕРМЕНТНЫХ ПРЕПАРАТОВ

В последние годы большое внимание уделяется изучению редуктонов вина [1—5], к числу которых относятся вещества с высокой восстанавливающей способностью, предохраняющие вино от действия кислорода и тем самым способствующие сохранению ароматических и вкусовых достоинств указанного продукта.

К группе редуктонов относятся: сернистый ангидрид, дубильные и ароматические вещества, ряд аминокислот, а также соединения, легко отдающие водородные группировки при окислении.

Исследования Яцыны и Князевой [4] показали, что для каждого типа вина соответствует определенное количество редуктонов. Так, например, десертные и токайские вина содержат их значительно меньше, чем столовые вина. С целью повышения количественного содержания редуктонов и предохранения вина от окисления некоторые исследователи [1, 5] рекомендуют использовать сернистый ангидрид на всех стадиях переработки винограда.

При использовании ферментных препаратов в виноделии и изучении влияния их на качество вина значительный интерес представляет установление суммарного содержания редуктонов в десертных и столовых винах, полученных из ферментированной и неферментированной мезги, о чем в литературе сведения отсутствуют.

## Методика и схема опыта

Опытные образцы столовых и десертных вин были изготовлены на винзаводах Молдавии с использованием ферментных препаратов «пектаваморина» П10Х и «спектоцинерина» Г10Х при обязательной обработке сернистым ангидридом. Контрольные образцы готовили по обычной технологической схеме без внесения препаратов. В декабре в молодых винах определяли содержание редуктонов, а затем вторично через месяц.

## Результаты исследования

На основании проведенной работы выявлено, что содержание редуктонов в опытных образцах десертных вин несколько снижается по сравнению с контрольными. Так, например, в контрольном образце вина Пино-гри, десертное, содержалось 22,82 мг/л редуктонов, а в опытном — 17,6 мг/л.

Спустя месяц хранения количество редуктонов в опытном образце восстановилось до 22,0 мг/л (рис. 1). Все образцы вин, приготовленные из ферментированной

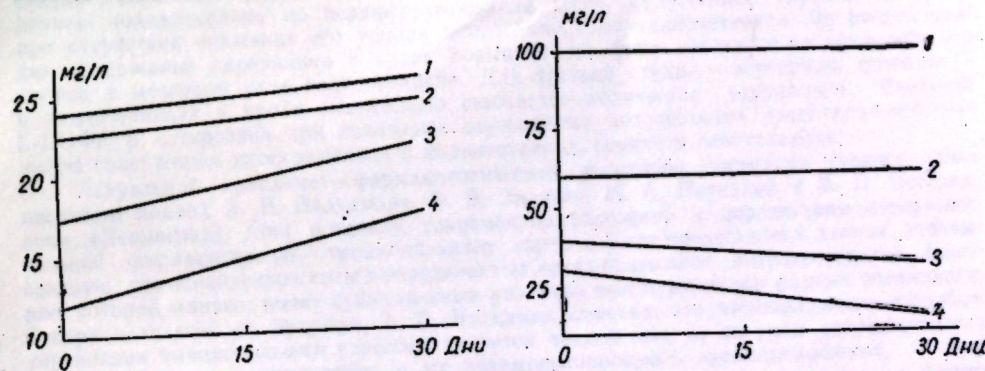


Рис. 1. Изменение редуктонов в десертных винах: 1 — Пино-гри (контроль); 2 — Пино-гри (опыт); 3 — Пино-гри (контроль); 4 — Пино-гри (опыт)

Рис. 2. Изменение редуктонов в столовых винах: 1 — Мискет (контроль); 2 — Ркацители (контроль); 3 — Ркацители (опыт); 4 — Мискет (опыт)

мезги, отличались от контрольных более полным вкусом и ярко выраженным сортовым ароматом. Что касается столовых вин, то здесь отмечены несколько иные показатели. В контрольном образце Мискат (столовый) содержание редуктонов составило 102 мг/л, а в опытном — всего лишь 32 мг/л (рис. 2). Повторные анализы, проведенные после месячной выдержки, показали примерно те же результаты. Следует отметить, что снижение содержания редуктонов в столовых винах является нежелательным, так как это может привести в дальнейшем к явлению окисленности.

Таким образом, предварительными исследованиями установлено, что ферментные препараты способствуют значительному снижению количественного содержания редуктонов в столовых винах, что указывает на возможность применения препаратов предпочтительно в десертном виноделии.

## ЛИТЕРАТУРА

1. Бабичева О. И., Иванова Г. А., Немец С. М.: Технологический контроль овощесушильного и пищеконцентратного производства. М., Пищепромиздат, 1967.
2. Материалы X Международного конгресса по виноградарству и виноделию. Тбилиси, 1962.
3. Трофименко А. В., Шприцман Э. М. и Шапиро Б. С. Сб. научно-исслед. работ МНИИПП, в. 10, 1970, стр. 45—56.
4. Яцына А. Н., Князева А. И. Садоводство, виноградарство и виноделие Молдавии, № 1, 35—36, 1969.
5. Cherman M. Revista de horticultura și viticultura, 4, 1967, 51—56.

## ХРОНИКА

### ПЕРВЫЙ ВСЕСОЮЗНЫЙ СИМПОЗИУМ ПО СТРЕССУ

С 29 по 31 октября 1973 года при Институте зоологии АН Молдавской ССР в Кишиневе проходил Всесоюзный симпозиум «Стресс и его патогенетические механизмы». Организаторами симпозиума были Научный Совет АН ССР по комплексным проблемам физиологии человека и животных и физиологические подразделения Института зоологии АН МССР. Этот симпозиум, явившийся первым в Советском Союзе научным форумом, посвященным специально проблеме стресса, привлек значительное число активных участников, представляющих самые различные направления современной науки: физиологию и патофизиологию, эндокринологию и психиатрию, биохимию и морфологию, терапию и хирургию, фармакологию и гигиену, социологию и математику и др. Столъ многостороннее представительство на симпозиуме показало актуальность вопросов, поставленных на обсуждение, а также необходимость разработки общего подхода к изучаемой проблеме.

На симпозиуме широко обсуждались следующие основные вопросы: общие вопросы учения о стрессе, эмоциональный стресс, нейроэндокринная система при стрессе, изменения в органах и системах при стрессе, обмен веществ при стрессе и клинические аспекты стресса. В течение трех дней было проведено пять заседаний, на которых заслушано 19 докладов и 22 фиксированных выступления. Кроме того, вопрос о нейрогуморальных реакциях и патогенезе расстройств деятельности отдельных органов и систем при стрессе, а также ряд спорных вопросов, рассмотренных на предыдущих заседаниях, были предметом обсуждения проведенной в заключение беседы за круглым столом.

Симпозиум открыл кратким приветственным словом президент АН МССР академик Я. С. Гросул. Во вступительном слове председатель оргкомитета Ф. И. Фурдуй наметил основные задачи симпозиума и обратил внимание его участников на ряд вопросов, которым целесообразно уделить особое внимание в ближайшем будущем.

Большая часть докладов была посвящена рассмотрению функции гипоталамо-гипофизарно-надпочечниковой системы при стрессе. Первым был заслушан глубокий и содержательный доклад Г. Н. Кассиля и Э. Ш. Матлиной (Москва). В нем убедительно показана связь стресса с выделением катехоламинов. Авторы выделили три стадии изменения обмена катехоламинов. Первая стадия характеризуется освобождением норадреналина из нервных окончаний ЦНС, нарастанием адреналина крови при отсутствии снижения его уровня в мозговом слое надпочечников. Во второй стадии содержание адреналина в крови повышено на фоне постепенного снижения его уровня в мозговом слое надпочечников. Для третьей стадии — истощения функции в надпочечниках и крови значительно снижается количество адреналина. Введение L-ДОФА и L-тироэзина при некоторых стрессорных воздействиях предотвращает снижение содержания катехоламинов в надпочечниках, сердце и гипоталамусе.

Актуальной проблеме — фармакологической регуляции состояния стресса — был посвящен доклад А. В. Вальдмана, Э. Э. Звартая, Н. А. Паткиной и В. П. Пошивалова (Ленинград). Они показали современное состояние и перспективы экспериментальной фармакотерапии эмоционального стресса. Были представлены данные, доказывающие, что психодепрессанты в определенных дозах оказывают антиагрессивное действие, которое, однако, имеет существенные различия при применении разных соединений. Говоря о задачах на будущее, А. В. Вальдман отметил, что перспективным способом управления эмоциональным стрессом является воздействие на системы положительного и отрицательного подкрепления и их взаимореципрокного взаимоотношения.

Доклад К. В. Судакова (Москва) был посвящен важнейшему вопросу проблеме стресса — его медицинским последствиям. Подробному анализу была подвергнута роль стресса в патогенезе нарушений артериального давления. Показано, что на лимбико-ретикулярном уровне складывается «застойное возбуждение», которое возникает при длительных отрицательных эмоциональных состояниях и является постоянным источником

ником исходящих прессорных влияний. В механизме формирования застойного эмоционального возбуждения центральная роль принадлежит активирующему аппаратам ретикулярной формации.

С помощью кросскорреляционного анализа ЭЭГ-ритма напряжения различных образований мозга А. М. Мамедов (Москва) обнаружил, что при болевом стрессе в ЦНС прежде всего появляются сдвиги во взаимодействии между пейсмекерными структурами болевой мотивации и проекционной областью коры, а затем (в определенной последовательности) и между подкорковыми структурами.

Е. А. Громова, Н. А. Земцова, М. Б. Зыков, Т. П. Семенова и Н. Л. Векшина (Пушкино-на-Оке), в своем сообщении представили результаты исследования функциональной связи эмоционального стресса и кратковременной памяти у людей и изучения центральных механизмов эмоционального стресса (ЭС). Установлено, что уменьшенный ЭС благоприятно влияет на краткосрочную память. Авторы считают, что моноаминовая система играет ведущую роль в организации уровня стрессорных реакций, оптимального для процессов фиксации и воспроизведения информации.

Важная проблема рассматривалась в докладе А. М. Вейна и И. В. Родштата (Москва) — проблема психологического стресса и неврологии неспецифических систем головного мозга. На клиническом материале показано, что реализация возмущающих психологических факторов может приводить к функциональному срыву интегративных механизмов, в результате чего наступает состояние, характеризуемое ими как синдром дезинтеграции. Авторы впервые отметили, что существует соотнесенность формы психо-вегетативных нарушений типу психологического стресса, степени его осознаваемости, исходным особенностям структуры личности и функциональному состоянию вегетативно-эндокринных аппаратов.

В исследованиях Л. П. Латаша, В. С. Ротенберга и А. М. Вейна (Москва) были установлены изменения сна («быстрого» и дельта-сна) главным образом при продолжительных стрессовых ситуациях. Наблюдалась инверсия распределения «быстрого» сна и дельта-сна в течение ночи, общая продолжительность сна сокращалась.

Большой интерес вызвал доклад Ю. А. Макаренко, Н. Н. Бурмистровой и Е. П. Фролова (Москва) «Положительные эмоции как возможный антистрессовый фактор», в котором рассматривались данные о влиянии положительных и отрицательных эмоций на течение патологических процессов (иммуногенез у кроликов), а также их влияние на общее состояние и течение бронхолегочных заболеваний (у детей). Авторами показано, что при стимуляции отрицательных зон гипоталамуса кроликов выявляются сдвиги, типичные для общего синдрома адаптации, облегчается выработка антител и усиливается специфический лейкоцитоз, тогда как раздражение положительных зон оказывало на эти процессы тормозящее влияние.

Последующие заседания были посвящены главным образом роли центральной нервной системы и желез внутренней секреции в развитии стрессового состояния. В докладе Ф. И. Фурдуя, Г. М. Бабарэ, Е. Н. Гурагата, О. С. Кривошеева, Л. П. Марина, С. Н. Никитович, О. В. Прянишинниковой, М. С. Тофан, М. Ф. Фурдуй, С. Х. Хайдарли и Н. В. Шваревой (Кишинев) были представлены данные о нарушении функции желез внутренней секреции при действии на организм чрезвычайных раздражителей и предпринята попытка разграничить реакции организма на трудности, встречающиеся в повседневной жизни, от истинно стрессорных. Авторы различают два типа реакций: а) быстропротекающая лабильно-обратимая, направленная на осуществление пищевого, оборонительного, агрессивного и полового поведения; б) стрессорная, возникающая при длительном влиянии стрессоров достаточной силы и продолжительности, обеспечивающая приспособление организма к чрезвычайным воздействиям.

М. И. Митюшов, В. В. Ракицкая, В. Г. Шаляпина и А. А. Филаретов (Ленинград) на основе многочисленных опытов на кроликах показали, что реакция гипофизарно-адреналовой системы в ответ на раздражение ретикулярной формации среднего мозга зависит от параметров раздражения. При силах раздражения, вызывающих защитную реакцию, количество кортикостероидов в крови увеличивается, а при меньших силах раздражения — снижается. Авторы предполагают, что в ретикулярной формации имеются две системы, обеспечивающие регуляцию АКТГ-функции гипофиза. Можно считать, что активирующая система важна в регуляции гипофизарно-адреналовой системы при стрессе, а тормозная регулирует базальный уровень кортикостероидов. Ряд данных свидетельствует о том, что адренергические структуры мозга не являются обязательным компонентом в запуске гипофизарно-адреналовой системы.

В. К. Кулагин и В. В. Давыдов (Ленинград) привели обширные материалы, свидетельствующие о том, что не при всех видах стресса, в особенности при стрессе в результате раздавливания мягких тканей конечностей, наблюдается пропорциональная зависимость в изменении функции ПДГ и коры надпочечников. Показано, что при травмах центральные звенья гипоталамо-гипофизарно-кортикоадреналовой системы (ГГКАС) являются более лабильными. Определенное значение имел парагипофизар-

ный путь регуляции деятельности коры надпочечников. В динамике развития травматического шока изменяется соотношение между кортикостероном (В) и кортизолом (F), в пользу кортикостерона. Сравнивая степень изменения уровня Н-ОКС в крови и тканях с АКТГ-функцией гипофиза, авторы пришли к заключению, что при фиксационном и шокогенном стрессе увеличивается порог чувствительности рецепторов гипоталамуса и аденоэндокринной системы к тормозящему влиянию повышенных концентраций глюкокортикоидов.

По данным А. А. Зорькина, В. И. Нигуляну, Л. Г. Лысого и Л. Н. Кобылянского (Кишинев) в ходе формирования ответной реакции организма на разные повреждающие агенты имеет место неоднотипность распределения глюкокортикоидных гормонов как в разных органах, так и в некоторых компонентах клеточных структур. При этом обнаруживалось фазное изменение окислительно-восстановительных процессов в тканях, а также количества кортикостерона. Установленный на поздних стадиях развития процесса дефицит стерона, преимущественно в митохондриях, авторы объясняют его усиленной утилизацией.

В докладе И. П. Анохиной и Г. Д. Забродина (Москва) приводились данные о существовании прямой корреляции форм, стадии и типа течения реактивного состояния с характером патологии функций биогенных аминов организма.

На большом экспериментальном материале основывался доклад К. И. Погодаса (Москва), посвященный биохими мозга при стрессе. Им изучены медиаторный, энергетический, белково-азотистый и ионный обмены на разных уровнях организации центральной нервной системы при стойком действии стрессоров разной природы. При перевозбуждении ЦНС выявлены неспецифические, общие сдвиги в метаболизме головного мозга. Автор привел также данные, доказывающие, что локализация биохимических сдвигов по стадиям стресса в различных нервных центрах динамична и определяется в основном характером производимой работы, влиянием внешней среды и, главное, зависит от степени участия того или иного отдела в совершающей работе.

В докладе Н. А. Агаджаняна, К. К. Андроник, Г. Л. Комендантова, Н. А. Разсолова, А. И. Сергиенко, Ю. В. Шевченко и О. П. Яковleva (Москва) освещался вопрос о механизме перехода от ориентированной реакции к стрессовой и далее к патологическому состоянию организма (высотной, воздушной болезням и др.). Статокинетический стрессор (активные или пассивные перемещения человека в пространстве) может последовательно вызвать ориентированную реакцию, статокинетический стресс и болезнь движения. При действии высотного и других сильных стрессоров на организм ослабляется интегративная деятельность нервной системы.

Доклад Р. А. Тиграняна, О. М. Кулябко, Л. А. Плодовской, Н. Ф. Калиты, Е. В. Лебединской, М. И. Беляковой, Е. Г. Тузовой и Л. Б. Сочилиной (Москва), посвященный вопросу исследования влияния различных стрессоров на особенности обмена веществ в организме человека, содержал данные о динамике белкового и углеводного обмена и активности некоторых ферментов и стероидных гормонов в крови и моче. Показано, что различные по характеру и значимости воздействия на организм вызывают разнонаправленные нарушения в ряде биохимических систем. Наиболее мощным воздействием является ускорение Корниолиса, которое сопровождается более выраженным и стойким изменениями биохимических показателей.

Среди заслушанных докладов особо следует отметить сообщение Р. М. Баевского, В. И. Кудрявцевой, Г. А. Никулиной, Т. Д. Семеновой (Москва) о прогнозировании стресса при экспериментальных воздействиях. Для оценки выраженности стресса авторы ввели показатель суточной адаптивности и коэффициент синхронизации функций, первый из которых определяется как отношение разности 7- и 11-часовых значений показателя к семичасовому значению, второй — по корреляции между суточными рядами показателей. Убедительно показано, что на основе оценки суточной периодики весьма простых, доступных для оперативной регистрации и анализа показателей (определение количества натрия в слюне и последовательное измерение ряда интервалов РР электрокардиограммы при вариационной пульсометрии) могут быть обнаружены ранние стадии формирования специфических патологических отклонений при экстремальных воздействиях.

Материалы симпозиума опубликованы в виде сборника работ «Стресс и его патогенетические механизмы» объемом 24,3 л., тиражом 800 экз.

Симпозиум прошел в доброжелательной, дружеской атмосфере и на высоком научно-организационном уровне.

Ф. И. Фурдуй, С. Х. Хайдарли, Г. М. Бабарэ, Е. Н. Гурагата

## РЕФЕРАТЫ

УДК 635—65

Возможности использования в культуре некоторых дикорастущих видов чини и вики. Купорощкая Г. А. Известия Академии наук Молдавской ССР, Серия биологических и химических наук, № 5, 1974 г., с. 3—10.

В Ботаническом саду АН МССР изучалась группа дикорастущих видов чини и вики с целью использования их в качестве кормовых растений.

Установлено, что наряду с положительными качествами изучаемые виды характеризуются твердосемянностью.

Изучение различных приемов воздействия на семена показало, что при сочетании некоторых из них, например химической обработки с определенным сроком хранения семян, это нежелательное в культуре свойство можно преодолеть.

Таблиц 5, рисунков 6, библиографий 17.

УДК 581.845:582:47

Особенности строения листьев разных видов дуба. Черных Р. В., Ротару Г. И. Известия Академии наук Молдавской ССР, Серия биологических и химических наук, № 5, 1974 г., с. 10—17.

Охарактеризованы анатомические особенности листьев дуба черешчатого (*Quercus robur* L.), скального (*Quercus petraea* Liebl.) и пушистого (*Quercus pubescens* Willd.), произрастающих в сухой кедринской дубраве в Молдавии. Выявлены довольно четкие различия по следующим показателям: толщина листа и кутикулы, размеры клеток эпидермальной ткани, коэффициент палисадности, число и размеры устьиц. Наиболее мезоморфными чертами в строении листовой пластинки отличается дуб скальный, характеризующийся невысоким коэффициентом палисадности, значительной толщиной губчатой паренхимы, хорошо развитыми межклетниками, небольшим числом устьиц. Наиболее ксероморфными чертами анатомической структуры листа отличается дуб пушистый (высокий коэффициент палисадности, большая толщина листа и верхней кутикулы, значительное число устьиц и меньшие их размеры). У дуба черешчатого в условиях сухой дубравы проявляются признаки большей ксероморфности по сравнению с дубом скальным. Значительные различия в строении листа в пределах кроны отмечены у ксероморфного вида — дуба пушистого и наименьшие у мезоморфного — дуба скального.

Таблиц 2, рисунков, 3, библиографий 5.

УДК 547.962

Исследование фракций кривой растворимости суммарных белковых экстрактов семядолей люпина хроматографией на ДЭАЭ-целлюлозе. Клименко В. Г., Агеева Л. И. Известия Академии наук Молдавской ССР, Серия биологических и химических наук, № 5, 1974 г., с. 18—29.

Из семядолей видов люпина узколистного, белого и желтого были получены суммарные белковые соллерстровимые экстракти, которые исследовали градиентной экстракцией на колонке и хроматографией на ДЭАЭ-целлюлозе. Из суммарных белковых экстрактов были выделены фракции, осаждающиеся при 0,25, 0,25—0,40, 0,40—0,68, и 0,68—1,00 насыщении сернокислым аммонием. Белки фракций кривой растворимости и хроматографических фракций исследовали электрофорезом на бумаге.

Установлено, что при градиентной экстракции на колонке суммарных белковых экстрактов они, независимо от природы вида люпина, разделились на пять фракций, а при хроматографии на ДЭАЭ-целлюлозе, в зависимости от вида люпина, на шесть—семь фракций. Фракция 0—0,25 разделась на три, 0,25—0,40 — тоже на три, 0,40—0,68, в зависимости от вида люпина, — на пять—семь и 0,68—1,00 — на четыре хроматографических фракций. По количеству хроматографических фракций и электрофоретическому поведению их белков между видами люпина кроме большого сходства обнаружены некоторые различия.

Таблиц 1, рисунков 9, библиографий 8.

УДК 581.132

Влияние неблагоприятных температурных условий на тонкую структуру спектра пигмент-липопротеинового комплекса листьев. Бара-

нов А. А., Дорохов Б. Л., Ширяева Г. А., Сааков В. С. Известия Академии наук Молдавской ССР, Серия биологических и химических наук, № 5, 1974 г., с. 29—36.

Излагаются результаты экспериментов по выявлению различий в состоянии пигмент-белково-липоидного комплекса у различных растений с помощью метода второй производной абсорбции (D''), а также влияния повреждающих факторов на изменение тонкой структуры его спектра поглощения. Высказывается гипотеза-предположение о существовании в зеленой клетке центров локализации повреждающих воздействий внешних факторов, совпадающих с центрами биосинтеза пигментов и активности фотосистем.

Рисунок 7, таблиц 1, библиографий 20.

УДК 575.4:634.22

Желтоплодная аллотетраплоидная форма *Prunus*. Руденко И. С. Известия Академии наук Молдавской ССР, Серия биологических и химических наук, № 5, 1974 г., с. 37—39.

Аллотетраплоидные гибриды F<sub>2</sub> с желтыми плодами получены от свободного опыления сесквидиплоидного гибрида терни алыча, имеющего фиолетовые плоды. Гибриды F<sub>2</sub> по морфологическим признакам вегетативных органов являются промежуточными растениями с 2n=32 хромосомами, но с желтыми плодами и косточкой алычевого типа.

Достоверно доказана возможность получения гибридов между терном и алычей с желтой окраской плодов.

Рисунок 1, библиографий 9.

УДК 633.11

Синтез новых форм озимой твердой пшеницы при межвидовой гибридизации. Буюкли П. И., Георгиев Н. А. Известия Академии наук Молдавской ССР, Серия биологических и химических наук, № 5, 1974 г., с. 39—44.

Дана характеристика межвидовых гибридов F<sub>1</sub>—F<sub>3</sub> по ряду хозяйствственно-биологических показателей. Приведены результаты изучения мейоза у гибридов F<sub>1</sub>. Выделен ряд перспективных форм озимой твердой пшеницы из межвидовых гибридов старших поколений, которые по продуктивности (38,3—43,7 ц/га) существенно превышают стандарт — сорт Рубеж (35,4 ц/га).

Таблиц 3, библиографий 10.

УДК 632.3.938:531.174

Существует ли микоплазма у растений? Дашикеева К. Н. Известия Академии наук Молдавской ССР, Серия биологических и химических наук, № 5, 1974 г., с. 45—50.

В статье приведен краткий литературный обзор и микрофотоснимки по цитологической характеристике некоторых субклеточных органелл и микоплазмоподобных телец. Показано их поразительное сходство и различная интерпретация исследователей относительно вопроса их этиологии.

Автор в приведенных экспериментах пытается выяснить функции данных субклеточных частиц, являются ли они патогенами или же это естественно образовавшиеся частицы в пораженной клетке, несущие функции внутриклеточной сопротивляемости на внедрение вируса-патогена.

Рисунок 4, библиографий 18.

УДК 582.282 (478)

Виды *Pleospora* и *Teichospora*, выявленные в Молдавии. Попушай И. С., Простакова Ж. Г., Маржина Л. А., Хрипунова Э. Ф., Коган Э. Д. Известия Академии наук Молдавской ССР, Серия биологических и химических наук, № 5, 1974 г., с. 50—57.

Обсуждается систематическое положение выявленных в Молдавии видов, указанных родов; приводятся ключи для их определения по характерным признакам, сведения об их специализации и распространении. Отмечены виды, новые для флоры сумчатых грибов МССР.

Таблиц 2, рисунков 1, библиографий 10.

УДК 633.15:581.2:615.719.9

Влияние биопрепаратов на интенсивность дыхания перца и томатов, пораженных *Verticillium dahliae* Kleb. Серединская А. Ф., Сабельникова В. И. Известия Академии наук Молдавской ССР, Серия биологических и химических наук, № 5, 1974 г., с. 58—62.

В статье приведены данные о влиянии антибиотика фитобактериомицина и препарата, полученного на основе *Bacillus mesentericus* на интенсивность дыхания листьев

перца и томатов, пораженных вертициллезным увяданием. Показано, что под влиянием биопрепаратов интенсивность дыхания перца и томатов, выращенных на инфекционном и естественном фоне, была выше, чем в контроле в течение всей вегетации. Причем действие биопрепаратов на дыхание проявилось в большей степени у растений, выращенных на инфекционном фоне. Они повышали интенсивность дыхания и увеличивали урожай.

Таблица 3, библиографий 11.

УДК 576.780.

Влияние яблочных пектиновых веществ на бактерии рода *Pseudomonas* и *Xanthomonas* в зависимости от условий среды. Мехтиева Е. А., Костик Ф. Д., Бедриковская О. Б., Баштова С. И. Известия Академии наук Молдавской ССР, Серия биологических и химических наук, № 5, 1974 г., с. 62—65.

Проведенные исследования позволили установить ингибирующее действие яблочных пектиновых веществ (особенно очищенных) на фитопатогенные бактерии в зависимости от pH, температуры и времени экспозиции.

Таблица 1, рисунков 3, библиографий 6.

УДК 577.153+595.773.4—773.363

Изоферменты эстераз митохондрий *Musca domestica* L. Харсун А. И. Известия Академии наук Молдавской ССР, Серия биологических и химических наук, № 5, 1974 г., с. 66—70.

При применении метода электрофореза в поликарбамидном геле исследовали эстеразы митохондрий головок имаго комнатных мух, где обнаружено девять эстеразных зон, среди которых идентифицированы изоферменты ацетилхолинэстеразы и холинэстеразы. В безмитохондриальной фракции найдено семь эстераз — некоторые из них идентифицированы как ацетилхолинэстеразы и карбоксилэстеразы. Использование избирательных ингибиторов показало, что большинство изоферментов эстераз митохондрий полностью угнетаются Е-600, чицидемом и демуфосом как *in vivo*, так и *in vitro*.

Обсуждается механизм токсического действия отдельных фосфорогранических инсектицидов на изоферменты митохондрий.

Рисунок 2, библиографий 21.

УДК 616.8—009.12:616.831—005.5—314

К клинике, патоморфологии и патофизиологическим механизмам ишемического инфаркта гиппокампальной формации. Крачун Г. П., Плешко Л. Д. Известия Академии наук Молдавской ССР, Серия биологических и химических наук, № 5, 1974 г., с. 70—76.

В работе рассмотрены особенности клиники, патологической анатомии и патофизиологических механизмов ишемического инсульта центральных корковых формаций лимбической системы мозга, вызванных тромбозом, задней мозговой и хороцидальной артерий у больного, страдавшего хроническим алкоголизмом. Клиническая картина характеризовалась наличием висцеральных пароксизмов, расстройства речи, сознания, эмоциональной и двигательной сфер. На аутопсии обнаружен локальный очаг размягчения, захватывающий архикортекс (Аммонов рог и основание) и периархикортекс (крючок и предоснование).

При патогистологическом исследовании сохранившихся нейронов выявлены различные стадии дистрофии и некробиоза. Для начальных патологических изменений первых клеток оказался характерным распад ядра на гранулы. При инсульте нарушаются межцентральные структурно-функциональные взаимоотношения гиппокампальной извилины и архикортекса с новой корой и ростральными отделами среднего мозга.

Рисунок 4, библиографий 16.

УДК 541.183

Адсорбционное исследование дебитумированной минеральной части пород палеозойских отложений Молдавской ССР. Пономарева Л. П., Мигаль П. К. Известия Академии наук Молдавской ССР, Серия биологических и химических наук, № 5, 1974 г., с. 77—80.

Получены изотермы адсорбции на дебитуминированной минеральной части пород палеозойских отложений Молдавской ССР с помощью вакуумно-адсорбционной установки. На основании адсорбционных свойств изученных образцов высказано предположение о том, что в алевролитах и аргиллитах происходили процессы накопле-

ния углеводородов и десорбции их в другие слои. В известняках девона отмечено присутствие миграционных компонентов.

Таблица 1, рисунков 3, библиографий 3.

УДК 577.158:547.918

Микробиологическое расщепление стероидных сапонинов из *Tribulus terrestris* L. Перепелица Э. Д., Разумовский П. Н. Известия Академии наук Молдавской ССР, Серия биологических и химических наук, № 5, 1974 г., с. 81—83.

В статье приводятся данные по микробиологическому расщеплению стероидных сапонинов. Установлено, что из десяти апробированных штаммов грибов наиболее активными оказались грибы рода *Aspergillus*. Получен комплексный ферментный препарат из культуры *Asp. niger*, который позволяет провести химически затрудненную реакцию частичного гидролиза стероидных сапонинов *Tribulus terrestris* в течение четырех суток.

Библиографий 3, рисунков 2.

УДК 576.809.32

Сальмонелла в организме цыплят-гнотобионтов. Сорокин В. В., Николаева А. В., Минаева К. Н., Дубровская Д. В. Известия Академии наук Молдавской ССР, Серия биологических и химических наук, № 5, 1974 г., с. 83—84.

Изучали приживление *S. typhimurium* и *S. pullorum* в организме безмикробных цыплят. На цыплятах-гнотобионтах было экспериментально воспроизведено остро протекающее заболевание, вызванное *S. typhimurium*. В результате изучения динамики приживления *S. pullorum* у цыплят-гнотобионтов не было получено клинических признаков заболевания пуллорозом.

Таблица 1, библиографий 2.

УДК 582—282 (478)

Редкие виды гифомицетов в Молдавии. Простакова Ж. Г., Маржина Л. А., Хрипунова Э. Ф. Известия Академии наук Молдавской ССР, Серия биологических и химических наук, № 5, 1974 г., с. 84—85.

Приводятся описания 5 видов гифальных грибов, новых для микрофлоры Молдавии и редких для флоры СССР. Указывается распространение, частота встречаемости.

Рисунок 1, библиографий 3.

УДК 595.33

Химический состав *Heterocypris incongruens* (Ramd.) (*Ostracoda, Crustacea*). Коваленко А. Д., Степанова Г. М. Известия Академии наук Молдавской ССР, Серия биологических и химических наук, № 5, 1974 г., с. 86.

В статье сообщаются результаты химического анализа одного из самых распространенных представителей ракушковых ракообразных *Heterocypris incongruens* (Ramdohr). В ней приведены данные о содержании (в процентном отношении) жира, белков, углеводов, минеральных солей.

Таблица 1, библиографий 4.

УДК 663.25:577.15

Изменение содержания редуктонов столовых и десертных вин под действием ферментных препаратов. Тихонова Н. П., Трофименко Н. М., Плацында В. А. Известия Академии наук Молдавской ССР, Серия биологических и химических наук, № 5, 1974 г., с. 87—88.

Приводятся данные, касающиеся изменения содержания редуктонов в столовых и десертных винах под действием ферментных препаратов.

Показано, что в десертных винах, полученных из ферментативной мезги, содержание редуктонов изменяется незначительно, а в столовых винах отмечены более существенные изменения.

Незначительное снижение количества редуктонов оказывает положительное влияние на качество десертных вин, что дает возможность применения ферментных препаратов в десертном виноделии.

Рисунок 2, библиографий 5.

## СОДЕРЖАНИЕ

Ботаника	стр.
Т. А. Купорицкая. Возможности использования в культуре некоторых дикорастущих видов чины и вики	3
Р. В. Черных, Г. И. Рогату. Особенности строения листьев разных видов дуба	10
<b>Физиология и биохимия растений</b>	
В. Г. Клименко, Л. И. Агеева. Исследование фракций кривой растворимости суммарных белковых экстрактов семядолей люпина хроматографией на ДЭАЭ-целлюлозе	18
А. А. Баранов, Б. Л. Дорохов, Г. А. Ширяева, В. С. Сааков. Влияние неблагоприятных температурных условий на тонкую структуру спектра пигментов липопротеидного комплекса листьев	29
<b>Генетика растений</b>	
И. С. Руденко. Желтоплодная аллотетрапloidная форма <i>Prunus</i>	37
П. И. Буюкли, Н. А. Георгиев. Синтез новых форм озимой твердой пшеницы при межвидовой гибридизации	39
<b>Микология и вирусология</b>	
К. Н. Дашиева. Существует ли микоплазма у растений?	45
И. С. Попушай, Ж. Г. Простакова, Л. А. Маржина, Э. Ф. Хрипунова, Э. Д. Коган. Виды <i>Pleospora</i> и <i>Teichospora</i> , выявленные в Молдавии	50
<b>Микробиология</b>	
А. Ф. Серединская, В. И. Сабельникова. Влияние биопрепаратов на интенсивность дыхания перца и томатов, пораженных <i>Verticillium dahliae</i> Kleb.	58
Е. А. Мехтиева, Ф. Д. Костик, О. Б. Бедриковская, С. И. Баштовая. Влияние яблочных пектиновых веществ на бактерии рода <i>Pseudomonas</i> и <i>Xanthomonas</i> в зависимости от условий среды	62
<b>Физиология и биохимия человека и животных</b>	
А. И. Харсун. Изоферменты эстераз митохондрий <i>Musca domestica</i> L.	66
Г. П. Крачун, Л. Д. Плешко. К клинике, патоморфологии и патофизиологическим механизмам ишемического инфаркта гиппокампальной формации	70
<b>Химия</b>	
Л. П. Пономарева, П. К. Мигаль. Адсорбционное исследование дебитумированной минеральной части пород палеозойских отложений Молдавской ССР	77
<b>Краткие сообщения</b>	
Э. Д. Перепелица, П. Н. Разумовский. Микробиологическое расщепление стероидных сапонинов из <i>Tribulus terrestris</i> L.	81
В. В. Сорокин, А. Н. Николаева, К. Н. Минаева, Д. В. Дубровская. Сальмонелла в организме цыплят-гигионтонтов	83
Ж. Г. Простакова, Л. А. Маржина, Э. Ф. Хрипунова. Редкие виды гифомицетов в Молдавии	84
А. Л. Коваленко, Г. М. Степанова. Химический состав <i>Heterocypris incongruens</i> (Ramd.) ( <i>Ostracoda, Crustacea</i> )	86
Н. П. Тихонова, Н. М. Трофименко, В. А. Плацында. Изменение содержания редуктоналов столовых и десертных вин под действием ферментных препаратов	87
<b>Хроника</b>	
Первый Всесоюзный симпозиум по стрессу	89
Рефераты	92

# БУЛЕТИНУЛ

АКАДЕМИЕЙ ДЕ ШТИИНЦЕ А РСС МОЛОДОВЕНЕШТЬ

# ИЗВЕСТИЯ

АКАДЕМИИ НАУК МОЛДАВСКОЙ ССР

МБР



СЕРИЯ  
БИОЛОГИЧЕСКИХ  
И ХИМИЧЕСКИХ НАУК

4

1974

ИЗДАТЕЛЬСТВО „ШТИИНЦА“ • КИШИНЕВ • 1974

# БУЛЕТИНУЛ АКАДЕМИЕЙ ДЕ ШТИИНЦЕ А РСС МОЛДОВЕНЕШТЬ

# ИЗВЕСТИЯ АКАДЕМИИ НАУК МОЛДАВСКОЙ ССР

БУЛЕТИНУЛ  
АКАДЕМИЕЙ ДЕ ШТИИНЦЕ А РСС МОЛДОВЕНЕШТЬ  
ИЗВЕСТИЯ  
АКАДЕМИИ НАУК МОЛДАВСКОЙ ССР



СЕРИЯ  
БИОЛОГИЧЕСКИХ  
И ХИМИЧЕСКИХ НАУК

4

1974

ИЗДАТЕЛЬСТВО «ШТИИНЦА» • КИШИНЕВ • 1974



## К 50-ЛЕТИЮ МОЛДАВСКОЙ ССР И КОМПАРТИИ МОЛДАВИИ

А. В. АБЛОВ, П. Ф. ВЛАД, Л. Г. МАДАН

### ДОСТИЖЕНИЯ УЧЕНЫХ ИНСТИТУТА ХИМИИ АКАДЕМИИ НАУК МОЛДАВСКОЙ ССР

#### РЕДАКЦИОННАЯ КОЛЛЕГИЯ

Академики АН МССР А. А. Спасский (главный редактор), Ю. С. Ляликов (зам. главного редактора), А. Е. Коварский, М. Ф. Ярошенко, члены-корреспонденты АН МССР Т. С. Гейдеман (зам. главного редактора), В. В. Арасимович, кандидаты биологических наук Н. С. Балаур (ответственный секретарь), В. И. Сабельникова

Молдавский народ и вся наша многонациональная Родина отмечают в этом году выдающееся событие — 50-летие образования Молдавской ССР и Компартии Молдавии. Оираясь на братскую помощь и поддержку всех народов СССР, Советская Молдавия стала ныне одним из центров развития науки и культуры в нашей стране. Сотрудники Института химии, как и все трудащиеся Молдавской республики, пришли к замечательному юбилею с определенными достижениями.

До становления Советской власти на территории республики химические исследования фактически не проводились.

Начало развития химии было положено с основанием Тираспольского пединститута (1930 г.), где были подготовлены первые научные кадры. Следующим важным этапом в развитии науки Молдавии было создание Кишиневского госуниверситета (1946 г.). Начатые на кафедрах химического факультета исследования получили свое дальнейшее развитие сначала в отделе неорганической химии Молдавского филиала АН СССР, а затем в созданном в 1959 г. Институте химии АН МССР.

В Институте химии АН МССР проводятся исследования по самым различным направлениям: химии координационных соединений, изучению растительного и минерального сырья республики, синтезу биологически активных веществ, развитию и применению физико-химических методов анализа.

В лаборатории неорганической химии под руководством академика АН МССР А. В. Аблова разрабатываются новые пути синтеза координационных соединений переходных металлов: кобальта, никеля, железа, хрома, меди, цинка, платины, родия, палладия и других с органическими полидентатными лигандами.

Детальное изучение реакций замещения во внутренней координационной сфере диоксиминов кобальта(III) показало, что в этих соединениях кобальт проявляет транс-влияние, благодаря чему была предсказана транс-конфигурация диоксиминов кобальта. Позже был синтезирован другой изомерный ряд диоксиминов кобальта(III) с цис-конфигурацией. В случае транс-диоксиминов кобальта и родия с фосфинами во внутренней сфере был обнаружен и детально изучен новый вид стереоизомерии.

Совместно с Институтом прикладной физики АН МССР были расшифрованы рентгенографически, а в некоторых случаях методом дифракции электронов, структуры координационных соединений кобальта с тиосемикарбазонами, диоксиминами, димерных алканоатов меди, продуктов присоединения производных анилина к галогенидам кобальта, цинка, кадмия.

© Издательство «Штиница», 1974 г.

Известия Академии наук Молдавской ССР,  
Серия биологических и химических наук, № 4, 1974 г.

Редактор И. И. Каракина  
Художественный редактор В. А. Чупин  
Технический редактор Л. Мокрицкая

Корректор И. В. Сперанская

Издательство «Штиница», Кишинев, 277028, ул. Академическая, 3.

Сдано в набор 31.V 1974 г. Подписано к печати 9/VIII 1974 г. АБ08391. Формат 70×108<sup>1/16</sup>. Бумага тип. № 1. Печ. л. 6+2 вкл. Усл.-печ. л. 8,75. Уч.-изд. л. 8,2.  
Тираж 630. Цена 45 коп. Зак. № 442.

Типография издательства «Штиница», Кишинев, 277004. Берзарина, 10.

В лаборатории проводится систематическое масс-спектрометрическое исследование координационных соединений. Изучена фрагментация под действием электронного удара алканоатов меди, диоксиминов и салицилальдоксиматов никеля и палладия, некоторых тиосемикарбазонатов и др.

Было найдено, что ряд координационных соединений обладает интересными каталитическими свойствами. Так, некоторые тиосемикарбазонаты оказались катализаторами в процессе восстановления кубовых красителей, и их использование в составе печатной краски для хлопчатобумажных тканей открывает возможности к сокращению времени запаривания при одновременном увеличении фиксации краски. Аддукты гетероциклических аминов к бета-дикетонатам меди, железа и других металлов зарекомендовали себя как эффективные катализаторы отверждения систем на основе олигомерных углеводородов с функциональными группами.

Развита теория сверхтонкой структуры спектров ЭПР полидерных кластеров и показана принципиальная неприменимость гайзенберговской модели для описания сверхтонких взаимодействий. Предсказан новый тип магнетизма обменных спин-спаренных систем. Теория нашла экспериментальное подтверждение.

Для выяснения строения и свойств соединений широко применяются современные физические методы исследования — рентгенофазовый, рентгеноспектральный, рентгеноструктурный анализ, электрононография, гамма-резонансная, ЯМР, ЭПР, ИК-спектроскопия, магнетохимия, а для трактовки полученных результатов привлекаются качественные и полуколичественные квантово-механические расчеты.

В 1974 г. работы лаборатории неорганической химии экспонировались на ВДНХ СССР. За систематическое изучение методов получения, свойств и строения комплексных соединений главный Комитет выставки достижений народного хозяйства СССР наградил Институт химии АН МССР дипломом первой степени, а из 36 допущенных участников девять были награждены медалями (золотой, серебряной и 7 бронзовых).

В 1964 г. из состава лаборатории неорганической химии была выделена самостоятельная группа и создан отдел квантовой химии. В отделе квантовой химии под руководством члена-корреспондента АН МССР И. Б. Берсукера проводятся теоретические исследования электронного строения и свойств координационных систем (свободных комплексов, комплексов в кристалле, многоядерных кластеров, координационных образований на поверхности) и по теории физических методов исследования этих систем. При исследовании эффекта Яна-Теллера в координационных системах с электронным вырождением было доказано существование сложного вибронного энергетического спектра и указано на возможность создания на его основе лазерных систем. Была развита теория дипольной неустойчивости симметричных молекул и микротеория сегнетоэлектричества. Ряд выводов теории использованы для усовершенствования сегнетоэлектрических приемников инфракрасного излучения. Разработан новый квазирелятивистский метод расчета координационных систем, содержащих тяжелые атомы, а также пофрагментный метод расчета больших молекулярных систем, позволяющий увеличить размеры рассчитываемых молекул и сократить время расчета на ЭВМ. Проведена серия расчетов с целью выяснения кислотно-основных свойств, переноса зарядов при координировании в катализе, для исследования эффектов транс-влияния. Решена задача

о двойном гамма-магнитном резонансе при наличии дополнительных полей.

В лаборатории химии природных соединений под руководством академика АН МССР Г. В. Лазурьевского ведутся работы по химическому изучению растительного сырья Молдавской ССР и отходов его переработки. Объектами исследования служили терпеноиды, алкалоиды и сапонины некоторых культурных и дикорастущих растений.

При изучении отходов производства шалфейного эфирного масла главное внимание было обращено на содержащийся в них дитерпеноидный гликоль склареол и на впервые выделенный 13-эписклареол. Разработаны методы их выделения и изучены их реакции галоидирования, аминирования, ацетилирования, дегидратации, окисления и др. В результате этой серии работ были описаны многие новые вещества, изучены механизмы некоторых превращений, а часть веществ передана для изучения их фармакологических свойств. Установлена стереохимия склареола и некоторых других дитерпеноидов группы лабдана (спиртов, окисей и диенолов). Доказаны структуры и пространственные конфигурации ряда природных и синтетических производных, обнаружены возможности стереонаправленных синтезов, расширены области применения новых реагентов.

Изучены терпеноиды и сопутствующие им вещества около 30 видов растений, относящихся к семействам губоцветных, зонтично- и сложноцветных. Выделено около 50 соединений, многие из которых оказались новыми. Полученный фактический материал позволил сделать интересные хемотаксономические выводы.

Другое направление исследований связано с изучением алкалоидосодержащих растений (барвинок, василистник и, главным образом, осока парвская).

В осоке парвской найдены два новых основания индолевого ряда, названные бревиколлином и бревикарином. Доказано строение этих веществ, получены многочисленные производные, изучены разнообразные их реакции, осуществлены взаимные превращения и синтез бревикарина. Бревиколлин оказался физиологически активным соединением и был утвержден госфармкомитетом СССР как новое родовспомогательное средство. Он был рекомендован также в качестве препарата в ветеринарии.

Осуществлен синтез ряда родственных бревиколлину веществ  $\beta$ -карболиновой группы, некоторые из них оказались физиологически активными веществами с психотропным действием.

Интенсивно ведется изучение сапонинов многих видов растений. Установлена структура 30 гликозидов с многозвездными углеводными цепями.

По заданию Института орошаемого земледелия разработан метод экспресс-анализа горьких веществ огурцов, позволяющий осуществлять направленный отбор семян. В настоящее время совместно с Институтом виноградарства и виноделия изучаются химические особенности сортов винограда, устойчивых к грибковым заболеваниям.

В лаборатории органического синтеза (заведующий кандидат химических наук А. А. Шамшурин) проводились целенаправленные синтезы биологически активных препаратов и химических средств для борьбы с вредителями в сельском хозяйстве. В программу поиска были включены стимуляторы роста для животноводства, антигельминты, фунгициды, консерванты для виноделия, аттрактанты, гормоны насекомых. В результате синтезированы хлорсодержащий фосфорный эфир оксикумарина — эффективный антигельминтный препарат и диэтилпиро-

угольный эфир — консервант нестойких при хранении полусладких вин. Найден простой способ получения фосфата мочевины — кормовой добавки для жвачных животных, обогащающий силос азотом и крайне недостаточным в обычных рационах фосфором.

За последние годы наметилось несколько новых перспективных направлений исследований по изысканию средств борьбы с вредителями сельского хозяйства. Среди важнейших следует отметить те, которые основаны на применении биологически активных веществ — атTRACTANTOV, стерилянтов и гормональных препаратов, нарушающих нормальные физиологические функции насекомого.

Лаборатория органического синтеза является пионером в нашей стране по синтетическому изучению половых атTRACTANTOV — сигнальных средств в половых общинах насекомых. Из половых атTRACTANTOV были синтезированы: гипплюр, вещество пчелиной матки, пропиллюр, диспарлюр и один из предполагаемых атTRACTANTOV яблонной плодожорки.

Среди биологических средств защиты растений важное место занимают ювенильный гормон и его функциональные аналоги. Высокая биологическая активность и специфичность, а также низкая токсичность для человека и животных делают именно эту группу соединений теми потенциально идеальными пестицидами, которые, уничтожая насекомых, не будут отрицательно влиять на полезную фауну. В сотрудничестве с энтомологами Всесоюзного института защиты растений (Ленинград) ведется поиск новых высокоактивных аналогов ювенильного гормона. Ряд синтезированных препаратов обладает высокой ювенильно-гормональной активностью.

В лаборатории руководимой ныне Г. И. Жунгиету начаты исследования по разработке новых методов синтеза физиологически активных соединений в ряду азотистых гетероциклов. Новые методы синтеза позволяют получать труднодоступные производные гетероциклов, являющихся аналогами природных биологически активных соединений.

В лаборатории аналитической химии под руководством академика АН МССР Ю. С. Ляликова успешно ведутся работы по полярографическому методу анализа, широко применяемому при анализе сложных природных и промышленных объектов. Изучены состав и устойчивость комплексов ряда металлов с органическими и неорганическими лигандами.

С целью увеличения чувствительности определения в лаборатории изучаются также и каталитические токи. Применение каталитических токов позволило разработать новые высокочувствительные методы определения меди, железа, титана и других элементов в самых разнообразных производственных образцах.

В лаборатории разработаны также методы определения компонентов сложных полупроводниковых сплавов (сурьма, висмут, олово, германий, индий и др.) и ряда примесей как в исходных материалах, так и в полупроводниковых соединениях.

Полярографические методы анализа используются для определения следовых количеств химических препаратов на растениях, пищевых продуктах и объектах внешней среды. Эти работы выдвинули лабораторию как один из центров нашей страны по полярографическим методам анализа средств защиты растений.

В аналитической лаборатории был создан один из первых перманентных полярографов. В лаборатории ведутся работы по полярографии второго порядка, высокочастотной и радиочастотной полярографии. В последнее время начинала развиваться полярография в тон-

ком слое, одним из зачинателей которой в СССР была лаборатория аналитической химии. Этот метод позволяет вести полярографирование в объеме сотых и тысячных долей миллилита, что открывает перспективы использования его для анализа микрофаз полупроводниковых материалов, включений, налетов, пленок и других аналогичных объектов.

Исследования местного минерального сырья с целью применения его в народном хозяйстве ведутся в лаборатории минерального сырья и химии воды (руководитель Н. И. Лобанов, а с 1972 г. В. М. Ропот). В тематику лаборатории входит комплексное физико-химическое и структурно-сорбционное исследование свойств дисперсных минералов. Изучались известняки, охристые и бентонитовые глины, трепела, диатомиты, пески, фосфорсодержащие породы, йодно-бромные воды и другое местное сырье. В результате исследований разработана технология получения осажденного мела высокого качества из известняков, а также минеральных красителей путем термической обработки охристых глин. Под руководством инженера-нефтяника Л. В. Куртева проводились исследования нефти месторождения у с. Валены Вулканештского района Молдавской ССР. Были определены общие характеристики нефти и углеводородный состав различных ее фракций.

Детальному химическому и физико-химическому исследованиям были подвергнуты бентониты, найденные геологами близ сел Наславча, Бырново, Косоуцы, Штефанешты, Проданешты, Капрешты, Установлен химический и минералогический состав глин, определены их адсорбционно-структурные свойства. Изучены и определены условия химической и термической активации бентонитов, ионного обмена, определены их теплоты смачивания. Эти исследования позволили предложить бентониты в качестве природных сорбентов для очистки вин, соков, растительных масел.

В связи с обнаружением на территории МССР бентонитовых глин внимание лаборатории в последние годы было направлено на выявление качества бентонитов вышеуказанного месторождения с целью их применения в народном хозяйстве. В результате изучения химического и минералогического состава местных бентонитов было установлено, что они не уступают по своим качествам бентонитам известных в СССР месторождений.

Другим направлением исследований лаборатории является изучение степени загрязненности сточных вод консервных (плодово-овощных) и винодельческих заводов. Изучение характера и количества загрязнений позволило сделать вывод о том, что применение только биологических методов не позволяет очистить до нужных кондиций эти категории сточных вод. В связи с этим разработан метод очистки стоков с применением в качестве сорбентов-коагулянтов бентонитовых глин в сочетании с полиакриламидом.

В развитии научных исследований и подготовке кадров большую помощь оказывали и оказывают ведущие научно-исследовательские центры страны. Институт поддерживает связи с многими институтами АН СССР (химической физики, общей и неорганической химии, физико-техническим им. А. Ф. Иоффе, геохимии и аналитической химии им. В. И. Вернадского, органической химии им. Н. Д. Зелинского, химии природных соединений и неорганической химии Сибирского отделения), с рядом отраслевых институтов (Всесоюзный институт защиты растений, Всесоюзный научно-исследовательский химико-фармацевтический институт им. С. Орджоникидзе, Всесоюзный научно-исследовательский институт синтетических и натуральных душистых веществ и

многие другие), а также с Сельскохозяйственной академией им. К. А. Тимирязева, с химическими институтами Академии наук союзных республик, а также со многими вузами страны.

Кадры института — это в основном выпускники Кишиневского государственного университета. За время существования института подготовил более 70 кандидатов и 6 докторов наук.

Институт химии АН МССР был организатором большого числа всесоюзных совещаний, конференций и коллоквиумов по координационной, квантовой и аналитической химии и по химии природных соединений. Выполняемые в институте исследования неоднократно докладывались на всесоюзных и международных конференциях.

Результаты проводимых в институте исследований нашли отражение в монографиях, тематических сборниках и обзорных статьях, а также в многочисленных научных статьях, опубликованных в местных, союзных и зарубежных журналах. Среди книг и монографий следует отметить «Исследования по координационной химии и физико-химическим методам анализа» (А. В. Аблов), «Электронное строение и свойства координационных соединений. Введение в теорию» (И. Б. Берсукер), «Бициклические дiterпеноиды» (П. Ф. Влад, Г. В. Лазурьевский), «Физико-химические методы анализа» (Ю. С. Ляликов), «Анализ железных, марганцевых и хромовых руд» (Ю. С. Ляликов с соавт.), «Практические работы по химии природных соединений» (Г. В. Лазурьевский, И. В. Терентьева, А. А. Шамшурина), «Физико-химические свойства органических ядохимикатов и регуляторов роста» (А. А. Шамшурина, М. З. Кример), «Бревиколлин» (Г. В. Лазурьевский), «Оксиндол и его производные» (Г. И. Жунгиету), «Каннабиноиды» (Г. В. Лазурьевский, А. А. Николаева), «Исследования по химии хелатных соединений» (А. В. Аблов), «Строение и свойства координационных соединений» (И. Б. Берсукер), «Номенклатура неорганических соединений» (А. В. Аблов, Д. Г. Батыр), «Библиографические указатели работ по полярографии» (сотрудники лаборатории аналитической химии) и ряд других.

Итоги работы института химии были высоко оценены партией и правительством. За успехи в развитии важнейших направлений современной химии и подготовку квалифицированных научных кадров Институт химии АН МССР Указом Президиума Верховного Совета СССР от 22 апреля 1967 г. был награжден орденом Трудового Красного Знамени. Ряд сотрудников института были удостоены высоких правительственные наград.

Ф. И. ФУРДУЙ, И. М. ГАНЯ, Ф. П. ЧОРИК

## УЧЕНЫЕ ИНСТИТУТА ЗООЛОГИИ АН МССР — НАРОДНОМУ ХОЗЯЙСТВУ

Выдающееся место в ряду исторических событий молдавского народа принадлежит образованию МССР и КП Молдавии, полувековой юбилей которого в текущем году отмечают все народы нашей многонациональной страны. Создание Молдавской ССР — это еще одно доказательство на практике великой жизненной силы социализма, исторической правоты марксизма-ленинизма, открывшего перед человечеством ясную перспективу социального прогресса,

Наша республика встречает свой юбилей выдающимися успехами в развитии промышленности, сельского хозяйства, науки и культуры, которые стали возможными благодаря бескорыстной помощи братских народов и, в первую очередь, русского народа.

Благодаря повседневной помощи и поддержке ЦК КПСС и Советского правительства и принятому последовательному курсу на равномерное развитие науки во всех республиках в Молдавии возникла широкая сеть научных и научно-прикладных учреждений, достижения которых стали известными далеко за пределами нашей Родины.

С определенными успехами пришли к знаменательной дате и ученыe Института зоологии. Некоторые достижения в развитии кардинальных направлений современной зоологии и физиологии были отмечены в предыдущем сообщении «Развитие зоологической и физиологической науки в Молдавии (на примере Института зоологии АН МССР)\*.

В настоящей статье предпринята попытка обобщить результаты работ некоторых лабораторий института по вопросам опытно-промышленной проверки и внедрения научных достижений в народное хозяйство.

Широкое применение в народном хозяйстве получили результаты исследований сотрудников лаборатории зоологии беспозвоночных и позвоночных животных, экспериментальной ихтиологии и гидробиологии.

Лаборатория зоологии беспозвоночных на основе комплексных исследований биологии вредных и полезных насекомых и клещей Молдавии разрабатывает интегрированные мероприятия по ограничению численности главнейших вредителей сельского и лесного хозяйства.

Значительных успехов добились ученые энтомологи в деле выявления распространения и методов диагностики опасного бича виноградарства — филлоксеры. В лаборатории, ранее возглавляемой академиком АН МССР Я. И. Принцем, было установлено, что развитие опасного вредителя винограда — филлоксеры, зависит от типа почвы, а также от степени устойчивости винограда. Сотрудниками этой лаборатории (И. Ф. Слоновский, В. М. Козлов) был разработан весьма эффективный химический метод борьбы с филлоксерой. Среди множества испытанных химических препаратов наиболее действенным оказался гексахлорбутадиен (ГХБД).

Как показали исследования доктора биологических наук П. Х. Кискина, кандидатов биологических наук И. Ф. Слоновского, Л. А. Собецкого и других, ГХБД не оказывает вредного действия на виноградное растение, длительно сохраняется в почве и резко снижает численность вредителя. Периодическая фумигация почвы ГХБД позволяет использовать корнесобственную культуру винограда, благодаря чему упрощается закладка новых виноградников, значительно сокращается разреженность, увеличивается урожай виноградных насаждений. Экономический эффект составляет в среднем 1,5 тыс. рублей с гектара ежегодно. Метод борьбы с филлоксерой путем фумигации почвы получил широкое распространение не только в нашей стране, но и в ряде стран Европы и Латинской Америки. В честь созданного метода в Австрии учреждена золотая медаль им. Я. И. Принца, которой награждаются ученые за наиболее выдающиеся успехи в борьбе с филлоксерой.

Были предложены и другие меры борьбы с вредителями многолетних насаждений. Например, для борьбы с клещами — вредителями

\* Известия АН МССР, Серия биологических и химических наук, № 3, 1974 г.

виноградной лозы разработан метод с использованием системных препаратов (Би-58, тедион, кельтан и др.). Техническая эффективность испытанных препаратов в борьбе с клещами различных видов достигает 87—99%. Экономический эффект от применения этого метода в расчете на один гектар виноградника составляет 2 тыс. рублей. По результатам исследований написаны «Рекомендации по защите многолетних насаждений от вредителей и болезней» (канд. биол. наук Н. И. Мальченкова), которые приняты Министерством сельского хозяйства МССР к руководству.

Разработан и предложен метод борьбы с листогрызущими насекомыми-вредителями леса путем применения препарата кратковременного действия — хлорофоса. Этот метод внедрен совместно с Государственным комитетом лесного хозяйства на площади около 10 тыс. га лесных насаждений с технической эффективностью 93—98%. Чистый доход от внедрения этого метода составляет 50—70 руб. на гектар (50—70 тыс. руб. в год). Метод разработан доктором сельскохозяйственных наук Б. В. Верещагиным и кандидатом биологических наук С. Г. Плугару.

Доктор биологических наук П. Х. Кискин совместно с кандидатом биологических наук В. И. Болоканом разработали унифицированную поисковую систему сбора и обработки информации для диагностики и прогнозирования развития основных видов насекомых-вредителей сельскохозяйственных культур. Новая система увеличивает количество собираемой информации в 3—4 раза и многократно облегчает и ускоряет ее оперативное использование. Предложены оптимальные сроки проведения учета почвенных вредителей в условиях Молдавии. Оказывается, что весенний метод обследования, по сравнению с осениным, в 2—4 раза увеличивает точность определения численности почвенных вредителей, в 3—4 раза сокращает затраты труда и времени на проведение раскопок и дает возможность составить правильный прогноз появления вредителей (кандидат биологических наук В. Г. Остапчук).

В связи с планом широкого развития шелководства в Молдавии перед учеными встал вопрос о создании высокопродуктивной местной породы тутового шелкопряда, которая по своим качествам превышала бы завезенные. Такая порода (молдавская) получена кандидатом биологических наук И. Г. Плугару. Одновременно проводилась работа по сложной гибридизации тутового шелкопряда, в результате чего выделен наиболее перспективный тетрагибрид № 3, который внедрен в производство. Для этого была создана схема племенной работы тетрагибридного гренажа для Бендерского гренажного завода (Е. М. Баронина). Ежегодный экономический эффект от внедрения результатов этих исследований составляет 400 тыс. рублей.

Актуальной задачей, представляющей интерес для народного хозяйства, является выявление перспективных видов насекомых-энтомофагов, необходимых для организации биологических мер борьбы с вредителями сельскохозяйственных культур. Уже в настоящее время обнаружено более 300 таких видов.

Большую работу, имеющую важное значение для рыбного хозяйства республики, выполняют ученые-ихтиологи института, основное внимание которых направлено на разработку научных основ воспроизводства, реконструкции, рационального использования и охраны рыбных запасов в водоемах, повышения производительности основных промысловых и акклиматизируемых рыб.

В результате проведенных в этом направлении исследований в ры-

боводную практику внедрен ряд ценных предложений. К ним следует отнести применение искусственных нерестовых гнезд для увеличения запасов леща и судака в Дубоссарском водохранилище (кандидат биологических наук Е. Н. Томнатик и В. И. Карлов), что увеличило удельный вес этих рыб в уловах почти в 300 раз и дало ежегодную дополнительную прибыль около 50 тыс. руб.

Выращивание судака в целях биологической мелиорации и повышения продуктивности водоемов позволило ликвидировать в нагульных прудах и малых водоемах сорные рыбы и тем самым повысить рыбопродуктивность этих водоемов за счет более полного использования карпом естественных и искусственных кормов на 50—450 кг/га. В ряде водоемов этот вид рыб стал объектом спортивного рыболовства.

Составлены бионормативы для «Правил рыболовства в бассейне Черного моря» по рыбопромысловому району Молдавии, что способствует улучшению качества рыбопродукции и повышению воспроизводительной способности стада рыб.

Подготовлено научное обоснование для создания Республиканского ихтиологического заказника «Гоянский залив» и положение о заказнике, которое было принято Постановлением Совета Министров МССР № 234 от 30 июня 1972 г. Организация заказника создала благоприятные условия для воспроизводства ценных видов рыб и увеличения их промысловых запасов в Днестре и Дубоссарском водохранилище.

Внедрен в практику садковый способ получения оплодотворенной икры судака, который исключает необходимость сооружения специальных дорогостоящих нерестовых прудов (кандидат биологических наук Е. Н. Томнатик).

Для стимуляции нереста растительноядных рыб и карпа при их искусственном воспроизводстве предложена методика заготовки и использования гипофизов половозрелых карпов, которая принята к внедрению Управлением рыбного хозяйства при СМ МССР. Данное предложение позволяет значительно увеличить количество получаемых личинок указанных рыб (кандидат биологических наук М. П. Статова).

Кандидатом биологических наук И. Ф. Кубраком подготовлены рекомендации по получению, инкубации икры и выдерживанию личинок растительноядных рыб на базе водоема-охладителя Молдавской ГРЭС. Им также предложен метод борьбы с макрофитами и водорослями этого водоема с использованием белого амура и толстолобика. Сотрудниками лаборатории совместно с учеными и производственниками Упррыбхоза при СМ МССР проведена большая работа по акклиматизации растительноядных рыб (белого амура, белого и пестрого толстолобика) в водоемах республики. В итоге резко возросла рыбопродуктивность водоемов и выход товарной продукции растительноядных рыб. Только из прудов в 1972 г., например, было выловлено 13 тыс. ц. растительноядных рыб на сумму 1,3 млн. руб.

Рыбному хозяйству Молдавии предложен аппарат для инкубации икры рыб, который позволяет исключить процесс ее обесклевания и улучшает качество получаемых личинок (кандидат биологических наук А. М. Зеленин).

Комплексными исследованиями лаборатории гидробиологии под руководством академика АН МССР М. Ф. Ярошенко (кандидат химических наук С. Е. Бызгу) изучены ирригационные качества воды водоемов, расположенных в различных агроклиматических зонах республики. Результаты этих исследований переданы институту «Молд-

гипроводхоз» для использования при строительстве оросительных систем.

Коллективом лаборатории доказана возможность комплексного технико-биологического использования Кучурганского лимана-охладителя Молдавской ГРЭС. По результатам этих исследований написана монография и передан отчет в Советский национальный комитет по Международной биологической программе. В настоящее время лабораторией по заказу Госкомитета по науке и технике СМ СССР комплексно решен вопрос и передана справка в директивные органы Молдавии о санитарно-эпидемиологическом состоянии и закономерностях процессов самоочищения воды в Дубоссарском водохранилище, как источника водоснабжения многих населенных пунктов (академик АН МССР М. Ф. Ярошенко, кандидаты наук С. Е. Бызгу, М. З. Владимиров, А. И. Набережный, Ф. П. Чорик, младшие научные сотрудники: З. Т. Борш, Т. Д. Кривенцова, Н. И. Яловицкая и старший инженер-гидрохимик Г. Г. Горбатенький).

Под руководством доктора биологических наук Г. А. Успенского успешно проведены опыты по акклиматизации новых видов охотничьих животных, в результате чего фауна республики обогащена двумя видами оленей и фазаном, лицензионная добыча которых уже производится. Разработаны научные основы использования птиц в борьбе с насекомыми-вредителями леса и садов (доктор биологических наук И. М. Ганя). Создание оптимальной плотности насекомоядных птиц в лесных урочищах позволяет почти полностью отказаться от химической защиты леса от вредителей-насекомых. Это дает экономию около 3500 рублей на каждые 100 га леса. Предложены мероприятия по созданию защитно-кормовых ремиз в охотничьих хозяйствах Молдавии. Эти мероприятия будут способствовать нарастанию плотности размещения ценных охотничьи-промышленных животных в лесных и полевых угодьях, что обеспечит увеличение биологической емкости угодий и общей численности дичи на 35—40%.

Совместно с Ботсадом и Госкомитетом по охране природы составлено научное обоснование необходимости организации и разработан проект положения о заповеднике «Кодры». На основании этого Советом Министров МССР был создан заповедник при Госкомитете СМ МССР лесного хозяйства.

Лабораторией паразитологии (заведующий — доктор биологических наук Л. П. Спасская) совместно с лабораторией гельминтологии (заведующий — академик А. А. Спасский) разработаны и опубликованы рекомендации по борьбе с важнейшими паразитарными заболеваниями домашних птиц и кроликов Молдавии, по борьбе с лярвальными тениидозами, эхинококкозом, ценурозом и цистицеркозом сельскохозяйственных животных и человека; по предупреждению болезней прудовых рыб и токсоплазмоза домашних животных.

Использование гранулированного комбикорма с добавлением фенасала в рыбхозе «Куболта» (совместно с Управлением рыбного хозяйства) позволило полностью ликвидировать гельминтов рыб.

Внедрение в совхозах и колхозах республики комплекса мероприятий по борьбе с эхинококкозом и ценурозом сельскохозяйственных животных (совместно с ветеринарным управлением МСХ МССР) привело к 10-кратному снижению их заболеваемости. Эффективность от этого внедрения выражается в миллионах рублей.

В настоящее время лабораторией паразитологии заключено творческое соглашение с Институтом полиомиелита и вирусных энцефалитов Академии медицинских наук СССР о совместном исследовании

иксодовых и гамазовых клещей, как переносчиков крымской геморрагической лихорадки на территории Молдавии, что имеет большое практическое значение.

Существенное место в научной тематике Института зоологии занимают исследования, имеющие косвенный выход в медицинскую практику и народное хозяйство в целом. Результаты этих исследований ввиду их сложности и специфики не всегда поддаются экономическому учету, однако их значение порой трудно переоценить. Например, в лаборатории биофизики ведутся исследования по изучению нарушения нейрофизиологических механизмов регуляции деятельности некоторых внутренних органов при стрессе. Уже выявлен ряд важных сторон патогенеза язвы желудка, диффузного токсического зоба, нарушения деятельности половых желез и созданы экспериментальные модели возникновения этих патологий человека (Ф. И. Фурдуй).

Полученные результаты не исчерпывают разрабатываемую проблему, но то, что удалось сделать, как писал проф. А. А. Зубков (1967), уже представляет немалый практический интерес. Экспериментальная медицина получила возможность разрабатывать в опытах на животных наиболее эффективные методы лечения и предупреждения этих заболеваний.

В физиологических лабораториях были созданы отдельные приспособления и аппараты для медико-биологических исследований (С. А. Кузнецов, Е. И. Штирбу, Г. Г. Максимчук, Д. Л. Спиваченко, С. С. Гречанлийский, К. Г. Фрунзе и др.).

Таким образом, из вышесказанного видно, что коллектив Института зоологии проводит многогранную научную и научно-организационную работу, направленную на разработку научных основ рационального использования животного мира республики и обогащение его новыми ценными видами, на подавление вредителей сельского и лесного хозяйства и охрану полезных видов. Естественно, что в небольшой статье мы не имели возможности дать полный анализ всем достижениям института, нашедшим применение в народном хозяйстве. Нам хотелось лишь показать наиболее важные из них, с которыми ученые встречают важную веху в истории молдавского народа — 50-летие Молдавской ССР и Коммунистической партии Молдавии.

Отмеченные выше достижения по разработке и внедрению важных для народного хозяйства вопросов отражают лишь начальный период всестороннего развития отдельных направлений исследований в Институте зоологии. Сейчас созданы все условия, чтобы новый этап в разработке современных направлений биологии был еще более значительным и плодотворным.

## БОТАНИКА

УДК 581.15:634.511

И. Г. КОМАНИЧ

### АМПЛИТУДА ИЗМЕНЧИВОСТИ ПРИЗНАКОВ ГРЕЦКОГО ОРЕХА (*JUGLANS REGIA L.*) В МОЛДАВИИ В УСЛОВИЯХ ПОЛУКУЛЬТУРЫ

Грецкий орех произрастает в Молдавии с древних времен. Распространен повсеместно. На протяжении столетий он размножался здесь семенным способом. До реконструкции старых садов и виноградников грецкий орех образовывал крупные массивы бессистемных насаждений в смеси с яблоней, сливой, абрикосом и другими плодовыми. Распространялся не только человеком, но и животными (грызунами, птицами и др.). Наблюдался также самосев. В центральной зоне республики и в некоторых других местах еще сохранились бессистемные насаждения, где грецкий орех произрастает в условиях полукультуры. Большинство рядовых посадок также создавались из семян не подвергшихся искусственному отбору. Условия полукультуры во многом определили диапазон изменчивости грецкого ореха. В условиях высокой сортовой культуры получили бы распространение несколько форм (сортов) наиболее ценных в данный момент. В естественных условиях многие менее приспособленные формы элиминируются отбором. В условиях же полукультуры в популяции накапливаются и сохраняются многочисленные мутации и рекомбинации, чем увеличивается разнообразие. Действительно, размах амплитуды изменчивости признаков (величина, вес и форма плода, вес и выход ядра, толщина скорлупы, ширина педункулярного отверстия и др.) в Молдавии больше, чем в районе естественного произрастания. При длительном семенном размножении с перекрестным опылением и при отсутствии отбора в условиях полукультуры образовалась местная популяция, отличающаяся большим разнообразием. Жуковский [3] определяет Молдавию (и Юго-Восточную Европу) как вторичный генцентр грецкого ореха. В этом смысле изучение изменчивости грецкого ореха в Молдавии представляет несомненный интерес.

Разнообразие грецкого ореха в Молдавии подробно было изучено Дорофеевым [2]. По морфологическим признакам плода им выделено шесть основных форм: f. *globosa*, f. *elongata*, f. *compressa*, f. *ovalis*, f. *ovata*, f. *ovoata*. В результате изучения Дорофеевым найдены ценные формы и сорта, однако из-за отсутствия в то время разработанных методов прививки распространения в производстве они не получили и большинство из них утеряно. Позднее грецкому ореху был посвящен ряд других работ [1, 4, 7, 12, 13, 14].

Первоначально изучение разнообразия грецкого ореха велось в основном с практической целью — найти ценные формы для передачи их производству. Анализу подвергались только те формы, которые по предварительному, глазомерному определению представляли практический интерес. Популяционный принцип не применялся. В своей замечательной работе Дорофеев [2] из 10500 деревьев, обследованных в

1937—1940 гг., подверг дальнейшему анализу и оценке 95 экземпляров, как заслуживающих внимания с точки зрения их пригодности для размножения. Несомненно, в недалеком будущем в связи с возрастающим спросом на продукцию грецкого ореха (употребление в свежем виде, кондитерская промышленность, здравоохранение, мебельная промышленность и др.) работы по синтетической селекции значительно расширятся, появится необходимость в исходном материале и сведениях частной генетики.

В изучении изменчивости грецкого ореха в условиях полукультуры мы применили популяционный принцип. Одновременно этот принцип былложен в основу изучения другими исследователями [8].

Нами были взяты три выборки — по одной в каждой агроклиматической зоне республики: центральной, южной и северной.

Первая выборка является частью староместной популяции в центральной зоне Молдавии. Она была включена в программу исследований в 1966 г. и изучалась в течение шести лет подряд. В этой выборке  $n=120$ . Результаты исследования опубликованы в материалах II съезда генетиков и селекционеров Молдавии [5].

Вторая выборка — в южной зоне — была включена в исследование в 1970 г. Это часть искусственной популяции в виде рядовой посадки семенного происхождения. Здесь  $n=167$ . Экземпляры взяты по принципу случайности. Каждое из 788 деревьев имело номерок. Номерки тщательно перемешивались, после чего было взято 170 шт. (3 экземпляра впоследствии выпали). Насаждение было заложено сеянцами, выращенными из семян, заготовленных в южных районах республики. Данные по этой выборке опубликованы в тезисах работ II съезда ВОГиС им. Вавилова [6].

Третья выборка — в северной зоне — аналогична второй. Посадочный материал выращен из семян, заготовленных в северных районах. Здесь  $n=286$ . Включена в исследование в 1971 г., получены двухлетние данные.

В последних двух выборках (рядовые насаждения) каждое дерево имеет свои координаты и его по необходимости легко можно найти. В первой выборке каждое дерево занумеровано. По номеру (и определенным ориентирам) любое интересующее нас дерево можно найти, хотя это и несколько сложнее, чем в первых двух выборках.

В указанных выборках велись фенологические наблюдения по общепринятой программе. Отмечались также степень повреждения морозами и весенними заморозками, поражаемость марсонией, урожайность и др., причем в этих случаях во II выборке  $n=788$ , в III —  $n=926$ .

Биометрически изучались следующие 10 признаков: объем ( $\text{см}^3$ ) и вес плода (г); вес ядра (г); длина, ширина (диаметр от ребра к ребру) и толщина (диаметр от створки к створке) плода (мм); толщина скорлупы (стенки эндокарпа, мм); выход ядра; содержание сырого жира (%); ширина педункулярного отверстия (мм). С каждого дерева брали среднюю пробу из 35 орехов, из них 25 подвергали анализу, а 10 оставлялись для коллекции (или для дополнительной проверки в случае необходимости). По каждому индивидууму (дереву) вычисляли средние показатели признаков и в дальнейшем все операции осуществлялись по средней арифметической. Средние арифметические объема и веса плода, веса и выхода ядра, содержания жира вычисляли по данным измерений 25 орехов (плодов), а длины, ширины и толщины плода, толщины скорлупы и ширины педункулярного отверстия — по данным измерений 10 орехов. Объем плода определяли путем погружения 25 орехов в сосуд, наполненный водой, по объему вытесненной

Амплитуда изменчивости некоторых признаков

Таблица 1

Признаки	Единица измерения	Средняя арифметическая $\bar{x}$	Размах вариации, предел		Коэффициент вариации $v$
			левый	правый	
Объем плода	см <sup>3</sup>	21,4 ± 1,0	9,7	63,7	36,0 ± 2,7
Вес плода	г	9,2 ± 0,1	4,8	30,0	24,4 ± 1,3
Толщина скорлупы	мм	1,6 ± 0,02	0,5	3,3	24,1 ± 1,7
Вес ядра	г	4,2 ± 0,07	1,6	8,1	22,0 ± 1,8
Ширина педункулярного отверстия	мм	2,5 ± 0,06	1,0	4,4	24,7 ± 2,1
Выход ядра	%	41,3 ± 0,3	19,4	73,0	14,2 ± 1,1
Длина плода	мм	37,1 ± 0,3	21,7	53,6	12,7 ± 0,6
Ширина плода	мм	30,2 ± 0,2	21,7	45,4	8,8 ± 0,5
Толщина плода	мм	31,6 ± 0,2	24,0	48,3	9,3 ± 0,5
Содержание сырого жира	%	68,4 ± 0,2	62,4	74,9	3,0 ± 0,3

воды. Взвешивания производили на весах типа ВЛК-10 г/10. Измерения линейных размеров плода, толщины скорлупы и ширины педункулярного отверстия вели с помощью штангенциркуля с точностью до 0,05 мм.

Определение содержания сырого жира проводилось в лаборатории первичного анализа Ботанического сада АН МССР В. С. Литвиновой. У каждого десятого экземпляра второй и третьей выборок указанные признаки, за исключением объема плода и содержания жира, изучались у каждого плода в отдельности с целью установления степени варьирования их внутри кроны дерева. Полученные данные обрабатывались по методике вариационной статистики [9]. Определялись распределение вариант в вариационном ряду, средняя арифметическая ( $\bar{x}$ ), основное отклонение ( $\sigma$ ), коэффициент вариации ( $v$ ), коэффициент корреляции и другие статистические показатели.

В настоящей статье приводятся обобщенные данные по всем трем выборкам относительно амплитуды изменчивости количественных признаков.

Между тремя выборками имеется некоторая разница средних показателей признаков, однако достоверного различия между ними не обнаружено. Особенно близкие данные получены относительно коэффициента вариации. Это позволяет отметить, что греческий орех представлен в Молдавии одной популяцией. Данные табл. 1 показывают, что наибольшая амплитуда изменчивости в популяции характерна для объема плода. Правый предел вариационного ряда превосходит левый почти в 7 раз, коэффициент вариации  $v = 36,0$ . Вес плода также варьирует в больших пределах. Нижний (левый) предел характеризуется формами с плодами весом 4,8 г, а верхний (правый) предел — формами типа «бомба» (*f. macrocarpa* DC.) с весом плода до 30 г. Эти орехи в свежем виде имеют вес до 40 г и больше, но при высушивании теряют почти половину своего веса. Выход ядра также падает до 30—34%.

Вес ядра колеблется от 1,6 до 8,1 г и до некоторой степени коррелирует с весом плода. Выход ядра в молдавских орехах варьирует от 19,8 до 73,0%. Большую амплитуду варьирования имеет толщина скорлупы. Нижний предел представлен тонкокорыми формами (*f. membranacea* Hegi.) толщиной скорлупы 0,4 мм, последняя часто перфорирована и местами видно голое ядро. К верхнему пределу относятся

Амплитуда изменчивости признаков греческого ореха (*Juglans regia* L.) в Молдавии 17  
в условиях полукультуры

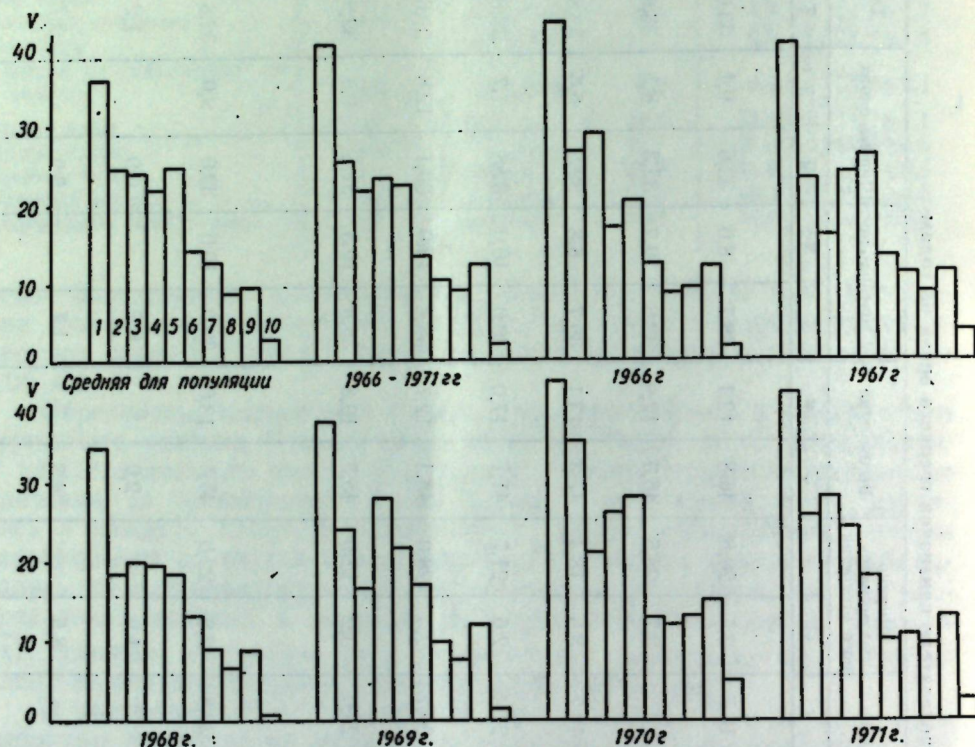
Таблица 2

Статистические показатели признаков греческого ореха по годам

Годы	Объем плода	Вес плода	Толщина скорлупы		Вес ядра	Ширина педункулярного отверстия		Выход ядра	Длина плода		Ширина плода	Толщина плода		Содержание сырого жира						
			$\bar{x}$	$v$		$\bar{x}$	$v$		$\bar{x}$	$v$		$\bar{x}$	$v$							
1966	21,5	42,4	11,6	26,2	1,4	28,5	5,14	16,7	2,5	20,8	46,8	12,1	38,7	8,0	32,6	9,1	33,6	11,7	69,3	1,7
1967	23,0	39,5	11,7	22,5	1,6	15,4	5,3	23,3	2,7	25,5	46,0	12,9	39,8	10,7	32,3	8,5	33,2	10,1	69,7	3,8
1968	26,6	34,5	11,7	18,4	1,8	19,8	5,6	19,7	3,5	18,4	47,3	13,1	39,7	8,8	32,5	6,6	33,8	8,9	68,4	0,4
1969	22,4	37,6	11,3	24,0	1,8	16,6	4,7	27,4	2,6	21,7	41,7	17,0	40,0	10,0	32,8	7,7	33,8	11,9	68,1	2,6
1970	16,5	45,0	9,9	34,8	1,4	21,1	4,2	26,1	2,3	28,0	45,4	12,7	38,4	12,0	30,1	12,8	33,6	15,0	65,5	5,3
1971	19,0	41,0	10,1	25,6	1,5	27,5	4,6	24,0	3,2	17,6	45,5	10,3	38,3	10,5	31,5	9,5	32,0	13,0	68,3	3,9
Средняя 1966— 1971	21,5	40,0	11,0	25,2	1,6	21,5	4,9	22,8	2,8	22,0	45,5	13,0	39,0	10,0	32,0	9,0	32,8	11,9	68,2	2,8
$v$	2,6	0,8	0,8	0,2	0,5	0,5	0,5	1,9	2,0	0,7	0,9	1,2	1,2	1,2	0,9	1,9	3,0	3,7	2,1	2,1

форма *f. dura* Hegi., имеющая толщину скорлупы 3,3 мм. Эти толстокорые формы не всегда относятся к ряду *Lacunae* Petz. или *Macrolacunae* Petz.

Содержание жира у молдавских орехов довольно высокое (среднее 68,4%) и является одним из наиболее константных признаков. Характеризуется лимитами 62,4 и 74,9%, по Дорофееву [2] — 57,3 и 74,6%.



Варьирование признаков в популяции грецкого ореха:

1 — объем плода; 2 — вес плода; 3 — толщина скорлупы; 4 — вес ядра; 5 — диаметр педункулярного отверстия; 6 — содержание ядра; 7 — длина плода; 8 — ширина плода; 9 — толщина ядра; 10 — содержание жира

Для того чтобы можно было сравнивать между собой степени изменчивости различных признаков в популяции, показатели которых выражены в разных единицах (г, мм, %), был использован коэффициент вариации (*v*), выражающий в процентах отношение основного отклонения ( $\sigma$ ) на среднее значение ( $x$ ).

Выяснилось, что различные признаки варьируют в популяции не в одинаковой степени (см. рисунок). По коэффициенту вариации (*v*) наибольший размах изменчивости имеют такие признаки, как объем (*v*=36,0) и вес плода (*v*=24,4), вес ядра (*v*=22,0), толщина стенки эндокарпа (*v*=24,1) и ширина педункулярного отверстия (*v*=24,7). Несколько меньше варьирует выход ядра (*v*=17,6). Наиболее константным признаком является содержание жира, коэффициент вариации всего лишь 3,0. Длина, ширина и толщина плода занимают как бы промежуточное положение (*v* соответственно — 12,7; 8,9; 9,8).

Амплитуда наследственной изменчивости, безусловно, искается модификационной изменчивостью, вызванной воздействием внешних

факторов. Некоторое представление о доле модификационной изменчивости дают данные шестилетних наблюдений по выборке в центральной зоне (табл. 2). В предпоследней строке приведено среднее квадратическое отклонение ( $\sigma$ , вызванное воздействием неодинаковых условий разных лет) от средней арифметической за шесть лет (следовательно, здесь  $n=6$ ), а в последней строке коэффициент вариации (*v*) средних показателей ( $x$  каждого года) за годы наблюдений.

На рисунке представлено восемь диаграмм. Столбцы изображают коэффициенты вариации соответствующего признака в популяции. В верхнем ряду первая слева диаграмма отражает общую картину по всем трем выборкам за все годы наблюдений. Вторая слева составлена по данным шестилетних наблюдений по выборке в центральной зоне. Остальные шесть диаграмм соответствуют отдельным годам наблюдений в той же выборке. Из рисунка видно, что, несмотря на некоторые колебания, в общем картина симметричности диаграмм сохраняется по годам. Отмечено, что в нормальные по метеорологическим условиям годы (1968) варьирование признаков больше приближается к средним для популяции данным, чем в необычные годы (1970).

Варьирование признаков имеет место и в пределах кроны одного и того же дерева. Оно было изучено у 55 форм. Выяснилось, что один и тот же признак неодинаково варьирует у различных форм. Коэффициент вариации у изученных экземпляров колеблется следующим образом (табл. 3).

Из данных табл. 3 видно, что варьирование количественных признаков внутри кроны у одних экземпляров довольно большое, в то время как у других незначительное. Эти последние формы представляют большой практический интерес, так как они дают однородную, высокотоварную продукцию. Следует отметить, что в селекционной работе с грецким орехом этому показателю до сих пор уделялось мало внимания.

Таким образом, у грецкого ореха в условиях полукультуры при отсутствии сильного давления отбора обнаруживается неодинаковая степень изменчивости признаков в популяции, что, вероятно, свидетельствует о различной мутабильности контролирующих их генов. Полученные данные показывают, что эффективность искусственного отбора довольно велика в отношении таких признаков, как величина плода, выход ядра, толщина скорлупы, ширина педункулярного отверстия и др. Селекция на масличность путем отбора, по-видимому, не будет эффективна.

В процессе исследования обнаружены ценные экземпляры по комплексу хозяйственных признаков, а также формы с высокими показателями по 1—2 признакам, представляющие интерес для синтетической селекции.

Таблица 3

Варьирование признаков в пределах кроны  
у различных форм грецкого ореха

Признаки	Пределы колебания коэффициента вариации у различных форм
Вес ореха	6,8—17,5
Вес ядра	6,8—18,8
Выход ядра	3,8—14,5
Длина плода	1,6—9,6
Толщина плода	2,0—9,2
Ширина плода	2,5—7,7
Толщина скорлупы	1,4—13,5
Ширина педункулярного отверстия	2,0—15,2

## ЛИТЕРАТУРА

1. Голиков А. И. Сборник работ по лесному хозяйству. Кишинев, 1962.
2. Дорофеев П. П. Республиканская плодовиногр. опытная станция МСХ МССР. Сборник работ. Вып. II, 1950, стр. 33—174.
3. Жуковский П. М. Культурные растения и их сородичи. Издание третье. Ленинград, изд-во «Колос», 1971.
4. Команич И. Г. Перспективы сортовой культуры грецкого ореха в Молдавии. Кишинев, РИО АН МССР, 1968.
5. Команич И. Г. Генетика и селекция в Молдавии (Материалы ко II съезду генетиков и селекционеров, ноябрь 1971). Кишинев, 1971, стр. 182.
6. Команич И. Г. II съезд ВОГиС им. Н. И. Вавилова. Селекция и семеноводство с.-х. растений на генетических основах (тезисы работ). Выставка III; вып. I, М., изд-во «Наука», 1972, стр. 104.
7. Команич И. Г. Сб.: Отдаленная гибридизация косточковых и ореха. Кишинев, изд-во «Штиница», 1973, стр. 101—121.
8. Ненюхин В. Н. Растительные ресурсы, т. VIII, вып. I, 60—67, 1972.
9. Рокитский П. Ф. Биологическая статистика. Издание 2-е. Минск, 1967.
10. Соколов С. Я. Сб.: Плодовые леса Южной Киргизии и их использование. Тр. южно-киргизской экспедиции. Вып. I. М.-Л., Изд. АН СССР, 1949, стр. 174—203.
11. Сушко М. П. Растительные ресурсы, т. VI, вып. 3, 383—390, 1970.
12. Тымко М. М. Грецкий орех в Молдавии. Кишинев, изд-во «Карта Молдовеняскэ», 1956.
13. Тышкевич Г. И. и Жадан В. М. Лесное хозяйство, № 7, 18—22, 1969.
14. Цуркан И. П. Грецкий орех в Молдавии. Кишинев, изд-во «Карта Молдовеняскэ», 1969.
15. Щепотьев Ф. Л. Орехоплодные древесные породы. М., изд-во «Лесная промышленность», 1969, стр. 73—172.

## ФИЗИОЛОГИЯ И БИОХИМИЯ РАСТЕНИЙ

УДК 581.134.5;581.132

И. И. БАРАНИНА

### ВЛИЯНИЕ МИНЕРАЛЬНОГО ПИТАНИЯ НА ФОТОСИНТЕТИЧЕСКУЮ ДЕЯТЕЛЬНОСТЬ ОЗИМОЙ ПШЕНИЦЫ В ОСЕННЕ-ЗИМНИЙ И РАННЕВЕСЕННИЙ ПЕРИОДЫ

Широкое применение удобрений при возделывании озимой пшеницы требует всестороннего изучения физиологических процессов, обусловливающих эффективность питания растений. В связи с этим в течение ряда лет нами изучалось влияние условий минерального питания на фотосинтетическую деятельность озимой пшеницы. При изучении этого вопроса в онтогенезе особое внимание обращали на осенне-зимний и ранневесенний периоды жизни растений (так называемые «скрытые» периоды вегетации), которые в значительной мере предопределяют последующую продуктивность и урожай этой культуры. Проведение исследований в эти периоды вызвано климатическими условиями Молдавии, а также биологическими особенностями озимой пшеницы, заключающимися в способности возобновлять вегетацию во время длительных зимних оттепелей.

Цель настоящей работы — сравнить влияние азота, фосфора, калия и их различных сочетаний на интенсивность фотосинтеза и величину ассимиляционной поверхности, а также выяснить зависимость образования органического вещества от фотосинтетической деятельности растений в годы, различающиеся метеорологическими условиями.

Опыты проводили в вегетационном домике Института физиологии и биохимии растений АН МССР. Объектом исследования была озимая пшеница МСЗ-1 — форма, выведенная членом-корреспондентом АН МССР К. В. Морару [4]. Растения выращивали в сосудах Митчерлиха емкостью 6,5 кг сухой почвы. В качестве минерального питания использовали смесь Гельригеля. Влажность почвы поддерживали на уровне 60% от полной влагоемкости. Схема опыта включала варианты, представленные на рис. 1, 2.

Интенсивность фотосинтеза изучали газометрическим методом Почкина [6]. Ассимиляционную поверхность учитывали путем зарисовки контуров листьев на бумаге с последующим взвешиванием их вырезок. Накопление сухого вещества определяли высушиванием навески исследуемого материала при 100—105°.

Для сравнения представлены результаты исследований 1965—1966 гг. и 1966—1967 гг. Эти годы наиболее сильно отличались метеорологическими условиями осенне-зимне-весеннего периода. В 1965—1966 гг. — осень умеренно теплая, в октябре с заморозками; зима мягкая; весна ранняя и теплая. В 1966—1967 гг. — осень теплая и продолжительная, а зима довольно холодная для Молдавии. Весна также была холодной и затяжной. Это, несомненно, вызвало различную реакцию фотосинтетического аппарата растений на внесенные удобрения.

Результаты проведенных исследований показали, что раздельное и совместное внесение в почву фосфора и калия не привело к увеличению

площади листьев у озимой пшеницы в течение ее вегетации по сравнению с вариантом без удобрений. Удобрение растений азотом и азотом в сочетании с фосфором и калием способствовало образованию большей ассимиляционной поверхности, но темпы нарастания и величина

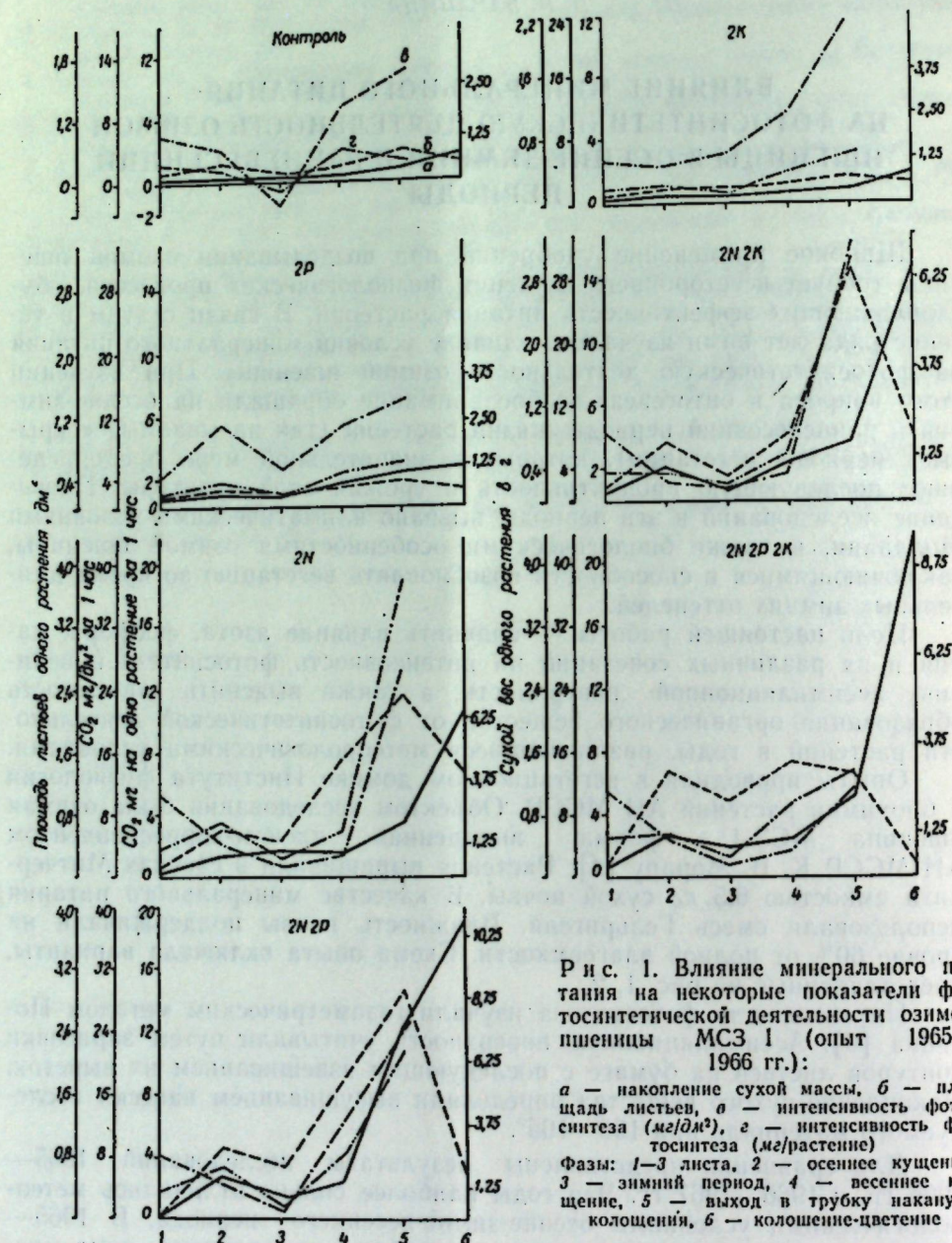


Рис. 1. Влияние минерального питания на некоторые показатели фотосинтетической деятельности озимой пшеницы МСЗ I (опыт 1965—1966 гг.):

*a* — накопление сухой массы, *б* — площадь листьев, *в* — интенсивность фотосинтеза ( $\text{мг}/\text{дм}^2$ ), *г* — интенсивность фотосинтеза ( $\text{мг}/\text{растение}$ )  
Фазы: 1—3 листа, 2 — осенне кущение, 3 — зимний период, 4 — весенне кущение, 5 — выход в трубку накануне колошения, 6 — колошение-цветение

площади листьев зависели от того, в каком сочетании вносили с этими элементами азот, и сильно варьировали в зависимости от метеорологических условий года. В условиях опыта 1965—1966 гг. в осенний период большая площадь листьев образовалась у растений варианта 2N2P, в опыте 1966—1967 гг. — при дополнительном внесении в почву NPK и 2N2P2K. Растения вариантов 2N, 2N2K занимали промежу-

точное положение, и площадь листьев у них позже достигла максимальной величины.

Отмеченные различия по величине площади листьев, вызванные условиями корневого питания, сохранились и в зимнее время, несмотря

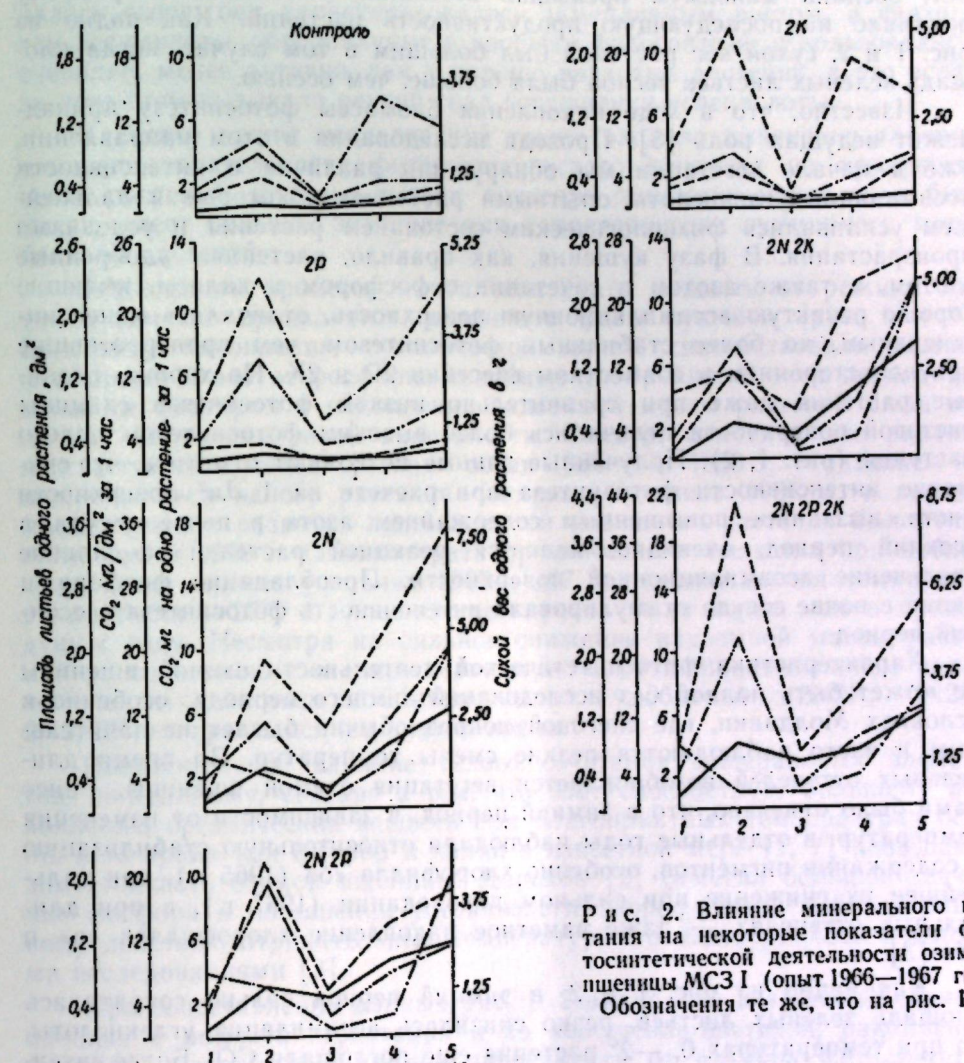


Рис. 2. Влияние минерального питания на некоторые показатели фотосинтетической деятельности озимой пшеницы МСЗ I (опыт 1966—1967 гг.).  
Обозначения те же, что на рис. 1.

на сильное уменьшение ассимиляционной поверхности, как это было в опыте 1966—1967 гг. Однако независимо от погодных условий разных лет во всех проведенных опытах выявлено, что у растений, удобренных 2N2P и 2N2P2K, весной раньше, чем у других вариантов, происходило новообразование и рост листьев. Это, очевидно, и обусловило в дальнейшем более ускоренное развитие растений. Положительное влияние одностороннего внесения 2N и 2N2K на формирование фотосинтетической поверхности в весенний период проявилось позже, чем при внесении 2N2P и 2N2P2K. У растений вариантов 2N и 2N2K в reproductive period большая площадь зеленых листьев сочеталась с большей продолжительностью их жизнедеятельности, что положительно коррелирует с урожаем озимой пшеницы.

Исследование динамики формирования площади листьев озимой пшеницы показало наличие двух максимумов — в период осеннего кущения и в период выхода в трубку (рис. 1, 2). При этом выявлено, что в умеренно теплую осень (опыт 1965—1966 гг.) первый максимум был ниже весеннего, а в теплую осень (опыт 1966—1967 гг.), наоборот, осенний максимум превышал весенний. Отмеченное по-разному повлияло на последующую продуктивность растений. Как видно из рис. 1 и 2, сухой вес растений был большим в том случае, когда площадь зеленых листьев весной была больше, чем осенью.

Известно, что в ходе накопления биомассы фотосинтезу принадлежит ведущая роль [5]. Проводя исследования в этом направлении, уже в начале вегетации мы обнаружили различия в интенсивности ассимиляции углекислоты опытными растениями, которые в дальнейшем усиливались физиологическим состоянием растений и условиями произрастания. В fazu kущения, как правило, растения, удобренные азотом, а также азотом в сочетании с фосфором и калием, имевшие хорошо развитую ассимиляционную поверхность, отличались менее интенсивным, но более стабильным фотосинтезом, чем произраставшие при одностороннем и совместном внесении 2Р и 2К. Но хорошо развитые растения даже при сравнительно низком фотосинтезе единицы листовой поверхности отличались более высоким фотосинтезом целого растения (рис. 1, 2). Полученные данные позволяют отметить, что снижение интенсивности фотосинтеза при расчете на 1  $\text{dm}^2$  поверхности листа, вызванное повышенным содержанием азота в почве сосуда в осенний период, очевидно, является реакцией растений на сильное увеличение ассимиляционной поверхности. Преобладание фосфора и калия в почве сосуда стимулировало интенсивность фотосинтеза в осенний период.

Характеристика фотосинтетической деятельности озимой пшеницы не может быть полной без исследований зимнего периода, особенно в условиях Молдавии, где снеговой покров обычно бывает незначительным и часто наблюдаются резкие смены температур. Во время длительных оттепелей возобновляется вегетация озимой пшеницы. Ранее нами было отмечено, что в зимний период, в зависимости от изменения температур, в отдельные годы наблюдали относительную стабилизацию в содержании пигментов, особенно хлорофилла «б» (1965 г.), или дальнейшее их снижение при сильном похолодании (1967 г.), а при длительных оттепелях — даже заметное накопление хлорофиллов «а» и «б» [3].

Как видно из рис. 1 и 2, в зимний период сильно сократилась площадь зеленых листьев, резко снизилась ассимиляция углекислоты, но при температурах 0, —2° растения еще поглощали  $\text{CO}_2$ . Более интенсивному фотосинтезу в этих условиях способствовало предпосевное внесение в почву двух норм фосфора.

В период весеннего кущения обнаружена та же закономерность в изменении интенсивности фотосинтеза, что и осенью, то есть хорошо развитые растения медленнее поглощали  $\text{CO}_2$  единицей площади листа, чем те, у которых был слабо развитый ассимиляционный аппарат. Интенсивность фотосинтеза достигла максимума в fazu выхода в трубку. Особенно благоприятное влияние на общую фотосинтетическую деятельность растений оказали комбинированные удобрения (2N2P, 2N2K, 2N2P2K), а также одностороннее азотное удобрение (2N). У этих растений повышение интенсивности фотосинтеза протекало одновременно с увеличением площади листьев и накоплением пигментов, что свидетельствует о возрастании их потенциальной способности к

поглощению световой энергии и усвоению углерода по сравнению с другими периодами. В этот период четко проявляется резерв повышения продуктивности растений, удобренных азотом. Растения, выращенные в условиях одностороннего и совместного внесения в почву фосфора и калия, во время трубкования также отличались высокой интенсивностью фотосинтеза единицы площади листа. Однако, как уже отмечалось выше, они характеризовались замедленным ростом, в связи с чем ассимиляты, образованные в процессе фотосинтеза, использовались, очевидно, менее активно, чем у хорошо развитых растений, а это вслед за подъемом вызывало резкий спад поглощения углекислоты.

В задачу наших исследований также входило выяснение влияния изменения деятельности фотосинтетического аппарата на продуктивность растений. В связи с этим изучение динамики накопления биомассы имеет большое значение для характеристики суммарного метаболизма растений.

Зависимость процесса накопления сухих веществ от режима питания заметно проявляется, начиная с фазы кущения (рис. 1 и 2). Большему накоплению органической массы способствовали азото-фосфорные и азотно-фосфорно-калийные удобрения. В этот период решающим фактором в накоплении надземной массы растений была величина ассимиляционной поверхности. Следует отметить, что различные метеорологические условия осени 1965 г. и 1966 г. отразились на величине веса одного растения. Например, осенью 1965 г., в период максимального развития листьев, сухой вес одного растения был меньшим, чем в 1966 г. Однако траты органического вещества при неблагоприятных зимних условиях 1966—1967 гг. (минимальная температура достигла —27°) в большинстве случаев была выше, чем в предыдущем году. Несмотря на сильное снижение надземной массы растений по сравнению с осенным максимумом, различия, вызванные положительным действием комбинированных удобрений (2N2P, 2N2K, 2N2P2K), сохранились и в зимнее время.

Положительное влияние такого сочетания минеральных элементов, по-видимому, связано с тем, что азот способствует большему накоплению органических веществ при благоприятных температурах осени, в то время как фосфор и калий в известной мере [1, 7] повышают зимостойкость озимой пшеницы. Дорохов [2] отметил большое значение фосфора в повышении устойчивости хлорофилла к неблагоприятному действию отрицательных температур, что подтвердилось и нашими исследованиями [3].

При сопоставлении данных рис. 1, 2 видно, что в весенний период, начиная с момента отрастания и до колошения-цветения, накопление биомассы находится в прямой зависимости от размера фотосинтетического аппарата, интенсивности и продолжительности фотосинтеза. Удобрение растений азотом, а также азотом в сочетании с фосфором и калием, приводящее к значительному развитию ассимиляционной поверхности, увеличению содержания пигментов [3] и повышению интенсивности фотосинтеза, обусловило высокий прирост надземной массы. Растения, выращенные при внесении в почву 2Р, 2К, 2P2K, несмотря на интенсивное поглощение углекислоты единицей листовой поверхности, отличались низким весом по сравнению с вариантами, где вносили азот. Это свидетельствует о недостатке азота в почве, что привело к слабому развитию ассимиляционного аппарата.

На основании проведенных исследований установлены особенности действия азота, фосфора, калия и их сочетаний в осенне-зимний и ран-

невесенний периоды вегетации на некоторые стороны фотосинтетической деятельности озимой пшеницы.

Предпосевное внесение азота стимулирует рост растений, но снижает и стабилизирует интенсивность фотосинтеза осенью. В целом же при пересчете фотосинтеза на целое растение его величина возрастает. Противоположное действие оказывает фосфор, но его внесение с азотом и калием способствует более длительному сохранению листьев в зеленом состоянии, уменьшает в зимнее время траты ранее накопленных органических веществ, чем создает благоприятные условия для весеннего роста.

Весной, в период интенсивного роста (фаза выхода в трубку), азот улучшает фотосинтез растений за счет повышения его интенсивности, увеличения поверхности листьев и количества пигментов, благодаря чему создаются хорошие условия для накопления биомассы. Положительное влияние азота на общую фотосинтетическую деятельность пшеницы усиливается совместным его внесением с фосфором и калием.

#### ЛИТЕРАТУРА

- Белкин И. И. Зимостойкость растений. Кишинев, изд-во «Штиинца», 1961.
- Дорохов Л. М. Минеральное питание как фактор повышения продуктивности фотосинтеза и урожая сельскохозяйственных растений. Кишинев, Госиздат Молдавии, 1957.
- Дорохов Б. Л., Баранова И. И. В сб.: Фотосинтетическая деятельность растений и влияние на нее минерального питания. Кишинев, изд-во «Картия Молдовеняскэ», 1970, стр. 3—38.
- Морару К. В. Действие условий питания и освещения на озимую пшеницу. Кишинев, изд-во «Картия Молдовеняскэ», 1962.
- Ничипорович А. А. В сб.: Фотосинтезирующие системы высокой продуктивности. М., изд-во «Наука», 1966, стр. 7—50.
- Починок Х. Н. Научные труды, т. 16. Киев, Госсельхозиздат УССР, 1959, стр. 115—124.
- Туманов И. И. Физиологические основы зимостойкости культурных растений. М., Сельхозгиз, 1940.

УДК 581.1.032

Н. С. ПОНОМАРЧЕНКО

## ВОДНЫЙ РЕЖИМ ЯБЛОНИ ПРИ РАЗЛИЧНЫХ СПОСОБАХ ФОРМИРОВАНИЯ КРОНЫ

Создание садов с плоскими кронами и плотным размещением деревьев на вегетативно-размножаемых подвоях представляет новый этап развития плодоводства в нашей стране. Это один из основных путей интенсивного ведения данной отрасли сельского хозяйства.

О высокой экономической эффективности садов с плоскими кронами свидетельствует опыт, накопленный плодоводами нашей страны и за рубежом.

В настоящее время в Молдавии имеется около 10 тыс. га садов пальметтного типа. К 1975 г. планируется посадить 37,8 тыс. га садов, большинство из которых будут с плоским типом кроны.

На данном этапе развития плодоводства широкое распространение в условиях Молдавии получило формирование деревьев по типу

косой итальянской пальметты и по типу веретена в венгерской модификации (плоский шпиндельбуш).

Искусственное изменение направления ветвей при формировании плоских крон и улучшение при этом светового режима [5, 13, 14, 15] оказывают сильное воздействие на водный режим и обмен веществ, от которых по существу зависит рост и плодоношение деревьев.

На изменение состояния водного режима при наклоне и сгибании ветвей при формировании плоских крон указывают ряд исследователей. Так, одни авторы [4] предполагают, что под влиянием света, вызывающего сужение проводящих сосудов, наклонная ветвь пропускает в единицу времени меньше воды с питательными веществами и слабее растет, чем ветвь прямостоячая. Другие [11] указывают, что доступ воды в листья, расположенные в верхней части изогнутой ветви яблони, сформированной по типу итальянской пальметты, затруднен, что приводит к быстрому старению листьев на этих побегах.

Известны работы по изучению влияния отогнутых побегов на водный обмен яблони [2, 3], но они не освещают полностью этот вопрос.

Целью настоящего исследования было изучение некоторых сторон водного обмена яблони в зависимости от разных способов формирования кроны.

#### Материалы и методы

Исследования проводились в промышленно-экспериментальном саду МНИИ почвоведения и агрохимии им. Димо (с. Дурлешты) на двух сортах яблони — Ренет Симиренко (сильнорослый) и Вагнера призывное (слаборослый) 1967 г. посадки. Подвой — дусен IV. Деревья формируются по типу итальянской пальметты и по типу веретена (плоский шпиндельбуш). Контроль — деревья с разреженно-ярусной формировкой.

Состояние водного обмена листьев характеризовалось рядом показателей: общим количеством воды (которое определяли высушиванием образцов до постоянного веса при температуре 105°), водоудерживающими силами (весовой метод); транспирацией (хлоркобальтовый метод), сосущей силой клеточного сока листьев и их относительной тургоресцентностью. Методы определения водного режима в модификации к плодовым растениям описаны Кушниренко с сотрудниками [9].

Листья отбирали со средней части однолетних побегов, а также по длине побега со второго яруса кроны с юго-восточной стороны.

#### Результаты исследований

Проведенные исследования показывают, что состояние воды в листьях яблони претерпевает изменения в течение вегетационного периода в зависимости от фаз развития растений, погодных условий и формировки кроны.

В начале вегетации, в период активного роста побегов, наблюдается самое высокое содержание воды в листьях растений обоих сортов. По мере затухания ростовых процессов, вызревания древесины и старения листьев происходит снижение содержания воды в листьях обоих сортов независимо от формы кроны. Так, в мае (рис. 1) содержание воды в листьях сорта Ренет Симиренко в контроле составляло 67%, а в сентябре снизилось до 59,1%. Такие же изменения проис-

ходят у деревьев с плоской формой кроны. Причем самая низкая водоудерживающая способность листьев отмечена у деревьев, сформированных по типу плоского веретена. У сорта Вагнера призовое наблюдается аналогичная закономерность. Вместе с тем листья этого сорта быстрее стареют и снижение содержания воды в них идет более быстрыми темпами. Некоторое увеличение содержания воды в листьях деревьев в начале августа объясняется выпадением осадков незадолго до отбора проб.

Копылов, Тимошенко [12] объясняют уменьшение водоудерживающей способности растений при плоском формировании деревьев отсутствием обрезки. Ежегодная обрезка, которая проводится при обычном формировании крон, способствует улучшению водоснабжения растений, так как удаляются верхние части приростов со слаборазвитой проводящей системой. Другие авторы [11] смещение в водном балансе растений объясняют затруднением поступления воды под влиянием изгиба побегов.

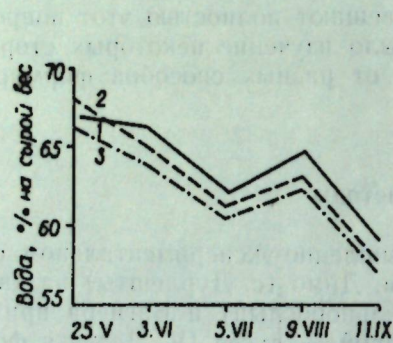


Рис. 1. Влияние формы кроны на содержание воды в листьях яблони в течение вегетации (1972 г.), сорт Ренет Симиренко:

1 — разреженно-ярусная крона, 2 — пальметта, 3 — веретено

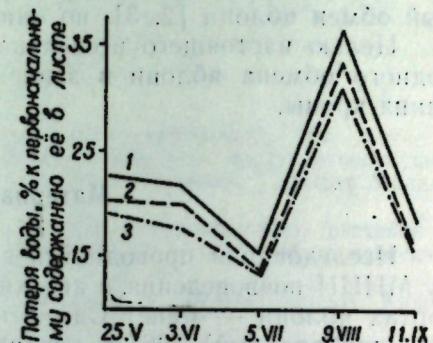


Рис. 2. Водоудерживающая способность листвы яблони сорта Ренет Симиренко в зависимости от формы кроны (1972 г.):

1 — разреженно-ярусная крона, 2 — пальметта, 3 — веретено

Пригибание ветвей приводит к изменению состояния воды в тканях растений, которое проявляется в повышении водоудерживающей способности листьев. Из рис. 2 видно, что листья растений с плоским типом кроны у обоих сортов характеризуются более высокой водоудерживающей способностью, которая не остается постоянной в течение вегетации. Так, потеря воды после двухчасового завядания листьями сорта Ренет Симиренко в контроле в мае составляла 22,5% к первоначальному содержанию ее в листе, в июле 15,1%, в августе 36,4%, в сентябре 18,2%, а у сформированных по типу плоского веретена соответственно — 19,7; 14,7; 31,4; 17,0%. Пальметта занимает промежуточное положение. Аналогичная закономерность наблюдалась у сорта Вагнера призового. Потеря воды листьями этого сорта за те же сроки в контроле составляла 26,9; 13,2; 22,7; 17,3%, а у деревьев, сформированных по типу веретена, — 23,3; 8,1; 22,4; 16,8%. Более высокую водоудерживающую способность у деревьев яблони, сформированных по типу плоского веретена, по сравнению с пальметтой и разреженно-ярусной кроной отмечала также Белецкая [1]. Изменение водоудерживающей способности растений в течение вегетации является адаптационной реакцией на усиление или ослабление напряженности внешних факторов, а также следствием внутриклеточных перестроек, связанных с фазами развития растений.

Различия в величине водоудерживающих сил оказывают существенное влияние на интенсивность транспирации растений. Кушниренко [6, 7] в опытах с плодовыми показала, что интенсивность транспирации определяется особенностями сорта, типом подвоя, а также в значительной степени зависит от влажности почвы и метеорологических факторов (температуры и относительной влажности воздуха, скорости ветра и т. д.).

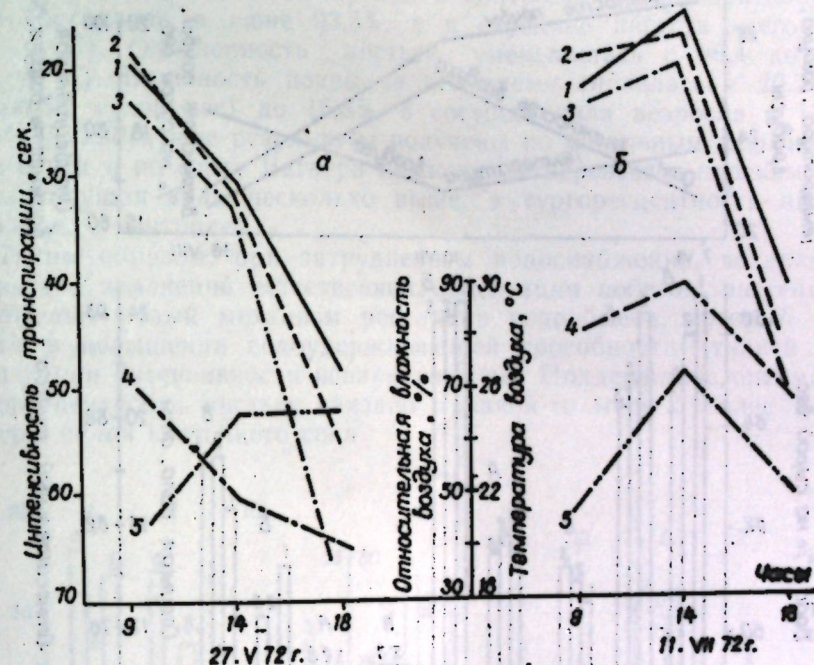


Рис. 3. Интенсивность транспирации листьев яблони сорта Ренет Симиренко в зависимости от формировки (1972 г.):

1 — разреженно-ярусная крона, 2 — пальметта, 3 — веретено

Проведенные нами исследования свидетельствуют о том, что, кроме этих факторов, на интенсивность транспирации большое влияние оказывает формировка кроны. Деревья с плоской кроной более чувствительны к метеорологическим факторам среды. В утренние часы при сравнительно низкой температуре воздуха ( $18,8^{\circ}$ ) и высокой относительной его влажности (72%) различия в интенсивности транспирации у деревьев сорта Ренет Симиренко с разной формой кроны незначительны (рис. 3, а). При усилении напряженности факторов среды (температура воздуха  $25^{\circ}$ , относительная влажность воздуха 43%) деревья с плоской кроной более резко снижают водообмен. При повышении влажности воздуха (90,5%) и высокой его температуре ( $27^{\circ}$ ) интенсивность транспирации листьев у деревьев всех формировок повышается, оставаясь ниже у деревьев с плоской кроной (рис. 3, б). Аналогичные данные получены у сорта Вагнера призового. Наименьшая интенсивность транспирации отмечена у деревьев с формой кроны плоское веретено. У деревьев с этой формой кроны, как указывалось выше, обнаружена и более высокая водоудерживающая способность тканей листьев. Эти особенности, по-видимому, можно объяснить тем, что полускелетные ветви отгибаются до положения, близкого к горизонтальному.

В тесной зависимости как от внутреннего состояния растений, так и от факторов среды находится сосущая сила клеток плодовых деревьев [6, 7]. Полученные нами данные свидетельствуют об изменении величины сосущей силы листьев яблони в течение вегетации (рис. 4, в). В начале июля сосущая сила листьев сорта Ренет Симиренко в кон-

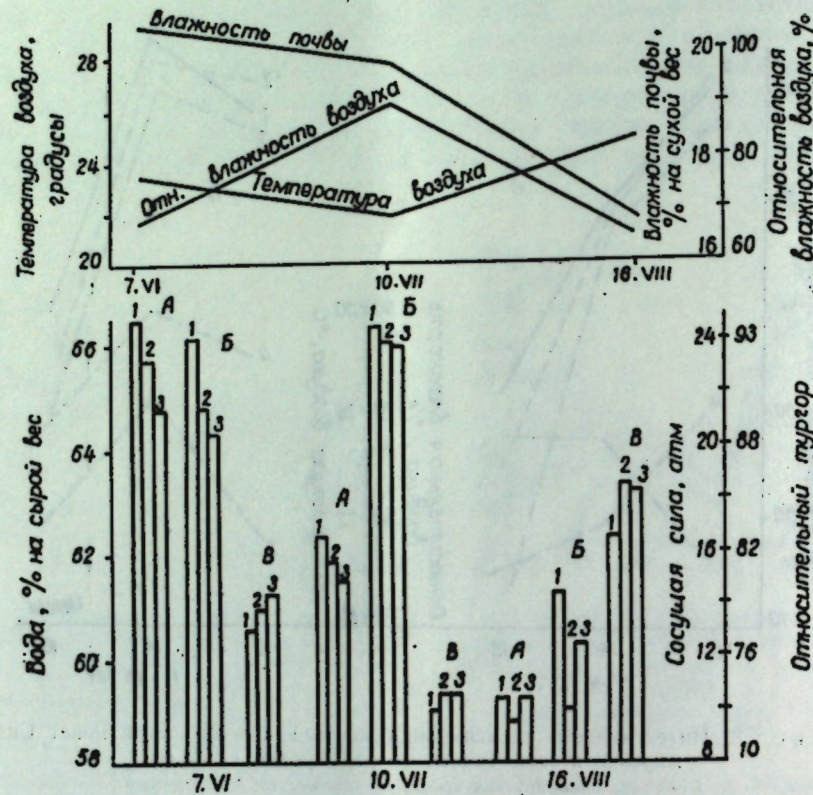


Рис. 4. Содержание воды (A), относительная тургоресцентность (B) и сосущая сила листьев яблони (B) сорта Ренет Симиренко при разных способах формирования кроны (1972 г.):

1 — разреженно-ярусная крона, 2 — пальметта, 3 — веретено

троле составляла 13,0, в июле — 10,0, в августе — 17,96 атм. У деревьев этого сорта с формой кроны итальянская пальметта сосущая сила равнялась соответственно 13,28; 10,48; 18,50 атм, а с формой кроны плоское веретено — 14,31; 10,48; 18,24 атм. Аналогичные изменения наблюдались у деревьев сорта Вагнера призывное.

Уменьшение величины сосущей силы листьев яблони в первой декаде августа объясняется более высокой относительной влажностью воздуха и понижением его температурой, что обусловлено выпадением осадков перед проведением исследований.

Деревья с плоской формировкой более чувствительно реагируют на снижение влажности почвы, увеличивая сосущую силу тканей листа. При благоприятных факторах среды сосущая сила листьев плоских формировок приближается к сосущей силе листьев разреженно-ярусной кроны.

Существует обратная зависимость между сосущей силой листьев

и относительной их тургоресцентностью. С увеличением влажности почвы и снижением напряженности внешних условий тургоресцентность листьев возрастает, а сосущая сила падает и, наоборот. Мы наблюдали снижение относительной тургоресцентности листьев к концу вегетации одновременно со снижением оводненности и повышением их сосущей силы. В этот период отмечено также уменьшение влажности почвы.

Так, у сорта Ренет Симиренко в контроле тургоресцентность листьев составляла в июне 93,5%, а в середине августа всего 79,6% (рис. 4, Б). Оводненность листьев уменьшилась с 66,4 до 59,2% (рис. 4, А). Влажность почвы за это время снизилась с 20,5% (на абсолютно сухой вес) до 16,8%, а сосущая сила возросла с 13,0 до 17,98%. Аналогичные результаты получены по остальным формировкам этого сорта и по сорту Вагнера призывное. У деревьев с плоским типом кроны сосущая сила несколько выше, а тургоресцентность ниже по сравнению с контролем.

Таким образом, при затрудненном водоснабжении, возникшем в результате изменений естественной ориентации побегов, растения вырабатывают новый механизм регуляции водообмена, который проявляется в повышении водоудерживающей способности тканей листа, уменьшении интенсивности испарения воды. Поддержание оптимальной тургоресцентности листьев связано в какой-то мере с более высокой сосущей силой клеточного сока.

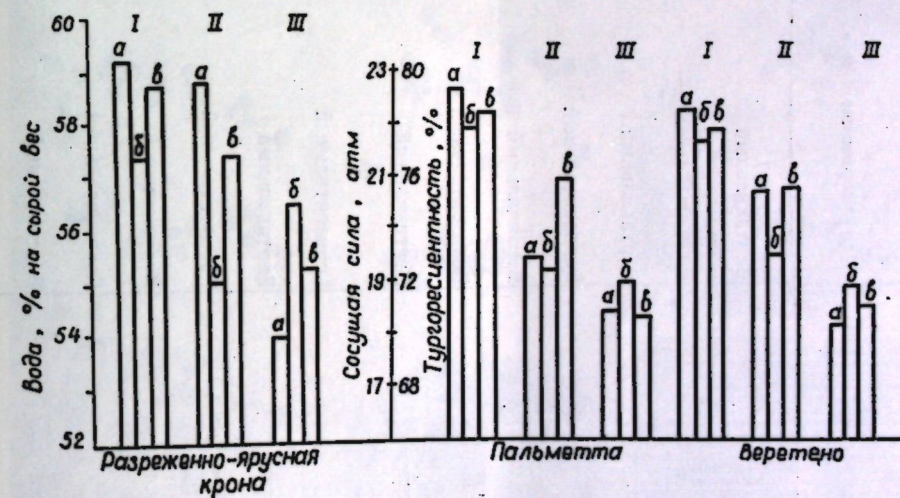


Рис. 5. Содержание воды (I), относительная тургоресцентность (II) и сосущая сила (III) листьев яблони сорта Ренет Симиренко в течение дня в зависимости от формы кроны (1972 г.):

a — 8 час. 30 мин. — температура воздуха 23,5°, относительная влажность воздуха 72%; b — 14 час. 30 мин. — температура воздуха 28,4°, относительная влажность воздуха 50%; δ — 18 час. 30 мин. — температура воздуха 24,4°, относительная влажность воздуха 78%.

Наблюдения за состоянием водного режима деревьев в течение дня показали, что по мере повышения температуры воздуха и снижения относительной его влажности к полудню, снижается степень оводненности листьев (рис. 5, I), и связанный с ней тургор. Это приводит к повышению величины сосущей силы листьев (рис. 5, II). К вечеру (18 час. 30 мин.) одновременно со снижением температуры воздуха и повышением его относительной влажности содержание воды в

Показатели водного режима листьев яблони по длине побега в зависимости от его направления (1972 г.)

Показатели водного режима	Время проведения анализа	Направление побега	13. VI			5.-VII			9. VIII		
			осно- вание побега	сер- дина	вер- хушка	осно- вание	сер- дина	вер- хушка	осно- вание	сер- дина	вер- хушка
Содержание воды, %	До завядания	Вертикальный	65,3	67,9	68,8	61,9	63,1	63,7	59,0	62,2	60,0
	"	Горизонтальный	64,3	67,7	68,8	61,3	62,5	62,7	58,5	61,6	59,8
Дефицит насыщения, %	До завядания	Вертикальный	12,7	14,1	17,7	8,3	9,3	11,8	12,8	11,4	12,2
	"	Горизонтальный	13,4	14,7	18,0	12,6	14,1	14,5	15,0	13,9	15,1
После завядания	Вертикальный	-	-	-	-	25,0	19,9	18,4	28,1	25,2	22,9
	"	Горизонтальный	-	-	-	24,0	18,4	16,0	27,2	23,6	22,2
Относительная тургор- сцентность, %	До завядания	Вертикальный	87,3	85,9	82,3	91,7	90,7	88,2	87,2	88,6	87,8
	"	Горизонтальный	86,6	87,3	82,0	87,4	85,9	85,5	85,0	87,1	84,9
После завядания	Вертикальный	-	-	-	-	75,0	81,0	81,6	71,9	74,8	77,1
	"	Горизонтальный	-	-	-	76,0	81,0	84,0	72,8	76,4	77,8
Через 2 часа	Вертикальный	34,2	23,6	16,1	13,3	11,0	10,3	29,4	22,7	25,4	
Водоудерживающая способность (потеря воды в % к первоначальному содержанию ее в листке)	Горизонтальный	25,2	17,2	13,2	11,5	8,6	8,7	22,1	17,2	20,0	
Через 4 часа	Вертикальный	52,0	42,8	27,4	27,6	18,4	15,4	48,6	40,2	40,7	
	Горизонтальный	47,6	34,3	24,5	24,6	16,2	15,0	39,5	31,0	35,0	

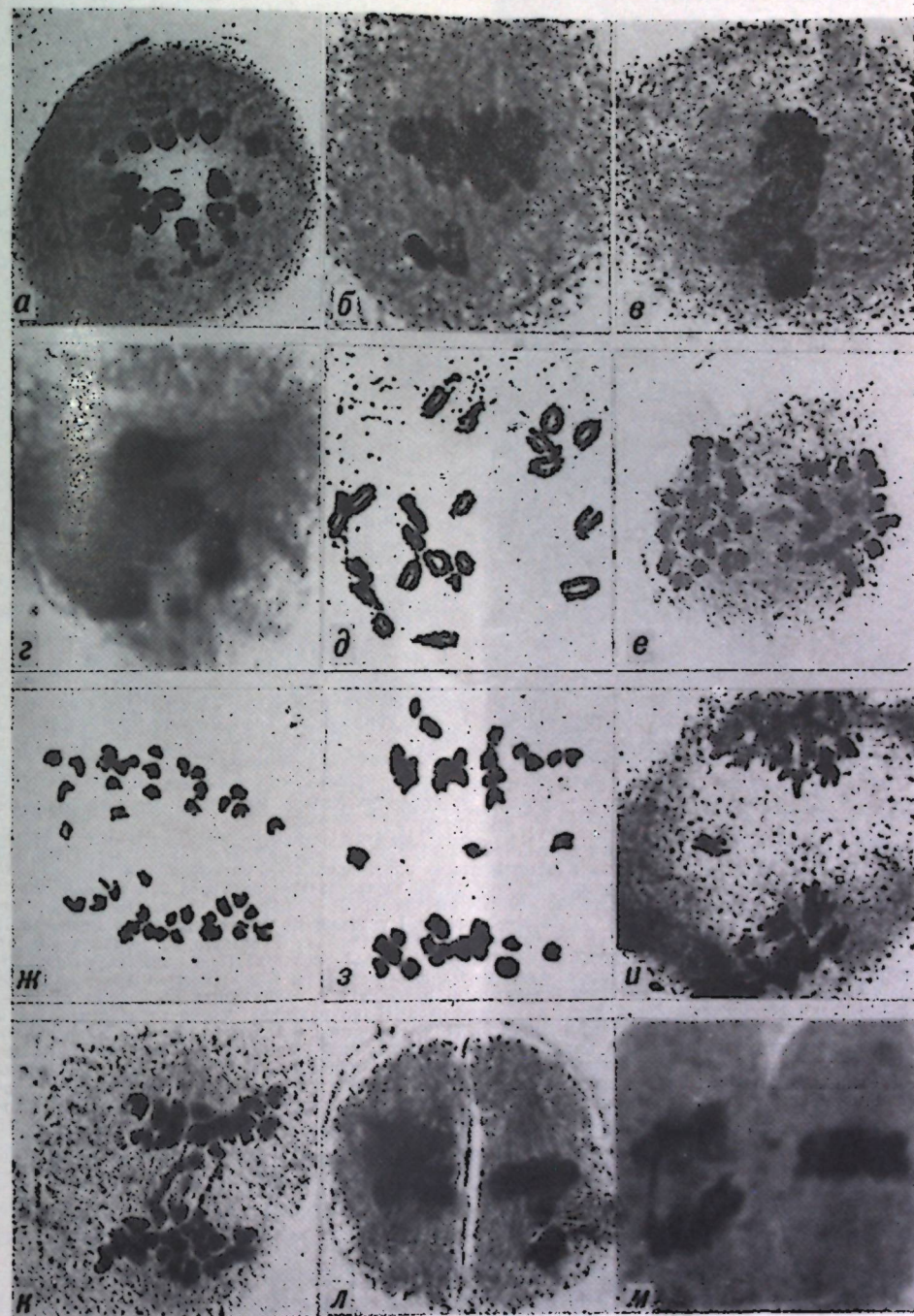


Рис. 6

Вкл. к статье М. М. Гончарюк, стр. 37

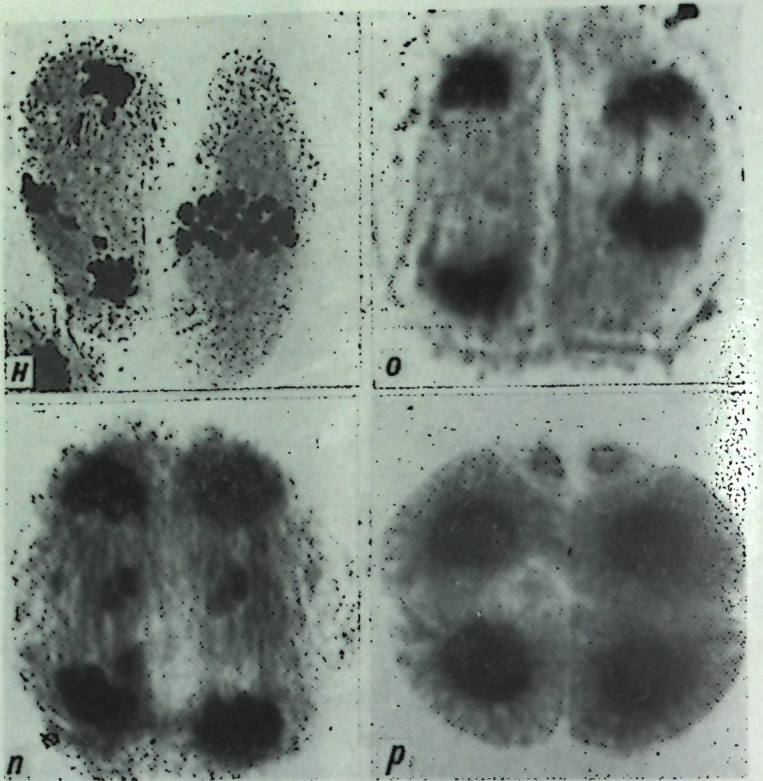


Рис. 6. Нарушения в мейозе у сортов и гетерозиготных мутантов мягкой озимой пшеницы:

*a* — метафаза I у исходного сорта Скороспелка 3, 17° и 8'; *b* — метафаза I у гетерозиготной формы № 5; биваленты, не вставшие в метафазную пластинку; *c* — метафаза I у гетерозиготной формы № 25; хромосомы, отброшенные за пределы веретена; *d* — метафаза I с трехполюсным веретеном у скверхеда, полученного из сорта Безостая I; *e* — метафаза I у скверхеда, полученного из сорта Безостая I, 20° и 1'; *f* — анафаза I у скверхеда трисомика сорта Безостая I; на одном полюсе 21 хромосома, на другом — 22; *g* — анафаза I спельтоида моносомика; на одном полюсе 21 хромосома, на другом — 20; *h* — анафаза I спельтоида; на полюсах по 19 хромосом, а на экваторе три делящиеся униваленты; *i* — телофаза I у скверхеда трисомика, на экваторе делящаяся унивалентная хромосома; *j* — анафаза I у компактоида из формы № 49 — незаконченная терминализация хназм; *k* — метафаза II компактоида из сорта Скороспелка 3 с отстающей группой хромосом; *l* — анафаза II у гетерозиготной формы № 5; асинхронность деления, мост хромосомный; *m* — анафаза II у гетерозиготной формы № 25; асинхронность деления, трехполюсное веретено, отстающие хромосомы; *n* — анафаза II у гетерозиготной формы № 5; асинхронность деления, хромосомный мост; *o* — анафаза-телофаза II с отстающими хромосомами у компактоида, полученного из формы № 49; *p* — гексада у компактоида сорта Скороспелка 3.

листьях и их тургор повышаются, что приводит к снижению сосущих силы тканей листа (рис. 5, III). Аналогичные результаты получены Кушниренко с сотр. [9] у деревьев яблони с обычной кроной в условиях вегетационного домика. Наблюдаемые изменения в течение дня происходят у растений обоих сортов и у всех типов формировок. Больше содержат воды и интенсивнее ее теряют в период напряженности внешних факторов листья деревьев в контроле. В связи с этим у них резче снижается тургоресцентность и возрастают сосущие силы. Содержание воды в листьях сорта Ренет Симиренко в контроле колеблется в следующих пределах: 8 час. 30 мин. — 59,2%; 14 час. 30 мин. — 57,9%; 18 час. 30 мин. — 58,7%. Тургоресцентность листьев меняется соответственно — 79,6; 72,0; 76,9%, а сосущие силы характеризуются следующими величинами — 17,96; 20,49; 19,24 атм. В листьях деревьев этого сорта с формой кроны итальянская пальметта показатели водного режима в течение дня изменяются таким образом: вода — 58,8; 58,0; 58,3%; тургор — 73,0; 72,6; 76,0%; сосущие силы — 18,50; 19,0; 18,30 атм. Подобные изменения происходят в листьях деревьев этого сорта в форме плоского веретена. У деревьев всех формировок сорта Вагнера призовое наблюдаются аналогичные явления. Следовательно, меньшая потеря воды при напряженности внешних факторов листьями растений с плоскими формировками обеспечивает тургоресцентность клеток, и является приспособительной реакцией на затрудненное водоснабжение при отгибании побегов.

Известно, что наклон ветвей при формировании плоских крон приводит к завершению ростовых процессов на 15—30 дней раньше [1], чем в сферических кронах, что, видимо, связано с иным состоянием водообмена листьев по длине побега. Нами были изучены некоторые стороны водного режима листьев яблони в течение вегетации по длине естественно растущего побега (в сферической кроне) и побега отогнутого (в плоской кроне — пальметта) на сорте Вагнера призовое. Показатели водного режима определяли в листьях разных частей побега: у основания, середины и верхушки однолетнего прироста.

Листья разных ярусов кроны дерева неравнозначны как по своему морфологическому и анатомическому строению, так и по физиологобиохимическим свойствам. Различная удаленность листьев от корня, метеорологические условия, в которых они находятся, оказывают влияние на водный режим растений [6, 7, 8].

Полученные нами данные показывают (см. таблицу), что градиенты распределения воды в листьях по длине как вертикальных побегов, так и горизонтальных в основном идентичны, т. е. содержание воды в них возрастает от основания побега к его верхушке. Лишь в конце вегетации больше воды содержат листья средней части обоих типов побегов. Темпы снижения воды в листьях горизонтальных побегов выше, что указывает на более интенсивное прохождение фаз развития у деревьев с плоским типом кроны.

Удаление листьев от основания побега к его верхушке сопровождается возрастанием дефицита насыщения клеток водой и снижением относительной их тургоресцентности. После трехчасового завядания листьев градиент возрастания дефицита насыщения идет в обратном направлении — от верхушки побега к его основанию, а увеличение тургоресцентности — от основания к верхушке. Это подтверждает различные качественные свойства листьев по длине побега и обуславливает неодинаковую реакцию на изменившиеся условия. Листья различных ярусов побега обладают неодинаковой способностью удерживать воду. Градиент увеличения водоудерживающей способности воз-

растает от основания побега к его верхушке; поэтому в процессе завядания больше теряют воды листья нижней и средней части побега, чем верхней, что способствует возрастанию дефицита насыщения клеток водой в обратном направлении и вызывает соответствующие изменения относительной их тургоресцентности. Причем водоудерживающая способность листьев всех ярусов вертикальных побегов ниже, чем у горизонтальных. Так, разница в водоудерживающей способности листьев нижних и верхних ярусов вертикальных побегов после двухчасового завядания составляла 3.VI — 18,1; 5.VII — 3,0; 9.VIII — 4,0%; после четырехчасового завядания соответственно — 24,6; 12,2; 8,1%, а листьев горизонтальных побегов в те же сроки после двухчасового завядания — 12,0; 2,8; 2,1%; после четырехчасового завядания — 23,1; 9,6; 4,5%.

Следовательно, различные по возрасту листья по длине как вертикальных побегов, так и горизонтальных обладают неодинаковым уровнем водообмена, что, видимо, объясняется различной интенсивностью обмена веществ. Более высокая напряженность водного режима в течение вегетации наблюдается у листьев по длине горизонтальных побегов, по сравнению с естественно растущими, что является приспособительной реакцией на те изменения, к которым приводит отклонение побегов.

Искусственное изменение направлений ветвей при формировании плоских крон, вызывая перестройку направленности и регуляции процессов обмена веществ и водного режима, резко сокращает возрастные периоды жизни растений. Это проявляется в раннем вступлении деревьев в пору плодоношения и быстром нарастании урожайности. Так, деревья сорта Ренет Симиренко с разреженно-ярусной кроной на шестом году жизни дали в среднем по 5,5 кг с дерева. Одновозрастные деревья этого сорта, сформированные по типу итальянской пальметты, — по 33,2 кг с дерева, а по типу веретена — 18,4 кг. Сорт Вагнера при зовое характеризуется следующими показателями: разреженно-ярусная крона — 26 кг с дерева, пальметта — 42,8 кг, плоское веретено — 30,4 кг. Высокая урожайность деревьев с плоскими кронами способствует повышению экономической эффективности садов.

### Выводы

Таким образом, формирование деревьев яблони по типу плоских крон снижает доступ воды в растения и в то же время способствует возникновению физиологических механизмов регуляции водообмена, которые проявляются в повышении водоудерживающей способности листьев и снижении расходования воды в процессе транспирации.

Деревья с плоскими кронами более чувствительны к снижению содержания воды в почве, что приводит к падению тургоресцентности клеток листа и возрастанию сосущей силы.

Изменение естественной ориентации побегов при формировании плоских крон, сопровождаясь напряженностью процессов водообмена, способствует повышению урожайности деревьев яблони.

### ЛИТЕРАТУРА

- Белецкая Д. К. Рост и продуктивность яблони на различных подвоях при выращивании в плоских и сферических формах. Автореф. канд. дисс. Нальчик, 1971.
- Гриненко В. В., Белецкая Д. К. Ж. «Садоводство, виноградарство и виноделие Молдавии», № 12, 53—51, 1970.
- Жулавская М. Н., Батыр Р. А., Андрущенко Д. П. В сб.: Водный режим растений при различной влагообеспеченности. Кишинев, изд-во «Штиница», стр. 9—23.
- Жучков Н. Г. Ж. «Сад и огород», № 8, 1946.
- Завалко Л. Б. Физиологические особенности яблони на сильнорослых подвоях. Автореф. канд. дисс. Краснодар, 1967.
- Куширенко М. Д. Физиологические особенности возрастной изменчивости кроны плодового дерева. Кишинев, изд-во «Штиница», 1962.
- Куширенко М. Д. Водный режим и засухоустойчивость плодовых растений. Кишинев, изд-во «Карта Молдовенейска», 1967.
- Куширенко М. Д. В сб.: Биологические основы орошаемого земледелия. М., Изд. АН СССР, 1957.
- Куширенко М. Д. с сотр. Методы изучения водного обмена и засухоустойчивости плодовых растений. Кишинев, РИО АН МССР, 1970.
- Куширенко М. Д., Крюкова Е. В., Балмуш Г. Т. В сб.: Водный режим культурных растений. Кишинев, изд-во «Штиница», 1971; стр. 3—18.
- Курчатова Г. П., Крюкова Е. В., Балмуш Г. Т. Известия АН МССР, Серия биол. и хим. наук, № 3, 81—82, 1970.
- Копылов Н. И., Тимошенко С. Я. Ж. «Садоводство, виноградарство и виноделие Молдавии», № 12, 1970.
- Шульгин И. А. Солнечная радиация и растения. Л., 1967.
- Шишкану Г. В. Фотосинтез яблони. Кишинев, изд-во «Штиница», 1973.
- Fergusov I. H. Involed van orientatie en vorm van boomhagen op de hoeveelheid op gevangen staling Wageningen, 199, 1963.

## ГЕНЕТИКА РАСТЕНИЙ

УДК 632.071:612.014.44

М. М. ГОНЧАРЮК

### НЕКОТОРЫЕ ОСОБЕННОСТИ МЕЙОЗА У ГЕТЕРОЗИГОТНЫХ МУТАНТОВ МЯГКОЙ ОЗИМОЙ ПШЕНИЦЫ\*

Индукционный мутагенез позволяет селекционерам и генетикам интенсифицировать мутационный процесс у разных культурных растений [2, 3, 5]. Дальнейший успех в этой области зависит от наличия способов, повышающих выход жизнеспособных мутантов, обладающих одновременно хозяйственными качествами [3].

В лаборатории физиологии формообразования Института физиологии и биохимии растений АН МССР установлено, что солнечная радиация, характерная для больших значений высоты стояния солнца над горизонтом с одновременным исключением солнечной радиации при низких значениях солнцестояния, является мутагенным фактором [6—8]. Выращивание исходных сортов пшениц в течение двух последовательных генераций при этом режиме солнечной радиации приводит к возникновению в их потомстве гомозиготных и гетерозиготных мутантов [8].

В настоящей статье изложены результаты изучения мейотического деления у индуцированных этим фактором гетерозиготных мутантов. Интерес к этому вопросу обусловлен тем, что отдельные гетерозиготные мутанты отличаются повышенным уровнем спонтанной мутабильности, в результате чего их потомство представлено популяцией новых гомозиготных и гетерозиготных мутантов [8].

#### Материалы и методика

Мейоз изучали у сортов мягкой озимой пшеницы Безостая I, Скороспелка 3, Одесская 3, а также у форм № 49, 1 и 5в. Параллельно исследовались и полученные из них гетерозиготные мутанты: скверхеды, компактоиды и спельтоиды. Мейоз изучали в метафазе I, анафазе-тeloфазе I, метафазе II, анафазе-тeloфазе II и на стадии тетрад. Колосья фиксировали в измененном фиксаторе Карниуа (абсолютный спирт, ледяная уксусная кислота в соотношении 3:1) с последующей промывкой 70° спиртом. Временные давленные препараты окрашивали пропионо-лакмидом [4].

#### Результаты и их обсуждение

Мейоз у исходных сортов Безостая I, Одесская 4, а также у константных форм № 1 и 5в осуществляется нормально [1]. Графически ход мейоза у этих исходных пшениц по фазам показан на рис. 1.

\* Работа выполнена на мутантах, переданных нам чл.-корр. АН МССР К. В. Морару.

2 и 5. У сорта Скороспелка 3 мейоз осуществляется с незначительным количеством нарушений (рис. 3). В основном это появление унивалентных хромосом в метафазе I (рис. 6, а). В первом делении встречается также незначительное (0,58%) количество клеток с трехполлярным ве-

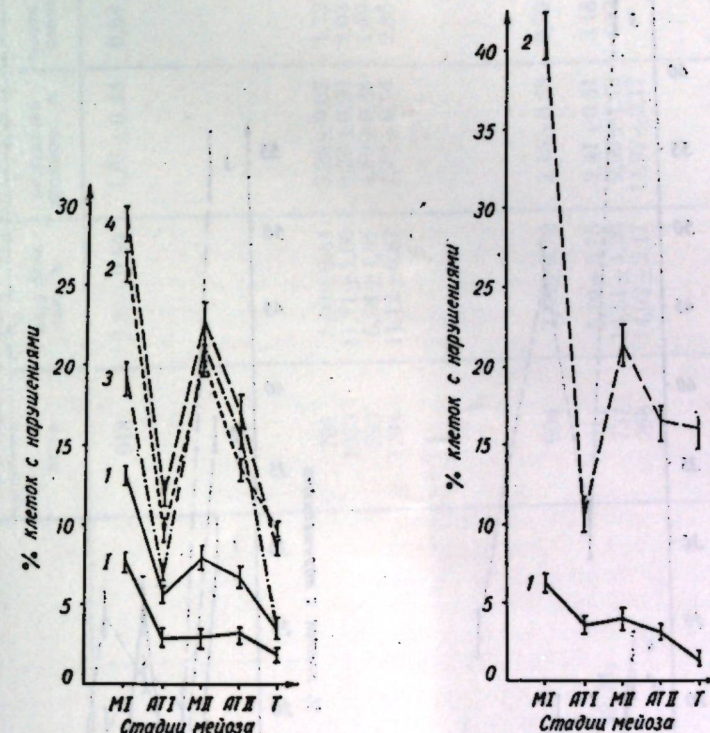


Рис. 1. Ход мейоза:  
1 — Безостая I (исходный сорт), II — потомство скверхеда; 1 — растения с признаками исходного сорта Безостая I  $M_1-M_5$ , 2 — скверхед  $M_3-M_5$ , 3 — спельтоид  $M_1-M_5$ , 4 — гетерозиготная форма № 25  $M_1-M_5$ .

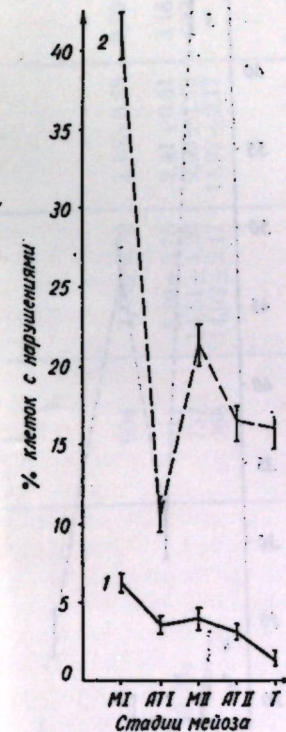


Рис. 2. Ход мейоза:  
1 — форма № 1; 2 — спельтоид выщепившийся в потомстве формы № 1 M<sub>1</sub>

ретеном. Во втором делении к нарушениям относятся: отставание хромосом и асинхронность деления. В отдельные годы встречаются единичные анафазы-тeloфазы II, для которых характерны хромосомные мости, трехполлярные веретена и т. д. Пентады встречаются очень редко (1 клетка из 1293 МКП на стадии тетрад).

У исходной формы № 49 материнские клетки микроспор с нарушениями в метафазе первого деления (рис. 4) составляли 8,9%. В остальных фазах аномальных клеток значительно меньше (табл. 1, 2, 3). Мейотических клеток с трехполюсными веретенами не встречали. В основном же типы нарушений здесь те же, что и у остальных исходных сортов.

У константных линий исходных сортов и форм мягкой озимой пшеницы, выращиваемых в условиях изоляции при высоте солнцестояния 22° и выше, в  $M_1+M_2$  возникает некоторое количество гетерозиготных макромутантов типа компактоидов и скверхедов [6]. От исходных сор-

тов они отличаются высотой и толщиной стеблей, строением, размерами, плотностью и озерненностью колосьев и другими признаками. Потомство этих мутантов расщепляется.

Во всех изученных нами поколениях ход мейоза у таких макро-

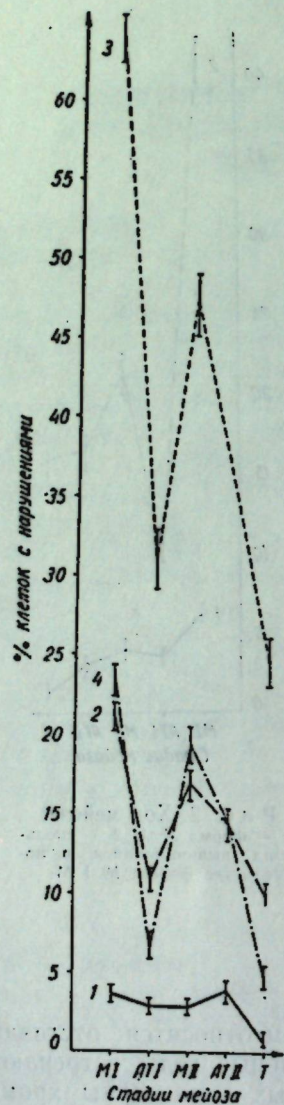


Рис. 3. Ход мейоза:  
1 — Скороспелка 3 (исходный сорт), 2 — компактоид  $M_5$ .  
Потомство спельтоида: 3 — спельтоид  $M_3$ , 4 — компактоид  $M_3$ .

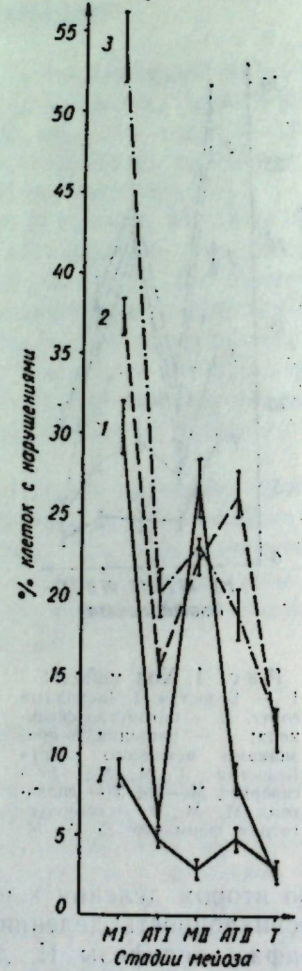


Рис. 4. Ход мейоза:  
1 — исходная форма № 49,  
2 — потомство компактоида:  
3 — потомство с признаками исходной формы № 49  
 $M_3-M_5$ , 4 — спельтоид  
 $M_3-M_5$

мутантов осуществляется с более существенными нарушениями, чем у соответствующих исходных сортов. Так, у компактоидов и скверхедов сортов Безостая I и Скороспелка 3 в мейозе первого деления встречается 5—7% клеток с нарушениями в организации веретена — трехполлярность (рис. 6, г). По-видимому, из таких клеток выживает незна-

Таблица 1

Нарушения в мейозе у гетерозиготных мутантов мягкой озимой пшеницы (анафаза-телофаза I)

Год	Название пшеницы	ЛКП в АТ-1		Типы нарушений в АТ-1		
		всего	с нарушениями, %	оставшиеся хромосомы, %	мости хромосом, %	трехполюрные веретена, %
1970	Безостая I — исходный сорт	918	2,38 ± 0,50	1,85 ± 0,43	0,54 ± 0,22	—
		701	5,00 ± 0,81	3,28 ± 0,67	1,72 ± 0,48	0,39 ± 0,17
		1033	11,71 ± 1,00	9,29 ± 0,90	2,03 ± 0,43	—
		593	6,58 ± 1,01	4,89 ± 0,86	1,69 ± 0,51	0,54 ± 0,20
		1294	11,12 ± 0,87	7,72 ± 0,74	2,86 ± 0,45	—
1970	Форма № 49 — исходная пшеница	694	3,33 ± 0,72	2,15 ± 0,58	0,99 ± 0,40	—
	Потомство скверхеда: растения с признаками исходного сорта $M_3$	911	5,59 ± 0,75	2,41 ± 0,51	3,18 ± 0,57	0,27 ± 0,18
	скверхед $M_3$	737	14,51 ± 1,26	9,90 ± 1,10	4,33 ± 0,74	—
	компактоид $M_3$	268	14,92 ± 2,17	14,92 ± 2,17	—	—
1972	Форма № 5в — исходная пшеница	516	2,32 ± 0,66	0,96 ± 0,42	1,36 ± 0,50	—
	Потомство компактоида: растения с признаками исходной формы № 49 $M_3$	300	13,00 ± 1,94	9,00 ± 1,93	4,00 ± 1,13	—
	спельтоид $M_3$	460	10,65 ± 1,43	9,56 ± 1,36	1,09 ± 0,48	—
	гетерозиготная форма № 25 $M_3$					

Таблица 2

Нарушения в мейозе (анафаза-тенофаза II) у гетерозиготных мутантов мягкой озимой пшеницы

Год	Название пшеницы	МКП в АТ-II				Типы нарушений в АТ-II			
		всего	с нарушениями, %	асинхронность деления, %	оставание хромосом, %	мости хромосомные, %	трехполюсные веретена, %		
1970	Безостая I — исходный сорт	624	2,08 ± 0,56	0,96 ± 0,38	1,12 ± 0,41	—	—	—	—
	Потомство скверхеда: растения с признаками исходного сорта $M_3$ скверхед $M_3$ спельтоид $M_3$ гетерозиготная форма № 25 $M_3$	316 313 327 300	9,18 ± 1,62 22,04 ± 2,34 18,65 ± 2,15 16,66 ± 2,14	5,06 ± 1,23 6,70 ± 1,41 6,42 ± 1,35 6,00 ± 1,37	0,95 ± 0,53 15,01 ± 2,01 12,23 ± 1,81 9,00 ± 1,65	3,17 ± 0,98 — — 0,66 ± 0,46	0,63 ± 0,44 — — 1,00 ± 0,57		
1970	Форма № 49 — исходная пшеница Потомство компактоида: растения с признаками исходной формы $M_3$ компактоид $M_3$ спельтоид $M_3$	382	4,97 ± 1,10	1,57 ± 0,63	3,40 ± 0,92	—	—	—	—
		393 335 300	3,56 ± 0,93 12,53 ± 1,80 22,33 ± 2,40	1,52 ± 0,61 3,28 ± 0,97 10,66 ± 1,78	1,52 ± 0,61 8,05 ± 1,48 8,66 ± 1,63	0,50 ± 0,34 1,19 ± 0,59 1,33 ± 0,65			
1972	Форма № 5в — исходная пшеница Форма № 5 растения с признаками формы № 5в, выщепившиеся из формы № 5 $M_1$	350 300 600	3,42 ± 0,96 14,33 ± 2,02 11,67 ± 1,30	1,71 ± 0,69 3,00 ± 0,98 5,00 ± 0,88	1,71 ± 0,69 7,00 ± 1,47 5,66 ± 0,93	4,00 ± 1,13 — 1,00 ± 0,57			

чительное количество, поскольку на стадии тетрад нарушения типа пентад составляют всего 0,23%. У макромутантов этого типа, полученных из сорта Скороспелка 3, пентады составляют 1—2%.

У скверхедов, полученных из формы № 49, в отдельные годы также наблюдаются материнские клетки пыльцы (МКП) с трехполюсными веретенами. Следует заметить, что нарушения этого типа у исходной для них формы № 49 не наблюдались.

Кроме нарушения в организации веретена, у компактоидных и скверхедных мутантов имеются и другие нарушения хода мейоза. В метафазе первого деления это униваленты. В анафазе I неодинаковое число хромосом на полюсах: на одном 21, а на другом — 22 (рис. 6, e). В телофазе I присутствуют клетки с отстающими хромосомами, которые, как правило, делятся эквационно (рис. 6, u). Для анафазы-тенофазы I характерны также и клетки с мостами, чаще хромосомными и с незаконченной терминализацией хиазм (рис. 6, к). В метафазе второго деления нарушения, в основном, сводятся к отставанию хромосом (рис. 6, л); а у компактоидного мутанта, полученного из сорта Скороспелка 3, также трехполюсные веретена, как и в метафазе первого деления. Кроме отмеченных нарушений, во втором мейотическом делении у всех мутантов типа компактоидов и скверхедов наблюдались клетки с асинхронным делением и с отстающими хромосомами (табл. 2).

На стадии тетрад у рассматриваемых типов мутантов наблюдается тенденция к нормализации хода мейоза (рис. 1, 3, 4; табл. 3), однако у всех мутантов этой группы в большем количестве, чем у исходных сортов, обнаружены тетрады с микроядрами. У компактоидного мутанта сорта Скороспелка 3 в незначительном количестве всегда наблюдалась пентады (до 2,3%), а в отдельные годы и гексады (0,17%) (рис. 6, р). У компактоидных и скверхедных мутантов, полученных из других сортов и форм, нарушения такого типа встречаются реже.

Будучи гетерозиготным, потомство компактоидов и скверхедов расщепляется. При этом в нем, кроме растений соответствующего типа мутантов и растений с признаком исходных пшениц, в отдельных случаях появляются спельтоиды, а также различные промежуточные формы.

В свою очередь спонтанные спельтоиды, например сорта Безостая I и формы № 1 расщепляются на растения с признаками исходного сорта, спельтоиды и часто на промежуточные формы [8].

Спельтоиды же, возникшие в потомстве скверхедов формы № 49, паряду с отмеченными выше типами выщепляют в своем потомстве и скверхеды [8]. Это свидетельствует о наличии здесь мутации типа дупликаций-нехваток [10]. Различия по количеству нарушений в мейозе между скверхедами, выщепившимися в потомстве скверхедов, и скверхедами, выщепившимися в потомстве спельтоидов, не наблюдаются (рис. 3; табл. 4). Вместе с тем между ними существенны различия по морфологическим признакам. Так, скверхеды, выщепившиеся в потомстве спельтоидов, более высокорослы и более тонкостебельны, чем скверхеды, выщепившиеся в потомстве скверхедов [8].

Влияние генотипа исходных пшениц прослеживается и в отношении морфологических признаков спельтоидов. Так, спельтоиды, появляющиеся в потомстве скверхедов в отличие от спельтоидов, выщепившихся в потомстве спельтоидов, имеют более низкую и более толстую соломину. Колосковые чешуи менее жесткие; колос легче обмолачивается.

У всех спельтоидных мутантов мейоз осуществляется также с су-

Таблица 3

## Нарушения в мейозе на стадии тетрад у гетерозиготных мутантов мягкой озимой пшеницы

Год	Название пшеницы	МКП на стадии тетрад				Типы нарушений	
		всего	с нарушениями, %	терады с микрорадами, %	пентады, %		
1970	Безостая I — исходный сорт	1133	2,57 ± 1,46	2,39 ± 0,44	0,18 ± 0,10		
	Потомство скверхеда: растения с признаками исходного сорта $M_3$ , скверхед $M_3$ компактоид $M_3$ спельтоид форма № 25 $M_3$	335 888 411 1365	4,16 ± 1,09 14,64 ± 1,18 4,62 ± 1,03 9,89 ± 0,80	3,58 ± 1,01 14,41 ± 1,17 4,62 ± 1,03 8,78 ± 0,76	0,60 ± 0,41 0,23 ± 0,14 — 1,18 ± 0,29		
1970	Форма № 49 — исходная пшеница Потомство компактоида: растения с признаками исходной формы № 49 $M_3$ , компактоид $M_3$ спельтоид $M_3$	490	2,75 ± 0,81	2,50 ± 0,82	0,25 ± 0,24		
		442 601 390	1,35 ± 0,54 8,15 ± 1,11 22,56 ± 2,41	1,35 ± 0,54 8,15 ± 1,11 22,33 ± 2,40	— — 0,33 ± 0,33		
1972	Форма № 5в — исходная пшеница Гетерозиготная форма № 5 растения с признаками исходной формы № 5 $M_1$ , формы № 5 $M_1$	300 300 600	1,33 ± 0,65 8,00 ± 1,56 9,66 ± 1,20	1,33 ± 0,65 7,00 ± 1,47 9,66 ± 1,20	1,00 ± 0,57		

Форма № 5в — исходная пшеница  
Гетерозиготная форма № 5  
растения с признаками исходной формы № 5  $M_1$ ,  
формы № 5  $M_1$

Таблица 4

## Нарушения в мейозе у гетерозиготных мутантов мягкой озимой пшеницы (анафаза-телефаза I)

Год	Название пшеницы	МКП в АТ-I		Типы нарушений в АТ-I		
		всего	с нарушениями	остающие хромосомы	мости хромосомные	трехполюсные веретена
1972	Скороспелка 3 — исходный сорт	359	3,62 ± 0,98	3,62 ± 0,98	—	—
	Компактоид $M_5$	350	11,71 ± 0,74	4,57 ± 1,05	4,00 ± 1,04	3,14 ± 0,91
1972	Потомство спельтоида: спельтоид $M_3$ компактоид $M_3$	450 300	28,44 ± 2,12 6,33 ± 1,40	27,33 ± 2,10 4,00 ± 1,26	0,44 ± 0,30 2,33 ± 0,74	0,66 ± 0,38

щественными нарушениями (табл. 1—4, рис. 1—4). Хромосомы у таких мутантов ведут себя неодинаково, даже если мутанты получены из одного и того же сорта. Так, у спельтоида ( $M_5$ ) из Безостой 1 в метафазе I (рис. 6, д) и анафазе I обнаружено 20 бивалентов и 1 унивалент (рис. 6, ж), а у другого спельтоида — № 11 ( $M_2$ ) того же сорта в анафазе I на полюсах отмечено по 19 хромосом, а на экваторе — три отстающих унивалента (рис. 6, з). Последние, как правило, на экваторе делятся (рис. 6 см. на вклейке, стр. 33).

Касаясь отличий между гетерозиготными мутантами типа скверхедов и спельтоидов, полученных из одного и того же исходного сорта, следует отметить, что для скверхедов характерно наличие более 42 хромосом, в то время как для спельтоидов — наличие 41 хромосомы.

Таким образом, нашими данными подтверждается существующее мнение о том, что скверхеды являются мутантами, возникающими в результате увеличения числа хромосом или дупликации по хромосоме 5A [11, 12], а спельтоиды являются следствием мутаций типа нехватки по хромосоме 5A или моносомии по этой хромосоме [9, 10, 12].

Растения с признаками исходных сортов, выщепившиеся в потомстве скверхедов, компактоидов и других гетерозиготных мутантов, по морфологическим признакам практически не отличаются от константных растений исходных пшениц. Вместе с тем мейоз у них, особенно в метафазе первого и второго деления, осуществляется с нарушениями (табл. 1—3; рис. 1, 4, 5). По-видимому, именно поэтому в потомстве таких растений количество спонтанно возникающих мутантов больше, чем у контрольных растений.

Таким образом, у растений с признаками исходных сортов и форм, выщепившихся в потомстве гетерозиготных мутантов, формообразовательный процесс может идти интенсивнее, чем у контрольных.

Изучен также мейоз и у двух гетерозигот-

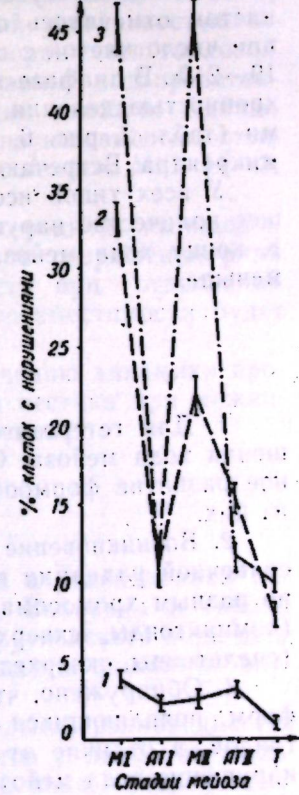


Рис. 5. Ход мейоза:  
1 — исходная форма № 5в  $M_2-M_5$ ; 2 — гетерозиготная форма № 5в  $M_2-M_5$ ; 3 — растения с признаками исходной формы № 5в, выщепившейся в потомстве формы № 5  $M_1$ .

ных мутантных форм № 25 и 5. Первая из них выделена в потомстве компактоидного мутанта, полученного из сорта Безостая 1. Форма № 25 представляет собой карликовый мутант, отличающийся от Безостой 1 прежде всего меньшей высотой стебля, меньшей продуктивностью колоса и урожайностью, а также низкими технологическими качествами муки [8].

В метафазе первого деления формы № 25 клетки с нарушениями составляют 25—29% (рис. 1 и 6, в). В анафазе-тeloфазе I на полюсах обнаружено неодинаковое число хромосом (20 и 21). Во втором делении — асинхронность деления; трехполюсные веретена, мости, отставание хромосом (рис. 6, н). Около 8,5% тетрад имеют микроядра (табл. 3).

Ход мейоза у гетерозиготной формы № 5 (исходная пшеница — гомозиготная мутантная форма 5в, полученная из сорта Одесская 3) осуществляется также при значительных нарушениях (рис. 5). В метафазе первого деления имеют нарушения 25—41% клеток. Причем 19—36% клеток в этой фазе имеют хромосомы, не вставшие в метафазную пластинку (рис. 6, б). К остальным нарушениям относятся клетки с хромосомами, отброшенными за пределы веретена. Заметим, что такого типа нарушения не наблюдались ни у исходной формы № 5в, ни у исходного для последней сорта Одесская 3. В анафазе-тeloфазе I у 2—4% клеток мутанта № 5 обнаружены хромосомные мости; у 7—9% клеток отмечалось отставание хромосом (табл. 1). Во втором делении число клеток с отстающими хромосомами в метафазе II достигает 19—21%. В анафазе-тeloфазе II к нарушениям относятся клетки с асинхронностью деления, отстающими хромосомами, хромосомными мостами (табл. 2, рис. 6, м, о). На стадии тетрад около 7% клеток имеют микроядра. Встречаются единичные пентады, гексады.

У всех типов исследованных нами гетерозиготных мутантов большое количество нарушений характерно для метафазы первого деления. К концу хода мейоза количество клеток с нарушениями значительно меньше.

### Выводы

1. Для гетерозиготных мутантов характерны существенные нарушения хода мейоза. Очевидно, это явление и обусловливает интенсивное развитие формообразовательного процесса в потомстве некоторых из них.

2. Возникновение гетерозиготных мутантов в результате действия солнечной радиации высокого солнцестояния обусловлено моносомией по разным хромосомам (спельтоиды, карлик 25 и др.), гетероплоидней (компактоиды, скверхеды), нарушениями типа нехваток, дупликаций (спельтоиды, скверхеды).

3. Обнаружено, что для растений с признаками исходных сортов и форм, появляющихся в потомстве компактоидов, скверхедов и спельтоидов, в отличие от контрольных растений характерно значительное нарушение хода мейоза.

### ЛИТЕРАТУРА

- Гончарюк М. М. Известия АН МССР. Серия биол. и хим. наук, № 3, 47—52, 1974.
- Густафсон А. С.-х. биология, т. III, № 1, 26—37, 1968.
- Зоз Н. Н. Сб.: Мутационная селекция, М., изд-во «Наука», 1968, стр. 5—10.
- Каптарь С. Г. Цитология и генетика, № 4, 87—90, 1967.

- Можаева В. С.; Лапченко Г. Д. Второй съезд ВОГиС им. Н. И. Вавилова. 31 января — 5 февраля 1972 г. Пленарные заседания. Тезисы докладов. М., изд-во «Наука», 1972, стр. 188—189.
- Морару К. В. Известия АН МССР, Серия биол. и хим. наук, № 3, 14—17, 1971.
- Морару К. В. Докл. I Всес. научной конф. по возобновляемым источникам энергии. Вып. 3, М., изд-во «Энергия», 1972, стр. 34—42.
- Морару К. В. Биологические и хозяйствственные особенности мутантов мягкой озимой пшеницы. Автореф. докт. Ленинград, 1972.
- Эйгес Н. С. Генетика, т. VII, № 6, 11—24, 1971.
- Mac. Key J. — Hereditas, 40, N 1—2, 65—180, 1954.
- Muramatsu M. Genetica, 48, 468—481, 1963.
- Zshege Sh. Z. Pflanzenzücht., 49, N 2, 122, 1963.

УДК 635.64:631.527

А. Н. КОСОВА, В. Н. КИКУ, Н. Н. ЗАГИНАИЛО

### О НЕСОВМЕСТИМОСТИ КУЛЬТУРНОГО ТОМАТА С ДИКИМ ВИДОМ *LYCOPERSICON PERUVIANUM* MILL.

Дикий вид *Lycopersicon peruvianum* Mill. обладает рядом хозяйствственно-ценных признаков: высоким содержанием сухих веществ, витамина С и каротина в плодах, а также повышенной устойчивостью ко многим грибным и вирусным болезням, почти не поражается галловой нематодой [3—10, 16, 17, 18, 20, 21]. Поэтому указанный вид представляет собой ценную исходную форму для селекции томатов. Однако практическое использование дикого вида затруднено несовместимостью при скрещивании его с культурным томатом *L. esculentum* Mill. [1—3, 7, 9, 11, 15, 17—19 и др.].

В связи с этим взаимоотношения между чужеродной пыльцой и тканями пестика представляют особый интерес для разрешения ряда вопросов, связанных с проблемой несовместимости при отдаленной гибридизации. Выяснение отдельных причин несовместимости будет способствовать ее преодолению.

В настоящей работе обобщены данные по изучению динамики прорастания пыльцы на рыльце и в тканях столбика пестика при межвидовом, внутривидовом и внутрисортовом скрещиваниях.

### Материалы и методика

Для гибридизации взяты используемые нами в селекционной работе сорта культурного томата: Тепличный 200, Вайнквии и гибрид Немакросс, а также две разновидности дикого перувианского вида *dentatum* и *humifusum*. Проводились следующие варианты опыления: внутрисортовое, внутривидовое и межвидовое.

С целью изучения взаимодействия между пыльцой разновидностей дикого томата и тканями пестика культурных сортов и, наоборот, пыльцы культурного томата с тканями пестика дикого вида, предварительно опыленные завязи фиксировали через 1, 2, 3, 4, 6, 8, 10, 12, 24 часа после опыления. Исследуемый материал фиксировали в смеси Карниза 3 : 1 — по 10 пестиков каждого варианта опыления. Фиксированный таким образом материал исследовали по методике Кхо и Байера [12]. Кроме того, пыльцу указанных двух разновидностей дикого вида

и сортов культурного томата проращивали на искусственной питательной среде (0,7% агар-агаре, 15% сахарозы и следы 0,01%-ного раствора борной кислоты).

Длину пыльцевых трубок измеряли окуляр-микрометром сначала через каждый час, затем через два и 24 часа после начала прорастания. Математическую обработку данных проводили вариационно-статистическим методом [14].

## Результаты и их обсуждение

На искусственной питательной среде пыльца сортов культурного томата начинала прорастать раньше и росла интенсивнее, чем у разновидностей дикого вида. Так, у сорта Тепличный 200 начало прорастания пыльцы отмечено через 40 минут после посева, в то время как у *vag. humifusum* — через 70 мин. после посева (табл. 1).

### Таблица 1

## Скорость прорастания пыльцы томатов на искусственной питательной среде

Сорт, разновидность	Начало прорастания пыльцы после посева (время в минутах)	Проросших пыльцевых зерен через 24 часа после посева, %
Вайнквин	45	67,5
Немакросс	45	49,5
Тепличный 200	40	58,8
<i>L. peruvianum</i> var. <i>dentatum</i> Dun.	75	43,7
<i>L. peruvianum</i> var. <i>humifusum</i>	70	39,5

Более быстрое и интенсивное прорастание пыльцы культурного томата в сравнении с разновидностями дикого перувианского вида, по-видимому, можно объяснить лучшей приспособленностью культурного томата к искусственным условиям произрастания.

Пыльца, нанесенная на рыльце цветка при внутривидовом и внутристоротовом скрещиваниях, в естественных условиях начала прорастать через полтора часа после опыления, а при межвидовом — через час. Длина пыльцевых трубок через час после опыления в наших опытах колебалась от 4,0 до 38,6 мк (табл. 2).

На рыльцах цветков гибрида Немакросс пыльца разновидностей дикого вида росла быстрее и интенсивнее, чем пыльца сортов Вайнквин и Тепличный 200. Так, через час после опыления длина пыльцевых трубок *vag. dentatum* на рыльцах гибрида Немакросс составляла 20,7 мк, а *vag. humifusum* — 38,6 на рыльцах сорта Тепличный 200 соответственно — 10,3 и 6,7 мк. Процент проросших пыльцевых зерен разновидностей дикого томата составлял 15,8 и 16,0 на рыльцах Немакросса, а на рыльцах сорта Тепличный 200 — 4,6 и 3,6 (табл. 3).

При внутривидовом скрещивании пыльца дикого вида var. *humifusum* росла более быстро, чем пыльца var. *dentatum*.

Торможение роста пыльцевых трубок в тканях пестика растений *vag. dentalatum* наблюдалось в течение первых четырех часов после опыления. Это свидетельствует о том, что влияние самонесовместимости у *vag. dentalatum* проявляется уже в тканях рыльца и верхней части столбика пестика.

При нанесении пыльцы *var. dentatum* на рыльца цветков сорта Вайнквии и гибрида Немакросс также наблюдалось торможение роста

11

### Длина пыльцевых трубок - через (часы)

Вариант скрещивания	Длина пыльцевых трубок — через (часы)									
	1	2	3	4	6	8	10	12	24	
Вайниккин, внутрисортовое скрещивание	0	66,8±4,0	82,9±5,6	86,1±6,2	86,7±5,4	134,1±6,6	210,0±12,0	273,2±11	460,0±12	
Вайниккин $\times$ <i>L. peruvianum</i> var. <i>humifusum</i> Dun.	17,5±1,3	30,9±1,5	37,5±2,2	56,0±7,3	70,5±4,4	99,5±4,0	133,0±7,0	160,2±8,3	504,8±21	
Вайниккин $\times$ <i>L. peruvianum</i> var. <i>humifusum</i>	4,0±0,3	46,9±4,1	58,4±5,0	66,0±5,4	152,5±10	174,5±11,0	193,6±12,0	263,3±1,7	395,0±17	
Немакросс, внутрисортовое	0	42,2±2,5	44,2±4,9	85,0±5,0	115,6±5,9	177,9±2,7	277,5±15,0	434,6±5,4	572,4±11,0	
Немакросс $\times$ <i>L. peruvianum</i> var. <i>dentalium</i> Dun.	20,7±1,6	47,9±2,2	49,4±4,2	63,5±4,5	79,7±6,0	80,4±4,3	116,5±3,7	198,6±9,4	427,9±12,0	
Немакросс $\times$ <i>L. peruvianum</i> var. <i>humifusum</i>	38,6±1,4	46,3±3,2	84,0±5,5	85,8±6,8	150,6±8,7	203,7±10,8	216,6±4,0	233,7±17,8	599±11	
Геличный 200, внутрисортовое	0	26,4±6,0	44,3±2,8	64,3±3,5	198,6±9,0	239,0±7,5	238,5±7,0	297,2±13,0	536,1±1,5	
Геличный 200 $\times$ <i>L. peruvianum</i> var. <i>dentalium</i> Dun.	10,3±0,4	55,6±3,7	73,0±5,9	89,0±3,9	102,2±3,9	110,0±5,1	135 ± 6,1	178,4±7,0	433±2,7	
Геличный 200 $\times$ <i>L. peruvianum</i> var. <i>humifusum</i>	6,7±0,5	33,6±2,3	44,2±3,6	53,0±4,1	85,9±6,1	144,9±9,7	147 ± 7,0	158,5±4,8	468±21,0	
<i>L. peruvianum</i> var. <i>dentalium</i> Dun. (BBC)	0	39,9±3,1	40,2±2,0	44,3±4,1	69,0±0,4	86,1±5,0	114,0±7,0	162,9±9,0	497,5±21	
<i>L. peruvianum</i> var. <i>humifusum</i> (BBC)	0	51,9±2,5	69,6±6,3	101,2±3,6	116,2±8,3	151,8±7,0	192,0±11,0	197,6±6,3	469,0±11	

пыльцевых трубок, но в промежутке между 2—3 часами после опыления. При скрещивании var. *humifusum* с этими формами торможение роста пыльцевых трубок отмечено несколько позднее — через 3—4 часа после нанесения пыльцы на рыльце. В тканях пестика расте-

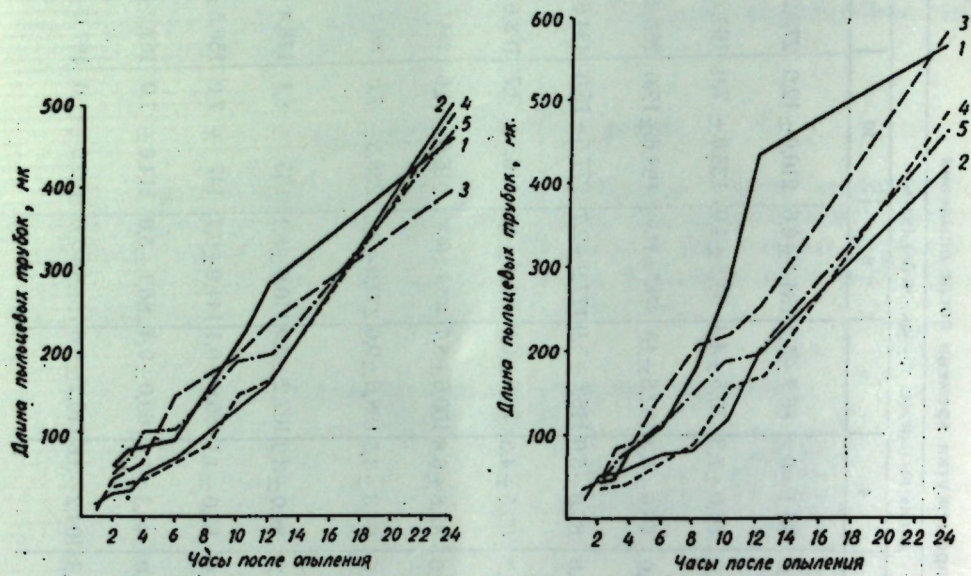


Рис. 1. Скорость роста пыльцевых трубок в тканях пестика в зависимости от варианта опыления:

- 1 — Вайнквинн, внутрисортовое.
- 2 — Вайнквинн  $\times$  *L. peruvianum* v. *dentalatum* Dun. межвидовое.
- 3 — Вайнквинн  $\times$  *L. peruvianum* v. *humifusum* межвидовое.
- 4 — *L. peruvianum* v. *dentalatum* Dun. внутристортоное.
- 5 — *L. peruvianum* v. *humifusum* внутристортоное.

Рис. 2. Скорость роста пыльцевых трубок в тканях пестика в зависимости от варианта опыления:

- 1 — Немакросс, внутристортоное,
- 2 — Немакросс  $\times$  *L. peruvianum* v. *dentalatum* Dun. межвидовое,
- 3 — Немакросс  $\times$  *L. peruvianum* v. *humifusum* межвидовое,
- 4 — *L. peruvianum* v. *dentalatum* Dun. внутристортоное,
- 5 — *L. peruvianum* v. *humifusum* внутристортоное

ний сорта Тепличный 200 торможение роста пыльцевых трубок var. *humifusum* отмечено между 8 и 12 часами после опыления. Скорость роста пыльцевых трубок различных разновидностей представлена графически на рис. 1, 2, 3.

Таким образом, самонесовместимость у *L. peruvianum* v. *dentalatum* Dun. и несовместимость его с культурным томатом в условиях нашего опыта проявляется на самых ранних этапах скрещивания, то есть в период прорастания пыльцы в тканях рыльца.

Интенсивность роста пыльцы на рыльце сортов культурного томата, за исключением гибрида Немакросс, при внутристортоном скрещивании более высокая, чем у изучаемых разновидностей дикого томата при внутристортоном опылении (табл. 3).

Процент проросших пыльцевых зерен var. *humifusum* на рыльцах гибридов Вайнквинн и Немакросс (табл. 3) значительно меньший (29,5 и 39,6), чем var. *dentalatum* (46,5 и 39,9). При опылении цветков сорта Тепличный 200, наоборот, пыльца первой разновидности растет более интенсивно, чем пыльца второй. Это свидетельствует о том, что на степень проявления несовместимости культурного томата с разновидностями перувианского определенное влияние оказывает генотип культурного сорта. Судя по интенсивности прорастания пыльцы разновид-

ностей дикого томата в тканях рыльца и столбика пестика культурных сортов можно предполагать, что несовместимость при скрещивании с var. *humifusum* в большинстве случаев проявляется сильнее, чем при скрещивании с var. *dentalatum*.

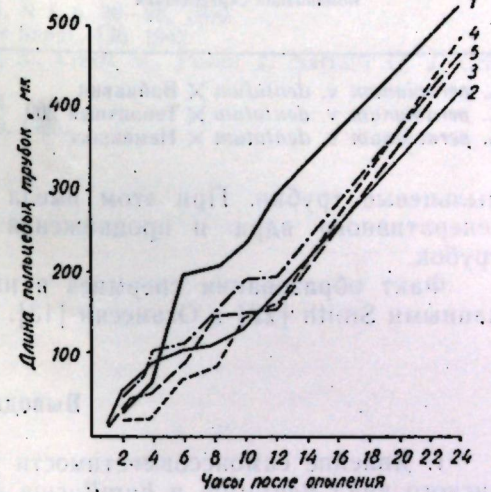


Рис. 3. Скорость роста пыльцевых трубок в тканях пестика в зависимости от варианта опыления:

- 1 — Тепличный 200, внутристортоное,
- 2 — Тепличный 200  $\times$  *L. peruvianum* v. *dentalatum* Dun. внутристортоное,
- 3 — Тепличный 200  $\times$  *L. peruvianum* v. *humifusum* внутристортоное,
- 4 — *L. peruvianum* v. *dentalatum* Dun. внутристортоное,
- 5 — *L. peruvianum* v. *humifusum* внутристортоное

При опылении цветков var. *dentalatum* Dun. пыльцой сортов культурного томата наблюдается также торможение роста пыльцевых трубок в тканях рыльца и столбика пестика. Так, начало роста пыльцы в этом варианте скрещивания отмечено только через 8—10 часов после опыления (табл. 4). На рыльце разновидности *dentalatum* быстрее проросла пыльца гибрида Немакросс. Через сутки после опыления длина пыльцевых трубок в различных комбинациях скрещивания дикого томата с культурным составила всего лишь 10,3—21,7 мк. Дальнейший рост их практически прекращался.

При межвидовом скрещивании, особенно при опылении дикого перувианского томата var. *dentalatum* пыльцой культурного, наблюдалась частые аномалии в росте пыльцевых трубок: образование каллозных пробок, ветвление, извилистый, бессистемный рост их в тканях столбика пестика. Кроме того, при внутристортоном и межвидовом опылении отмечена задержка выхода вегетативного и генеративного ядер в

Таблица 3  
Интенсивность роста пыльцы на рыльце в зависимости от варианта опыления

Сорт. комбинация, разновидность	% проросших пыльцевых зерен на рыльце через (часы)	
	1	2
Вайнквинн (BBC)	0	45,0
Вайнквинн $\times$ <i>L. peruvianum</i> v. <i>dentalatum</i> Dun.	11,0	46,5
Вайнквинн $\times$ <i>L. peruvianum</i> v. <i>humifusum</i>	4,2	29,5
Немакросс (BCC)	0	39,0
Немакросс $\times$ <i>L. peruvianum</i> v. <i>dentalatum</i>	15,8	39,9
Немакросс $\times$ <i>L. peruvianum</i> v. <i>humifusum</i>	16,0	35,6
Тепличный 200 (BBC)	0	75,0
Тепличный 200 $\times$ <i>L. peruvianum</i> v. <i>dentalatum</i>	4,6	30,6
Тепличный 200 $\times$ <i>L. peruvianum</i> v. <i>humifusum</i>	3,6	35,2
<i>L. peruvianum</i> v. <i>dentalatum</i> (BBC)	0	41,4
<i>L. peruvianum</i> v. <i>humifusum</i> (BBC)	0	38,1

Размеры пыльцевых трубок культурного томата в тканях столбика пестика  
*L. peruvianum* var. *dentalatum* Dun.

Комбинация скрещивания	Длина пыльцевых трубок ( $\mu\text{m}$ ) через определенный промежуток времени после опыления (часы)			
	8	10	12	24
<i>L. peruvianum</i> v. <i>dentalatum</i> × Вайнквин	—	6,1 ± 0,2	9,0 ± 0,1	10,3 ± 1,0
<i>L. peruvianum</i> v. <i>dentalatum</i> × Тенлициный 200	—	4,1 ± 1,0	14,7 ± 0,2	15,5 ± 2,0
<i>L. peruvianum</i> v. <i>dentalatum</i> × Немакросс	5,9 ± 0,8	6,2 ± 0,3	11,0 ± 0,3	21,7 ± 2,0

пыльцевые трубки. При этом имела место также задержка деления генеративного ядра и продвижения спермиев по длине пыльцевых трубок.

Факт образования спермиев в пыльцевых трубках согласуется с данными Smith [22] и Оганесян [13].

### Выводы

1. Явление самонесовместимости у разновидностей дикого перуанского вида *dentalatum* и *humifusum* в условиях нашего опыта наблюдалось в тканях рыльца и столбика пестика.

2. Несовместимость культурного томата с разновидностями дикого вида при реципрокных скрещиваниях проявляется в период прорастания пыльцы на рыльцах и в тканях столбика пестика.

3. В большей степени несовместимость проявляется, когда в качестве материнской формы используются разновидности *L. peruvianum* Mill. В данном случае наблюдалось наиболее выраженное торможение и аномалии роста пыльцы и пыльцевых трубок.

### ЛИТЕРАТУРА

1. Асфарова-Рябова О. И. Тр. Каменно-Степной селекционно-опытной станции, вып. I, 1937.
2. Борковская В. А. Тр. Каменно-Степной селекционно-опытной станции, вып. I, 1937.
3. Батыгина Т. Б. Методы преодоления нескрещиваемости культурного вида томата *L. esculentum* с дикими видами *L. peruvianum* Mill. и *L. hirsutum* H. B. etn и поведение гибридов первого и второго поколений. Автореф. канд. дисс. Ленинград, 1954.
4. Брежнев Д. Д., Батыгина Т. Б. Тр. по прикл. ботанике, генетике и селекции, т. 31, вып. I, 1954.
5. Брежнев Д. Д., Иванова К. В., Батыгина Т. Б. В сб.: Совещание по отдаленной гибридизации растений и животных, тезисы докл., вып. 2. М., 1958.
6. Жученко А. А., Андрющенко В. К., Самовол А. П., Балашова Н. Н. Тезисы докл. конф. «Пути повышения качества овощной продукции». Кишинев, 1973, стр. 83—86.
7. Жученко А. А., Балашова Н. Н., Андрющенко В. К. Тезисы докл. конф. «Пути повышения качества овощной продукции». Кишинев, 1973, стр. 121—126.
8. Жученко А. А., Андрющенко В. К., Балашова Н. Н., Самовол Л. П., Кручинина М. М., Грати В. Г., Сокова С. А. Тезисы докл. конф.: «Орошаемое земледелие и овощеводство», Кишинев, 1972, стр. 3.
9. Загинайло Н. Н., Косова А. И., Ивченко Н. М. В кн.: Овощеводство защищенного грунта. Кишинев, 1973.
10. Ивченко Н. М. Тезисы докл. конф. «Орошаемое земледелие и овощеводство». Кишинев, 1972, стр. 13.
11. Иванова К. В. Селекционное значение дикорастущих томатов. Канд. дисс., 1959.
12. Хо И., Байер Д. Ж. «Сельское хозяйство за рубежом», № 5, 40—42, 1969.
13. Оганесян М. Г. Биологический журнал Армении, т. XXI, № 3, 52—57, 1968.

14. Поморский Ю. Л. Вариационная статистика. Л., 1927.
15. Юрьева Н. А. Ж. «Сельское хозяйство за рубежом», № 1, 1973.
16. Георгиева Р., Молхова Ек. Изв. на научно-исследовательский институт по растениеводству, кн. XIII, София, 1962, стр. 19—51.
17. Георгиева Р. В кн. Симпозиум по отдаленной гибридизации растений. София, 1964, стр. 197—212.
18. Lesly M. M. Journal of heredity, v. 41, N 1, p. 26—28, 1950.
19. Alexander L. J. Plant Disease Reporter Suppl., 136, 1942.
20. Nettancourt D., Devreux M., Bozzini A., Cresti M., Pacini E., Sarfatti G. J. Cell. Sci., 12, N 2, 403—419, 1973.
21. Paul By, Smith A. Science, N 44, 1944.
22. Sztevn K. Euphitica, 14, 2, p. 209—216, 1965.

## МИКОЛОГИЯ И ВИРУСОЛОГИЯ

УДК 582.28:581.1:632.4

Н. С. ПОПУШОЙ, А. Д. ДЕШКОВА, Г. Л. ШАТРОВА,  
Р. Е. ДАВИДОВИЧ, Л. Д. БУЛНИСТРУ

### ОТНОШЕНИЕ ГРИБОВ *VERTICILLIUM* К ИСТОЧНИКАМ УГЛЕРОДНОГО ПИТАНИЯ

В настоящем сообщении приведены результаты исследований по изучению способности грибов *Verticillium* использовать источники углеродного питания и влиянию указанных источников на морфолого-культуральные особенности этих грибов.

Объектом исследований являлись грибы, выделенные в нашей лаборатории: *Verticillium dahliae* Kleb., *Verticillium nigrescens* Pethybr., *Verticillium albo-atrum* Reinke et Berth.

Грибы выращивали на жидких и агаризированных средах с различными источниками углерода. Указанные среды готовили на основе среды Чапека, в которую вводили в качестве источника углерода — глюкозу, сахарозу, лактозу, мальтозу, рафинозу, крахмал, глицерин, маннит и щавелевокислый натрий.

Вес различных источников углерода рассчитывали таким образом, чтобы количество последнего в 1 л среды было эквивалентно содержанию углерода в 30 г сахарозы. Все варианты опытов трехкратно повторялись. Контролем служила среда Чапека без углерода.

О способности исследуемых грибов усваивать указанные формы углерода судили по остаточному содержанию сахаров и сухому весу мицелия в жидких средах [1].

О влиянии названных источников углерода на морфолого-культуральные особенности изучаемых грибов судили по данным визуальных наблюдений за характером и интенсивностью роста мицелия и покоящихся стадий.

Таблица 1

Усвоение грибами рода *Verticillium* источников углерода (на 30-е сутки)

Источники углерода	Вес мицелия, мг		Количество сахара, оставшегося в фильтрате, мг	
	<i>V. nigrescens</i>	<i>V. dahliae</i>	<i>V. nigrescens</i>	<i>V. dahliae</i>
Глюкоза	77,9	30,9	10,123	11,743
Сахароза	67,2	31,2	14,452	15,507
Мальтоза	42,0	66,3	10,938	9,456
Рафиноза	52,0	36,9	7,581	8,991
Галактоза	29,3	76,9	8,580	19,621
Глицерин	68,9	42,6	6,509	7,811
Маннит	62,2	37,3	9,0	9,115
Щавелевокислый натрий	Роста нет	—	—	—
Пектин	—	—	—	—
Танин	—	—	—	—
Крахмал	75,9	40,1	Не обнаружено	—
Без углерода (контроль)	Роста нет	—	—	—

Таблица 2

Влияние различных источников углерода на морфолого-культуральные признаки грибов рода *Verticillium*

Виды грибов	Источники углерода	Характеристика колоний			Формы покоящихся стадий	Сроки образования покоящихся стадий, дни		
		рост мицелия в баллах (30 дней)	диаметр колоний, мм					
			за 10 дней	за 30 дней				
1	2	3	4	5	6	7		
<i>V. albo-atrum</i>	Глюкоза	Хорошо развиты, с негруженным и высоким пушистым мицелием	Белый	3,5×4	6,8×7,1	3,8	Хламидоспоры и дауэрмицелий	13
	Сахароза	Хорошо развиты, с негруженным, слегка приподнятым, пушистым мицелием	Белый	1,5×2	5×5	2,8	—	13—14
	Лактоза	Хорошо развиты, сморщеные, кожистые	Белый	3,7×4,5	9,2×9,2	3	—	—
	Мальтоза	Хорошо развиты, с обильным воздушным мицелием	Серовато-белый	3×3	8×8	3	—	13—14
	Рафиноза	Хорошо развиты, с обильным воздушным мицелием	Белый	2,5×3	7×7	2	—	23—24
	Крахмал	Хорошо развиты, с обильным воздушным мицелием	Белый	3,3×5	6×6	3	Хламидоспоры и дауэрмицелий	11
	Глицерин	Хорошо развиты, складчатый, кожистый мицелий	Серо-коричневый	4,8×5	7,5×7,5	4	Только хламидоспоры	13—14
	Маннит	Хорошо развиты, с полостью погруженным мицелием	Молочно-прозрачный	3,8×3	7×7	6	Хламидоспоры и дауэрмицелий	24
	Щавелевокислый натрий	Очень слабо развиты, с полостью погруженным мицелием	Бесцветно-прозрачный	0	0,5×0,5	0,5	—	—

Таблица 2 (продолжение)

1	2	3	4	5	6	7	8	9	10
<i>V. nigrescens</i>	Без углерода	Слабо развиты, с полностью погруженным паутинным мицелием	-	0	0,5×1	3×3,2	1	-	-
Глюкоза	Хорошо развиты, с плоским войлочным мицелием	Серо-белый	6	3,5×3,5	8×8	4	-	Хламидоспоры	11
Лактоза	Хорошо развиты, плоский войлочный, поздуший мицелий, хорошо развит, погружен	Коричнево-серый	5	5×5	8,5×8,5	-	-	-	8-9
Сахароза	Хорошо развиты, плоский войлочный, хорошо развит, погружен	Коричнево-серый	5	3,6×4,5	8,2×8,2	4	-	Хламидоспоры	10
Мальтоза	Хорошо развиты, погруженная часть мицелия хорошо развита	Коричнево-черный	6	5,8×6,5	8,5×9	5	-	-	11-12
Рафиноза	Хорошо развиты, с плоским муцинистым мицелием	Серо-белый	5	6,1×6,3	8×8	4	-	-	14
Крахмал	Хорошо развиты, слегка приподнята плосцевый мицелий	Серо-коричневый	6	5,3×5,7	8,1×8,1	4	-	-	14-15
Глицерин	Развиты очень хорошо, полностью погружен мицелий	Кремово-белый	5	5×5,2	7,5×7,5	5	-	-	12-13
Маннит	Очень слабо развиты, полностью погружен мицелий	Молочно-прозрачный	6	4,5×4,5	9×9	6	-	-	19
Шавелево-кислый натрят	-	Бесцветно-прозрачный	0	1,5×1,5	1,5×1,5	3	-	-	-

Таблица 2 (продолжение)

1	2	3	4	5	6	7	8	9	10
<i>V. dahliae</i>	Без углерода	Слабо развиты, полностью погруженны, в виде листочеков мицелий	-	0	2×2,8	3×3,2	2	-	-
Глюкоза	Хорошо развиты, высокий, пушистый мицелий, погружен, высокий, пушистый мицелий	Белый	5	3,1×4,1	7,5×7,5	4,2	-	Микросклероции	12
Сахароза	Хорошо развиты, погружен, высокий, пушистый мицелий	Белый	6	2,3×4,3	9×9	3,6	-	-	29
Лактоза	Хорошо развиты, погружен, высокий, пушистый мицелий, погружен, высокий, пушистый мицелий	Серо-коричневый	6	4,1×5	7,5×7,5	3	-	Хламидоспоры от 5,5 до 11	12-13
Мальтоза	Хорошо развиты, погружен, высокий, пушистый мицелий, погружен, высокий, пушистый мицелий	Серый до черного	6	5,8×5,8	7,5×7,5	5	-	-	14-15
Рафиноза	Хорошо развиты, погружен, высокий, пушистый мицелий	Серовато-коричневый	6	6×6,5	7,5×7,5	5	-	Хламидоспоры от 5,5 до 11	16-17
Крахмал	Хорошо развиты, высокий, пушистый мицелий	Серо-коричневый	6	5,5×6,5	7,5×7,5	4	-	Микросклероции	13-14
Глицерин	Хорошо развиты, высокий, пушистый мицелий	Черно-серый	5	4×4,5	7,5×7,5	6	-	-	27
Маннит	Очень слабо развиты, полностью погруженный мицелий	Бесцветно-прозрачный	0	1×1,5	1×1,5	2	-	Отсутствует	-
Шавелево-кислый натрят	Без углерода	Слабо развит, полностью погруженный мицелий	0	1,5×1,5	1,8×1,8	1	-	Отсутствует	-

Оценку роста мицелия выражали в баллах: 0 — отсутствие роста, 1 — незначительный рост, 3 — средний рост и 6 баллов — обильный рост, 2, 4, 5 — баллы промежуточные.

Результаты определения содержания остаточного сахара у грибов *V. nigrescens* и *V. dahliae* приведены в табл. 1.

Как видно из данных табл. 1, оба гриба характеризуются широким диапазоном в использовании источников углеродного питания. Наиболее быстро усваивался крахмал. Через 30 дней после начала опыта он полностью отсутствовал в питательной среде; затем — глицерин, рафиноза, галактоза, манинит, глюкоза.

Определение сухого веса мицелия этих грибов показало, что они по-разному используют источники углерода. Наибольший сухой вес мицелия у *V. nigrescens* стменен на глюкозе, крахмале, глицерине и сахарозе, у *V. dahliae* — на галактозе, мальтозе.

Наблюдения за характером и интенсивностью роста мицелия, и покоящихся форм изучаемых грибов на плотных питательных средах проводили на 5, 10, 15 и 30-е сутки после начала опыта. При этом учитывались размер, цвет, характер колоний, суточный прирост, и время появления покоящихся стадий (табл. 2). Из данных таблицы видно, что все три вида грибов хорошо развиваются (с некоторыми различиями в предпочтении отдельных источников углерода) во всех вариантах опыта за исключением сред со щавелевокислым натрием и без углерода (рис. 1, см. вклейку, стр. 65).

У *V. albo-atrum* отмечается несколько запоздалое образование хламидоспор на рафинозе и манините, у *V. nigrescens* — на манините. Что касается *V. dahliae*, то последний при хорошем росте на сахарозе образует микросклероции только на 29-й день, на глицерине и манините — на 27-й.

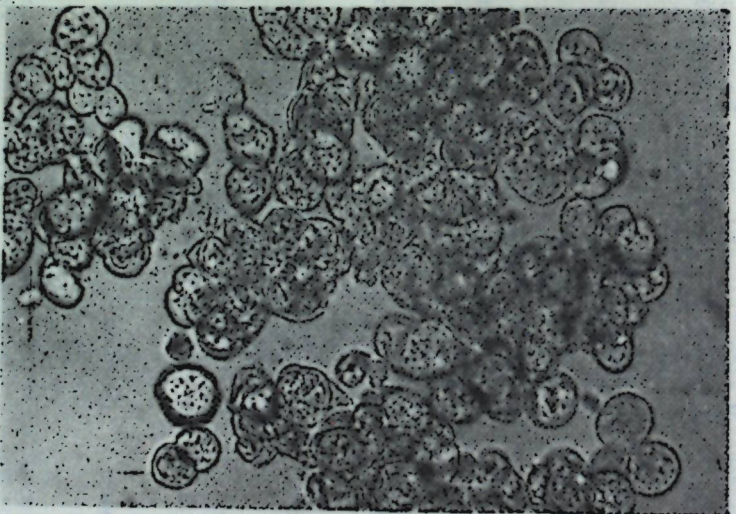


Рис. 2. *Verticillium albo-atrum* Reinke et Berth. Распавшийся, одиоподобный мицелий на среде со щавелевокислым натрием

В отличие от *V. albo-atrum* и *V. nigrescens*, образующих характерные для них покоящиеся формы, *V. dahliae* на средах с лактозой, мальтозой, рафинозой и крахмалом вместо микросклероциев образует нетипичные для него хламидоспоры ( $5,5 \times 11 \text{ мк}$ ).

Совершенно непригодными для роста и развития всех изучаемых грибов оказались среды со щавелевокислым натрием и без углерода.

Колонии месячных культур изучаемых грибов на этих средах едва достигали 8—10 мм в диаметре. При микроскопировании выявлено, что мицелий грибов скудный, распавшийся на отдельные группы клеток (рис. 2). Покоящихся стадий не наблюдалось. На остальных средах мицелий грибов был без изменений.

Полученные данные показывают, что различия в источниках углеродного питания слабо влияют на морфолого-культуральные особенности изучаемых грибов. Во всех вариантах опыта указанные грибы, за исключением *V. dahliae*, развивали сходные, но характерные для каждого вида, морфологические структуры. Следовательно, изучаемые нами грибы характеризуются широким диапазоном в выборе источников углеродного питания, что, возможно, в какой-то степени определяет их широкую специализацию.

#### ЛИТЕРАТУРА

- Ермаков А. И., Арасимович В. В., Смирнова-Иконникова М. М., Яроши Н. П., Луковников Г. А. Методы биохимического исследования растений. Л., изд-во «Колос», 1972.

## МИКРОБИОЛОГИЯ

УДК 631.847.211:8.095.337

В. И. САБЕЛЬНИКОВА, Ф. А. ТЕРЕХОВА, Г. П. ПОТЯКА, М. М. ВОЛОСКОВА,  
А. А. АРСЕНЬИ, А. С. ЖИЖИНА

### ВЛИЯНИЕ НИТРАГИНА И МОЛИБДЕНА НА ПРОДУКТИВНОСТЬ ГОРОХА В МОЛДАВИИ

В Молдавской ССР при посеве зернобобовых нитрагин и молибден не применяются. Однако многочисленные литературные данные свидетельствуют об эффективности этих приемов во многих почвенно-климатических зонах Советского Союза и за рубежом [4, 5, 6, 7, 8, 18, 19, 20].

В настоящей статье приводятся результаты исследований по эффективности обработки семян гороха нитрагином и молибденом в условиях Молдавии. Горох — ведущая культура среди зернобобовых в республике, занимает 56—66% площади, отведенной под их посевы (в последние 5—6 лет они составляют 42—54 тыс. га). Кроме того, он используется в качестве высокобелкового компонента в смешанных посевах с другими культурами для производства зеленого корма и сена и является одним из лучших предшественников для посева многих сельскохозяйственных растений. Таким образом, повышение продуктивности гороха в условиях Молдавской республики проводится в соответствии с решением общей задачи, поставленной XXIV съездом КПСС, о повышении урожайности всех зерновых культур.

Изучение эффективности нитрагина в Молдавии показало, что в зависимости от физико-химических свойств почв, погодных условий гороха, особенностей агротехники, сорта растений, результаты от инокуляции получаются разные [15, 17]. Наряду со значительным повышением урожая и улучшением его качества, отмечались случаи, когда положительного действия от этого приема не наблюдалось, или оно было незначительным и недостоверным.

Большой эффект от нитрагинизации кормовых сортов гороха был получен на слабо- и сильносмытых черноземах республики, где этот прием можно рассматривать как одно из мероприятий, способствующих повышению плодородия этих почв и снижению эрозии. На эродированных участках при нитрагинизации увеличилось накопление зеленой массы на 14,9—29,5%, повысилось содержание и вынос сырого протеина, накопление нитратов в почве.

Эффективность нитрагина изучалась и на зерновом сорте гороха в различных районах республики, характеризующихся различными типами и подтипами почв [15]. В ряде случаев инокуляция повышала урожай зерна до 3,5—3,9 ц/га. Особенно высокий эффект отмечен на серых лесных почвах, на которых совместное использование нитрагина и суперфосфата давало до 7 ц/га прибавки урожая зерна, при этом увеличивалось накопление зеленой массы и содержание азота в ней (на 0,5—0,8%). Однако на некоторых почвах повышение урожая от нитрагинизации было незначительным, а иногда совсем не наблю-

Таблица 1  
Влияние молибдена и нитрагина на урожай гороха на черноземах карбонатных Центральной зоны Молдавии

Вариант	Год	Зеленая масса		Зерно	
		урожай, ц/га	отклонение от контроля, %	урожай, ц/га	отклонение от контроля, %
<i>Научно-экспериментальная база АН МССР</i>					
Контроль	1971	124	—	17,8	—
Нитрагин		128	3,2	18,1	1,7
Обработка семян Mo (0,5%)		135	8,8	18,9	6,1
Контроль	1972	125	—	18,3	—
Нитрагин + Mo (0,5%)		133	6,2	19,3	5,0
Обработка семян Mo (0,5%)		158	26,4	20,1	9,8
Контроль	1973	104	—	24,6	—
Нитрагин		111	6,6	23,3	4,7
Нитрагин + Mo (0,5%)		123	18,4	29,8	21,1
<i>Учебно-опытное хоз-во КСХИ им. М. В. Фрунзе (Кетросы, Новоаненский район)</i>					
Контроль	1972	127	—	16,6	—
Обработка семян Mo (0,3%)		125	—	21,0	26,5
Контроль	1973	198	—	29,3	—
Нитрагин		176	1,9	33,5	1,2
Обработка семян Mo (0,1%)		213	6,9	31,6	2,3
Mo (0,3%)		—	—	32,0	2,7

далось. Незначительный эффект от инокуляции гороха получали в течение трех лет на разновидностях черноземов карбонатных центральной зоны Молдавии (табл. 1). Повышение урожая зерна было на 1,2—5,0%, зеленой массы — 1,0—6,6%. Содержание азота, вынос протеина почти не изменялись, а иногда даже наблюдалась тенденция к уменьшению (табл. 2).

Причина слабого эффекта от нитрагинизации гороха объясняется, очевидно, тем, что в почвах Молдавии клубеньковые бактерии гороха находятся в больших количествах [16]; среди них имеются такие экотипы, которые по своей активности, вирулентности, конкурентоспособности не только не уступают, но нередко и превосходят искусственно внесенные активные штаммы. Это подтверждено экспериментальными данными. В 1962—1963 гг. из разных почв республики были выделены культуры клубеньковых бактерий, которые при сопоставлении их эффективности со стандартными штаммами № 225 (получен из Украинского института земледелия) и № 209а (ВНИИ с.-х. микробиологии) в большинстве случаев были близки к ним, а часто и превосходили их (табл. 3). Это видно как по накоплению надземной массы, так и по содержанию азота в ней. Причем контрольные растения часто по всем показателям приближались к инокулированным, что указывает на наличие в анализируемых почвах большого количества активных «спонтанных» рас клубеньковых бактерий, интенсивно инфицирующих растения и повышающих их продуктивность. В 1972—1973 гг. из почв Молдавии были вновь выделены чистые культуры клубеньковых бактерий гороха (2гт, 1гт, 44гт). Сопоставление их со стандартными активными штаммами (№ 209а, 250, 248) показало, что они активнее синтезируют кето- и альдегидокислоты, аминокислоты, в большей степени повышают энергию прорастания семян.

Таблица 2

Влияние нитрагина и молибдена на содержание общего азота и белка в растении гороха

Вариант	Год	Общий азот, % на сухой вес				Вынос азота зерном			Сырой протеин, % на сухой вес			Вынос протеина, % на зеленую массу
		листья	стебли	корни	клубеньки	зерно	листья	стебли	корни	листья	стебли	
<i>Научно-экспериментальная база АН МССР</i>												
Контроль	1971	4,62	—	2,33	8,61	3,98	70,3	—	28,87	—	—	6,41
Нитрагин		4,19	—	2,84	8,02	3,96	71,6	1,1	26,28	—	—	6,42
Молибден (0,5%)		4,69	—	2,82	8,37	3,94	74,6	6,1	29,32	—	—	6,53
Контроль	1972	4,85	1,76	2,43	6,89	4,17	76,3	—	30,21	10,90	—	6,33
Нитрагин		5,06	2,23	2,48	7,30	4,21	81,3	6,4	31,62	13,93	—	5,83
Молибден (0,5%)		4,92	2,06	2,20	7,05	4,42	88,2	15,9	30,75	12,89	—	6,70
Контроль	1973	4,26	1,83	—	—	4,00	104,7	—	26,62	11,33	—	3,90
Нитрагин + молибден (0,5%)		4,60	2,02	—	—	4,18	97,8	6,6	28,52	12,62	—	3,99

Учебно-опытное хозяйство КСХИ им. М. В. Фрунзе (Кетросы, Новоаненский район)

Вариант	Год	Общий азот, % на сухой вес				Вынос азота зерном			Сырой протеин, % на сухой вес			Вынос протеина, % на зеленую массу
		листья	стебли	корни	клубеньки	зерно	листья	стебли	корни	листья	стебли	
<i>Научно-экспериментальная база АН МССР</i>												
Контроль	1972	5,20	2,49	2,39	5,45	—	—	—	32,50	15,56	—	6,50
Молибден (0,5%)		4,90	2,16	2,49	5,93	—	—	—	30,38	13,50	—	6,00
Контроль	1973	4,20	1,35	—	—	—	117,3	—	26,13	8,43	—	7,11
Нитрагин		4,63	1,92	—	—	4,00	122,0	4,0	28,93	12,00	—	4,22
Молибден (0,3%)		4,62	1,92	—	—	4,18	133,7	13,9	28,89	12,00	—	6,96

Таблица 3

Эффективность «местных» штаммов клубеньковых бактерий в разных почвах Молдавии

№ штамма	Штамм, выделенный из почв	Вес (сухой) пальмовой массы 10 растений, г	
		Азот, % на сухой вес	
<i>Чернозем обыкновенный, Чадыр-Лунгский район</i>			
Контроль	штамм № 225	Украинская ССР, активный стандартный	9,20 3,1
	штамм № 62	Чернозем обыкновенный, Чадыр-Лунгский район	11,42 3,7
	штамм № 73		10,25 3,5
	штамм № С <sub>1</sub>	Серая лесная почва, Оргеевский район	8,90 4,8
			12,90 3,5
<i>Чернозем карбонатный, Каушанский район</i>			
Контроль	штамм № 225	Украинская ССР, активный стандартный	31,30 2,5
	штамм № 94	Чернозем карбонатный, Каушанский район	30,13 3,1
	штамм № 14	Чернозем карбонатный, Резинский район	33,10 3,2
	штамм № 39	Чернозем типичный, Резинский район	25,78 3,2
	штамм № С <sub>1</sub>	Серая лесная почва, Оргеевский район	28,25 3,5
			26,30 2,7
<i>Чернозем типичный, Резинский район</i>			
Контроль	штамм № 225	Украинская ССР, активный стандартный	15,71 3,6
	штамм № 30	Чернозем типичный, Резинский район	15,50 3,7
	штамм № 32		21,26 3,8
	штамм № 41		16,30 3,5
	штамм № 45		18,60 3,7
	штамм № 94	Чернозем карбонатный, Каушанский район	15,30 3,9
	штамм № 14	Чернозем карбонатный, Резинский район	20,80 3,7
	штамм № С <sub>IX</sub>	Серая лесная почва, Оргеевский район	16,70 3,6
	штамм № С <sub>I</sub>		18,20 4,3
			18,10 3,6
<i>Серая лесная почва, Оргеевский район</i>			
Контроль	штамм № 225	Украинская ССР, активный стандартный	22,87 2,7
	штамм № С <sub>IX</sub>	Серая лесная почва, Оргеевский район	27,18 2,9
	штамм № С <sub>I</sub>		27,18 4,1
	штамм № С <sub>VII</sub>		32,20 3,0
			27,18 2,9

Для повышения эффективности нитрагина следует изыскивать факторы, активизирующие его действие. Многочисленные исследователи отмечают, что к числу таковых следует отнести микроэлементы — Mo, B, Co, Cu, среди которых наибольшее повышение продуктивности зернобобовых и активности симбиотической азотфиксации дает молибден и бор [2, 3, 5, 7, 11, 13, 14, 22]. Мы остановились на первом, так как он один из немногих микроэлементов, которому принадлежит весьма специфическая роль в биохимических процессах, связанных с фиксацией молекулярного азота, биосинтезом нукleinовых кислот, белка.

Первые опыты по повышению эффективности нитрагина с помощью молибдена, проведенные Образцовой с сотрудниками [10] в 1937 г., показали, что при этом наблюдалось увеличение урожая зеленой массы гороха и люпина до 35%. Одновременно с этой работой была опубликована статья Borgels [21], в которой приводились аналогичные данные. В последующие годы проведено много подобных исследований в различных почвенно-климатических зонах Советского Союза [2, 4, 5, 7, 12, 18, 19, 20]. Все они указывают на положительную роль мо-

либдена в повышении жизнедеятельности клубеньковых бактерий, активизации физиолого-биохимических процессов в бобовом растении, увеличении урожая и улучшении его качества.

Результаты наших исследований также свидетельствуют о том, что предпосевная обработка семян гороха как одним молибденом, так и молибденом совместно с нитрагином дала положительные результаты (табл. 1, 2, 4). Очевидно, в первом случае микроэлементоказал положительное влияние на жизнедеятельность «спонтанных» рас клубеньковых растений, во втором — искусственно вносимых. В отдельные годы эффект был значительным: активизировалось инфицирование корневой системы растений, увеличилось накопление зеленой массы на 6,0—18,4%, урожай зерна повысился на 2,7—21,1%. Причем положительный эффект наблюдался в условиях черноземов карбонатных, обыкновенных, типичных, серых лесных почвах в разных районах республики.

Выявлено своеобразие в действии молибдена, зависящее от сортовых особенностей гороха. Так, у сорта Кормовой 226 наблюдалось большее положительное действие на развитие вегетативных органов, накопление зеленой массы и меньше на урожай зерна. Тогда как у зернового сорта Рамонский 77 этот прием значительно увеличил урожай зерна и совсем незначительно повысил накопление зеленой массы (табл. 4).

Таблица 4

Эффективность молибдена под горох на черноземах типичных (Молдавский НИИ полевых культур, Рышканский район)

Вариант, сорт	Урожай, ц/га				Достоверность опыта	
	1972 г.		1973 г.			
	зеленая масса	отклонение от контроля, %	зерно	отклонение от контроля, %		
Кормовой 226						
Контроль	105,0	—	17,7	—		
Молибден (0,5%)	118,9	13,2	18,5	4,5	P=3,8 НСР=2,3 ц/га	
Рамонский 77						
Контроль	99,9	—	34,3	—		
Молибден (0,5%)	109,8	9,3	38,9	13,4	P=2,3 НСР=2,4 ц/га	

Ряд исследователей указывают на то, что применение молибдена и нитрагина под горох весьма эффективно во многих почвенно-климатических зонах Советского Союза [4, 5, 7, 9, 12, 13, 14, 18, 19, 20]. При этом отмечалось повышение вирулентности клубеньковых бактерий, устойчивое увеличение урожая и содержания белка в нем.

Таким образом, полученные нами данные показывают, что нитрагинизация гороха в Молдавии эффективна на эродированных черноземах и серых лесных почвах. В меньшей мере — на равнинных участках черноземных почв. Отсутствие эффекта во многих случаях объясняется тем, что экотипы клубеньковых бактерий, обитающие в почвах республики, активнее и конкурентоспособнее, чем клубеньковые бактерии искусственно вносимые при нитрагинизации.

Полученные данные позволяют утверждать, что для повышения эффективности промышленного нитрагина и расширения ареала его по-

ложительного действия необходим постоянный поиск и селекция новых высокоактивных штаммов, которые должны по эффективности пре-восходить «спонтанные» расы клубеньковых бактерий. Высокоактивные штаммы клубеньковых бактерий почв Молдавии могут быть успешно использованы для промышленного получения нитрагина.

Применение предпосевной обработки семян гороха молибденом — один из способов повышения эффективности клубеньковых бактерий и продуктивности гороха в Молдавии.

#### ЛИТЕРАТУРА

- Балтынский Д., Стрижова Г. П. Колхозно-совхозное производство Молдавии, № 2, 1963.
- Буркин Н. А. Физиологическая роль и сельскохозяйственные достоинства молибдена. М., изд-во «Наука», 1968.
- Виноградова Х. Г. В сб.: Микроэлементы в жизни растений и животных. М., Изд-во АН СССР, 1952, стр. 515—538.
- Дорогинский Л. М. Клубеньковые бактерии и нитрагин. Л., изд-во «Колос», 1970.
- Жизневская Г. Я. Медь, молибден и железо в азотном обмене бобового растения. М., изд-во «Наука», 1972.
- Мишустин Е. Н., Бернард В. В. Химизация сельского хозяйства, № 11, 28—49, 1938.
- Мишустин Е. Н., Шильникова В. К. Биологическая фиксация атмосферного азота. М., изд-во «Наука», 1968.
- Мишустин Е. Н., Шильникова В. К. Клубеньковые бактерии и инокуляционный процесс. М., изд-во «Наука», 1973.
- Клинцаре А. Я., Креслиня В. А. В сб.: Микроорганизмы и растения. Рига, Изд-во АН Латв. ССР, 1963, стр. 71.
- Образцова А. А., Миненков А. Р., Ревякина Е. В., Голланд Д. М., Красильникова А. Н. Микробиология, т. 6, вып. 7, 877, 1937.
- Пейве Я. В. Микроэлементы и биологическая фиксация атмосферного азота. М., изд-во «Наука», 1971.
- Прозуменикова Л. М., Кузнецова В. В. Химия в сельском хоз-ве № 3, 11—13, 1967.
- Ратнер Е. И. Известия АН СССР, сер. биол., № 2, 223, 1964.
- Ратнер Е. И., Акимочкина Т. А. Агрономия, № 4, 59—68, 1964.
- Сабельникова В. И., Терехова Ф. А. Сб.: Микробиологические процессы в почвах Молдавии, Кишинев, 1965, стр. 42.
- Сабельникова В. И., Терехова Ф. А. Микробиологические процессы в почвах Молдавии, вып. 3. Кишинев, «Карта Молдовеняскэ», 1969, стр. 48.
- Сабельникова В. И., Терская И. А., Чернобровина Р. М. Известия Академии наук МССР, Серия биол. и хим. наук, № 6, 37—41, 1973.
- Шевчук В. Е. Бактериальные удобрения в Восточной Сибири. Вост.-Сиб. кн., изд-во, 1964.
- Шумилов Л. Г., Муравин Э. А. Докл. ТСХА, вып. 115, 19—22, 1965.
- Эфендиеев Т. А., Халилов Г. Р. Агрономия, 10, 149—151, 1965.
- Bortels H. Arch. Microbiol. 81, 13, 1937.
- Mulder E. G., Bakema K., Van Veen W. L. Plant and Soil, 10, п. 4, 319—334, 1959.

УДК 577.153.2

Н. П. ТИХОНОВА, Н. М. ТРОФИМЕНКО, В. П. ПЛАЦЫНДА, В. В. ГОРБУНОВА,  
Т. В. ЛЕБЕДЕВА

#### ИЗМЕНЕНИЕ БИОХИМИЧЕСКОГО СОСТАВА ВИН ПОД ДЕЙСТВИЕМ ЭСТЕРАЗ КУЛЬТУРЫ ГРИБА *BOTRYTIS CINEREA* 70

В последние годы особое внимание уделяется совершенствованию технологий производства вин и интенсификации отдельных технологических приемов.

Известно [4, 5, 6, 9, 10], что ферментный комплекс гриба *Botrytis cinerea* содержит в своем составе эстеразы синтезирующего и гидролитического действия. Добавление мицелия гриба *Botrytis cinerea* в готовые вина способствует усилению биохимических процессов, ускоряющих созревание вин, и улучшению их органолептических свойств.

Некоторые авторы [3, 8] предполагают, что естественные эстеразы виноградной ягоды и внесенные извне могут также принимать участие в сложении вкуса вин. В особенности положительное действие на формирование вин оказывают эстеразы синтезирующей функции.

В задачу нашего исследования входило установление возможности использования ферментного препарата культуры гриба *Botrytis cinerea* 70 в виноделии с целью усиления эстеразного синтеза в винах.

### Методы исследования

В работе использовали ферментный препарат\*, полученный осаждением этанолом из культуральной жидкости гриба *Botrytis cinerea* 70 и обладающий гидролитической и синтезирующей активностями 4250 и 3000 условных единиц, соответственно [1].

Влияние препарата на синтез эфиров испытывали на готовых винах и образцах вин, приготовленных из ферментированной виноградной мякоти. Образцы вин Ноа десертное и Рислинг столовое (шампанский виноматериал) обрабатывали препаратом в количестве 0,02% и хранили при температурах 10°, 20°, 37° в течение месяца. Виноградную мякоть сортов Ркацители и Каберне обрабатывали ферментным препаратом и готовили вина: Ркацители десертное и Каберне столовое.

Определение средних эфиров и других биохимических компонентов вин проводили по методикам, описанным в руководстве Агабальянца [2]. Эстеразную активность гидролизующего и синтезирующего действия в образцах вин определяли по методу Авакянца [1].

### Результаты исследования

При обычных условиях синтез эфиров в вине протекает чрезвычайно медленно, после введения эстераз реакция этерификации усиливается, сопровождаясь накоплением эфиров уксусной, винной, яблочной, лимонной, янтарной и других органических кислот [6, 7].

В наших опытах исследовалось изменение синтезирующей активности и содержания средних эфиров в винах под влиянием ферментного препарата эстеразного действия.

В табл. 1 приводятся данные, показывающие нарастание средних эфиров в образцах вин, обработанных ферментным препаратом. При этом наиболее интенсивный синтез эфиров протекает в опытном образце Ноа десертное при температурах 20° и 37°, менее интенсивно — при 10°. Так, увеличение количества средних эфиров в образце, обработанном препаратом при 20°, составило величину, равную 30,7%, в то время как в вине, обработанном эстеразой при температуре 10°, — всего 7,4%.

Нарастание эфиров в винах, обработанных препаратом, свидетельствует о наличии эстеразной активности синтезирующего действия и отсутствии ее в контрольных образцах.

\* Препарат получен сотрудником Отдела микробиологии АН МССР А. В. Альман.

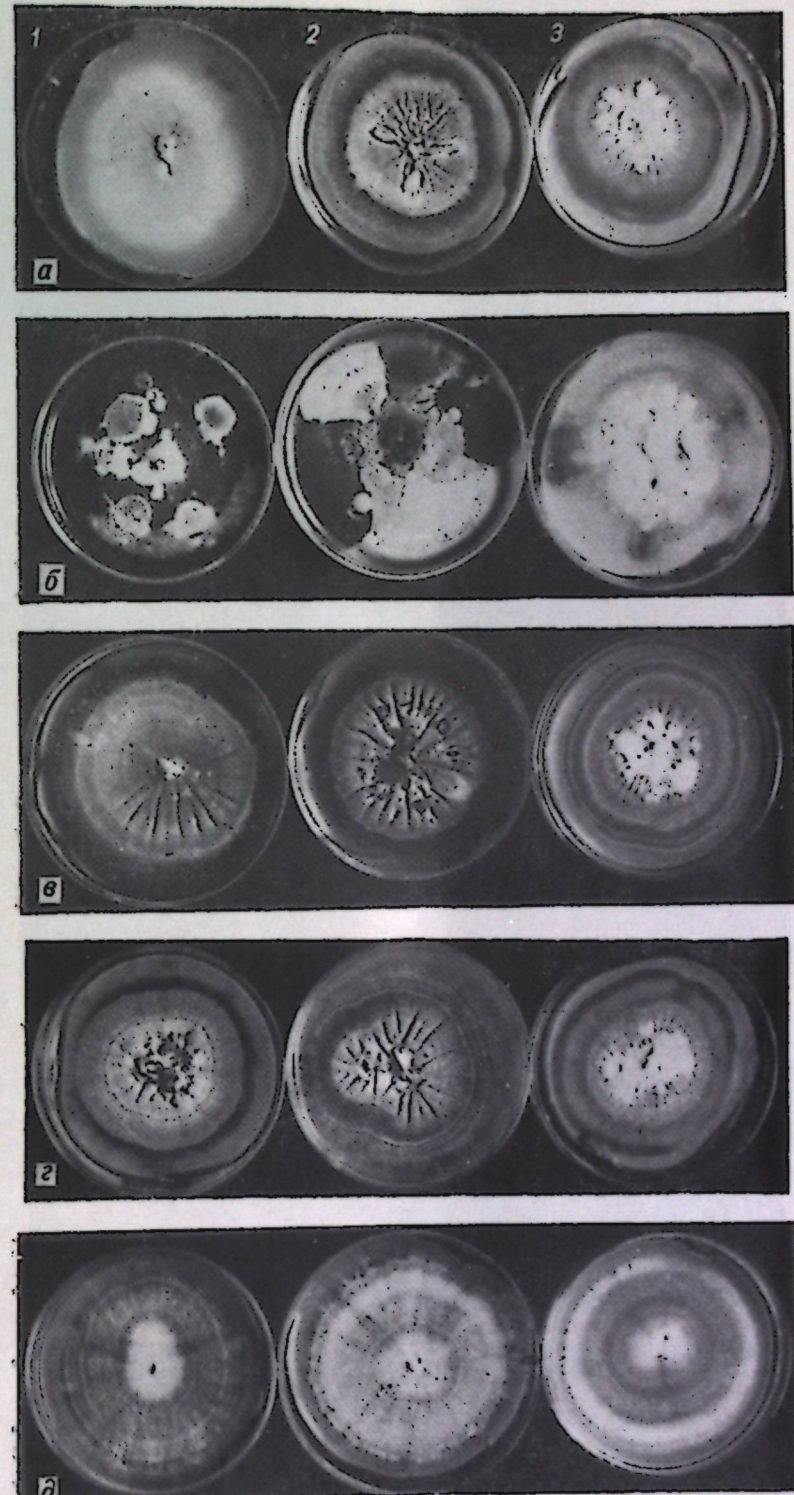


Рис. 1

Вкл. к статье И. С. Попушой, А. Д. Дешкова, Г. Л. Шатрова,  
Р. Е. Давидович, Л. Д. Буймистру, стр. 56

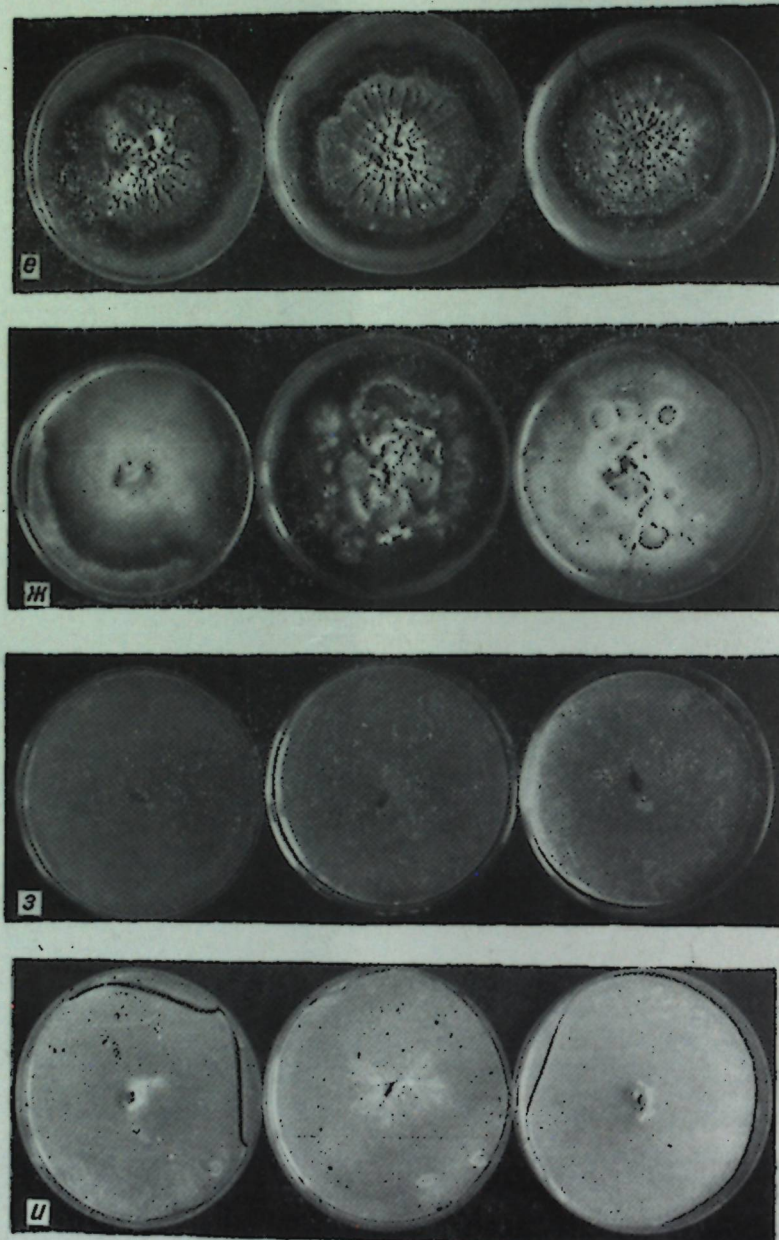


Рис. 1. Колонии грибов *Verticillium albo-atrum* Reinke et Berth (1), *Verticillium nigrescens* Pethybr (2), *Verticillium dahliae* Kleb (3) на различных средах:

а — с глюкозой; б — с лактозой; в — с мальтозой; г — с рафинозой;  
д — с крахмалом; е — с глицерином; ж — с манинтом; з — с натрием щавелевокислым, и — без углерода

Таблица 1  
Изменение содержания средних эфиров вина под влиянием ферментного препарата эстеразного действия

Вино	Вариант опыта	Температура, °С	Содержание эфиров, г/л	Нарастание эфиров, г/л	% нарастания эфиров	Синтезирующая активность в условных единицах
Ноя десертное	Контроль	37	0,377			—*
	Опыт	37	0,467	0,09	19,2	—
	Контроль	20	0,372			0
	Опыт	20	0,537	0,165	33,7	0,02
	Контроль	10	0,466			0
	Опыт	10	0,503	0,037	7,4	0,04
	(шампанский виноматериал)					
	Контроль	37	0,314			0
	Опыт	37	0,376	0,062	16,5	0,08
	Контроль	20	0,178			—
	Опыт	20	0,290	0,112	38,7	—

\* Определения не проводились.

Аналогичные показатели получены в образцах вин Ркацители десертное и Каберне столовое. В табл. 2 приводятся данные биохимических анализов вин, полученных обработкой виноградной мягкини препаратором. Так, в опытном вине с эстеразой Ркацители десертное содержание эфиров по сравнению с контролем возросло на 39,8%, а в образце Каберне столовое — на 24,4%.

Таблица 2  
Биохимическая характеристика опытных образцов вин\*

Вино	Удельный вес	Экстрактивные вещества	Титруемая кислотность	Летучие кислоты	Дубильные и красящие вещества	Общий азот	Аминий-азот	Альдегиды	Эфиры	% нарастания эфиров	рН	Эстеразная активность в условных единицах
Десертное Ркацители (контроль)	1,0455	170,2	9,3	0,27	—	0,278	0,132	0,035	0,186	3,02	0	
Ркацители (с эстеразой):	1,0457	171,2	10,1	0,39	—	0,301	0,191	0,040	0,260	39,8	2,76	0,9
Столовое Каберне (контроль)	0,9964	320,0	6,0	0,58	2,1	—	—	—	0,370	3,49	0	
Каберне (с эстеразой)	0,9966	355,0	6,2	0,52	2,5	—	—	—	0,460	24,4	3,43	0,3

\* Вина кондиционные по сахару и спирту.

При этом в тех же винах наблюдается увеличение эстеразной активности синтезирующего действия. Применение ферментативной обработки при изготовлении вин оказывает положительное действие на их биологические показатели и вкусовые достоинства. В опытных образцах отмечено увеличение удельного веса и количественного содержания экстрактивных веществ. В образце Ркацители десертное с препаратом также наблюдается повышенное содержание общего и амин-

ного азота, что дает возможность предположить наличие протеолитической активности в составе ферментного препарата эстеразного действия гриба *Botrytis cinerea* 70.

### Выводы

Введение ферментного препарата в готовые вина способствует увеличению содержания в них средних эфиров, а это создаёт условия для интенсификации процесса приготовления и созревания вин.

Показана возможность использования ферментного препарата гриба *Botrytis cinerea* 70 при изготовлении вин. Внесение ферментного препарата в виноградную мяту способствует повышению эстеразного синтеза в готовых винах, что оказывает положительное влияние на их качество.

### ЛИТЕРАТУРА

1. Авакянц С. П. Новые методы биохимических исследований. М., ЦИНТИПицепром, 1972.
2. Агабельян Г. Г., Бегунова Р. Д., Джанполдян Л. М., Дрбоглав Е. С., Захарина С. С., Майоров В. С. Химико-технологический контроль виноделия. М. 1969.
3. Белоусова И. Д. и Авакянц С. П. Тезисы докладов научной конференции ВЗИПП. М., 1972, стр. 32.
4. Мартаков А. А. Известия АН Казахской ССР, № 3, 40, 1954.
5. Применение ферментных препаратов консервной и винодельческой промышленности Узбекской ССР. ИНТИП УзССР. Ташкент, 1965 (под редакцией Абдуразаковой С. Х.).
6. Родопуло А. К. Биохимия виноделия. Пищепромиздат. М., 1971.
7. Gueorgiev I., Popov I., Litchev I. Ann. ins. sup. agron. Plovdiv Bulgarie, 1950, 6, 1.
8. King A., Douglas Sr., Camirand Wayne M., Mihara Kioko J. Amer. your. enology and viticultr. 20, 3, 146, 1969.
9. Raul de Solo, Nightingale M. S. and Huber R. Amer. your. of enology and viticulture, 17, 3, 191, 1966.

## ХИМИЯ

УДК 539.2

Л. А. КАЗАНЦЕВА, И. Я. ОГУРЦОВ

### УПРУГОЕ РАССЕЯНИЕ РЕНТГЕНОВСКИХ ЛУЧЕЙ СИСТЕМАМИ С ВЫРОЖДЕННЫМИ ЭЛЕКТРОННЫМИ ТЕРМАМИ

Эксперименты по дифракции рентгеновских лучей, электронов и нейтронов получили широкое применение в исследовании геометрического строения молекул. Как правило, интерпретация соответствующих спектров проводится на основе моделей, предполагающих строго фиксированную жесткую конфигурацию атомов в молекуле. Движением атомов при этом либо пренебрегают [4], либо представляют его как малые колебания атомов вблизи положений равновесия, соответствующих выбранной конфигурации.

В последнее время, однако, проведены эксперименты по дифракции электронов, которые невозможно было интерпретировать на основе только одной структурной формы молекулы [6]. Объяснение этих экспериментов, проведенных на молекулах  $XeF_6$ , основывается на том, что квантово-механическое описание этой системы исключает возможность пребывания молекулы только в одной геометрической форме. Аналогичными свойствами обладают системы с вырожденными электронными термами. В них благодаря эффекту Яна-Теллера адиабатический потенциал имеет несколько минимумов, соответствующих нескольким конфигурациям молекулы, что приводит к характерному движению атомов молекулы, представляющей собой комбинацию движения вблизи минимумов адиабатического потенциала и переходов молекулы из одной конфигурации в другую. Такое поведение молекулы существенным образом проявляется в оптических спектрах, спектрах ЭГР, ЯГР и др. [1].

В настоящей работе мы остановимся на возможных проявлениях свойств систем с электронным вырождением в экспериментах по рассеянию рентгеновских лучей. Интенсивность упругого рассеяния рентгеновских лучей с длиной волны  $\lambda$  может быть рассчитана по формуле:

$$I = \sum_{p, q=1}^N F_p(0) F_q(0) \left\langle e^{\frac{2\pi i}{\lambda} (\vec{R}_p - \vec{R}_q, \vec{n} - \vec{n}_0)} \right\rangle, \quad (1)$$

где суммирование проводится по всем  $N$  атомам молекулы,  $F_p$  — амплитуда рассеяния атома  $p$ ,  $\vec{n}$  и  $\vec{n}_0$  — единичные вектора вдоль направлений падающего и рассеянного излучений, соответственно,  $\theta$  — пологина угла рассеяния ( $\cos 2\theta = (\vec{n} \cdot \vec{n}_0)$ ),  $\langle A \rangle = \frac{\sum e^{-\beta E_i} \langle |A| i \rangle}{\sum e^{-\beta E_i}}$  — усредненное значение величины  $A$  по электронно-колебательным состояниям системы, черта ..... обозначает усреднение по всем ориентациям.

цием молекулы. После проведения последнего формула для интенсивности имеет вид:

$$I = I_0 + \sum_{p,q} F_p(s) F_q(s) \left\langle \frac{\sin sR_{pq}}{sR_{pq}} \right\rangle = I_0 + I_{int}, \quad (2)$$

где

$$R_{pq} = |\vec{R}_p - \vec{R}_q|, \quad s = \frac{4\pi \sin \theta}{\lambda}, \quad (3)$$

и

$$I_0 = \sum_p F_p^2(s).$$

Второе слагаемое в (2) возникает из-за интерференции излучения, рассеянного различными атомами, и мы будем ниже называть его интерференционным вкладом ( $I_{int}$ ).

Для конкретного расчета интенсивности рассмотрим октаэдрическую молекулу, которая без учета колебаний имеет вырожденное основное электронное состояние  $E$ . Как известно [1, 2], с учетом квадратичных членов в разложении электронно-колебательного взаимодействия с тетрагональными  $e$ -колебаниями адабатический потенциал имеет три эквивалентных минимума тетрагонального типа. Нижайшие вибронные состояния  $E$  и  $A$ , разделенные энергетическим интервалом  $\delta$  (инверсионное расщепление) описываются волновыми функциями [2]:

$$\begin{aligned} \Psi_A &= \frac{1}{\sqrt{3(1-\gamma_0)}} (\Phi_1 + \Phi_2 + \Phi_3), \\ \Psi_{Eu} &= \frac{1}{\sqrt{3(2+\gamma_0)}} (2\Phi_1 - \Phi_2 - \Phi_3), \\ \Psi_{Ev} &= \frac{1}{\sqrt{2+\gamma_0}} (\Phi_2 - \Phi_3), \end{aligned} \quad (4)$$

где  $\Phi_i$  — электронно-колебательные функции в минимумах,  $\gamma_0$  — интеграл перекрывания функций в разных минимумах. В расчете средних значений в формуле (2) можно ограничиться суммированием лишь по состояниям (4), так как при нормальных температурах заселены только они. Отклонения атомов в искаженных конфигурациях малы по сравнению с расстояниями между атомами в правильном октаэдрическом состоянии. Поэтому  $\frac{\sin sR_{pq}}{sR_{pq}}$  можно разложить по малым смещениям атомов из октаэдрических положений. Ограничиваюсь только квадратичными членами по смещениям и переходя к нормальным координатам октаэдра [1], можно получить следующее выражение для  $I_{int}$ :

$$I_{int} = I_{int}^0 + I_{int}^{e.k.}$$

$$I_{int}^0 = 12 F_u(s) F_a(s) \frac{\sin sR_0}{sR_0} + 24 F_a^2(s) \frac{\sin \sqrt{2}sR_0}{\sqrt{2}sR_0} + 6 F_a^2(s) \frac{\sin 2sR_0}{2sR_0}; \quad (5)$$

$$\begin{aligned} I_{int}^{e.k.} &= \left\{ F_a^2(s) \left[ \frac{\sin 2sR_0}{2sR_0} (1 - 2s^2 R_0^2) - \cos 2sR_0 + \frac{1}{2} (\cos \sqrt{2}sR_0 - \right. \right. \\ &\quad \left. \left. - \frac{\sin \sqrt{2}sR_0}{\sqrt{2}sR_0} (1 + 2s^2 R_0^2)) \right] + 2F_u(s) F_a(s) \left[ \frac{\sin sR_0}{sR_0} \left( 1 - \frac{1}{2} s^2 R_0^2 \right) - \cos sR_0 \right] \right\} \cdot \\ &\quad \cdot \frac{\langle Q_2^2 + Q_3^2 \rangle}{R_0^2}, \end{aligned} \quad (5)$$

где  $I_{int}^0$  — интерференционный вклад в интенсивность рассеяния на неискаженном октаэдре,  $I_{int}^{e.k.}$  — поправка к нему за счет электронно-колебательного взаимодействия,  $F_u$  и  $F_a$  — амплитуды рассеяния центрального атома и лиганда, соответственно, а  $R_0$  — расстояние

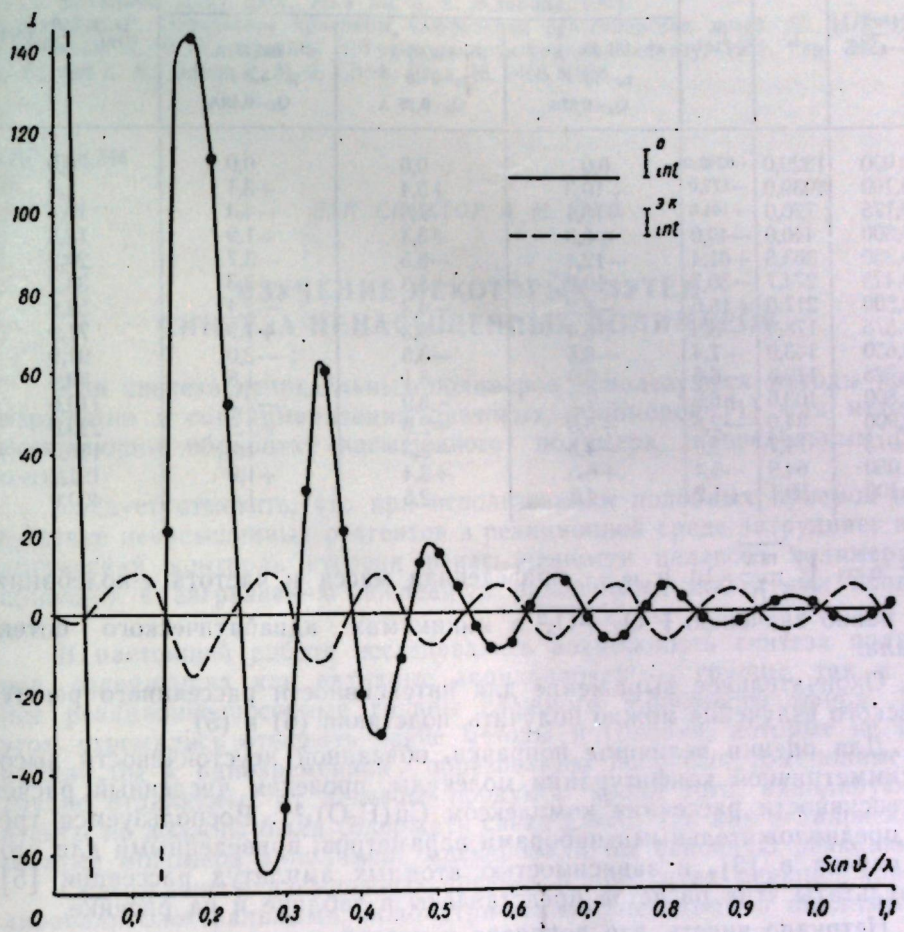


График зависимости интерференционных вкладов  $I_{int}^0$  и  $I_{int}^{e.k.}$  как функции  $\frac{\sin \theta}{\lambda}$   
для  $Q_0 = 0,37 \text{ \AA}$ ;  $a^2 = 131,43 \text{ \AA}^{-2}$ ,  $\gamma_0 = 10^{-6}$

между ними в неискаженном октаэдре. При выводе формулы (6) предполагалось, что атомы системы участвуют лишь в колебаниях  $E$ -типа, а остальные смещения равны нулю.

Используя волновые функции (4), в которых  $\Phi_i$  представляет собой произведение электронной функции в  $i$ -ом минимуме на соответствующие ей осцилляторные функции со смещенными положениями равновесия в основном состоянии [2], для  $\langle Q_2^2 + Q_3^2 \rangle$  можно получить следующее выражение:

$$\langle Q_2^2 + Q_3^2 \rangle = \frac{1}{a^2} + Q_0^2 \frac{-\frac{\delta}{kT} \frac{1-\gamma_0}{4} + 2 + \frac{\gamma_0}{4}}{\frac{1-\gamma_0}{e^{-\delta/kT} + 2}}, \quad (6)$$

Численные значения вкладов  $I_0$ ,  $I_{\text{Int}}^0$  и  $I_{\text{Int}}^{0,k}$  вблизи экстремумов интенсивности упругого рассеяния рентгеновских лучей (в единицах интенсивности рассеяния свободными электронами) для трех наборов параметров  $Q_0$ ,  $a^2$ ,  $\gamma_0$

$\frac{\sin \theta}{\lambda}$	$I_0$	$I_{\text{Int}}^0$	$I_{\text{Int}}^{0,k}$			$I_{\text{Int}}^{0,k} / I_{\text{Int}}^0 (\%)$
			$a^2 = 131,43 \text{ \AA}^{-2}$	$a^2 = 156,86 \text{ \AA}^{-2}$	$a^2 = 190,47 \text{ \AA}^{-2}$	
			$\gamma_0 = 10^{-6}$	$\gamma_0 = 3 \cdot 10^{-4}$	$\gamma_0 = 5,8 \cdot 10^{-3}$	
0,000	1329,0	+6240,0	0,0	0,0	0,0	0,0
0,100	1039,0	-573,0	+10,3	+5,4	+3,1	1,8
0,175	770,0	+144,0	-15,1	-7,8	-4,4	10,5
0,300	440,0	-49,0	+6,3	+3,3	+1,9	12,8
0,350	363,6	+61,4	-12,4	-6,5	-3,7	20,2
0,425	274,7	-30,7	+10,2	+5,3	+3,3	33,2
0,500	217,0	+15,6	-8,2	-4,3	-2,4	52,6
0,575	178,0	-8,9	+6,4	+3,3	+1,9	71,9
0,650	143,0	+7,4	-6,8	-3,5	-2,0	91,9
0,725	119,6	-6,6	+5,9	+3,1	+1,8	89,4
0,800	103,6	+6,6	-7,7	-3,9	-2,2	113,6
0,900	84,0	-2,5	+5,5	+2,9	+1,6	220,0
0,975	71,7	+3,3	-4,5	-2,3	-1,3	136,4
1,050	64,9	-3,4	+6,5	+3,4	+1,9	191,2
1,190	59,1	+1,2	-4,8	-2,5	-1,4	400,0

где  $a = \sqrt{\frac{m\omega}{\hbar}}$ ,  $m$  и  $\omega$  — приведенная масса и частота с-колебания,  $Q_0$  равно значению  $\sqrt{Q_2^2 + Q_3^2}$  в минимумах адабатического потенциала.

Окончательное выражение для интенсивности рассеянного рентгеновского излучения можно получить, подставив (6) в (5).

Для оценки величины поправки, обязанной неустойчивости высокосимметричной конфигурации молекулы, проведем численный расчет интенсивности рассеяния комплексом  $\text{Cu}(\text{H}_2\text{O})_6^{2+}$ . Воспользуемся тремя предположительными наборами параметров, приведенными для этого случая в [3], и зависимостью атомных амплитуд рассеяния [5]. Результаты этих расчетов представлены в таблице II на рисунке.

Нетрудно видеть, что поправка к интерференционному члену, обязанная учету электронно-колебательного взаимодействия, всегда имеет знак противоположный аналогичному слагаемому в случае симметричного октаэдра и составляет от него примерно 20% уже во втором максимуме. Особенно существенна поправка в области больших  $s$ , где она приводит даже к изменению положений максимумов.

Как и следовало ожидать, поправка получается наиболее значительной при первом наборе параметров, соответствующем большему смещению атомов из своих положений в правильном октаэдре и меньшим частотам колебаний  $E$ .

Расчет, аналогичный описанному выше, с учетом полносимметричных колебаний показывает, что вклад последних в интерференционный член на порядок и более меньше вклада от  $E$ -колебаний, взаимодействующих с вырожденным электронным термом.

Полученные результаты, таким образом, показывают, что наличие электронного вырождения может существенно сказываться на интенсивности рассеяния рентгеновских лучей.

## ЛИТЕРАТУРА

- Берсукер И. Б. Строение и свойства координационных соединений. Введение в теорию. М., изд-во «Химия», 1972.
- Берсукер И. Б. ЖЭТФ, 44, 1239, 1963.
- Берсукер И. Б. Исследование в области квантовой теории комплексов переходных металлов. Докт. дисс., ЛГУ им. А. А. Жданова, 1964.
- Джеймс Р. Оптические принципы дифракции рентгеновских лучей. М., ИЛ, 1950.
- Миркин Л. И. Справочник по рентгеноструктурному анализу, 1961, стр. 342—352.
- Bartell L. S., Gavrin R. M. J. Chem. Phys. 48, 2466, 1968.

УДК 678.744

В. И. СПЕКТОР, А. М. ШУР

## ИЗУЧЕНИЕ НЕКОТОРЫХ ПУТЕЙ СИНТЕЗА НЕНАСЫЩЕННЫХ ПОЛИМЕРОВ

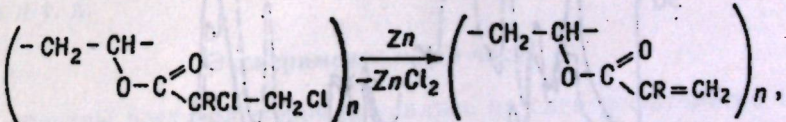
Для синтеза непредельных полимеров используются методы полимеризации и сополимеризации диеновых мономеров [1] или методы, включающие обработку насыщенного полимера непредельным реагентом.

Следует отметить, что при использовании подобных приемов присутствие ненасыщенных реагентов в реакционной среде затрудняет аналитический контроль степени ненасыщенности целевого полимера и приводит к загрязнению последнего различными побочными продуктами.

В настоящей работе исследовалась возможность синтеза полимеров, содержащих как активные акрилонилокси — группы, так и менее реакционноспособные группы сложного винилового эфира. При этом стремились отыскать такие методы и условия, которые не приводили бы к одновременному образованию побочных гомополимеров, трудно отделяемых от целевого продукта, кроме того, винилирующие агенты не должны были содержать связи  $C=C$ , так как в дальнейшем остатки мономера в полимере маскировали бы основную реакцию.

Содержание ненасыщенных звеньев в продуктах реакции контролировали спектральными, йодометрическими методами и анализом на хлор.

Для введения акрилонилоксигруппы в полимер мы подвергли поливинил ( $\alpha$ ,  $\beta$ -дихлорацилаты) дехлорированию при помощи цинковой пыли.



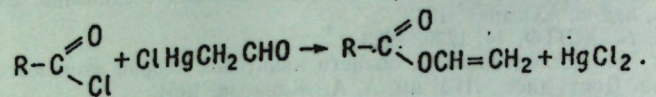
где  $R=H, \text{CH}_3$ .

Применяя сополимеры с различным содержанием звеньев винил  $\alpha$ ,  $\beta$ -дихлорацилата, можно регулировать степень ненасыщенности конечного продукта реакции.

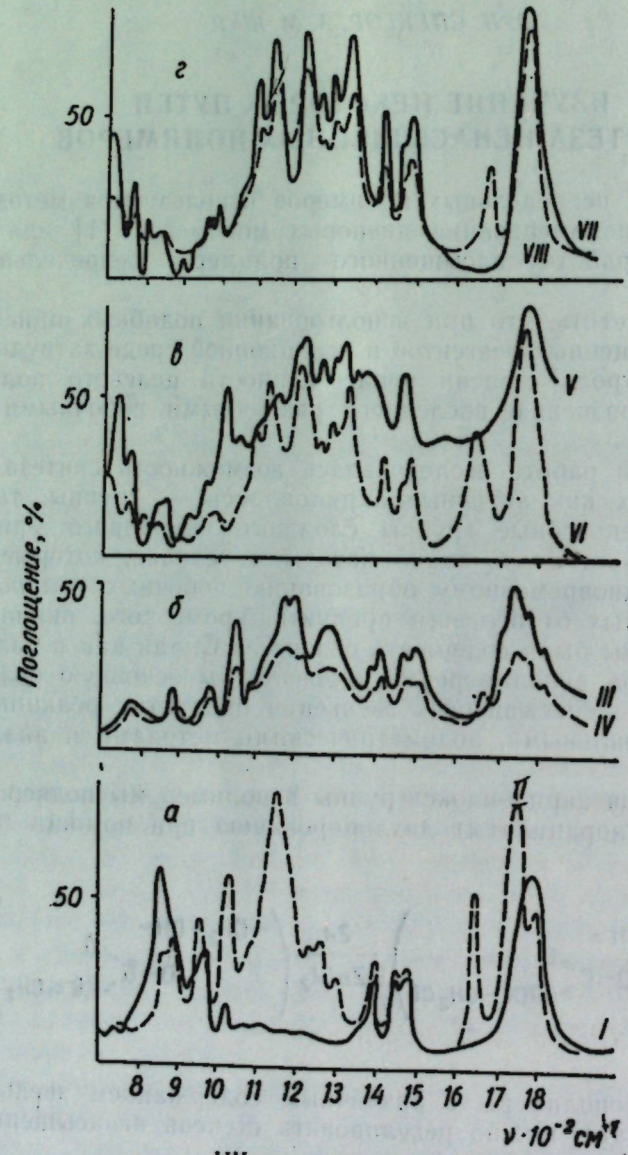
Результаты исследования показали, что обработанные цинком полимеры действительно содержат непредельные звенья (рис. 1, в, г).

С целью получения полимеров с группами сложного винилового эфира в макромолекуле мы изучили возможность распространения на

полиацилонхлориды реакции, предложенной Несмияновым и Луценко [2].



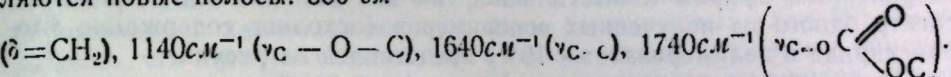
Эта реакция привлекла наше внимание тем, что при ее проведении возможно применение высокомолекулярных соединений и винилирующего агента, не содержащих двойных связей и, кроме того, полученные полимеры легко очищать от побочных продуктов.



ИК-спектры полимеров:  
I — ПХАМАК, II — продукт винилирования I (a); III — со-  
полимер ХАМАК и ЭМАК, IV — продукт винилирования  
III (b); V — поливинилхлоридониат, VI — продукт  
дехлорирования V (a); VII — поливинилхоризобутират,  
VIII — продукт дехлорирования VI (a)  
— исходный полимер, — — ненасыщенный полимер

Для проведения интересующего нас полимераналогичного превращения мы обрабатывали в атмосфере сухого азота полимерный хлорангидрид хлормеркурацетальдегидом, применяя в качестве среды хлорированные углеводороды, кетоны, диоксан или смесь этих растворителей.

Как видно из рис. 1 (a, б) в ИК-спектре исходного полимера наблюдаются четко выраженные полосы в области 1790 и 855  $\text{cm}^{-1}$ , характерные для  $\nu_{\text{C=O}}$  ( $\text{C}\equiv\text{O}$ ) и  $\nu_{\text{C}-\text{Cl}}$  ( $\text{C}\equiv\text{Cl}$ ), отсутствуют поглощения в области 1100—1300  $\text{cm}^{-1}$ . У продуктов, обработанных  $\text{ClHgCH}_2\text{CO}_2$ , уменьшаются интенсивности полос в области 835 и 1800  $\text{cm}^{-1}$  и появляются новые полосы: 880  $\text{cm}^{-1}$



Наличие винилизобутиратных звеньев подтверждалось также полярографическим определением ацетальдегида [3], образовавшегося в результате гидролиза полимера в среде  $(\text{C}_2\text{H}_5)_4\text{NOH}$ .

#### Винилирование полиметакрилоилхлорида

Соотношение реагентов (М.моль)	Среда	Продолжительность реакции, часы	Бромное число	% винилизобутиратных звеньев	% Cl	% ХЛ звеньев
ПХАМАК ХМААЛ						
I 0,1	$\text{CHCl}_3$	8	13,5	10,2		
I 0,5	$\text{CHCl}_3$	8	61,0	41,2		
I 1,0	$\text{CHCl}_3$	10	108,0	73,0	7,12	22,0
I 1,0	$\text{CHCl}_3 : (\text{CH}_3)_2\text{CO}$ (2:1)	5	42,0	28,4	22,0	68,4
I* 1,0	$\text{C}_2\text{H}_5\text{Cl}_2 : (\text{CH}_3)_2\text{CO}$ (2:1)	5	37,0	25,0		
	$\text{CHCl}_3$	5	14,0	9,5		

\* Сополимер ХАМАК с этилметакрилатом.

Для получения полимеров различных степеней ненасыщенности изменялось как содержание реагентов и продолжительность реакции (см. таблицу), так и содержание хлорангидридных звеньев в исходном сополимере. Сочетание в одной макромолекуле ненасыщенных звеньев и хлорангидридных остатков расширяет, на наш взгляд, возможности использования подобных полимеров для проведения новых химических превращений, например, для синтеза полимераналогов, полимерных амфолитов, оптически активных высокомолекулярных соединений и т. д.

#### Экспериментальная часть

ИК-спектры всех полимеров снимались на спектрофотометре UR-10 в области 700—1800  $\text{cm}^{-1}$  в таблетках КВг.

Полярографический анализ гидролизатов полимера проводили на приборе ПЭ-312 с РКК на фоне  $(\text{C}_2\text{H}_5)_4\text{NOH}$  по методике, описанной ранее [3].

Полиметакрилоилхлорид (ПХАМАК). Исходный хлорангидрид синтезировался обработкой перегнанной метакриловой кислотой (чистота, по данным ГЖХ, 99%) треххлористым фосфором; t кип. 94—95°C.

Полимеризация проводилась в присутствии перекиси бензоила или

динитрилаазономасляной кислоты (ДАК) как в блоке, так и в растворе. Лучшие результаты получены при ведении реакции 48 часов в среде диоксана (50% раствор при 45° в присутствии 1% ДАК). Полимер, осажденный петролейным эфиром, переосаждали тем же растворителем из диоксана и высушивали под вакуумом при комнатной температуре. Выход 78%;  $[\eta]=0,51$  (в  $\text{CHCl}_3$ ). Найдено, %: C=45,5; H=4,7; Cl=33,2 ( $\text{C}_4\text{H}_5\text{OCl}$ ). Вычислено, %: C=45,96; H=4,8; Cl=33,91.

Сополимеризацию хлорангидрида метакриловой кислоты с этилметакрилатом проводили блочным методом в присутствии 0,05% ДАК при 80° в течение 4 часов.

Продукты полимеризации дважды переосаждали из хлороформа петролейным эфиром и высушивали так же, как указано выше. ИК-спектр одного из полученных сополимеров (исходное содержание хлорангидрида в полимеризате — 19%) представлен на рисунке.

Полимеризацию виниловых эфиров  $\alpha$ ,  $\beta$ -дихлорпропионовой и  $\alpha$ ,  $\beta$ -дихлоризомасляной кислоты, синтезированных по ранее описанной нами методике [4], проводили в среде петролейного эфира (объемное соотношение мономера к растворителю — 1 : 2) в течение 40 часов при 45°, инициатор — 1% ДАК. Выпавшие в осадок полимеры дважды переосаждались петролейным эфиром из ацетона и высушивались под вакуумом при комнатной температуре. Выход  $\approx 60\%$ .

Дехлорирование полимеров. Перемешивали 0,5 г поливинилдихлорацилата в 20 мл диоксана с 3 г активированной цинковой пыли в течение 5 часов при 80—90°C (реакция проводилась в темноте в атмосфере азота).

Полимер отделяли и дважды переосаждали его петролейным эфиром из диоксана. После высушивания в темноте под вакуумом при комнатной температуре выход полимеров составлял 80%. Судя по содержанию хлора, в полимерах дехлорирование происходит на 30—35%. ИК-спектры приведены на рис. 1, в, г.

Винилирование ПХАМАК. К раствору 1 г (0,01 г-моль) полимера в 30 мл растворителя прибавляли соответствующее количество хлормеркурацетальдегида (ХМАА), синтезированного действием ацетата ртути на винилацетат, и перемешивали в атмосфере азота при 60°C (см. таблицу). Затем по истечении требуемого промежутка времени реакционную смесь охлаждали, отделяли соли ртути и осаждали полимер из фильтрата петролейным эфиром (40—60°). После переосаждения полимер сушили до постоянного веса в темноте под вакуумом при комнатной температуре. Выход 85% от загруженного полимера. Полученные полимеры представляли собой порошки, хорошо растворимые в диметилформамиде, ацетоне, метилэтилкетоне, хлороформе и диоксане. ИК-спектры представлены на рис. 1, а, б.

### Выводы

Предложены новые способы получения ненасыщенных полимеров, содержащих реакционноспособные акрилонил- и винилоксигруппы.

### ЛИТЕРАТУРА

- Бемфорд К., Барб У., Джэнкинс А., Оньюн П. Кинетика радикальной полимеризации виниловых соединений. М., ИЛ, 1961, стр. 41.
- Несмеянов А. Н., Луценко И. Ф. Докл. АН ССР, 59, 707, 1948.
- Спектор В. И., Шур А. М. В сб.: Физико-химические методы анализа. Кишинев, изд-во «Штиинца», 1971, стр. 77.
- Шур А. М., Спектор В. И. Известия АН МССР, № 6, 47, 1968.

УДК 553.611

В. И. ШАФРАНСКИЙ, И. В. ДРАНКА, Т. Н. СОЛКАН, Д. Д. БУБУРУЗ,  
Б. И. ШТЕЙМАН

### ИССЛЕДОВАНИЕ ПЛИОЦЕНОВЫХ БЕНТОНИТОВЫХ ГЛИН МОЛДАВСКОЙ ССР МЕТОДОМ ИК-СПЕКТРОСКОПИИ

На протяжении ряда лет в лаборатории минерального сырья и химии воды Института химии АН МССР исследовались физико-химические характеристики и структурно-адсорбционные свойства природного активированного и катионзамещенных форм бентонитовых глин [6]. Было найдено, что кислотная активация с последующим катионным обменом резко повышает адсорбционные свойства исходного материала в процессе оклейки вина и очистки растительных масел.

В последние годы в республике открыты значительные залежи бентонитовых глин, что ставит вопрос о комплексном их исследовании с целью определения пригодности для применения в народном хозяйстве. По минералогическому составу бентониты новых месторождений (села Кочулия и Ларгуца) состоят главным образом из монтмориллонита с небольшой примесью каолинита, песка и других минералов [1].

Ввиду сложности химического и минералогического состава бентонитовые глины имеют самые различные физико-химические характеристики и, следовательно, обладают разными адсорбционными свойствами. Кроме того, кислотная активация и ионный обмен еще в большей степени изменяют свойства исходных минералов.

### Экспериментальная часть

Чтобы выяснить влияние кислотной активации и ионного обмена на спектральные характеристики бентонитов (месторождения с. Кочулия) были исследованы методом ИК-спектроскопии природный и активированный бентониты и их Na-, Ca- и Al-формы.

Природный бентонит отмучивался от крупных фракций и песка и промывался декантацией до отрицательной реакции на ионы  $\text{Cl}^-$ ,  $\text{SO}_4^{2-}$ ,  $\text{CO}_3^{2-}$ , высушивался, измельчался и просеивался.

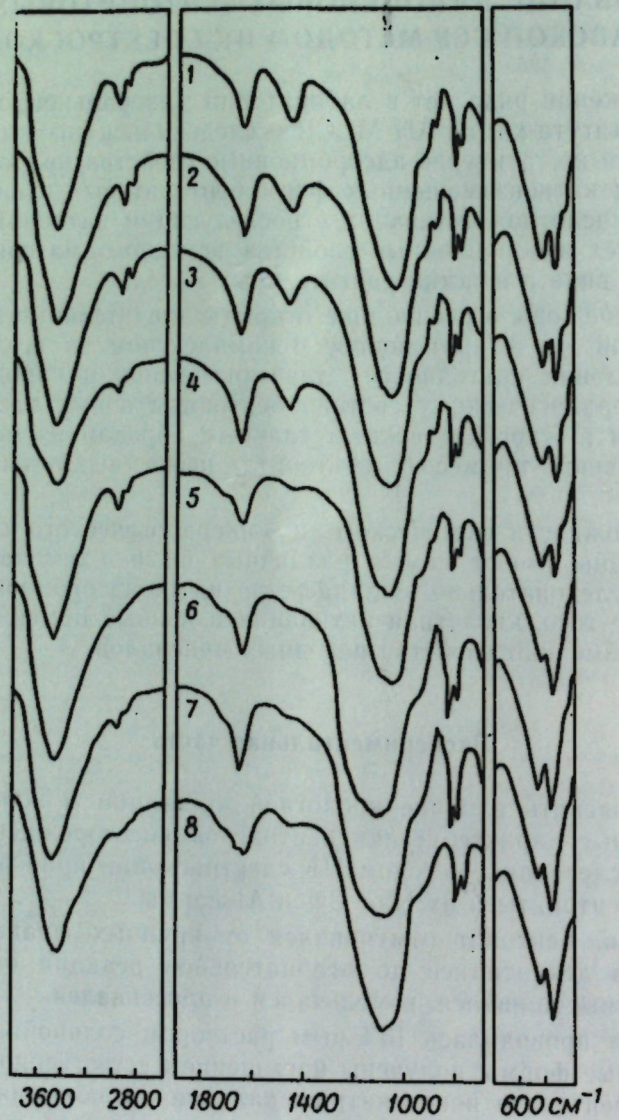
Активация проводилась 15%-ным раствором соляной кислоты. Катионзамещенные формы получены насыщением естественного или активированного бентонита ионами натрия, кальция и алюминия растворами соответствующих хлоридов. Образцы после активации и ионного обмена промывались до отрицательной реакции на ионы хлора.

ИК-спектры природных и их Na-, Ca- и Al-форм получены на спектрофотометре UR-20 в области  $400$ — $4000 \text{ см}^{-1}$ . Применялась методика прессования в таблетки из КВг (0,5 мг образца высущенного при 105°C на 150 мг КВг).

На рисунке представлены ИК-спектры поглощения природного и химически модифицированных бентонитов, а в таблице приведены их значения колебательных частот. Отнесение полос проводилось на основании литературных данных [2—6].

### Обсуждение результатов

В ИК-спектрах монтмориллонита, каолина и других минералов в области 2800—3800  $\text{cm}^{-1}$  наблюдается поглощение  $\nu(\text{OH})$  адсорбированной и межплоскостной воды, а также структурных гидроксильных групп. По положению и интенсивности полос можно судить о том,



ИК-спектры поглощения бентонитов:

1 — естественного, 2 — Na-формы естественного, 3 — Ca-формы естественного, 4 — Al-формы естественного бентонита, 5 — активированного, 6 — Na-формы активированного, 7 — Ca-формы активированного, 8 — Al-формы активированного

образуют ли данные гидроксильные группы водородные связи, или они не участвуют в образовании таковых.

В области 1400—1700  $\text{cm}^{-1}$  обычно расположены полосы деформационных колебаний, обязанных гидроксильным группам [2]. Валентные колебания Si-O различного характера проявляются в области

Значения колебательных частот в ИК-спектрах природного (E), активированного (A) бентонитов и их Na-, Ca- и Al-форм\*

E	E-Na	E-Ca	E-Al	A	A-Na	A-Ca	A-Al	Отнесение
3620п	3600п	3600п	3620п	3600п	3620п	3600п	3630п	$\nu(\text{OH})$
3440с	3450с	3450с	3450с	3450с	3455с	3450с	3450с	
3300п	3300п	3300п	3310п	3320п	3300п	3320п	3320п	
2930ср	2950ср	2940ср	2940ср	2940ср	2935ср	2930ср	2940ср	
2860сл	2860сл	2860сл	2870ср	2870сл	2865сл	2860сл	2860сл	
1710п	1710сл	1710п	1710п	1710сл	1710п	1710п	1728сл	$\nu(\text{OH})$
1640ср	1640ср	1640ср	1640ср	1638ср	1640ср	1640ср	1645ср	
1440ср	1440ср	1440ср	—	—	—	—	—	
1170п	$\nu_{\text{as}}(\text{SiOSi})$							
1090п	1090п	1080п	1080п	1080п	1100с	1100с	1095с	
1045с	1045с	1040с	1040с	1050с	1050с	1050с	1060с	$\nu(\text{AlOH})$ , $\nu(\text{Al}-\text{O})$
940п	950п	940п	940п	945п	960п	965п	955п	
880ср	883ср	885ср	885ср	890п	—	—	—	
840сл	840сл	840сл	840сл	840сл	—	—	—	$\nu(\text{SiOSi})$
805ср	807ср	805ср	805ср	805ср	805ср	805ср	805ср	
786ср	788ср	788ср	788ср	788ср	788ср	788ср	787ср	
700сл	705сл	700сл	700сл	703сл	705сл	705сл	700сл	$\nu(\text{SiOAl})$
520с	520с	520с	520с	515с	520ср	520ср	530ср	$\nu(\text{M}-\text{O})$ , $\nu(\text{SiO})$
465с	470с	460с	460с	465с	470с	470с	470с	
435ср	420ср	430п	430п	435п	—	—	—	

\* Обозначения интенсивности полос: с — сильная, сл — слабая, п — перегиб.

750—1200  $\text{cm}^{-1}$ , а колебания, связанные с изменением углов  $\text{Si}-\text{O}=\text{Si}$  и  $\text{Si}=\text{O}=\text{M}$ , — в области 500—800  $\text{cm}^{-1}$ . В интервале 400—500  $\text{cm}^{-1}$  часто проявляются валентные колебания металло-кислород [3].

Для алюмосиликатов монтмориллонитового типа характерно наличие полосы поглощения в области 1000—1100  $\text{cm}^{-1}$  [4]. Присутствие свободного кремнезема в бентонитовой глине сопровождается появлением в ИК-спектре полосы поглощения при  $\sim 800 \text{ cm}^{-1}$ .

Кислотная активация приводит к высвобождению поверхностных групп  $\text{SiOH}$ , занятых до этого ионами алюминия (и других металлов), к удалению аморфной части минерала и насыщению поверхности катионами алюминия и водорода.

Ионный обмен также сказывается на спектральных характеристиках бентонитов. В зависимости от природы поглощенного катиона ширина и интенсивность полосы алюмосиликатного скелета изменяются, одновременно изменяется и интенсивность полосы  $\delta(\text{AlOH}) \approx 940 \text{ cm}^{-1}$ .

Наличие в ИК-спектрах исследуемых образцов бентонитов широкой размытой полосы  $v_{as}(\text{SiOSi})$  в области 1040—1050  $\text{cm}^{-1}$  и полосы поглощения  $\gamma(\text{OH})$  межплоскостной воды с максимумом при  $\sim 3450 \text{ cm}^{-1}$  свидетельствует о том, что исходный образец в основном состоит из монтмориллонита. Небольшая примесь кремнезема подтверждается полосой средней интенсивности при 805  $\text{cm}^{-1}$ .

В ИК-спектрах природного бентонита и его катионзамещенных форм в области 2800—3800  $\text{cm}^{-1}$  наблюдается несколько полос поглощения различной интенсивности. При  $\sim 3450 \text{ cm}^{-1}$  отмечается широкая полоса высокой интенсивности, связанная  $v(\text{OH})$  воды гидрагиллитового слоя, Перегиб при  $\sim 3600 \text{ cm}^{-1}$ , по-видимому, обусловлен поглощением  $v(\text{OH})$  гидроксильных групп  $\text{Al}-\text{OH}$  пакета.

Полосы поглощения при  $\sim 2940$  и  $\sim 2860 \text{ cm}^{-1}$  могут также быть отнесены к  $\gamma(\text{OH})$  гидроксильных групп, возмущенных водородной связью. Однако не исключена возможность, что эти полосы, равно как полосы при 1140 и 1710  $\text{cm}^{-1}$ , относятся к поглощенному комплексу, который, как известно, достаточно трудно вымывается с поверхности бентонита.

В области 1400—1800  $\text{cm}^{-1}$  в спектрах исследуемых образцов наблюдаются полосы поглощения деформационных колебаний воды с максимумами при  $\sim 1710$  и 1640  $\text{cm}^{-1}$  [6], а при 1440  $\text{cm}^{-1}$  —  $\delta(\text{OH})$  поверхностных гидроксильных монтмориллонита.

Характерная полоса алюмосиликатов монтмориллонитового типа при  $\sim 1045 \text{ cm}^{-1}$  с перегибами при  $\sim 1170$  и  $\sim 1090 \text{ cm}^{-1}$  обусловлена асимметрическими валентными колебаниями связи  $\text{Si}-\text{O}-\text{Si}$  в кремнекислородных тетраэдрах  $[\text{SiO}_4]^{4-}$ .

Полоса поглощения при  $\sim 1055 \text{ cm}^{-1}$  вызвана колебанием тетраэдов  $[\text{SiO}_4]^{4-}$  для алюмосиликателей. По-видимому, полоса обусловлена  $v(\text{Si}-\text{O})-\text{Al}$ .

Полоса при  $\sim 940 \text{ cm}^{-1}$ , присутствующая как в спектре исходного бентонита, так и в спектрах  $\text{Na}^+$ ,  $\text{Ca}^{2+}$  и  $\text{Al}^{3+}$ -форм, свидетельствует о наличии катионов трехвалентного алюминия в структуре монтмориллонита.

В спектрах природного бентонита, а также всех его химически модифицированных форм, отмечается полоса поглощения при 805  $\text{cm}^{-1}$ , относящаяся к  $v_{as}(\text{SiOSi})$  свободного кремнезема. Это обстоятельство подтверждает ранее сделанный вывод о том, что бентонитовые глины с. Кочулия содержат некоторое количество кремнезема [1].

Полосу поглощения при  $\sim 780 \text{ cm}^{-1}$  следует отнести к  $v(\text{Si}-\text{O})-\text{Al}$ , а полосу при  $\sim 700 \text{ cm}^{-1}$  — к  $v_{as}(\text{SiOSi})$  [3]. Такое приписание не

совсем строгое, так как полосы  $M-(\text{O}-\text{Si})$  почти идентичны полосам  $\text{Si}-\text{O}(-\text{M})$ .

В низкочастотной области спектра наблюдается сильная полоса с максимумом при  $\sim 520 \text{ cm}^{-1}$ , обусловленная деформационными колебаниями связи  $\text{Si}-\text{O}-\text{Al}$  [3]. Полосу при  $\sim 460 \text{ cm}^{-1}$  можно отнести к валентному колебанию связи  $\text{Al}-\text{O}$  или к деформационному колебанию связи  $\text{Si}-\text{O}$ , а полоса при  $\sim 430 \text{ cm}^{-1}$ , по-видимому, обязана связи  $M-\text{O}$  металлов, вымывающихся с поверхности минерала при кислотной активации.

Интересно отметить, что кислотная активация приводит к уменьшению интенсивности, а иногда и к полному исчезновению полос поглощения при 1440, 880, 840 и 430  $\text{cm}^{-1}$ , что можно объяснить как частичными изменениями поверхности исходного минерала, так и его химического состава.

Максимум при 1040  $\text{cm}^{-1}$  полосы поглощения  $v_{as}(\text{SiOSi})$  в процессе кислотной активации несколько смещается в высокочастотную область.

Катионный обмен не вызывает существенных изменений ИК-спектров природного или активированного бентонитов, однако насыщение поверхности бентонита ионами  $\text{Na}^+$ ,  $\text{Ca}^{2+}$  и  $\text{Al}^{3+}$  приводит к некоторому смещению основных полос поглощения алюмосиликатного остова, а иногда и к изменению их интенсивности.

## Выводы

1. Исследованы ИК-спектры природного, активированного и катионзамещенных форм бентонитовой глины с. Кочулия.
2. На основании данных ИК-спектров показано, что исследуемый бентонит состоит из монтмориллонита с небольшой примесью кремнезема.
3. Кислотная активация существенным образом сказывается на спектральных характеристиках природного бентонита.

## ЛИТЕРАТУРА

1. Билинкис Г. И., Догарь Г. Н., Жеру М. И., Макринич Н. И., Перец Ф. С., Рогот В. М., Стратулат Г. В., Шафранский В. Н. Известия Академии наук МССР, Серия биол. и хим. наук, № 1, 72—76, 1973.
2. Кляев В. И., Слисаренко Ф. А., Забелин В. А. В сб.: Природные сорбенты Поволжья. Саратов, 1972.
3. Лазарев А. Н. Колебательные спектры и строение силикатов. Л., изд-во «Наука», 1968.
4. Надирова Г. А. Ж. физической химии, 45, № 5, 1117—1120, 1971.
5. Плюснина И. И. Инфракрасные спектры силикатов. М., Изд-во МГУ, 1967.
6. Шафранский В. Н., Флештор Н. Т. Известия Академии наук МССР, Серия биол. и хим. наук, № 4, 67—72, 1971.

## НАУКА—СЕЛЬСКОМУ ХОЗЯЙСТВУ

УДК 633.853.78:631.8

И. Е. БУХАР, Т. Н. МЕДВЕДЕВА

### ВЛИЯНИЕ УСЛОВИЙ ПИТАНИЯ И ПРЕДШЕСТВЕННИКА НА УРОЖАЙ И КАЧЕСТВО СЕМЯН ПОДСОЛНЕЧНИКА

Различные сельскохозяйственные растения и применяемые при их возделывании приемы агротехники оказывают неодинаковое влияние на водный, пищевой и воздушный режим почвы. Поэтому правильный подбор предшественников, обеспечивающих получение высоких и устойчивых урожаев каждой культуры, в том числе и подсолнечника, является одним из основных условий для создания правильного севооборота в условиях современного уровня развития сельского хозяйства.

За последнее десятилетие в республике изменилась структура посевых площадей. Значительно расширились посевы сахарной свеклы и кукурузы, повысилась культура земледелия, резко изменился сортовой состав основных полевых культур.

Увеличение применения удобрений за последние годы привело к значительному повышению урожайности и улучшению качества продукции полевых культур, в том числе и подсолнечника, к увеличению выноса ими питательных веществ из почвы.

В процессе роста и развития подсолнечник расходует значительное количество питательных элементов. Так, при урожайности семян в 27,2—31,6 ц/га он потребляет из почвы 132—197 кг азота; 57—82 кг фосфора и 262—305 кг калия [2].

Известно, что лучшими предшественниками для подсолнечника следует считать зерновые колосовые, затем кукурузу и худшим предшественником — сахарную свеклу [1—4].

В связи с резкой интенсификацией сельскохозяйственного производства, повышением культуры земледелия следует задуматься над некоторыми «канонами» в агротехнике подсолнечника.

Накопленный десятилетиями опыт возделывания подсолнечника свидетельствует о правильности основных положений агротехники этой культуры. Безусловно, зерновые колосовые, особенно озимая пшеница, являются хорошим предшественником для любой культуры, в том числе и для подсолнечника. Но в современных условиях высокой культуры земледелия, когда севообороты весьма насыщены, посевые площади под некоторыми техническими культурами в республике значительно возросли, не всегда имеется возможность такого «классического» размещения культур в севообороте, как это рекомендуется.

Поэтому возникает необходимость изучения влияния питания и предшественников на урожай и масличность семян подсолнечника в современных условиях сельскохозяйственного производства.

Молдавия по размерам посевной площади под подсолнечником уступает лишь РСФСР и УССР, а по урожайности — делит первое место с Украиной.

По данным Ширшова [5], самые большие посевые площади под

подсолнечником в республике были в 1965 г. (238,7 тыс. га), затем сократились и к 1973 г. составляли более 200 тыс. га. Следует отметить стабильность урожаев этой культуры: даже в самые неблагоприятные годы не было большого снижения. Средняя урожайность семян подсолнечника за прошлую пятилетку составила 16,4 ц/га, что превышает урожайность этой культуры в других республиках, за исключением Украины.

Урожай семян подсолнечника в настоящей пятилетке (1971—1975 гг.) запланирован следующим образом: 1971 г. — 18,1 ц/га; 1972 г. — 18,6 ц/га; 1973 г. — 19,2 ц/га; 1974 г. — 19,7 ц/га; 1975 г. — 20,3 ц/га. Это значит, что ежегодный прирост урожая должен быть не менее 0,8 ц/га, а к концу пятилетки прирост составит 2,2 ц/га. В 1973 г. в республике получен высокий урожай семян подсолнечника, в среднем 20,5 ц/га, государству сдано 274 тыс. т семян. Это свидетельствует о том, что агротехнике возделывания подсолнечника в республике уделяется большое внимание.

Если учесть, что в настоящее время посевые площади под подсолнечником несколько сократились, то повышение урожайности этой культуры связано исключительно с правильным размещением подсолнечника в севообороте и применением удобрений.

Таким образом, изыскание путей дальнейшего роста урожайности и увеличения масличности семян подсолнечника имеет большое народнохозяйственное значение.

Наши опыты по подсолнечнику проводятся начиная с 1967 г. в производственных условиях колхозов «Вяча ноуэ» Оргеевского и «Виктория» Теленештского районов. В исследование взят сорт ВНИИМК 1646, размер делянок 240—400 м<sup>2</sup>, повторность опыта четырехкратная, почва — обыкновенный и карбонатный чернозем.

Основными предшественниками подсолнечника были озимая пшеница, кукуруза и сахарная свекла. Удобрения вносились с осени под основную вспашку, часть азотных — весной под предпосевную культуриацию. При закладке и проведении полевых опытов испытывались все возможные дозы, соотношения и комбинации в целях выявления реакции подсолнечника на вносимые удобрения.

Известно, что у подсолнечника отмечаются периоды, резко отличающиеся по динамике поступления элементов питания как в целое растение, так и в отдельные органы.

Ранняя фаза развития подсолнечника характеризуется наиболее высоким процентным содержанием питательных веществ. По мере нарастания вегетативной массы относительное содержание азота, фосфора и калия в ней снижается и самый низкий процент этих веществ (19—20% от максимального содержания) отмечается при созревании подсолнечника. В это время процесс поглощения питательных веществ ослабевает и уменьшается содержание в вегетативных органах, что обусловлено их оттоком к репродуктивным органам, потерей отмерших листьев, а также возможным оттоком питательных веществ через корни в почву. Содержание азота в семенах в 4 раза, фосфора в 9 раз выше, чем в вегетативной массе [2].

Потребление питательных веществ неразрывно связано с влагообеспеченностью растений, а также с температурой воздуха.

В этом отношении большое значение имеют осадки, если они выпадают в наиболее ответственный период, когда служат главным фактором для изменения направленности физиологических и биохимических процессов. Более низкая температура воздуха и выпадение

осадков в конце мая и начале августа являются решающими для повышения урожайности и масличности семян подсолнечника.

Годы проведения исследований (1967, 1971, 1972, 1973) были в основном благоприятными как в отношении распределения осадков, так и в отношении температуры в течение вегетации подсолнечника. Так, за май-июль выпало в среднем по годам следующее количество осадков: 226,5; 374,9; 227,0; 158,0 мм, что способствовало лучшему использованию внесенных удобрений и положительно сказалось на продуктивности растений подсолнечника.

Ниже мы приводим данные тех лет исследований, агрометеорологические условия которых были в основном сходными (см. таблицу).

Полученный экспериментальный материал свидетельствует о том, что в большинстве случаев подсолнечник больше реагирует на внесение фосфорных и меньше — азотно-калийных удобрений. Так, если урожай подсолнечника (предшественник озимая пшеница) на контроле составил 23,2 ц/га, то осенне внесение полной нормы минеральных удобрений ( $N_{45}P_{60}K_{60}$ ) дало прибавку 4,6 ц/га. Внесение одного только фосфорного удобрения ( $P_{60}$  осенью) способствовало увеличению урожайности семян на 3,9 ц/га, в то время как действие удобрений, не содержащих фосфор (азотно-калийные —  $N_{45}K_{60}$ ), не сказалось на урожайности (прибавка 0,4 ц/га).

Следовательно, для подсолнечника особенно важно то, чтобы удобрения, содержащие фосфор, обязательно были внесены с осени.

Изучение влияния различных доз минеральных и органических удобрений показало, что внесение органических удобрений (20—40 т/га навоза) положительно сказалось на урожайности семян подсолнечника, прибавка урожая на этом варианте удобрений составила 2,7—3,6 ц/га (см. таблицу).

Подсолнечник хорошо реагирует на последействие удобрений, особенно четко это проявилось при оптимальных условиях влагообеспеченности, когда происходит наиболее полное поглощение корневой системой необходимых элементов питания. Поэтому растения отличаются мощным ростом как вегетативной массы, так и корзинок, что в конечном итоге положительно сказывается на урожае.

Проведенные нами исследования в этом направлении показали, что при правильном сочетании действия внесенных с осени или весной удобрений, а также их последействия на второй год можно получить хороший урожай семян подсолнечника с высокой масличностью по таким предшественникам, как кукуруза на зерно, сахарная свекла, которые не так давно считались плохими предшественниками для подсолнечника.

Из приведенных в таблице данных видно, что на всех удобренных вариантах в опытах с последействием удобрений, урожай семян подсолнечника выше, чем в контроле. Так, урожай семян на контроле по предшественникам кукуруза на зерно (1971 г.), сахарная свекла (1972 г.) и сахарная свекла (1973 г.) составил соответственно: 25,8; 28,3; 31,1 ц/га. На варианте опыта полного минерального удобрения ( $N_{45}P_{60}K_{60}$ ) соответственно — 26,2; 33,5 и 34,8 ц/га. Прибавка урожая в опытах с последействием удобрений по указанным выше предшественникам составила от 0,4 ц/га по кукурузе до 3,7—5,2 ц/га по сахарной свекле, прибавка урожая семян на аналогичном варианте опыта по озимой пшенице — 4,6 ц/га.

Не менее интересные данные получены и на вариантах опыта с чистым фосфорным и фосфорно-азотным ( $P_{60}$  осенью +  $N_{45}$  весной)

Урожай подсолнечника в зависимости от предшественника и условий питания (1967—1973 гг.)

Вариант удобрений	Предшественники				сахарная свекла (1973 г.)								
	кукуруза на зерно (1971 г.)		сахарная свекла (1972 г.)		урожай, ц/га	% жира в семенах	выход масла, ц/га	урожай, ц/га	% жира в семенах	выход масла, ц/га	урожай, ц/га	% жира в семенах	выход масла, ц/га
озимая пшеница (1967 г.)	урожай, ц/га	% жира в семенах	урожай, ц/га	% жира в семенах	урожай, ц/га	% жира в семенах	выход масла, ц/га	урожай, ц/га	% жира в семенах	выход масла, ц/га	урожай, ц/га	% жира в семенах	выход масла, ц/га
Контроль	23,2	52,82	12,25	25,8	58,7	11,71	—	28,3	31,4	58,5	13,07	31,1	60,3
$P_{60}$ осенью + $N_{45}$ весной	—	—	—	—	—	—	—	—	29,4	59,7	13,39	33,3	61,7
$P_{60}$ осенью + $K_{60}$ весной	27,8	52,28	14,53	26,2	63,4	12,62	33,5	60,1	15,35	34,8	14,36	34,3	61,4
$N_5P_{60}K_{60}$	—	—	—	—	—	—	—	—	—	—	—	—	—
$N_5P_{120}K_{120}$	27,1	53,04	14,37	28,1	64,4	13,76	—	—	—	—	—	—	—
$P_{60}$ осенью	23,6	51,21	12,08	—	—	—	—	—	—	—	—	—	—
$N_5K_{60}$	25,9	51,15	13,25	29,4	63,6	14,21	—	—	—	—	—	—	—
20—40 т/га навоза	—	—	—	—	—	—	—	—	—	—	—	—	—

удобрениями. Так, по предшественникам озимая пшеница (1967 г.), кукуруза на зерно (1971 г.), сахарная свекла (1972 г.), сахарная свекла (1973 г.) прибавка урожая на указанном варианте опыта составила соответственно: 3,9; 2,3; 3,1 и 5,3 ц/га.

Полученные данные по урожайности семян подсолнечника и в опыте с последействием удобрений по «худшим» предшественникам позволяют заключить, что и здесь эффективно используются растениями подсолнечника фосфорные, азотно-фосфорные удобрения и NPK.

Повышенные дозы азотно-фосфорно-калийных удобрений ( $N_{90}P_{120}K_{120}$ ) увеличивают урожайность и масличность семян подсолнечника по всем предшественникам, дают такую же прибавку урожая, как и чисто фосфорные удобрения и одинарная норма NPK.

Содержание жира в семенах и ядрах семян по всем предшественникам достаточно высокое и мало изменяется под влиянием различных доз удобрений. Наиболее высокая масличность ядер семян отмечена по предшественнику кукурузы на зерно, где максимальное количество жира в ядре колеблется от 63,6 до 64,6%, соответственно по вариантам удобрений — 20—40 т/га навоза и Р<sub>60</sub> осенью.

Подсчеты показали, что при урожае семян 23,2 ц/га (предшественник озимая пшеница) выход масла с гектара составляет на контроле 12,25 ц/га, а внесение 3 ц суперфосфата и по 1,5 ц аммиачной селитры и калийной соли на 1 га с осени под основную вспашку повышает урожайность семян на 3,9 ц/га, выход масла на 2,12 ц/га по сравнению с контролем. Аналогичная закономерность сохраняется и в опыте с последействием удобрений по другим предшественникам. В частности, по сахарной свекле выход масла подсолнечника на варианте опыта  $N_{45}P_{60}K_{60}$  на 2,18 ц/га больше, чем в контроле. В этом же опыте с последействием удобрений по предшественнику сахарная свекла абсолютный вес семян составлял 73—78 г, а лузгистость 22—25% в зависимости от варианта опыта.

Известно, что сахарная свекла в течение вегетации потребляет наибольшее количество влаги среди полевых культур [1]. Наши данные показывают, что количество доступной влаги, оставшееся в метровом слое почвы в 1973 г. после свеклы и после подсолнечника, почти одинаковое.

Выявлено, что подсолнечник выносит из почвы большое количество питательных веществ, особенно калия, в этом отношении сахарная свекла при оптимальной влагообеспеченности может стать хорошим предшественником для подсолнечника, так как после нее в почве остается много калия [2].

Обобщая изложенные данные по влиянию различных доз удобрений и предшественников на урожай и качество семян подсолнечника, можно прийти к следующему заключению.

В большинстве случаев подсолнечник сильнее реагирует на внесение фосфорных удобрений и слабее на азотно-калийные. При правильном сочетании действия внесенных с осени удобрений (особенно фосфорных), а также их последействия на второй год в условиях оптимальной влагообеспеченности можно получить хороший урожай семян подсолнечника с высокой масличностью по таким предшественникам, как кукуруза на зерно, сахарная свекла, которые считались плохими предшественниками для подсолнечника.

В производственных условиях, когда севообороты весьма насыщены техническими культурами, размещение подсолнечника по указанным выше предшественникам оправдывает себя. Установлено, что под

солнечник нужно вносить столько же удобрений, сколько под кукурузу и сахарную свеклу.

Полученные данные могут быть использованы при дальнейшей разработке агромероприятий по повышению урожайности подсолнечника в условиях орошения.

## ЛИТЕРАТУРА

- Бондаренко Ю., Шонцу Г. «Сельское хозяйство Молдавии», 1973, № 11, стр. 15—17.
- Бузинов П. А., Агаркова Н. А., Стороженко Л. Г. В сб.: Агротехника масличных культур. Краснодар, 1968, стр. 312—325.
- Игнатьев Б. К., Агаркова Н. А., Геворкянц С. А. В сб.: Агротехника масличных культур. Краснодар, 1968, стр. 26—45.
- Шанский Ю. А. Агротехника высоких урожаев масличных культур (на юго-востоке). М., 1966.
- Ширшов И. Ж. «Зерновое хозяйство», № 3, 12—14, 1972.

## КРАТКИЕ СООБЩЕНИЯ

УДК 581.14:581.192:631:523

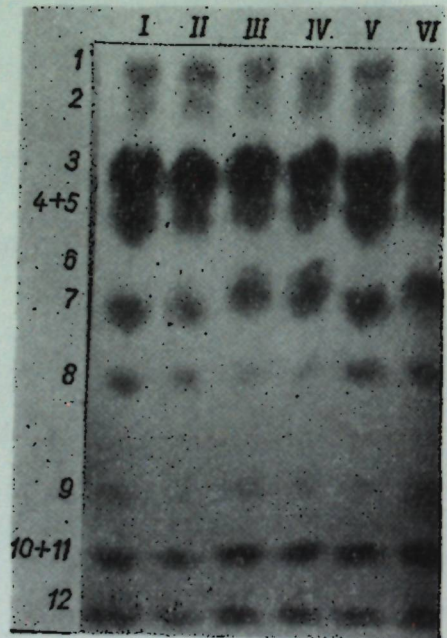
И. Х. КИРТОКА, С. И. ПАШКАРЬ

### ДИНАМИКА СВОБОДНЫХ АМИНОКИСЛОТ В ПАСОКЕ КУКУРУЗЫ С ГЕНОМ ОПАК-2 В ОНТОГЕНЕЗЕ

В предыдущих исследованиях нами было показано, что под влиянием гена опак-2 изменяются не только биохимические процессы зерна кукурузы, но и физиологические процессы всего растения [1—3].

В настоящей статье освещены результаты изучения изменчивости в процессе вегетации состава и содержания свободных аминокислот в пасоке кукурузы с геном  $O_2$ .

Для сбора пасоки надземную часть растения удаляли на уровне первого снизу междуузлия и на поверхность среза натягивали резиновую соску с прорезанным небольшим отверстием. Собирали дневную, ночную и суточную пасоку.



Свежесобранныю пасоку быстро наносили на хроматограммы (бумага Ленинградская М или FN-1) — по 0,1 мл в пятно и пропускали четырехкратно в подвижном растворителе и-бутиanol-уксусная кислота-вода = 5:1:2,3. После проявления ингибитором (0,5%-ный раствор в ацетоне) элюировали пятна аминокислот (75%-ным этанолом), а интенсивности полученных окрасок измеряли на ФЭК-М в кюветах 10 мм при зеленом светофильтре.

Полученные данные показали, что среди свободных аминокислот пасоки нормальной кукурузы и с геном  $O_2$  основное место занимают амиды аспарагиновой и глутаминовой кислот — аспарагин и глутамин.

Растения линии ГВ-4417 с геном  $O_2$  отличались повышенным содержанием глутамина и аланина (а также других свободных аминокислот пасоки) в фазах формирования зерна и молочной спелости по сравнению с нормальным аналогом. В фазу цветения метелок в опытах 1972 г. это преобладание было не столь велико, а к фазам розковой и полной спелости различия сглаживались. В фазе молочной спелости в

опытах 1972 и 1973 гг. был отмечен любопытный факт исчезновения глутаминовой кислоты в пасоке под влиянием гена  $O_2$  (рисунок), что свидетельствует о вовлечении ее в интенсивно проходящие в этот период обменные процессы, связанные с формированием зерна.

## ЛИТЕРАТУРА

1. Киртоха И. Х. В сб.: Генетика и селекция в Молдавии. Кишинев, 1971, стр. 18.
2. Коварский А., Чалык Т., Пашкарь С., Киртоха И., Огурцова Н., Рогарь А., Палий А. «Сельское хозяйство Молдавии», 1969, № 12, стр. 33—35.
3. Пашкарь С. И., Киртоха И. Х. В сб.: Методы селекции с.-х. растений в Молдавии. Кишинев, 1972, стр. 17—20.

УДК 577.11.581.192

В. И. ЧОБАНУ, А. Г. НИКОЛАЕВ

### О СОСТАВЕ ЭФИРНОГО МАСЛА МЯТЫ КАВКАЗСКОЙ

Известно, что каждый вид растений характеризуется относительным постоянством химического состава, т. е. составляющие его формы имеют один и тот же набор веществ. Вместе с тем иногда встречаются исключения из этого правила. Одним из примеров тому может служить мята кавказская.

Нам были переданы для исследования два растения флоры Северного Кавказа, описанные В. Н. Ворошиловым под названием *Mentha caucasica* (Briq.) Gandg. (№ 4136 и № 4137). Они совершенно не различались по морфологическим признакам. Во «Флоре СССР» [1] эта мята описана как *Mentha longifolia* ssp. *caucasica* Briq., с указанием, что ее эфирное масло состоит из пuleгона (40%), ментола и ментона. Уже органолептический анализ показал, что оба эти растения резко различаются между собою по химическому составу и ни одно из них по составу масла не имеет ничего общего с описанным во «Флоре СССР».

Ранее было показано, что масло растения № 4137 на 80% состоит из линалоола, 10% гераниола, а также содержит линолинатет, мирцен, лимонен, гумулен, карифиллен [2, 3].

Мы исследовали второе растение № 4136, произрастающее в природе рядом с первым. Его эфирное масло представляло собой прозрачную жидкость со слабым зеленоватым оттенком и резким запахом. В отличие от ранее изученного оно почти полностью кристаллизовалось уже при комнатной температуре. По физико-химическим константам наблюдалось большое сходство масел этих двух растений (см. таблицу).

Физико-химическая характеристика масел мяты кавказской

Мята	% масла (сухие листья + соцветия)	$\alpha_{D}^{20}$	$\eta_{D}^{20}$	% в масле		$\lambda_{\text{макс.}, \text{мк}}$	$E_{\frac{1}{2}}$
				спиртов	кетонов		
№ 4137 [2, 3]	1,9	+16°	1,460	91	нет	нет	нет
№ 4136	1,5	120°	1,471	93	нет	нет	нет
Пулегонная форма	1,4	+27°	1,478	—	более 40	252	-1,81

Однако, как показали наши исследования, изучаемое растение (№ 4136) содержит в качестве основного компонента масло кристаллический одноатомный третичный спирт циклического строения с Т. пл. 63°C, а не линалоол или гераниол, как растение № 4137. Этот спирт впервые был обнаружен и описан как терпеноид с общей формулой  $C_{10}H_{16}O$  при изучении масла *Mentha incana* Wield [4], где он составлял около 15%.

Многочисленные литературные сведения свидетельствуют о том, что количественное содержание отдельных компонентов у растений внутри вида может значительно колебаться. Однако еще не было оснований утверждать, что в пределах мяты кавказской наблюдаются различия по качественному составу терпеноидов.

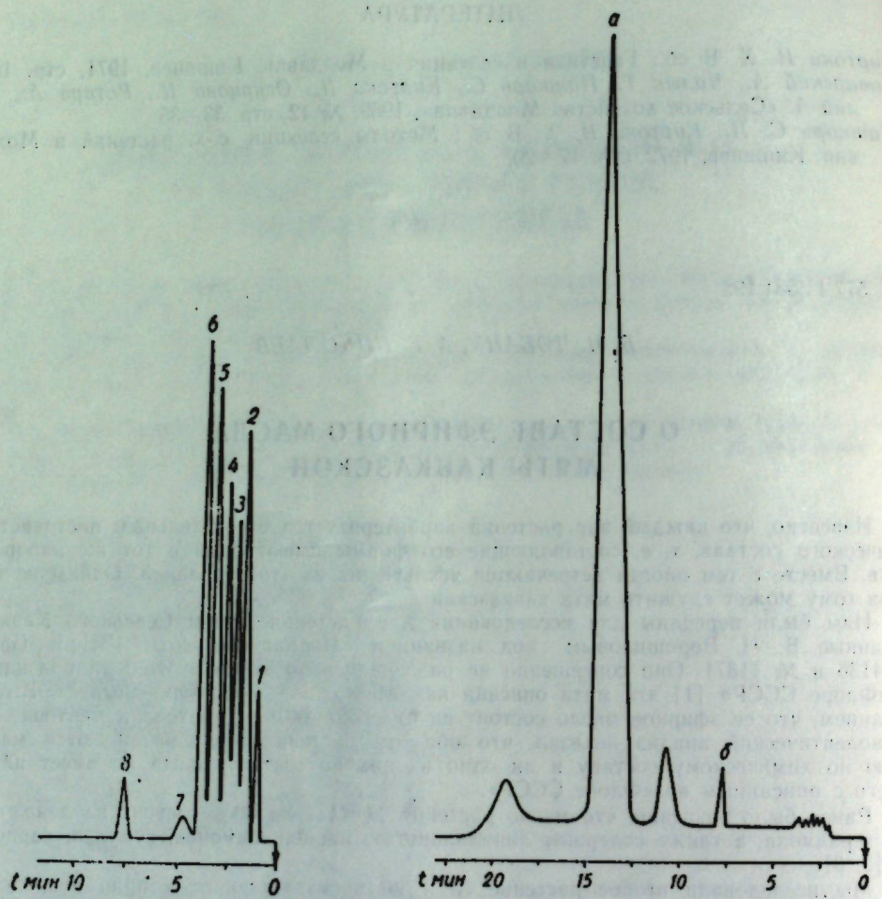


Рис. 1. Хроматограмма первой фракции:

1 — а-пинен, 2 — β-пинен,  
3 — мирцен, 4 — лимонен,  
5 — цинеол, 6 — Р-цимол,  
7 — октанол-3, 8 — инканол.  
(Колонка 2 м, реоплекс 400  
на целите, газ-носитель ге-  
лий, 60 мл/мин, Т<sup>°</sup>кол.=  
=138°C, Т<sup>°</sup>дет.=180°C)

В связи с этим, необходимо было провести более детальное исследование состава терпеноидов жидкой части масла. Она была разделена в вакууме на две фракции. С помощью газожидкостной хроматографии и инфракрасной спектроскопии нами установлено следующее. Путем сравнения относительных (по лимонену) удерживаемых объемов с заведомо известными свидетелями в первой фракции обнаружены: а-пинен (пик 1), β-пинен (пик 2), мирцен (пик 3), лимонен (пик 4), пинеол (пик 5); Р-цимол (пик 6), октанол-3 (пик 7), инканол (пик 8) (рис. 1).

Основным компонентом второй фракции был терпиненол-4 (85%) (рис. 2, пик а). Присутствие его доказывалось спектром поглощения в ИК-области (рис. 3), все полосы поглощения совпадают со спектром чистого препарата [5, 6].

Таким образом, эфирное масло изучаемой нами мяты содержит инканол (62%), терпиненол-4 (20%), Р-цимол (3,3%), цинеол (2,9%), лимонен (0,9%), мирцен (0,8%), β-пинен (0,5%), а-пинен (0,1%), октанол-3 (1%). Присутствие линалоола, гераниола и других веществ, характерных для мяты № 4137, обнаружить не удалось. Отсут-

ствуют также и вещества, характерные для мяты кавказской, описанной во «Флоре СССР» (пulegon, ментол и ментон).

Приведенные факты, с нашей точки зрения, представляют многосторонний интерес. Прежде всего, они показывают, что при изучении химической природы вида нужно иметь в виду, что морфологически неразличимые растения могут иметь совер-

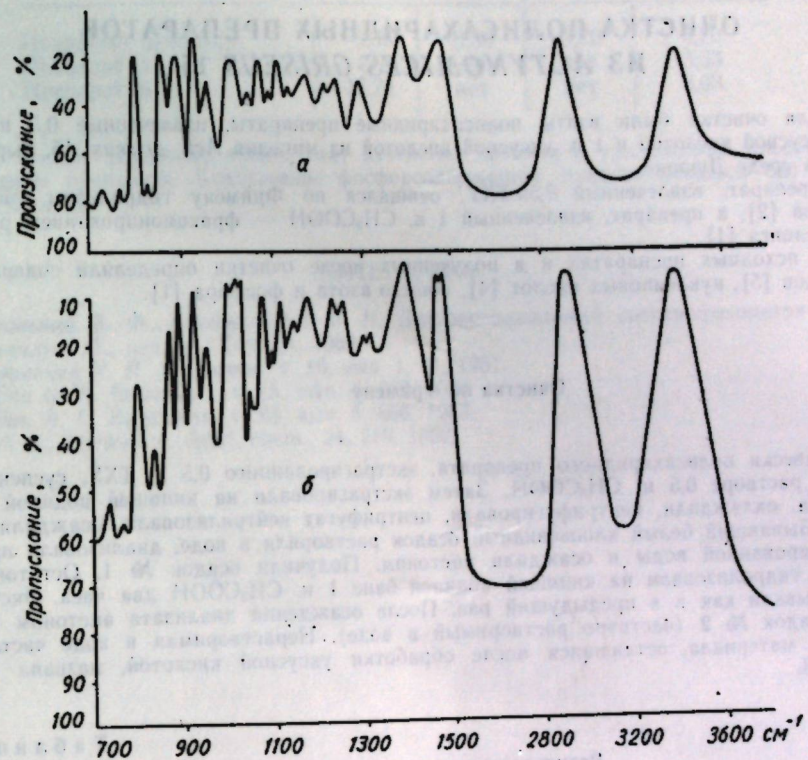


Рис. 3. Спектр поглощения в ИК-области:  
а — спектр чистого препарата, б — спектр терпиненола — 4 из второй фракции  
(снят на UR-10)

шенно различный состав по данной группе веществ. Во-вторых, поскольку упомянутые растения произрастают в одних и тех же экологических условиях, эти различия в данном случае обусловлены скорее всего генетическими факторами. Особенно важно это учитывать при вовлечении дикорастущих растений в скрещивания с целью изучения наследования и изменчивости химического состава.

#### ЛИТЕРАТУРА

1. Флора СССР, т. 21, М., 1954.
2. Кубрак М. Н. Тр. по химии природ. соед., вып. 4. КГУ, 1961, стр. 93—99.
3. Кубрак М. Н. Изменчивость состава терпеноидов у мяты кавказской при вегетативном и генеративном размножении. Канд. дисс. Кишинев, КГУ, 1967.
4. Николаев А. Г., Черноморец М. В. Тр. по химии природ. соед., вып. 2, КГУ, 1959, стр. 35—45.
5. Mitzner B. M., Mancini V. J., Lemberg S., Theimer E. T. Terpene Alcohols, Applied Spectroscopy, v. 22, N 1, 1968.
6. Horak M., Moll O., Pliva I., Sorm F. Die terpene. Sammlung des Spektren und physikalischen Konstanten. Teil 1, Monoterpene Ac.-verlag. Berlin, 1963.

УДК 66.067:576.852.1

Т. В. ФИЛИППОВА, П. Н. РАЗУМОВСКИЙ

## ОЧИСТКА ПОЛИСАХАРИДНЫХ ПРЕПАРАТОВ ИЗ *ACTYONOMICES GRISEUS* 15

Для очистки были взяты полисахаридные препараты, извлеченные 0,5 н. трихлоруксусной кислотой и 1 н. уксусной кислотой из мицелия *Act. griseus* 15, выращенного на среде Дюлоне.

Препарат, извлеченный 0,5 н. ТХУ, очищался по Фримену гидролизом уксусной кислотой [2], а препарат, извлеченный 1 н.  $\text{CH}_3\text{COOH}$  — фракционированием раствором Фелинга [1].

В исходных препаратах и в полученных после очистки определяли содержание углеводов [5], нуклеиновых кислот [4], общего азота и фосфора [1].

### Очистка по Фримену

Навески полисахаридного препарата, экстрагированного 0,5 н. ТХУ, суспендировали в растворе 0,5 н.  $\text{CH}_3\text{COOH}$ . Затем экстрагировали на кипящей водяной бане два часа, охлаждали, центрифугировали, центрифугат нейтрализовали, осаждали ацетоном. Выпавший белый хлопьевидный осадок растворили в воде, дialisировали против дистиллированной воды и осаждали ацетоном. Получили осадок № 1. Остаток материала гидролизовали на кипящей водяной бане 1 н.  $\text{CH}_3\text{COOH}$  два часа. Экстракт обрабатывали как и в предыдущий раз. После осаждения дialisата ацетоном получили осадок № 2 (частично растворимый в воде). Нерастворимая в воде часть исходного материала, оставшаяся после обработки уксусной кислотой, названа осадком № 3.

Таблица 1

### Результаты химического анализа

Образец	Углеводы, %	Нуклеиновые кислоты, %	Азот, %	Фосфор, %
Экстракция 0,5 н. ТХУ	5,5	1,50	1,4	Фракция А—26,0 Фракция Б—32,0
Осадок № 1	6,0	0,08	0,6	24,2
Осадок № 2	7,6	0,03	1,19	33,3
Осадок № 3	4,6	0,03	нет	17,10

В табл. 1 приводятся данные химического анализа исходного вещества и веществ, полученных в результате очистки уксусной кислотой.

В результате этой очистки можно добиться уменьшения содержания нуклеиновых кислот и азотсодержащих соединений.

### Очистка раствором Фелинга

При прибавлении раствора Фелинга к водному раствору полисахарида, извлеченного 1 н.  $\text{CH}_3\text{COOH}$ , выпадает осадок. Полученный осадок отмывается несколько раз подкисленным спиртом для удаления ионов меди, а затем отмывается еще ацетоном до отрицательной реакции на  $\text{Cl}^-$ . Получили осадок А, центрифугат, оставшийся после удаления осадка А, нейтрализовали уксусной кислотой и дialisировали сутки против дистиллированной воды. Диализат сгущали в вакууме и осадили спиртом. Осаждение спиртом повторяли несколько раз.

В результате получили осадок Б. Как и при очистке гидролизом уксусной кислотой, в результате обработки раствором Фелинга, в полученных фракциях содержится

Таблица 2

### Результаты химического анализа препаратов А и Б

Образец	Углеводы, %	Азот, %	Нуклеиновые кислоты, %	Фосфор, %
Исходный препарат	0,50	3,50	3,70	4,70
Препарат А	4,50	нет	нет	3,33
Препарат Б	17,70	нет	нет	3,03

гораздо меньшие (следовые количества) азотистых веществ и нуклеиновых кислот, чем в исходном препарате. Содержание фосфорсодержащих веществ остается без изменения (табл. 2).

### ЛИТЕРАТУРА

- Барковский В. Ф., Ганопольский В. И. Дифференциальный спектрофотометрический анализ. М., изд-во «Химия», 1969.
- Дубровская И. И. Биохимия, т. 16, вып. 1, 41, 1951.
- Орлова О. К. Биохимия, т. 15, вып. 4, 362, 1950.
- Спирин А. С. Биохимия, т. 23, вып. 5, 656, 1953.
- Frank A., Loewius A. Anal. chem., 24, 219, 1952.

## РЕФЕРАТЫ

УДК 581.15:631.511

Амплитуда изменчивости признаков греческого ореха (*Juglans regia* L.) в Молдавии в условиях полукультуры. Команич И. Г. Известия Академии наук Молдавской ССР, Серия биологических и химических наук, № 4, 1974 г., с. 14—20.

В работе применялся популяционный принцип и метод вариационной статистики. Установлено, что в условиях полукультуры при отсутствии сильного давления отбора степень изменчивости различных признаков в популяции неодинаковая. Наибольшую амплитуду изменчивости имеют такие признаки, как объем плода, вес плода, вес ядра, толщина скорлупы, диаметр педункулярного отверстия; несколько меньше варьирует содержание ядра. Наиболее константным признаком является содержание жира ( $v=3.0$ ).

Таблица 3, библиографий 15.

УДК 581.134.5:581.132

Влияние минерального питания на фотосинтетическую деятельность озимой пшеницы в осенне-зимний и ранневесенний периоды. Баранова И. И. Известия Академии наук Молдавской ССР, Серия биологических и химических наук, № 4, 1974 г., с. 21—26.

Приводятся данные вегетационных опытов, показывающие, что азот в осенне-зимний и ранневесенний периоды вегетации растений усиливает рост поверхности листьев, но снижает и стабилизирует интенсивность фотосинтеза. Противоположное действие оказывают фосфор и калий, но их совместное внесение с азотом способствуют большему сохранению листьев в зеленом состоянии, уменьшают в зимнее время потери ранее накопленных органических веществ.

В статье сопоставляется влияние минеральных элементов в различные годы, отличающихся метеорологическими условиями.

Рисунков 2, библиографий 7.

УДК 581.1-1.032

Водный режим яблони при различных способах формирования кроны. Пономарченко Н. С. Известия Академии наук Молдавской ССР, Серия биологических и химических наук, № 4, 1974 г., с. 26—35.

Установлено, что у деревьев яблони, сформированных по типу плоских крон, снижается доступ воды в растения. Однако при этом возникают физиологические механизмы в регуляции водообмена, которые проявляются в повышении водоудерживающей способности листьев и снижении расходования воды в процессе транспирации. Изменение естественной ориентации побегов при формировании плоских крон, сопровождающееся напряженностью процессов водообмена, способствует повышению урожайности деревьев яблони.

Таблица 1, рисунков 3, библиографий 15.

УДК 632.071:612.014.44

Некоторые особенности мейоза у гетерозиготных мутантов мягкой озимой пшеницы. Гончарюк М. М. Известия Академии наук Молдавской ССР, Серия биологических и химических наук, № 4, 1974 г., с. 36—45.

Исследован мейоз у гетерозиготных мутантов мягкой озимой пшеницы, полученных действием на растения исходных сортов солнечной радиации при высоте солнце-

стояния выше 22°. Приводятся данные, подтверждающие факт, что для гетерозиготных мутантов мягкой озимой пшеницы, характерны существенные нарушения хода мейоза.

Высказывается мнение, что причиной возникновения гетерозиготных мутантов являются гетероплоидия и моносомия по разным хромосомам, а также нарушения типа нехваток и дупликаций.

Обнаружено, что для растений с признаками исходных пшениц, появляющихся в потомстве компактоидов, скверхедов и спельтоидов, в отличие от контрольных растений, характерно значительное нарушение хода мейоза.

Таблица 4, рисунков 6, библиографий 12.

УДК 635.64:631.527

О несовместимости культурного томата с диким видом *Lycopersicon peruvianum* Mill. Косова А. И., Куку В. И., Загинайло Н. Н. Известия Академии наук Молдавской ССР, Серия биологических и химических наук, № 4, 1974 г., с. 45—51.

Обобщены результаты исследований по изучению несовместимости культурного томата с разновидностями *dentalium* и *humifusum* дикого перувианского вида.

Несовместимость культурного томата с разновидностями дикого вида при рекомбинационных скрещиваниях выявлена в период прорастания пыльцы на рыльцах и в тканях столбика пестика.

В большей степени несовместимость проявляется в том случае, когда в качестве материнской формы используются разновидности *L. peruvianum* Mill.

Таблица 4, рисунков 3, библиографий 18.

УДК 582.28:581.1:632.4

Отношение грибов *Verticillium* к источникам углеродного питания. Полупашин И. С., Дешкова А. Д., Шатрова Г. Л., Давидович Р. Е., Буймистру Л. Д. Известия Академии наук Молдавской ССР, Серия биологических и химических наук, № 4, 1974 г., с. 52—57.

Приводятся данные о способности грибов *Verticillium* усваивать различные формы углерода. Показано, что изучаемые грибы характеризуются широким диапазоном в выборе источников углеродного питания. Последние слабо влияют на морфолого-культуральные особенности изучаемых грибов.

Таблица 2, рисунков 2, библиографий 1.

УДК 631.847.211:8.095.337

Влияние нитрагина и молибдена на продуктивность гороха в Молдавии. Сабельникова В. И., Терехова Ф. А., Потяка Г. П., Волоскова М. М., Арсений А. А., Жижина А. С. Известия Академии наук Молдавской ССР, Серия биологических и химических наук, № 4, 1974 г., с. 58—63.

В статье приводятся данные о влиянии нитрагина и молибдена на продуктивность гороха в почвах Молдавии. Показано, что нитрагинизация гороха дает незначительный эффект. Предпосевная обработка семян молибденом и нитрагином дала положительные результаты. Увеличивалось накопление зеленой массы на 8,4—26,4% и выход белка на 6,1—26,6%. Эффективность от этого приема наблюдалась на черноземах карбонатных центральной зоны и типичных северной зоны республики.

Таблица 3, библиографий 20.

УДК 577.153.2

Изменение биохимического состава вин под действием эстераз культуры гриба *Botrytis cinerea* 70. Тихонова Н. П., Трофименко Н. М., Плацинда В. А., Горбунова В. В., Лебедева Т. В. Известия Академии наук Молдавской ССР, Серия биологических и химических наук, № 4, 1974 г., с. 63—66.

Исследовано действие эстеразы гриба *Botrytis cinerea* на биохимический состав вин. Внесение ферментного препарата как в виноградную мяту, так и в готовые вина ускоряет синтез эфирами.

Использование эстеразы синтезирующего действия при изготовлении вин создает условия для интенсификации процесса приготовления и созревания столовых и десертных вин.

Таблица 2, библиографий 10.

УДК 539.2

Упругое рассеяние рентгеновских лучей системами с вырожденными термами. Казанцева Л. А., Огурцов И. Я. Известия Академии наук Молдавской ССР, Серия биологических и химических наук, № 4, 1974 г., с. 67—71.

Рассмотрено влияние электронно-колебательного взаимодействия на интенсивность рассеяния рентгеновского излучения системами, у которых электронное состояние в высокосимметричной конфигурации вырождено. Численные оценки проведены для комплекса  $\text{Cu}(\text{H}_2\text{O})_6^{2+}$  с вырожденным электронным Е-термом, взаимодействующим с е-колебаниями системы. Показано, что вклад в интенсивность рассеяния, обвязанный вибронному взаимодействию, составляет величину, сравнимую с интерференционным вкладом от жесткой молекулы.

Таблицы 1, рисунков 1, библиографий 6.

УДК 678.744

Изучение некоторых путей синтеза ненасыщенных полимеров. Спектор В. И., Шур А. М. Известия Академии наук Молдавской ССР, Серия биологических и химических наук, № 4, 1974 г., с. 71—74.

Для введения акрилоноксигруппы в полимер, подвергали поливинил  $\alpha$ ,  $\beta$ -дихлоропропилаты (I) дехлорированию при помощи цинковой пыли (II).

Для введения винилоксигруппы обрабатывали полихлорангидридметакриловой кислоты III, хлормеркурацетальдегидом IV в органическом растворителе.

Процент винилизобутиратных звеньев от 10 до 70. Приведены ИК-спектры исходных и ненасыщенных полимеров.

Таблицы 1, рисунков 1, библиографий 4.

УДК 553.611

Исследование плиоценовых бентонитовых глин Молдавской ССР методом ИК-спектроскопии. Шафранский В. Н., Дранка И. В., Солкан Т. Н., Бубуруз Д. Д., Штейман Б. И. Известия Академии наук Молдавской ССР, Серия биологических и химических наук, № 4, 1974 г., с. 75—79.

Методом ИК-спектроскопии исследован природный бентонит с. Кочулия, а также его химически модифицированные формы. Исходный и активированный соляной кислотой бентониты, а также их Na-, Ca- и Al-формы по спектральным характеристикам относятся к алюмосиликатам монтмориллонитового типа с небольшой примесью каолинита.

Кислотная активация приводит к почти полному исчезновению в ИК-спектрах образцов полос поглощения с максимумом при 1440, 880, 840 и 430  $\text{cm}^{-1}$ , что свидетельствует об изменении природы поверхности исходного минерала.

Ионный обмен существенным образом не оказывается на контурах кривых поглощения природного или активированного бентонита.

Таблицы 1, рисунков 1, библиографий 6.

УДК 633.853.78:631.8

Влияние условий питания и предшественника на урожай и качество семян подсолнечника. Бухар И. Е., Медведева Г. Н. Известия Академии наук Молдавской ССР, Серия биологических и химических наук, № 4, 1974 г., с. 80—85.

В статье приводятся данные по изучению влияния различных доз и видов удобрений, а также предшественников на урожай и качество семян подсолнечника сорта ВНИИМК 1646.

Выявлено, что подсолнечник сильнее реагирует на внесение фосфорных удобрений и слабее на азотно-калийные.

При правильном сочетании действия внесенных с осени удобрений (особенно фосфорных), а также их последействия на второй год в условиях оптимальной влагообеспеченности можно получить хороший урожай семян подсолнечника с высокой масличностью по таким предшественникам, как кукуруза на зерно, сахарная свекла, которые считались плохими предшественниками для подсолнечника.

Полученные данные могут быть использованы при дальнейшей разработке мероприятий по повышению урожайности подсолнечника в условиях орошения.

Таблицы 1, библиографий 5.

УДК 581.14.581.192:631.523

Динамика свободных аминокислот в пасоке кукурузы с геном опак-2 в онтогенезе. Киртоха И. Х., Пашкарь С. И. Известия Академии наук Молдавской ССР, Серия биологических и химических наук, № 4, 1974 г., с. 86—87.

Под влиянием гена опак-2 отмечено усиленное накопление глутамина, аспарагина и исчезновение глутаминовой кислоты в пасоке кукурузы на определенных фазах развития растений (в сравнении с нормальным аналогом).

Рисунков 1, библиографий 3.

УДК 577:11:581.192

О составе эфирного масла мяты кавказской. Чобану В. И., Николаев А. Г. Известия Академии наук Молдавской ССР, Серия биологических и химических наук, № 4, 1974 г., с. 87—89.

Изучен состав эфирного масла мяты кавказской, в котором доказаны следующие компоненты:  $\alpha$ -пинен,  $\beta$ -пинен, мирцен, лимонен, цинеол, Р-цимол, октанол-3, инканол, терпиненол-4.

По составу масла изученная мята отличается от описанной во «Флоре СССР» формы мяты кавказской.

Таблицы 1, рисунков 3, библиографий 6.

УДК 66.067:576.852.1

Очистка полисахаридных препаратов из *Actynomyces griseus*. 15. Филиппова Т. В., Разумовский П. Н. Известия Академии наук Молдавской ССР, Серия биологических и химических наук, № 4, 1974 г., с. 90—91.

Полисахаридный препарат, экстрагированный из мицелия актиномицета 0,5 г ТХУ, очищался по Фримену, а препарат, извлеченный 1 г  $\text{CH}_3\text{COOH}$  — раствором Фелинга. В обоих случаях в результате очистки уменьшилось содержание азотистых веществ и нуклеиновых кислот. Количество фосфорсодержащих веществ осталось без изменения.

Таблицы 2, библиографий 5.

## СОДЕРЖАНИЕ

### К 50-летию Молдавской ССР и Компартии Молдавии

А. В. Аблов, П. Ф. Влад, Л. Г. Мадан. Достижения ученых Института химии Академии наук Молдавской ССР	3
Ф. И. Фурдуй, И. М. Ганя, Ф. П. Чорик. Ученые Института зоологии АН МССР — народному хозяйству	8

### БОТАНИКА

И. Г. Комарич. Амплитуда изменчивости признаков грецкого ореха ( <i>Juglans regia L.</i> ) в Молдавии в условиях полукультуры	14
---	----

### ФИЗИОЛОГИЯ И БИОХИМИЯ РАСТЕНИЙ

И. И. Баранина. Влияние минерального питания на фотосинтетическую деятельность озимой пшеницы в осенне-зимний и ранневесенний периоды	21
Н. С. Пономарченко. Водный режим яблони при различных способах формирования кроны	26

### ГЕНЕТИКА РАСТЕНИЙ

М. М. Гончарюк. Некоторые особенности мейоза у гетерозиготных мутантов мягкой озимой пшеницы	36
А. И. Косова, В. Н. Кису, Н. Н. Загорайло. О несовместимости культурного томата с диким видом <i>Lycopersicon peruvianum</i> Mill.	45

### МИКОЛОГИЯ И ВИРУСОЛОГИЯ

И. С. Попушай, А. Д. Дешкова, Г. Л. Шатрова, Р. Е. Давидович, Л. Д. Буйнистру. Отношение грибов <i>Verticillium</i> к источникам углеродного питания.	52
---	----

### МИКРОБИОЛОГИЯ

В. И. Сабельникова, Ф. А. Терехова, Г. П. Потяка, М. М. Волоскова, А. А. Арсений, А. С. Жижина. Влияние нитратина и молибдена на продуктивность гороха в Молдавии	58
Н. П. Тихонова, Н. М. Трофименко, В. П. Плащунда, В. В. Горбунова, Т. В. Лебедева. Изменение биохимического состава вин под действием эстераз культуры гриба <i>Botrytis cinerea</i> 70	63

### ХИМИЯ

Л. А. Казанцева, И. Я. Огурцов. Упругое рассеяние рентгеновских лучей системами с вырожденными электронными термами	67
В. И. Слектор, А. М. Шур. Изучение некоторых путей синтеза ненасыщенных полимеров	71
В. Н. Шафранский, И. В. Дранка, Т. Н. Солкан, Д. Д. Бубуруз, Б. И. Штейман. Исследование плиоценовых бентонитовых глин Молдавской ССР методом ИК-спектроскопии	75

### НАУКА — СЕЛЬСКОМУ ХОЗЯЙСТВУ

И. Е. Бугар, Т. Н. Медведева. Влияние условий питания и предшественника на урожай и качество семян подсолнечника	80
--	----

### КРАТКИЕ СООБЩЕНИЯ

И. Х. Киртоа, С. И. Пашкарь. Динамика свободных аминокислот в пасоке кукурузы с геном опак-2 в онтогенезе	86
В. И. Чобану, А. Г. Николаев. О составе эфирного масла мяты кавказской	87
Т. В. Филиппова, П. Н. Разумовский. Очистка полисахаридных препаратов из <i>Astypomices griseus</i> 15	90
Рефераты	92